

STATIČNA IN DINAMIČNA ANALIZA k PZI za

MOST CERŠAK

Most za pešce in kolesarje čez mejno reko Muro pri Ceršaku

**Mednarodna kolesarska povezava Ceršak – Oberschwarza
med občinama Šentilj (SLO) in Murfeld (AUT)**

Naročnik:

Občina Šentilj
Maistrova ulica 2, 2212 Šentilj v Slovenskih goricah

Projektant:

Inženirski biro PONTING, d.o.o.
Strossmayerjeva 28
2000 Maribor

Ozn./Št projekta: 537/2020 (Ponting d.o.o.)

Ozn./Št načrta: 537-2/2020, januar 2021

Vrsta projekta: PZI (Projektna dokumentacija za izvedbo gradnje)

Maribor, januar 2021

OBJEKT	MOST CERŠAK	PZI PROJEKT	
PROJEKTANT	Ponting inženirski biro d.o.o., Jernej Maher univ.dipl.inž.grad	ŠT.NAČRTA	537-2/2020
KRAJ IN DATUM	Maribor, januar 2021	STRAN	1

KAZALO

1.0	ZASNOVA KONSTRUKCIJE	5
1.1	SPLOŠNO	5
1.2	GEOLOŠKO, GEOMORFOLOŠKO, HIDROGEOLOŠKE RAZMERE IN SEIZMIČNOST TERENA	10
1.3	UPORABLJENI MATERIALI	12
1.4	RAČUNSKI PREČNI PREREZI	13
1.5	RAČUNALNIŠKI MODEL KONSTRUKCIJE	16
1.6	KOMBINACIJE ZA MSN IN MSU	18
2.0	ANALIZA OBTEŽB	21
2.1	STALNA TEŽA	21
2.1.1	Lastna teža	21
2.1.2	Krov	21
2.1.3	Zemeljski pritisk	22
2.2	PROMETNA OBTEŽBA	22
2.2.1	Pešci	22
2.2.2	Servisno vozilo	23
2.2.3	Horizontalna sila	23
2.2.4	Koncentrirana obtežba	23
2.2.5	Obtežba na ograjo	23
2.3	TEMPERATURNNA OBTEŽBA	24
2.4	VETER	25
2.5	SNEG	28
2.6	POTRES	28
3.0	PODKONSTRUKCIJA	29
3.1	LESENA KROVNA KONSTRUKCIJA	29
3.1.1	Splošno	29
3.1.2	Analiza obtežb	29
3.1.3	Obremenitve	30
3.1.4	Dimenzioniranje in kontrola	32
3.2	VZDOLŽNA PODKONSTRUKCIJA -VZDOLŽNIKI	35
3.2.1	Splošno	35
3.2.2	Analiza obtežb	35
3.2.3	Obremenitve	36
3.2.4	Dimenzioniranje in kontrola	38
4.0	ANALIZA KONSTRUKCIJE V PREČNI SMERI	43
4.1	JEKLENI PREČNI OKVIRJI	43
4.1.1	Splošno	43
4.1.2	Analiza obtežb	44
4.1.3	Obremenitve	46
4.1.4	Dimenzioniranje in kontrola napetosti	53

OBJEKT	MOST CERŠAK	PZI PROJEKT	
PROJEKTANT	Ponting inženirski biro d.o.o., Jernej Maher univ.dipl.inž.grad	ŠT.NAČRTA	537-2/2020
KRAJ IN DATUM	Maribor, januar 2021	STRAN	2

4.2	ANALIZA ZAVETROVANJA.....	57
4.2.1	Splošno	57
4.2.2	Analiza obtežb.....	57
4.2.3	Obremenitve	59
4.2.4	Dimenzioniranje in kontrola.....	62
5.0	ANALIZA VZDOLŽNIH LESENIH NOSILCEV	65
5.1	SPLOŠNO.....	65
5.2	ANALIZA OBTEŽB.....	65
5.3	OBREMENITVE	65
5.4	DIMENZIONIRANJE IN KONTROLA	69
5.5	KONTROLA STABILNOSTI VZDOLŽNIH NOSILCEV	81
5.5.1	Uklonsko zavarovanje tlačnega pasu nosilca.....	81
5.5.2	Uklonsko zavarovanje posameznih tlačnih elementov	83
5.5.3	Kontrola prevzema strižnih obremenitev	85
5.6	KONTROLA POMIKOV PO MSU.....	92
5.8	KONTROLA NOSILCEV V FAZI GRADNJE	96
5.8.1	Splošno	96
5.8.2	Obtežbe	96
5.8.3	Analiza in obremenitve.....	97
5.8.4	Kontrola prereza.....	102
5.9	KONTROLA SPAJANJA VZDOLŽNIH NOSILCEV	104
6.0	ANALIZA VZDOLŽNIH NOSILNIH JEKLENIH VRVI IN VEŠALK.....	108
6.1	SPLOŠNO.....	108
6.2	ANALIZA OBTEŽB.....	108
6.3	OBREMENITVE	108
6.3.1	Vzdolžne nosilne vrvi	108
6.3.2	Vešalke	111
6.4	KONTROLA POSAMEZNIH FAZ	114
6.4.1	Vzdolžne nosilne vrvi	114
6.5	DIMENZIONIRANJE IN KONTROLA	117
6.5.1	Vzdolžne nosilne vrvi	117
6.5.2	Vešalke	118
6.6	DIMENZIONIRANJE JEKLENIH DETAJLOV	119
6.6.1	Dimenzioniranje jeklenega prijemališča za vešalke	119
6.6.2	Dimenzioniranje jeklenega prijemališča za vzdolžne kabel	121
7.0	PODPORNA KONSTRUKCIJA.....	124
7.1	OPIS RAČUNSKEGA MODELA	124
7.2	APLIKACIJA OBTEŽB	125
7.3	OBREMENITVE IN DIMENZIONIRANJE.....	126
7.3.1	Piloti	126
7.3.2	Pilotna blazina.....	138
7.3.3	Krila.....	151

OBJEKT	MOST CERŠAK	PZI PROJEKT	
PROJEKTANT	Ponting inženirski biro d.o.o., Jernej Maher univ.dipl.inž.grad	ŠT.NAČRTA	537-2/2020
KRAJ IN DATUM	Maribor, januar 2021	STRAN	3

7.3.4	Piloni	152
8.0	ANALIZA LEŽIŠČ IN DILATACIJ	179
8.1	SPLOŠNO.....	179
8.2	ANALIZA OBTEŽB.....	179
8.2	OBREMENITVE IN POMIKI.....	179
8.3	LEŽIŠČA.....	182
8.3.1	Kontrola pomikov	182
8.3.2	Kontrola reakcij	183
8.3.3	Analiza čepa in pločevin ležišča.....	186
8.4	DILATACIJE.....	195
8.5	KONTROLA MOZNIKOV	196
9.0	DINAMIČNA ANALIZA.....	198
9.1	SPLOŠNO.....	198
9.2	NIHAJNE OBLIKE IN LASTNE FREKVENCE.....	199
9.3	OBREMENITVE ZARADI POTRESNE OBTEŽBE.....	201
9.3.1	Leseni nosilci	201
9.3.2	Jekleni prečniki.....	202
9.3.3	Natezne palice zavetrovanja	203
9.3.4	Vzdolžne nosilne vrvi	203
9.3.5	Vešalke	204
9.4	DIMENZIONIRANJE	204
9.5	ANALIZA VIBRACIJ	205
9.5.1	Kontrola kritičnih nihajnih oblik	206
9.5.2	Metoda s spektri odziva	208
9.5.3	Metoda s časovnim odzivom (»TIME HISTORY analiza«).....	214
9.5.4	Kontrola vibracij v skladu s SIST EN 1995-2.....	225
9.5.5	Povzetek analize vibracij.....	227

OBJEKT	MOST CERŠAK	PZI PROJEKT	
PROJEKTANT	Ponting inženirski biro d.o.o., Jernej Maher univ.dipl.inž.grad	ŠT.NAČRTA	537-2/2020
KRAJ IN DATUM	Maribor, januar 2021	STRAN	4

MOST CERŠAK

Most za pešce in kolesarje čez mejno reko Muro pri Ceršaku

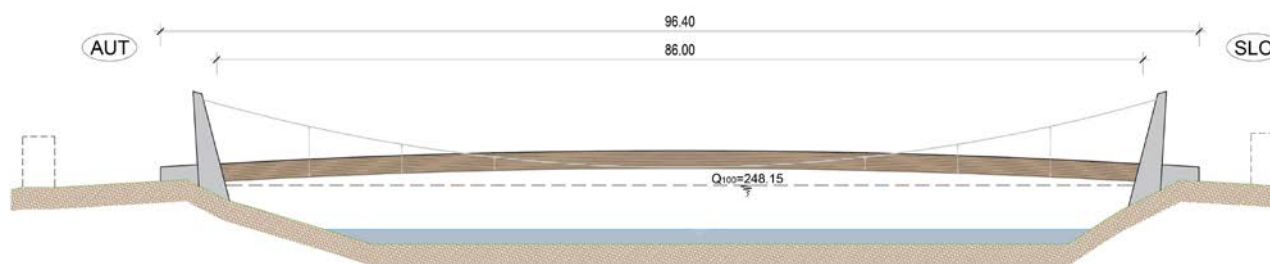
Statična in dinamična analiza v fazi PZI

1.0 ZASNOVA KONSTRUKCIJE

1.1 SPLOŠNO

Statična in dinamična analiza v fazi PZI je nadaljevanje osnovne analize iz faze PGD (november 2018). V ponovni analizi so bile upoštevane vse spremembe, do katerih je prišlo v fazi projektiranja v sklopu PZI. V kolikor do sprememb ni prišlo ali pa le te niso vplivale na računsko analizo konstrukcije, bo to v posameznih sklopih poročila omenjeno.

Predmet analize je Most za pešce in kolesarje čez mejno reko Muro pri Ceršaku, ki bo zgrajen v okviru mednarodne kolesarske povezave Ceršak - Oberschwarza med občinama Šentilj (SLO) in Murfeld (AUT). Most povezuje levo nabrežje reke Mure (avstrijska stran) in otok na Muri, med naravno strugo in dovodnim kanalom male hidroelektrarne Ceršak (MHE Ceršak). Lokacija mostu se nahaja cca. 885 m dolvodno od avtocestnega mostu preko Mure na A9 Pyhrnski avtocesti, za mejnim preходом Šentilj/Spielfeld, tik pod prelivom nekdanjega, danes porušenega jezusa.



Fasada objekta

Osnovni gabariti objekta:

dolžina:	98.0 m (do konca kril)
razpon:	86.0 m (med ležišči)
svetla širina:	3.50 m (med vzdolžnimi nosilci)
skupna širina:	4.605 m
višina pilonov:	cca. 11.0 m (nad temeljno ploščo)
svetla odprtrina:	min. $Q_{100} + 50$ cm / max. $Q_{100} + 150$ cm
kot križanja:	90°

Most je zasnovan kot viseča leseno-jeklena konstrukcija preko enega razpona, brez podpor v rečni strugi. Kot križanja kolesarske poti in reke Mure, na mestu prečkanja je 90°. Most bo namenjen izključno pešcem in kolesarjem. Svetli profil mostu je bil določen z idejno zasnovo in znaša 3.50 m. Izhodišči pri zasnovi nivelete sta nivo kolesarske poti na avstrijski strani in višina visoke vode Q_{100} v območju glavnega toka reke Mure.

OBJEKT	MOST CERŠAK	PZI PROJEKT	
PROJEKTANT	Ponting inženirski biro d.o.o., Jernej Maher univ.dipl.inž.grad	ŠT.NAČRTA	537-2/2020
KRAJ IN DATUM	Maribor, januar 2021	STRAN	5

Prometno tehnične karakteristike povezave na objektu

Horizontalni potek povezave	$R = \infty$, v premi
Vertikalni potek povezave	$R_{kv} = 750$ m, naklon tangent $\pm 6.0\%$, dolžine tangent 13.1 m
Prečni sklon povezave	$i = 0\%$
Svetli profil povezave	3.50 m

Karakteristični prečni prerez na objektu

leva ograja	0.485 m
svetla pohodna površina	3.500 m
desna ograja	0.485 m
Skupaj	4.470 m

Opis konstrukcije

Statičen sistem konstrukcije predstavlja obešena / elastično podprta lesena konstrukcija z enim razponom.

Nosilno prekladno konstrukcijo mostu predstavljata dva vzporedna, masivna, lesena, lepljena nosilca $B/H = 280/1285$ mm, dolžine 87.60 m (razpon med ležišči 86.0m), ki sta prečno razmaknjena za 3.925 m in med seboj povezana z jeklenimi okvirji - prečniki (HEB 240) in zavetrovanjem v ravnini prečnikov. Zavetrovanje se izvede z zaprtimi jeklenimi cevmi $\Phi 70/5$ mm.

Vertikalni elementi jeklenih okvirjev so iz profilov HEB 200 (100). Osnovni raster jeklenih okvirjev je 4.30 m (86/20). Jekleni okvirji so postavljeni vertikalno, med prečnimi okvirji in vzdolžnimi nosilci pa so vstavljene kompenzacijske plošče iz armirane gume ali ustrezne umetne mase.

Na opornikih je konstrukcija podprta z jeklenimi ležišči, s sproščenimi vzdolžnimi pomiki v eni osi konstrukcije. Preko jeklenih vešalk in jeklenih distančnikov, postavljenih na razmaku 8.60 m, je konstrukcija obešena na nosilne jeklene vrvi premera 63 mm, ki so sidrane na vrhu obojestranskih pilonov na opornikih. Vzdolžna nosilca, sta sestavljena iz 3ih segmentov, dolžin 29.0 m oziroma 28.5 m. Vzdolžna nosilca istočasno predstavljata tudi ograjo višine 1,20 m, proti vremenskim vplivom pa sta zaščitena z opažno oblogo in nerjavečim pločevinastom prekritjem. Zaščita vzdolžnih nosilcev je zagotovljena tudi s pomočjo protipršne zaščite iz vročecinkane pločevine.

Nosilne jeklene vrvi so polno zaprte (zatesnjene) vrvi s polnilom in dvojno antikorozijsko zaščito. Premer nosilne vrvi znaša 63 mm, s karakteristikami ($F_{R,k} = 4060$ kN ter $F_{R,d} = 2707$ kN). Vešalke so klasične jeklene zatege (natezne palice) tipa M24 in geometriji prilagojenimi dolžinami. Povezave med nosilno vrvojo, vešalko in prekladno konstrukcijo so sistemsko rešene z litoželeznimi oziroma vijačenimi vezmi. Nosilna vrv je prav tako s sistemskim sidriščem, ki omogoča napenjanje in naknadno korekcijo napetosti, sidrana v masivne betonske pilone na opornikih. Poves nosilnih vrvi v neobremenjenem stanju (stalna teža), v projekciji znaša 6,50 m (cca. $L/14$).

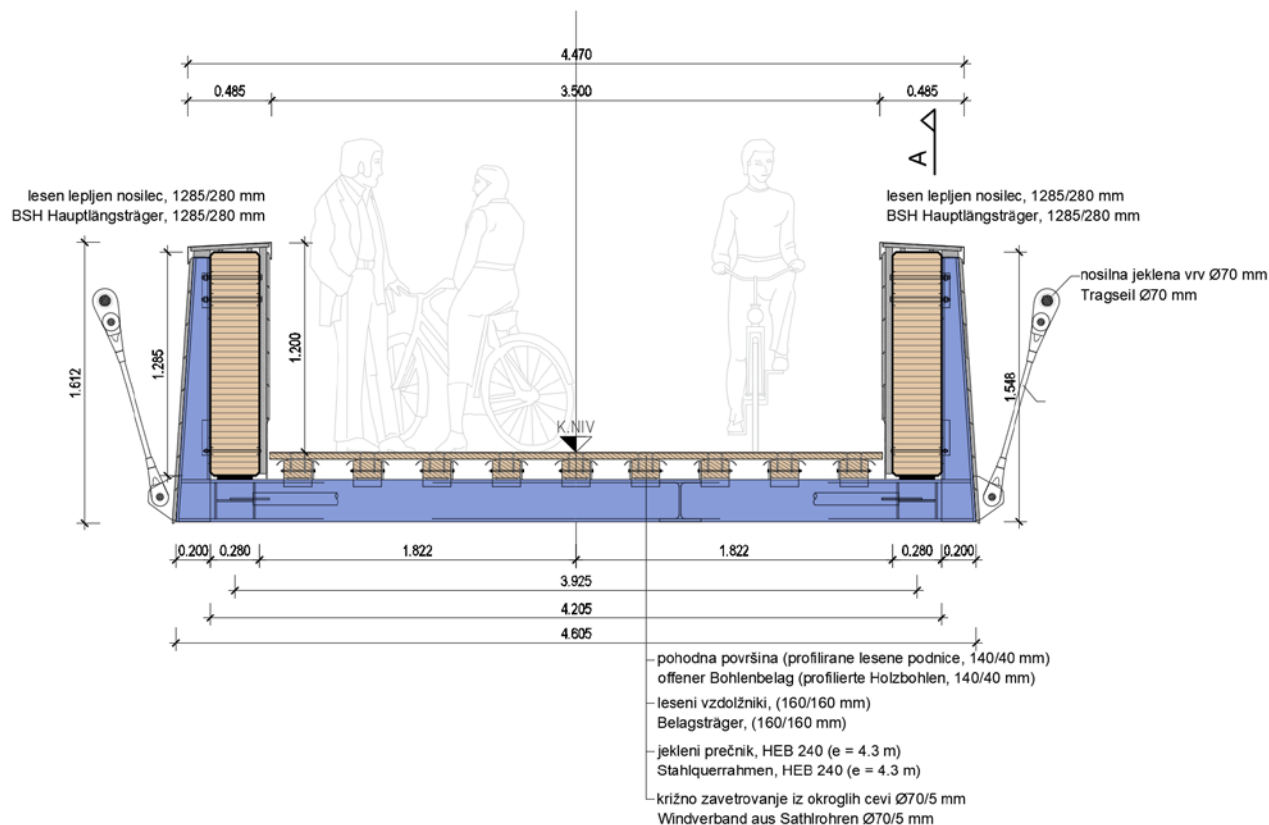
Krovna konstrukcija je lesena, sestavljena iz vzdolžnikov $B/H = 160/160$ mm, postavljenih na prečnem rastru 40 cm, in prečno postavljenih pohodnih profiliranih podnic prereza 140/40 mm, z vmesno fugo širine 1 cm.

Jeklena členkasta ležišča so sidrana v stene opornika, medtem ko so z glavnima lesenima lepljenima nosilcema povezana preko jeklenih čevljev ter moznikov. Zaključek objekta se izvede z dilatacijskim pločevinastim prekritjem ($-30.0 / +50.0$ mm).

OBJEKT	MOST CERŠAK	P Z I P R O J E K T	
PROJEKTANT	Ponting inženirski biro d.o.o., Jernej Maher univ.dipl.inž.grad	ŠT.NAČRTA	537-2/2020
KRAJ IN DATUM	Maribor, januar 2021	STRAN	6

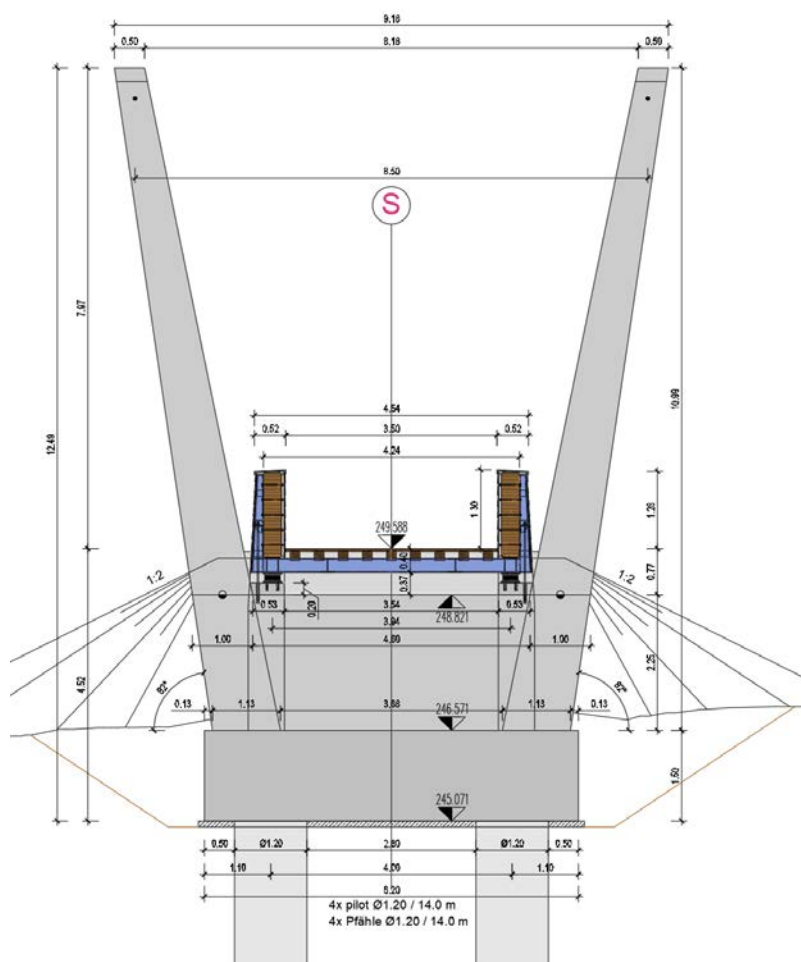
Oporniki so masivni armiranobetonski. Dimenzije temeljne plošče znašajo 7.00 m x 6.20 m x 1.50 m, stene so konstrukcijsko debeline 50 cm, vzporedna krila pa v gabaritih prekritih vzdolžnih lesenih nosilcev 48 – 72 cm. Piloni, prav tako armiranobetonski, so višine 11.1 m nad temeljno ploščo oziroma ca. 9.5 m nad terenom. V prerezu se dimenzije nazaj in navzven nagnjenih pilonov spreminjajo od 250/113 cm, ob vpetju v temeljno ploščo, do 85/50 cm, na vrhu (sidrišče nosilne vrvi).

Oporniki so globoko temeljeni na 4ih pilotih premera 120 cm in dolžine 14 m. Piloti so postavljeni na medsebojnih razmakih 6,00 m oziroma 4,00 m, dolžina vpetja v lapornato osnovo pa, skladno s priporočili iz geološko geotehničnega elaborata, znaša min. 6,00 m.

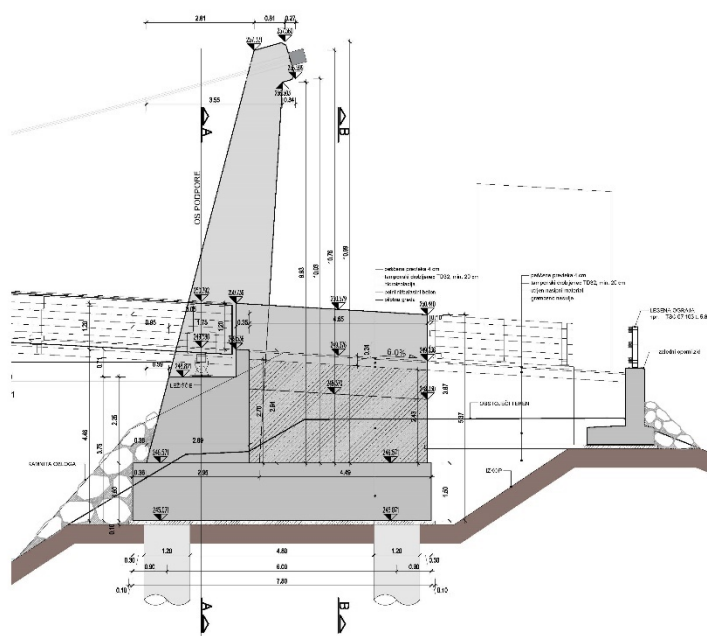


Karakteristični prečni prerez

OBJEKT	MOST CERŠAK	PZI PROJEKT
PROJEKTANT	Ponting inženirski biro d.o.o., Jernej Maher univ.dipl.inž.grad	ŠT.NAČRTA 537-2/2020
KRAJ IN DATUM	Maribor, januar 2021	STRAN 7

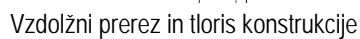


Prečni prerez opornika (slovenska stran)



Vzdolžni prerez opornika (slovenska stran)

OBJEKT	MOST CERŠAK	PZI PROJEKT	
PROJEKTANT	Ponting inženirski biro d.o.o., Jernej Maher univ.dipl.inž.grad	ŠT.NAČRTA	537-2/2020
KRAJ IN DATUM	Maribor, januar 2021	STRAN	8



OBJEKT	MOST CERŠAK	P Z I P R O J E K T	
PROJEKTANT	Ponting inženirski biro d.o.o., Jernej Maher univ.dipl.inž.grad	ŠT.NAČRTA	537-2/2020
KRAJ IN DATUM	Maribor, januar 2021	STRAN	9

1.2 GEOLOŠKO, GEOMORFOLOŠKO, HIDROGEOLOŠKE RAZMERE IN SEIZMIČNOST TERENA

Za fazo PGD/PZI je bil izdelan geološko geotehnični elaborat, izdelalo ga je podjetje Lamela d.o.o. iz Maribora. Geološko geotehnični elaborat sestavljata tehnični del, s vsemi potrebnimi opisi, izračuni in dokazi, ter grafični del, s prikazi terenskih raziskav in geološkimi profili.

Sestava temeljnih tal na lokaciji mostu

Z raziskavami je bil ugotovljen sestav tal na obeh bregovih Mure. Nosilno podlago tvori zbiti pesek in tanko plastovit peščen lapor, ki se pojavita na globini 4,70 m do 5,50 m pod terenom, ki je na slovenski strani dodatno nadgrajen z umetno nasutim otokom, ki loči rečno strugo od dovodnega kanala male hidroelektrarne Ceršak. Višina nasipa iz večjih samic proda znaša 2,30 m, brežine nasipa pa so utrjene s kamnito oblogo. Na avstrijski strani se pod 0,10 m humusa nahaja 2,00 m debeli sloj drobnega peska in peščenega melja (siSa), pod katerim je tenek, 0,10 m debeli, sloj gline z organskimi primesmi (orCl). Prodno peščen sloj debeline 3,10 m do 3,70 m je zastopan s slabo granuliranim peščenim prodom (saGr, Gr) gostega gostotnega sestava. Lokalno se pojavijo večji posamezni prodniki. V podlagi na slovenski strani se izmenjujejo sedimenti zbitega peska in slojevitiga peščenega laporja, medtem ko na avstrijski strani prevladuje zbiti pesek presekani s tankimi sloji laporja.

Podtalna voda je vezana na prodni horizont, višina vode pa niha glede na gladino reke Mure in je z njo v neposredni povezavi.

Razporeditev slojev in mehanske lastnosti tal

Sloj	Karakteristični sloj	Prostor. teža γ (kN/m ³)	Kohezija c (kN/m ²)	Strižni kot ϕ (°)	Mejni tlak P_L (kN/m ²)	Modul elastičnosti E kN/m ²
0.	UMETNI NASIP (<i>Gr, Co</i>) <i>globina 0,0 – 2,30 m</i>	23	0	36	/	50 000
00.	PESEK, MELJ (<i>Sa, siSa</i>) <i>globina 0,0 – 2,20 m</i>	19	0	28	/	3 000
1.	PROD (<i>Gr, saGr,</i>) <i>globina 2,30 – 6,00 m</i>	21	0	38	1 200	32 000
2.	ZBITI PESEK, LAPOR (<i>Sa</i>) <i>globina > 6,00 m</i>	23	0	42	4,800	170 000

Mehansko fizikalni parametri karakterističnih slojev tal

OBJEKT	MOST CERŠAK	PZI PROJEKT	
PROJEKTANT	Ponting inženirski biro d.o.o., Jernej Maher univ.dipl.inž.grad	ŠT.NAČRTA	537-2/2020
KRAJ IN DATUM	Maribor, januar 2021	STRAN	10

Glede na sestav tal in nivo vode je za obravnavan objekt ustrezno in primerno globoko temeljenje na uvrtnih pilotih. Z globokim temeljenjem se vsi konstrukcijski deli objekta temeljijo na enaki globini in homogenih, nosilnih temeljnih tleh enakega sestava in mehansko fizikalnih parametrov.

Glede na sestav tal in zasnovo objekta je potrebno zagotoviti:

- pilote premera $D = 1,20$ m ali več,
- minimalno dolžino posameznega pilota $L = 10,00$ m ali več,
- dno pilotov na a.k. 235,00 m ali globlje,
- minimalna vpetost v podlago dobro zbitega peska in laporja $L_v = 6,00$ m.

Projektni odpor pilotov in posedki

PROJEKTNI PODATKI ZA UVRTAN PILOT $D = 1,20$ m				
	Premer pilota (m)	Dolžina pilotov		
	$D = 1,20$	10 m	12 m	14 m
Celotni projektni odpor pilota – TLAK kN	$R_c;d$	6 300	6 700	7 150
Celotni projektni odpor pilota – NATEG kN	$R_t;d$	1 650	2 050	2 480
Posedki ($V = 4000$ kN) mm	s	4	3	3
Koeficient reakcije tal kN/m^3	$k_{s,h}$			
Prod 0- 2,0 m	22 000			
Prod 2,0 - 4,0 m	33 000			
Zbit pesek in lapor	157 000			

Rezultati projektnih izračunov za pilot premera 1,20 m

Seizmičnost terena

Ministrstvo za okolje in prostor, Uprava Republike Slovenije za geofiziko je leta 2002 izdala Karto potresne nevarnosti Slovenije, opredeljeno s projektnimi pospeški za povratno dobo 475 let in trdna tla (razred A po EC 8). Po tej karti znaša projektni pospešek tal na obravnavanem območju $0,100$ g. V skladu s preglednico 3.1 (SIST EN 1998-1) tla na lokaciji ustrezajo tipu tal B, za katera velja hitrost širjenja strižnih valov $v_{s,30}$ 360 - 800 m/s.

OBJEKT	MOST CERŠAK	PZI PROJEKT	
PROJEKTANT	Ponting inženirski biro d.o.o., Jernej Maher univ.dipl.inž.grad	ŠT.NAČRTA	537-2/2020
KRAJ IN DATUM	Maribor, januar 2021	STRAN	11

1.3 UPORABLJENI MATERIALI

Armiranobetonske konstrukcije

- **podložni beton** beton C 12/15
- **piloti** beton C 25/30, XA1, $D_{\max} = 32 \text{ mm}$, $a = 90 \text{ mm}$
- **pilotne blazine** Beton C 25/30, XC2, $D_{\max} = 32 \text{ mm}$, $a = 45 \text{ mm}$
- **oporniki in krila** beton C 30/37, XC4, XD1, XF2, $D_{\max} = 16 \text{ mm}$, $a = 45 \text{ mm}$
- **piloni** beton C 40/50, XC4, XD1, XF2, $D_{\max} = 16 \text{ mm}$, $a = 45 \text{ mm}$
- **klasična armatura** rebrasta armatura B 500B, visoko duktilno jeklo

Jeklene konstrukcije

- **prečni okvirji, prečniki in zavetrovanje** konstrukcijsko jeklo S 355 J2, zaščiten z vročim cinkanjem v debelini min. $85 \mu\text{m}$
- **nosilne vrvi** iz nelegiranega jekla visoke kvalitete $f_{u,k} = 1570 \text{ N/mm}^2$ polno zaprte (zatesnjene) vrvi s polnilom in dvojno antikorozijsko zaščito (Galfan)
- **vešalke** natezne palice iz konstrukcijskega jekla S 460N ali več, s min.nosilnostjo $F_{Rd} = 141 \text{ kN}$
- **spoje, sidrišča in drugi sistemski fazonski elementi** iz konstrukcijskega jekla S355 J2 oz. S 460N

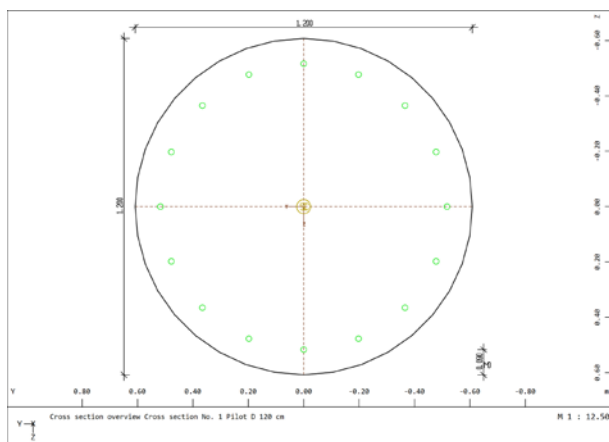
Lesene konstrukcije

- **glavni vzdolžni lepljeni nosilci** lepljen les kvalitete GL 28h, B/H = 280/1285 mm konstruktivna zaščita z opažno oblogo, pločevinastim prekritjem in protimrčesnimi mrežami
- **krovni vzdolžniki** polni gradbeni les kvalitete C 30, B/H = 160/160 mm kemična zaščita z impregnacijo
- **zaščitni opaz** deske kvalitete C 24, B/H = 200/20 mm zunanji: vremensko odporen macesnov les (ali bor, ali duglazija) zaščiten s transparentno večslojno lazuro notranji: obdelane gladke ali profilirane deske iz acetiliranega lesa (Accoya), B/H = 200/20 mm
- **prečne deske pohodne površine** profilirane deske iz acetiliranega lesa (Accoya), B/H = 140/40 mm

OBJEKT	MOST CERŠAK	P Z I P R O J E K T	
PROJEKTANT	Ponting inženirski biro d.o.o., Jernej Maher univ.dipl.inž.grad	ŠT.NAČRTA	537-2/2020
KRAJ IN DATUM	Maribor, januar 2021	STRAN	12

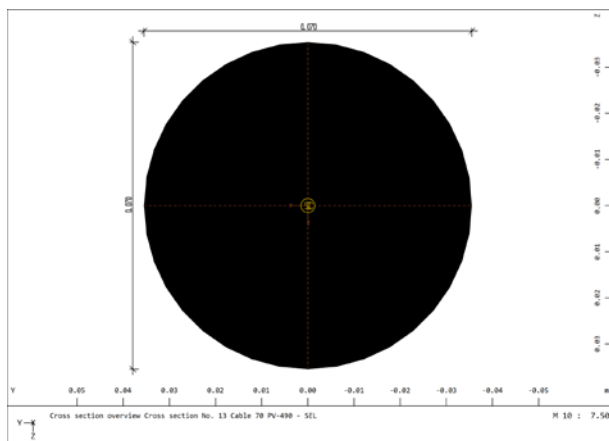
1.4 RAČUNSKI PREČNI PREREZI

Pilot D=120cm



NR	MNo	MRf	EM	GM	gam	A	Ay	Az	It	Iy	Iz	gam/m	
			[MPa]	[MPa]	[kN/m3]	[m2]	[m2]	[m2]	[m4]	[m4]	[m4]	[kN/m]	
1	11	12	32840	13680	25.0	1.1310	1.0179	1.0179	0.204	0.102	0.102	28.27	
NR	cross section number					Ay	Sheardeformation area Y						
MNo	Materialnumber of sections					Az	Sheardeformation area Z						
MRf	Materialnumber of Reinforcement					It	Torsional moment of inertia						
EM	Elasticity Modulus					Iy	Moments of inertia y-y						
GM	Shear Modulus					Iz	Moments of inertia z-z						
gam	Nominal weight					gam/m	Dead weight per m						
A	Area												

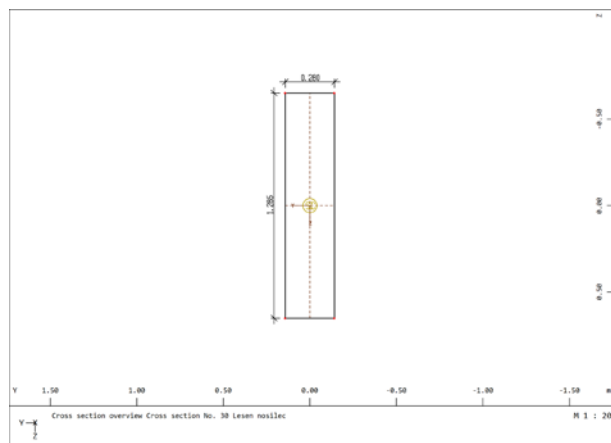
Vzdložne nosilne vrvi



NR	MNo	MRf	EM	GM	gam	A	Ay	Az	It	Iy	Iz	gam/m
			[MPa]	[MPa]	[kN/m³]	[m²]	[m²]	[m²]	[m⁴]	[m⁴]	[m⁴]	[kN/m]
13	13	-	165000	63460	82.3	0.0034	0.0000	0.0000	0.000	0.000	0.000	0.28
NR	cross section number				Ay	Shear deformation area Y						
MNo	Materialnumber of sections				Az	Shear deformation area Z						
MRf	Materialnumber of Reinforcement				It	Torsional moment of inertia						
EM	Elasticity Modulus				Iy	Moments of inertia y-y						
GM	Shear Modulus				Iz	Moments of inertia z-z						
gam	Nominal weight				gam/m	Dead weight per m						
A	Area											

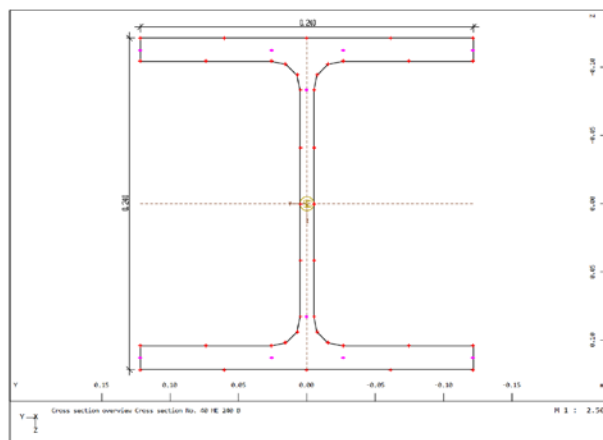
OBJEKT	MOST CERŠAK	PZI PROJEKT
PROJEKTANT	Ponting inženirski biro d.o.o., Jernej Maher univ.dipl.inž.grad	ŠT.NAČRTA 537-2/2020
KRAJ IN DATUM	Maribor, januar 2021	STRAN 13

Lesen nosilec



NR	MNo	MRf	EM	GM	gam	A	Ay	Az	It	Iy	Iz	gam/m	
			[MPa]	[MPa]	[kN/m3]	[m2]	[m2]	[m2]	[m4]	[m4]	[m4]	[kN/m]	
30	14	-	12600	780	4.1	0.3598	0.2998	0.2998	0.008	0.050	0.002	1.48	
NR	cross section number					Ay	Sheardeformation area Y						
MNo	Materialnumber of sections					Az	Sheardeformation area Z						
MRf	Materialnumber of Reinforcement					It	Torsional moment of inertia						
EM	Elasticity Modulus					Iy	Moments of inertia y-y						
GM	Shear Modulus					Iz	Moments of inertia z-z						
gam	Nominal weight					gam/m	Dead weight per m						
A	Area												

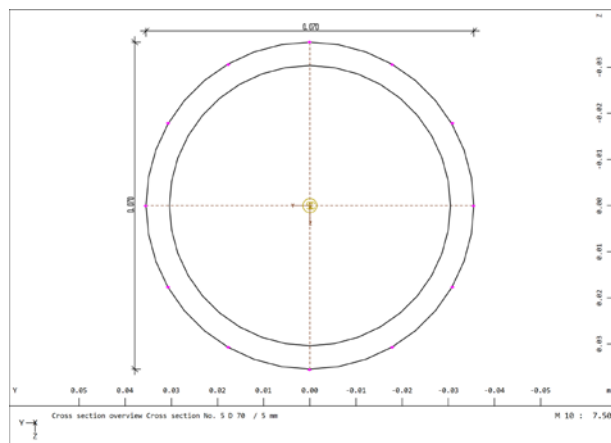
Prečniki HEB 240



NR	MNo	MRf	EM [MPa]	GM [MPa]	gam [kN/m3]	A [m2]	Ay [m2]	Az [m2]	It [m4]	Iy [m4]	Iz [m4]	gam/m [kN/m]
40	1	-	210000	80769	78.5	0.0106	0.0073	0.0023	0.000	0.000	0.000	0.83
NR	cross section number				Ay	Sheardeformation area Y						
MNo	Materialnumber of sections				Az	Sheardeformation area Z						
MRf	Materialnumber of Reinforcement				It	Torsional moment of inertia						
EM	Elasticity Modulus				Iy	Moments of inertia y-y						
GM	Shear Modulus				Iz	Moments of inertia z-z						
gam	Nominal weight				gam/m	Dead weight per m						
A	Area											

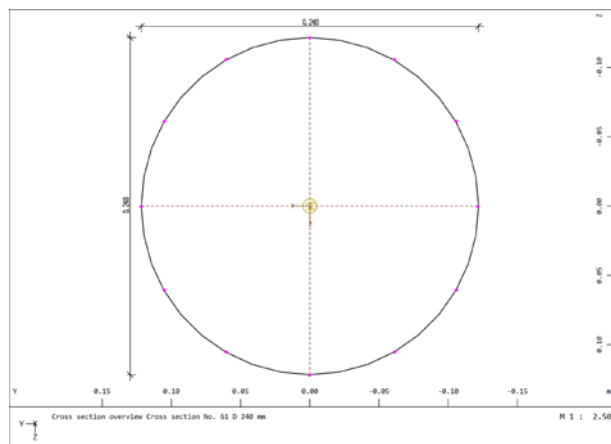
OBJEKT	MOST CERŠAK	PZI PROJEKT	
PROJEKTANT	Ponting inženirski biro d.o.o., Jernej Maher univ.dipl.inž.grad	ŠT.NAČRTA	537-2/2020
KRAJ IN DATUM	Maribor, januar 2021	STRAN	14

Zavetrovanje d=70/5 mm



NR	MNo	MRf	EM [MPa]	GM [MPa]	gam [kN/m3]	A [m2]	Ay [m2]	Az [m2]	It [m4]	Iy [m4]	Iz [m4]	gam/m [kN/m]
5	1	-	210000	80769	78.5	0.0010	0.0005	0.0005	0.000	0.000	0.000	0.08
NR cross section number					Ay	Sheardeformation area Y						
MNo Materialnumber of sections					Az	Sheardeformation area Z						
MRf Materialnumber of Reinforcement					It	Torsional moment of inertia						
EM Elasticity Modulus					Iy	Moments of inertia y-y						
GM Shear Modulus					Iz	Moments of inertia z-z						
gam Nominal weight					gam/m	Dead weight per m						
A Area												

Vešalke d=24 mm



NR	MNo	MRf	EM [MPa]	GM [MPa]	gam [kN/m ³]	A [m ²]	Ay [m ²]	Az [m ²]	It [m ⁴]	Iy [m ⁴]	Iz [m ⁴]	gam/m [kN/m]
61	15	-	210000	80770	78.5	0.0452	0.0407	0.0407	0.000	0.000	0.000	3.55
NR	cross section number				Ay	Sheardeformation area Y						
MNo	Materialnumber of sections				Az	Sheardeformation area Z						
MRf	Materialnumber of Reinforcement				It	Torsional moment of inertia						
EM	Elasticity Modulus				Iy	Moments of inertia y-y						
GM	Shear Modulus				Iz	Moments of inertia z-z						
gam	Nominal weight				gam/m	Dead weight per m						
A	Area											

OBJEKT	MOST CERŠAK	PZI PROJEKT	
PROJEKTANT	Ponting inženirski biro d.o.o., Jernej Maher univ.dipl.inž.grad	ŠT.NAČRTA	537-2/2020
KRAJ IN DATUM	Maribor, januar 2021	STRAN	15

1.5 RAČUNALNIŠKI MODEL KONSTRUKCIJE

Konstrukcija je analizirana kot prostorska konstrukcija iz linijskih MKE elementov. Elementi, ki predstavljajo vzdolžne nosilne vrvi in vešalke so zmodelirani kot kabelski elementi (omogočajo le natezne obremenitve), medtem ko so elementi, ki smo jih uporabili za zavetrovanje zmodelirani kot palični elementi. Statični model je opisan z upoštevanjem dejanske geometrije konstrukcije in dejanskimi karakteristikami uporabljenih materialov. Pri modeliranju zemljine so bili podatki povzeti po geološko-geotehničnem poročilu.

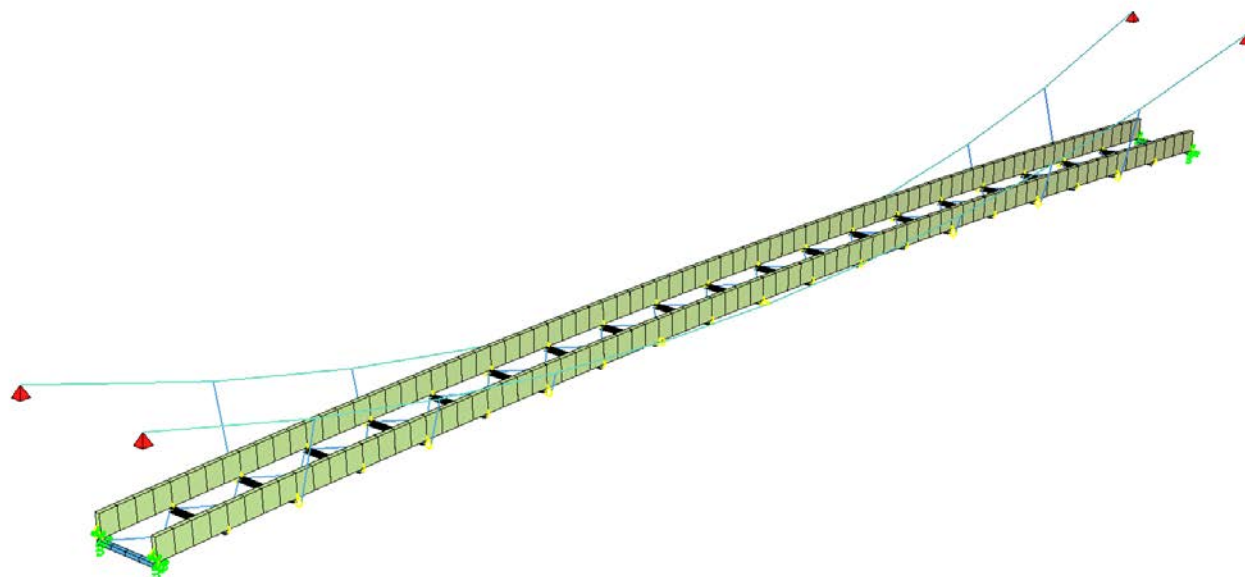
V sklopu analize sta bila za analizo uporabljena dva modela, in sicer:

- 2D model, kjer so bile upoštevane dvojne togosti elementov
- 3D model, kjer je bila zmodelirana dejanska konstrukcija v prostoru

Ravninski model se je uporabil za kontrolo prostorske konstrukcije. Izveden je kompletan izračun notranjih statičnih količin v elementih, izveden je dokaz mejnega stanja nosilnosti (MSN) in dokaz mejnega stanja uporabnosti (MSU). Opravljena je bila tudi analiza lepljenih nosilcev v fazi gradnje.

Konstrukcija je bila izračunana po teoriji 3. reda, ki upošteva vpliv velikih deformacij. Analiza konstrukcije je bila opravljena v naslednjih korakih. Na podlagi preliminarne analize je bil določen začetni povos vzdolžnih nosilnih jeklenih vrvi 6,50 m. Nato je bila v modelu zmodelirana dejanska geometrija konstrukcije v prostoru. V prvem koraku izračuna se vzdolžne jeklene nosilne vrvi in vešalke obremenijo s stalno obremenitvijo, pri čemer se zanemari vzdolžna upogibna togost lepljenega lesenega nosilca – na ta način se dobijo pravilne obremenitve v vertikalnih vešalkah. S temi obremenitvami se obremenijo vzdolžne nosilne jeklene vrvi, ki se formirajo v pravilno obliko. Nato se izvede preračun z dejanskimi togostmi. Ker je bil v predhodnih analizah določen povos 6,50m in pripadajoča sila prednapenjanja v kablju, je povos vzdolžne lesene konstrukcije enak 0. Ta faza izračuna predstavlja končno stanje konstrukcije oz. začetno za vse nadaljnje analize.

Pri statični in dinamični analizi je bil uporabljen programski paket Sofistik. Model konstrukcije, ki se je uporabil pri analizi, je prikazan na spodnji sliki. Analiza opornikov je bila izvedena s programom Tower 3d Model Builder 7.0 in programskim paketom Cubus (Fagus 6.0).



3D model konstrukcije

OBJEKT	MOST CERŠAK	PZI PROJEKT	
PROJEKTANT	Ponting inženirski biro d.o.o., Jernej Maher univ.dipl.inž.grad	ŠT.NAČRTA	537-2/2020
KRAJ IN DATUM	Maribor, januar 2021	STRAN	16

Analiza je narejena skladno z evropskimi standardi Evrokod. Pri analizi in dimenzioniranju konstrukcije so bili uporabljeni naslednji standardi:

- SIST EN 1990 Osnove projektiranja konstrukcij
- SIST EN 1991 Vplivi na konstrukcije
- SIST EN 1992-1-1 Projektiranje betonskih konstrukcij:
Splošna pravila in pravila za stavbe
- SIST EN 1993-1-1 Projektiranje jeklenih konstrukcij:
Splošna pravila in pravila za stavbe
- SIST EN 1993-2 Projektiranje jeklenih konstrukcij: Mostovi
- SIST EN 1995-1-1 Projektiranje lesenih konstrukcij:
Splošna pravila in pravila za stavbe
- SIST EN 1995-2 Projektiranje lesenih konstrukcij: Mostovi
- SIST EN 1997-1 Geotehnično projektiranje: Splošna pravila
- SIST EN 1998-1 Projektiranje potresno odpornih konstrukcij:
Splošna pravila, potresni vplivi in vplivi na stavbe
- SIST EN 1998-2 Projektiranje potresno odpornih konstrukcij: Mostovi

OBJEKT	MOST CERŠAK	PZI PROJEKT	
PROJEKTANT	Ponting inženirski biro d.o.o., Jernej Maher univ.dipl.inž.grad	ŠT.NAČRTA	537-2/2020
KRAJ IN DATUM	Maribor, januar 2021	STRAN	17

1.6 KOMBINACIJE ZA MSN IN MSU

Konstrukcija je bila analizirana v skladu z veljavnimi standardi. V sklopu analize so bila upoštevana naslednja pravila za kombiniranje posameznih obtežnih primerov.

Kontrola po mejnem stanju nosilnosti (MSN):

- stalna in začasna obtežna kombinacija

$$\sum_{j \geq 1} \gamma_{G,j} \cdot G_{k,j} + \gamma_P \cdot P_k + \gamma_{Q,1} \cdot Q_{k,1} + \sum_{i > 1} \gamma_{Q,i} \cdot \Psi_{0,i} \cdot Q_{k,i}$$

- izredna kombinacija obremenitev

$$\sum_{j \geq 1} G_{k,j} + P_k + A_d + \Psi_{1,1} \cdot Q_{k,i} + \sum_{i > 1} \Psi_{2,i} \cdot Q_{k,i}$$

- kombinacija s potresom

$$\sum_{j \geq 1} G_{k,j} + P_k + A_d + \sum_{i > 1} \Psi_{2,i} \cdot Q_{k,i}$$

Kontrola po mejnem stanju uporabnosti (MSU):

- karakteristična (redka) obtežna kombinacija

$$\sum_{j \geq 1} G_{k,j} + P_k + Q_{k,i} + \sum_{i > 1} \Psi_{0,i} \cdot Q_{k,i}$$

- pogosta obtežna kombinacija

$$\sum_{j \geq 1} G_{k,j} + P_k + \Psi_{1,1} \cdot Q_{k,i} + \sum_{i > 1} \Psi_{2,i} \cdot Q_{k,i}$$

- navidezno stalna obtežna kombinacija

$$\sum_{j \geq 1} G_{k,j} + P_k + \sum_{i > 1} \Psi_{2,i} \cdot Q_{k,i}$$

OBJEKT	MOST CERŠAK	PZI PROJEKT	
PROJEKTANT	Ponting inženirski biro d.o.o., Jernej Maher univ.dipl.inž.grad	ŠT.NAČRTA	537-2/2020
KRAJ IN DATUM	Maribor, januar 2021	STRAN	18

Faktorji varnosti na obtežbo za mejno stanje nosilnosti (MSN):

Obtežba	Neugoden vpliv	Ugoden vpliv
Stalne obtežbe	1.35	1.00
Prometna obtežba	1.35	0.00
Temperaturna obtežba	1.50	0.00
Obtežba vetra	1.50	0.00

Delni faktorji varnosti na obtežbo za mejno stanje nosilnosti (MSN) in mejno stanje uporabnosti (MSU):

Obtežba	Oznaka	ψ_0	ψ_1	ψ_2
Promet	gr 1	0.40	0.40	0
	Q_{fwk}	0	0	0
	gr 2	0	0	0
Veter	F_{wk}	0.30	0.20	0
Temperatura	T_k	0.60	0.60	0.50

OBJEKT	MOST CERŠAK	PZI PROJEKT	
PROJEKTANT	Ponting inženirski biro d.o.o., Jernej Maher univ.dipl.inž.grad	ŠT.NAČRTA	537-2/2020
KRAJ IN DATUM	Maribor, januar 2021	STRAN	19

Projektna nosilnost R_d lesenih elementov:

Projektna nosilnost se določi glede na karakteristične nosilnosti prereza:

$$R_d = k_{\text{mod}} \cdot \frac{R_k}{\gamma_m}$$

V skladu s standardom SIST 1995-1-1 in SIST 1995-2 znašajo koeficienti varnosti na materiale:

	Koeficient γ_m
Osnovna obtežna kombinacija	
Masivni les	1,30
Lepljen lamelarni les	1,25
Nezgodna obtežna kombinacija	1,0

Modifikacijski koeficienti k_{mod} :

Material	Stalna obtežba	Kratko-trajna obtežba	Trenutna obtežba
Masivni les	0,60	0,90	1,10
Lepljen lamelarni les	0,60	0,90	1,10
Primer obtežbe	Stalna teža (lastna teža, krov)	Sneg, veter, promet	Nezgodne obtežbe (obtežba servisnega vozila)

OBJEKT	MOST CERŠAK	PZI PROJEKT
PROJEKTANT	Ponting inženirski biro d.o.o., Jernej Maher univ.dipl.inž.grad	ŠT.NAČRTA 537-2/2020
KRAJ IN DATUM	Maribor, januar 2021	STRAN 20

2.0 ANALIZA OBTEŽB

2.1 STALNA TEŽA

2.1.1 Lastna teža

Lastna teža je upoštevana po dejanskih karakteristikah prečnih prereзов z upoštevanjem specifične teže za beton $\gamma_b = 25.0 \text{ kN/m}^3$ in jeklo $\gamma_j = 78.5 \text{ kN/m}^3$. Specifične teže za lesene elemente so podane v spodnjih razpredelnicah, saj se glede na material razlikujejo.

Spodaj so tabelarično podane vrednosti posameznih obtežb, upoštevane na $1 \text{ m}'$.

Vzdolžni lepljen nosilec B/H = 0.28/1.285 m	$\gamma_{GL28h} = 4,1 \text{ kN/m}^3$	= 2,95 kN/m'
Jekleni prečnik okvirja HEB 240 (e=4,30m)	$\gamma = 78,5 \text{ kN/m}^3$	= 0,8137 kN/m'
Jeklena vertikalna konstrukcija okvirja HEB 200 – 100 (e=4,30m)	$\gamma = 78,5 \text{ kN/m}^3$	= 0,55 kN/m'
Zavetrovanje iz okroglih cevi $\Phi 70/5\text{mm}$	$\gamma = 78,5 \text{ kN/m}^3$	= 0,31 kN/m'
Preostali jekleni elementi (vešalka, obešala za kable, detalji ter dodatno povečanje za 5%)	$\gamma = 78,5 \text{ kN/m}^3$	= <u>0,51 kN/m'</u>
		$\Sigma = 5,13 \text{ kN/m}'$

2.1.2 Krov

Leseni vzdolžniki B/H = 0.16/0.16 m	$\gamma_{C30} = 4,6 \text{ kN/m}^3$	= 1,06 kN/m'
Pohodna površina h=40 mm	$\gamma_{ACCOYA} = 4,6 \text{ kN/m}^3$	= 0,65 kN/m'
Leseni opaz	$\gamma = 4,6 \text{ kN/m}^3$	= 0,588 kN/m'
Lesena podkonstrukcija	$\gamma_{C24} = 4,2 \text{ kN/m}^3$	= <u>0,160 kN/m'</u>
		$\Sigma = 2,46 \text{ kN/m}'$
Teža pritrdilnega materiala se upošteva z faktoriranjem obtežbe krova z $F_M = 1.05$ (5%)	$2,46 \text{ kN/m}' \cdot 0,1$	= <u>0,123 kN/m'</u>
		$\Sigma = 2,583 \text{ kN/m}'$

Linijska obtežba zaradi stalnih obremenitev (lastna teža konstrukcije + obtežba krova): $g = 7,71 \text{ kN/m}'$

OBJEKT	MOST CERŠAK	PZI PROJEKT
PROJEKTANT	Ponting inženirski biro d.o.o., Jernej Maher univ.dipl.inž.grad	ŠT.NAČRTA 537-2/2020
KRAJ IN DATUM	Maribor, januar 2021	STRAN 21

2.1.3 Zemeljski pritisk

Pri obtežbi zemljine, ki deluje na stene opornikov so bili uporabljeni podatki iz geološko geomehanskega poročila.

Sloj	Karakteristični sloj	Prostor. teža γ (kN/m ³)	Kohezija c (kN/m ²)	Strižni kot ϕ (°)	Mejni tlak P_L (kN/m ²)	Modul elastičnosti E kN/m ²
0.	UMETNI NASIP (Gr, Co) <i>globina 0,0 – 2,30 m</i>	23	0	36	/	50 000
00.	PESEK, MELJ ($Sa, siSa$) <i>globina 0,0 – 2,20 m</i>	19	0	28	/	3 000
1.	PROD ($Gr, saGr,$) <i>globina 2,30 – 6,00 m</i>	21	0	38	1 200	32 000
2.	ZBITI PESEK, LAPOR (Sa) <i>globina > 6,00 m</i>	23	0	42	4,800	170 000

2.2 PROMETNA OBTEŽBA

2.2.1 Pešci

Pri določanju obtežbe vsled prometa je upoštevana obtežna shema po SIST EN 1991-2.

Zvezna obtežba

$$q_{fk} = 2,0 + \frac{120}{L + 30}$$

$$2,50 \text{ kN/m}^2 \leq q_{fk} = 2,0 + \frac{120}{L + 30} \leq 5,0 \text{ kN/m}^2$$

$$L = 86,00 \text{ m}$$

$$q_{fk} = 2,0 + \frac{120}{86 + 30} = 3,04 \text{ kN/m}^2$$

V analizi konstrukcije je bilo upoštevano 3.04 kN/m².

Pri postavitvi prometne obtežbe se je upoštevala »šahovska« postavitev.

OBJEKT	MOST CERŠAK	PZI PROJEKT
PROJEKTANT	Ponting inženirski biro d.o.o., Jernej Maher univ.dipl.inž.grad	ŠT.NAČRTA 537-2/2020
KRAJ IN DATUM	Maribor, januar 2021	STRAN 22

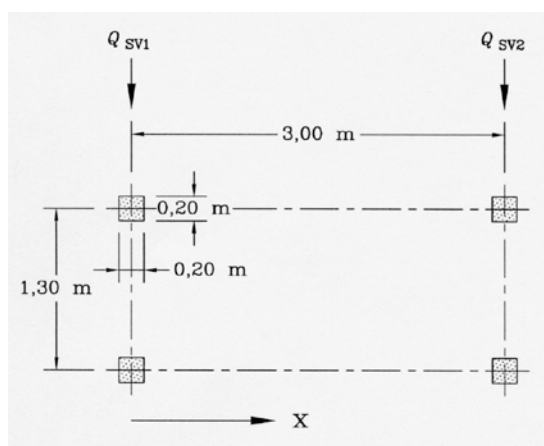
2.2.2 Servisno vozilo

Na most je preprečen dostop vozilom. Zaradi tega ni potrebno upoštevati obtežbe servisnega vozila, prav tako pa ni potrebno upoštevati obremenitev nezgodnega obtežnega primera vozila na objektu.

Kljub temu se je upoštevala za primer nezgodnega obtežnega primera obtežba lahkega poltovornega vozila. V dogovoru z naročnikom je za vzdrževanje bilo potrebno predvidevati možnost dostopa lahkega poltovornega vozila maksimalne osne obremenitve 2t (2x10kN), oziroma skupne teže 3,5t kar predstavlja obtežbo reševalnih in vzdrževalnih vozil ob izrednih dogodkih. Zaradi tega se je ta obremenitev upoštevala kot nezgodna obtežna kombinacija.

$$P = 1000 \text{ kg} = 10,0 \text{ kN} \quad ; \quad e_{pr} = 1.30 \text{ m}, e_{vzd} = 3.00 \text{ m}$$

Površina na kateri se upošteva obtežba znaša 0.2 x 0.2 m.



Shema postavitve obtežbe

2.2.3 Horizontalna sila

V skladu s standardom SIST EN 1991-2 znaša horizontalna sila 10% vertikalne zvezne obtežbe pešcev.

V primeru servisnega vozila je potrebno upoštevati 60% vertikalne obtežbe za horizontalno obtežbo.

2.2.4 Koncentrirana obtežba

V skladu s točko 5.3.2.2 v standardu EN 1991-2 se je za lokalno kontrolo koncentrirane obtežbe upoštevala obtežba za servisno vozilo, ki je definirana v točki 2.2.2 tega poročila.

2.2.5 Obtežba na ograjo

Upoštevana je bila obtežba 1.00 kN/m', ki lahko deluje v vseh smereh.

OBJEKT	MOST CERŠAK	PZI PROJEKT	
PROJEKTANT	Ponting inženirski biro d.o.o., Jernej Maher univ.dipl.inž.grad	ŠT.NAČRTA	537-2/2020
KRAJ IN DATUM	Maribor, januar 2021	STRAN	23

2.3 TEMPERATURNA OBTEŽBA

Iz podatkov, ki predstavljajo bližnje lokacije sta bili upoštevani sledeči maksimalni temperaturi:

- $T_{\max} = 37^{\circ}\text{C}$
- $T_{\min} = 25,5^{\circ}\text{C}$

Koeficient toplotne dilatacije upoštevani v izračunu znašajo:

- Leseni vzdolžni nosilci $\alpha_T = 0,3 \cdot 10^{-5} \text{ 1/K}$
- Jekleni elementi $\alpha_T = 1,2 \cdot 10^{-5} \text{ 1/K}$

Enakomerno segrevanje in ohlajevanje [$^{\circ}\text{C}$]		
	Lesena konstrukcija	Vešalke in vzdolžni nosilni kabli
Enakomerno segrevanje $\Delta T_{N,\text{exp}}$	27.0 $^{\circ}\text{C}$	40.0 $^{\circ}\text{C}$
Enakomerno ohlajevanje $\Delta T_{N,\text{con}}$	-27.0 $^{\circ}\text{C}$	-40.0 $^{\circ}\text{C}$
Neenakomerno segrevanje in ohlajevanje [$^{\circ}\text{C}$]		
	Lesena konstrukcija	
Zgoraj topleje $\Delta T_{M,\text{heat}}$	15.0 $^{\circ}\text{C}$	
Spodaj topleje $\Delta T_{M,\text{cool}}$	15.0 $^{\circ}\text{C}$	

Na podlagi literature vpliva temperature v lesenih elementih ni potrebno upoštevati (se je pa kljub temu apliciral). Zaradi tega je bila merodajna temperaturna obtežba enakomernega segrevanja oziroma ohlajevanja vešalk ter predvsem vzdolžnih nosilnih kablov.

Kombinacija za temperaturne vplive

$$\Delta T_{M,\text{heat}} (\text{ali } \Delta T_{M,\text{cool}}) + \omega_N \cdot \Delta T_{N,\text{exp}} (\text{ali } \Delta T_{N,\text{con}})$$

OZ.

$$\omega_M \cdot \Delta T_{M,\text{heat}} (\text{ali } \Delta T_{M,\text{cool}}) + \Delta T_{N,\text{exp}} (\text{ali } \Delta T_{N,\text{con}})$$

Faktorja za kombinacije znašata $\omega_N = 0.35$ in $\omega_M = 0.75$

OBJEKT	MOST CERŠAK	PZI PROJEKT	
PROJEKTANT	Ponting inženirski biro d.o.o., Jernej Maher univ.dipl.inž.grad	ŠT.NAČRTA	537-2/2020
KRAJ IN DATUM	Maribor, januar 2021	STRAN	24

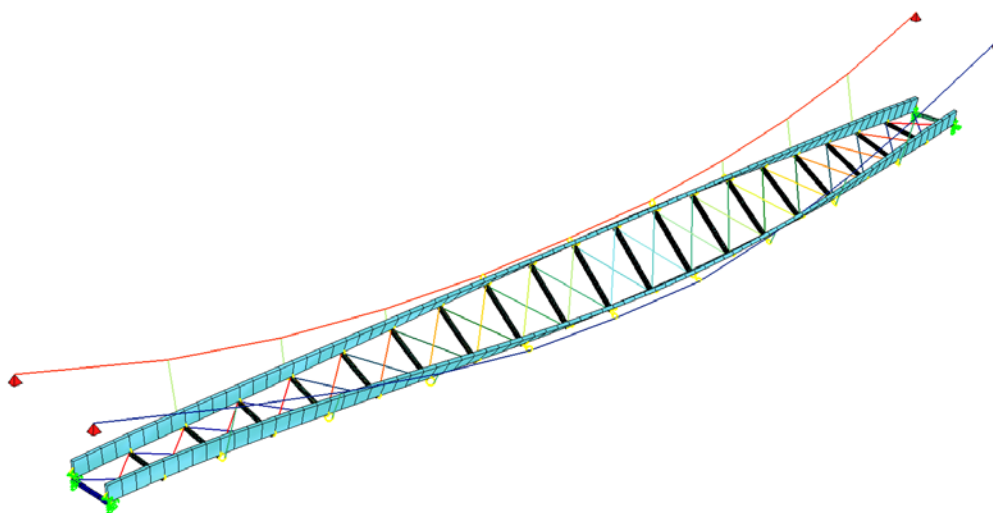
2.4 VETER

Upoštevana je obtežba z vetrom v skladu z SIST EN 1991-1-4. Pri izračunu obtežbe vetra je bilo upoštevano da se most nahaja v II. kategoriji terena.

Osnovna hitrost vetra $v_{b,0} = 20 \text{ m/s}$

$Z_0 = 0,05$ $Z_{min} = 2,0$

Prva nihajna v prečni smeri: $f = 0,94 \text{ Hz}$



Obtežba vetra se izračuna po enačbi

$$F_W = c_s c_d \cdot c_{fx} \cdot q_p \cdot A_{ref}$$

OBJEKT	MOST CERŠAK	PZI PROJEKT	
PROJEKTANT	Ponting inženirski biro d.o.o., Jernej Maher univ.dipl.inž.grad	ŠT.NAČRTA	537-2/2020
KRAJ IN DATUM	Maribor, januar 2021	STRAN	25

Obtežba vetra

Podatki		Rezultati	
Geometrija konstrukcije			
Širina b	86 [m]	Višina nad terenom h1	8.7 [m]
Višina h	1.6 [m]	Horizontalna konstrukcija	<input type="checkbox"/>
Karakteristike terena			
Kategorija terena	II.	Koeficient topografije	1.0
Hitrost vetra			
Referenčna hitrost vetra na višini 10 m	v_b	20 [m/s]	
Srednja hitrost vetra na višini z	$v_m(z)$	19.94 [m/s]	
Karakteristike konstrukcije			
Frekvenca udarne obtežbe vetra	<input checked="" type="checkbox"/>	ν	0.723 [Hz]
Osnovna lastna frekvenca konstrukcije	n_{1x}	0.94 [Hz]	
Logaritemski dekrement dušenja	δ	0.02	

Podatki	Rezultati
c_s, c_d	Koeficient konstrukcije 1.070
c_s	Dimenzijski koeficient 0.686
c_d	Dinamični koeficient 1.559
$v_m(z)$	Srednja hitrost vetra 19.939 m/s
$q_p(z)$	Pritisk maksimalne hitrosti vetra 0.580 kN/m ²
ν	Pričakovana frekvenca nihanja 0.723 Hz
$I_v(z)$	Intenziteta turbulence 0.191
B	Osnovni del odgovora 0.686
R	Rezultantni del odgovora 0.826
$C_0(z)$	Koeficient topografije 1.000
$C_f(z)$	Koeficient hrapavosti 0.997
$C_e(z)$	Koeficient izpostavljenosti 2.320
z_0	Dolžina neravnin 0.050 m
$L(z)$	Integralna vrednost dolžine turbulence 61.478 m
$S_L(z, n)$	Gostota spektralne energije 0.066
R_h	Aerodinamična vhodna funkcija 0.804
R_b	Aerodinamična vhodna funkcija 0.052

OBJEKT	MOST CERŠAK	PZI PROJEKT
PROJEKTANT	Ponting inženirski biro d.o.o., Jernej Maher univ.dipl.inž.grad	ŠT.NAČRTA 537-2/2020
KRAJ IN DATUM	Maribor, januar 2021	STRAN 26

Prekladna konstrukcija

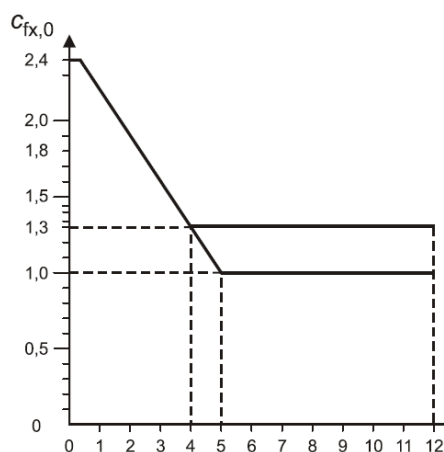
Obtežba vetra v x-smeri (prečna smer):

$$C_{fx} = C_{fx,0}$$

$$b = 4,65 \text{ m}$$

$$d_{\text{tot}} = 1,60$$

$$b/d_{\text{tot}} = 2,90 \rightarrow c_{fx,0} = 1,64$$

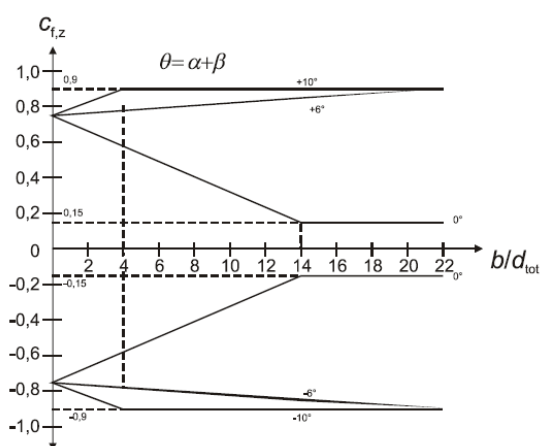


$$F_{W,x} = c_s c_d \cdot c_{fx} \cdot q_p \cdot A_{\text{ref}} = 1,07 \cdot 1,64 \cdot 0,58 \cdot 1,60 = 1,628 \text{ kN/m'}$$

Upoštevamo 1,65 kN/m'.

Obtežba vetra v vertikalni smeri:

$$C_{fz} = \pm 0,63$$



$$F_{W,z} = 1,07 \cdot 0,63 \cdot 0,58 \cdot 4,65 \approx 1,82 \text{ kN/m'}$$

OBJEKT	MOST CERŠAK	PZI PROJEKT	
PROJEKTANT	Ponting inženirski biro d.o.o., Jernej Maher univ.dipl.inž.grad	ŠT.NAČRTA	537-2/2020
KRAJ IN DATUM	Maribor, januar 2021	STRAN	27

2.5 SNEG

Nadmorska višina lokacije znaša približno 308m. Glede na lokacijo objekta (cona A2), se obtežba snega izračuna:

$$s_k = 1,293 \cdot \left(1 + \left(\frac{A}{728}\right)^2\right) = 1,526 \text{ kN/m}^2$$

$$s = u_i \cdot c_e \cdot c_t \cdot s_k = 0,8 \cdot 1 \cdot 1 \cdot 1,526 = 1,22 \text{ kN/m}^2$$

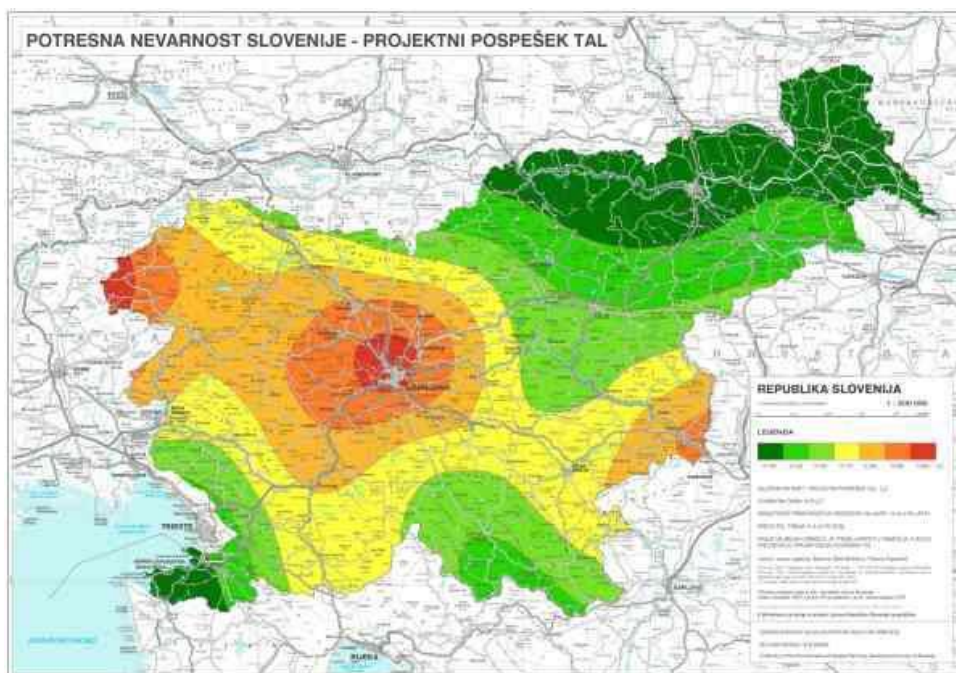
Obtežba snega se ne kombinira z obtežbo pešcev. Ker je velikost obtežba manjša kot pa znaša prometna obremenitev, v nadaljevanju več ne bo obravnavana.

2.6 POTRES

Ministrstvo za okolje in prostor, Uprava Republike Slovenije za geofiziko je leta 2002 izdala Karto potresne nevarnosti Slovenije, opredeljeno s projektnimi pospeški za povratno dobo 475 let in trdna tla (razred A po EC 8). Po tej karti znaša projektni pospešek tal na obravnavanem območju 0,100 g.

V skladu s preglednico 3.1 (SIST EN 1998-1) tla na lokaciji ustrezajo tipu tal B, za katera velja hitrost širjenja strižnih valov $v_{s,30}$ 360 - 800 m/s.

Faktor redukcije potresnih sil v horizontalnih smereh znaša $q = 1.0$.



OBJEKT	MOST CERŠAK	PZI PROJEKT	
PROJEKTANT	Ponting inženirski biro d.o.o., Jernej Maher univ.dipl.inž.grad	ŠT.NAČRTA	537-2/2020
KRAJ IN DATUM	Maribor, januar 2021	STRAN	28

3.0 PODKONSTRUKCIJA

3.1 LESENA KROVNA KONSTRUKCIJA

3.1.1 Splošno

Pohodna površina je sestavljena iz profiliranih lesenih podnic dimenzij B/H=140/40 mm, ki so položene na lesene vzdolžnike z vmesno fugo 1 cm. Pohodna površina se predvidi iz lesa Accoya.

Za analizo se je upošteval zmanjšán prerez zaradi obrabe, in sicer se je za izračun napetosti upoštevala višina 35mm ($\Delta=5\text{mm}$).

3.1.2 Analiza obtežb

Obtežbe, ki so se upoštevale so v skladu s poglavjem 2.:

- Lastna teža ($\gamma = 4,6 \text{ kN/m}^3$)
- Obtežba pešcev $5,0 \text{ kN/m}^2$
- Lokalna obremenitev servisnega vozila osne obremenitve $2t$ ($2 \times 10 \text{ kN}$) oziroma skupna teža $3,5t$. $10,0 \text{ kN}$ predstavlja eno kolo nezgodnega obtežnega primera. Pri izračunu se je upoštevala razširitev lokalnih obremenitev do težišča prereza pod kotom 15° oziroma 45° (v skladu s shemo iz EN 1991-2).

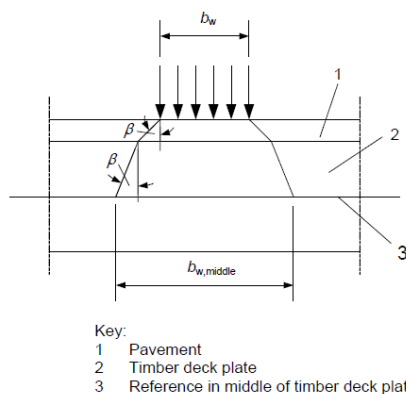


Figure 5.1 – Dispersion of concentrated loads from contact area width b_w

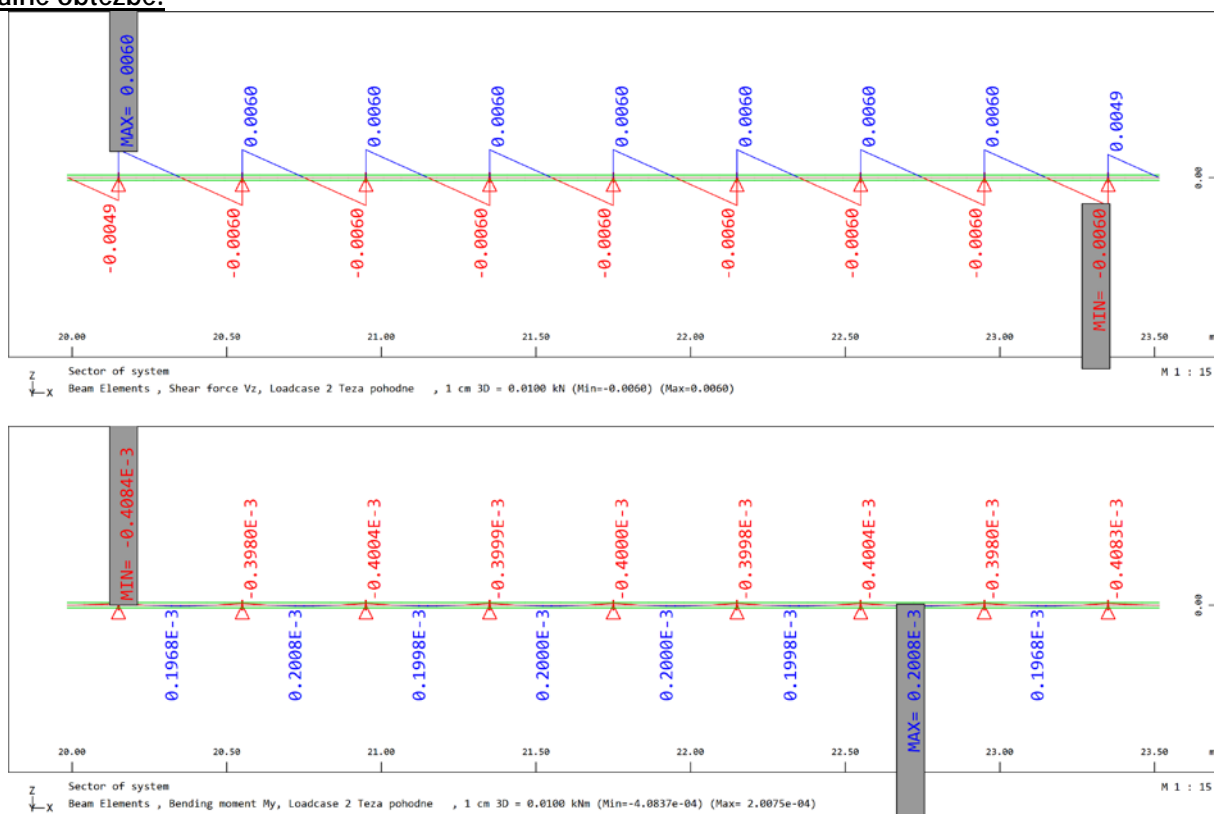
Table 5.2 – Dispersion angle β of concentrated loads for various materials

Pavement (in accordance with EN 1991-2 clause 4.3.6)	45°
Boards and planks	45°
Laminated timber deck plates:	
– in the direction of the grain	45°
– perpendicular to the grain	15°
Plywood and cross-laminated deck plates	45°

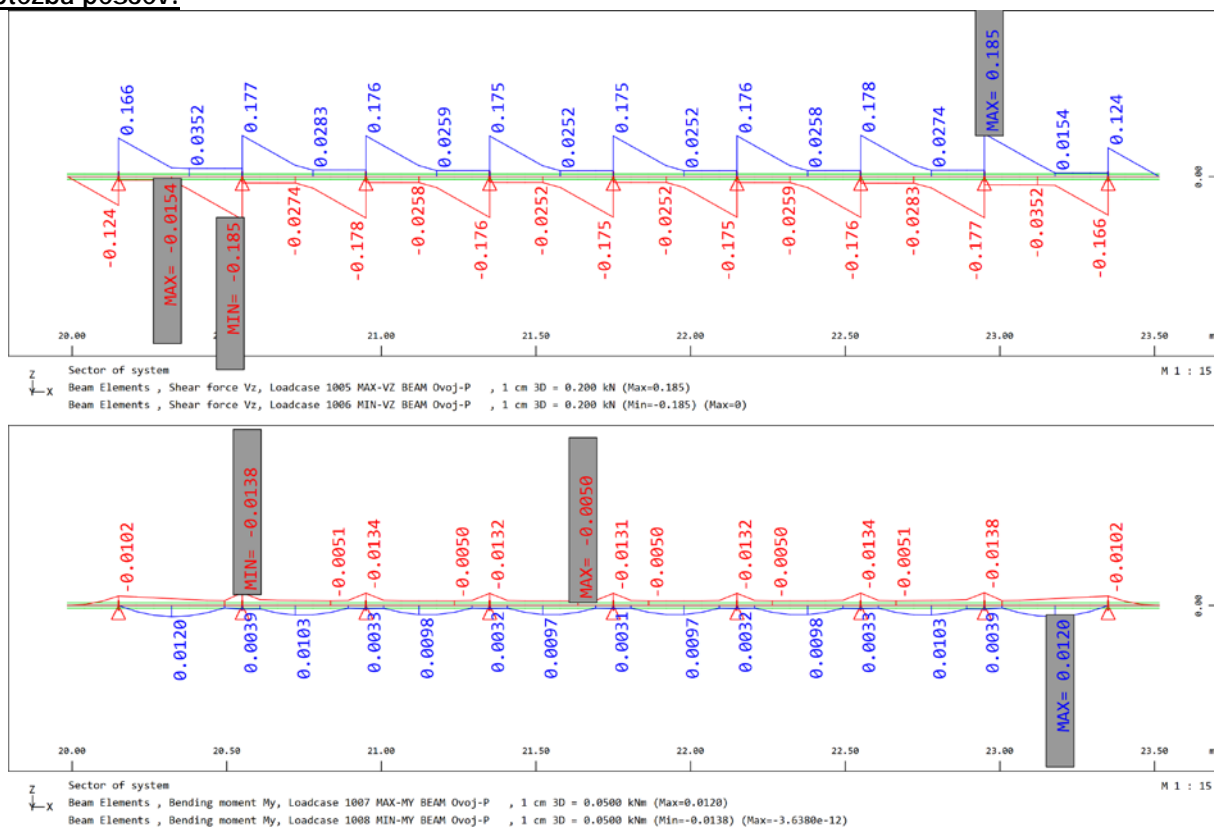
OBJEKT	MOST CERŠAK	PZI PROJEKT
PROJEKTANT	Ponting inženirski biro d.o.o., Jernej Maher univ.dipl.inž.grad	ŠT.NAČRTA 537-2/2020
KRAJ IN DATUM	Maribor, januar 2021	STRAN 29

3.1.3 Obremenitve

Stalne obtežbe:

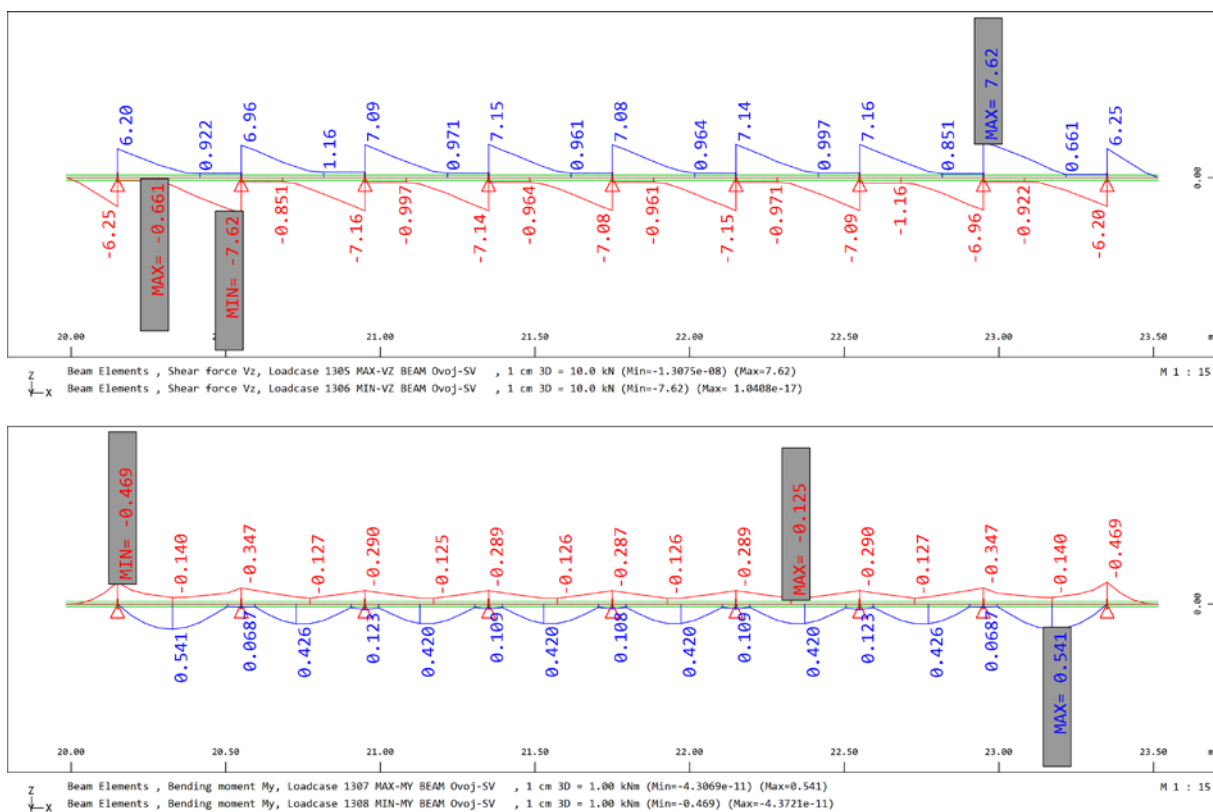


Obtežba pešcev:



OBJEKT	MOST CERŠAK	PZI PROJEKT
PROJEKTANT	Ponting inženirski biro d.o.o., Jernej Maher univ.dipl.inž.grad	ŠT.NAČRTA 537-2/2020
KRAJ IN DATUM	Maribor, januar 2021	STRAN 30

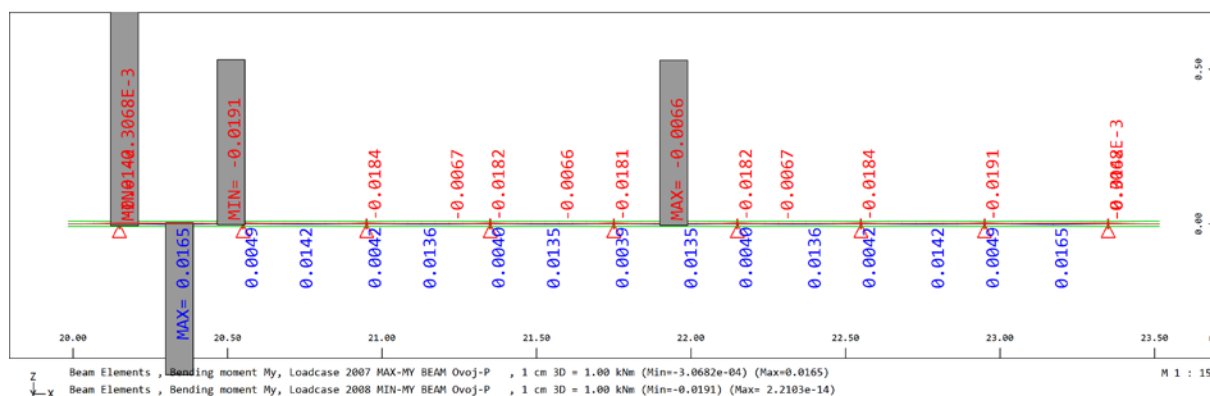
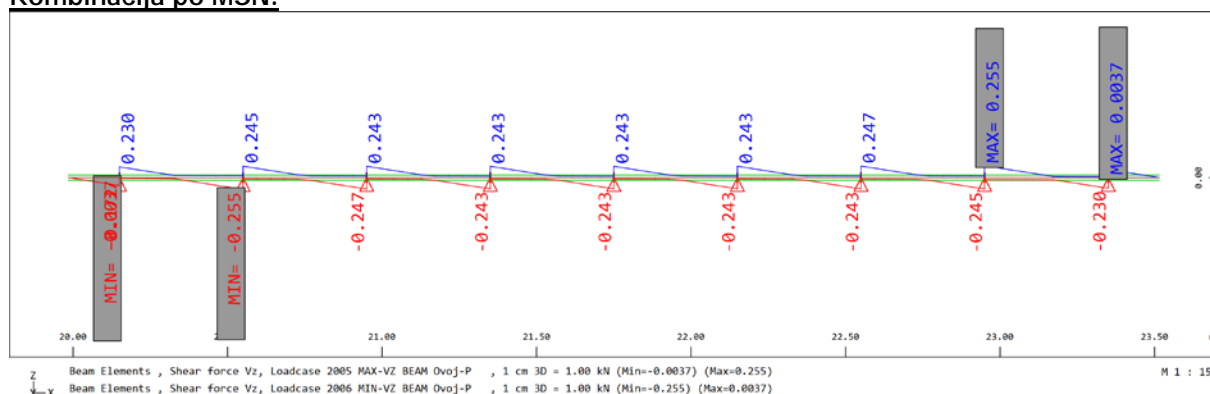
Servisno vozilo / koncentrirana obtežba (ovojnica):



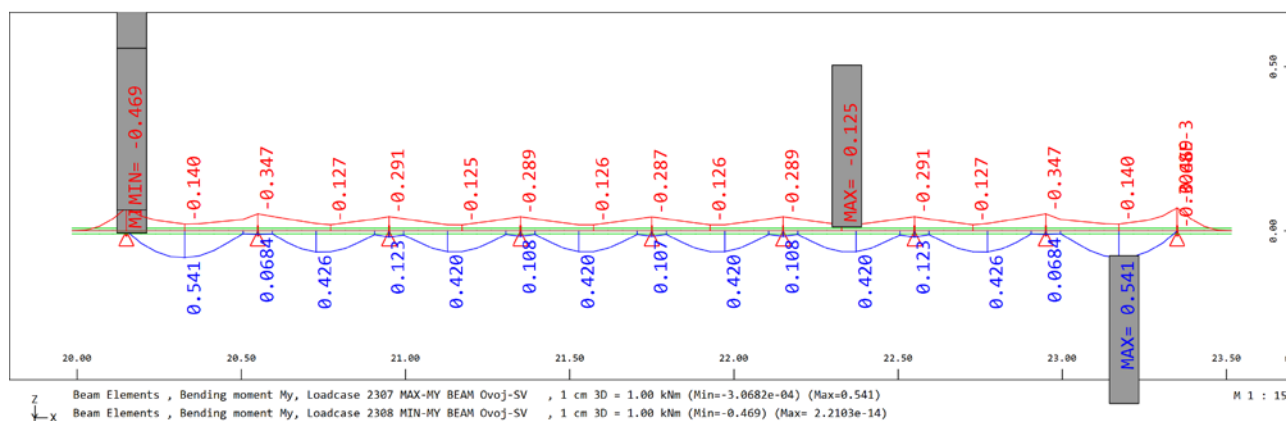
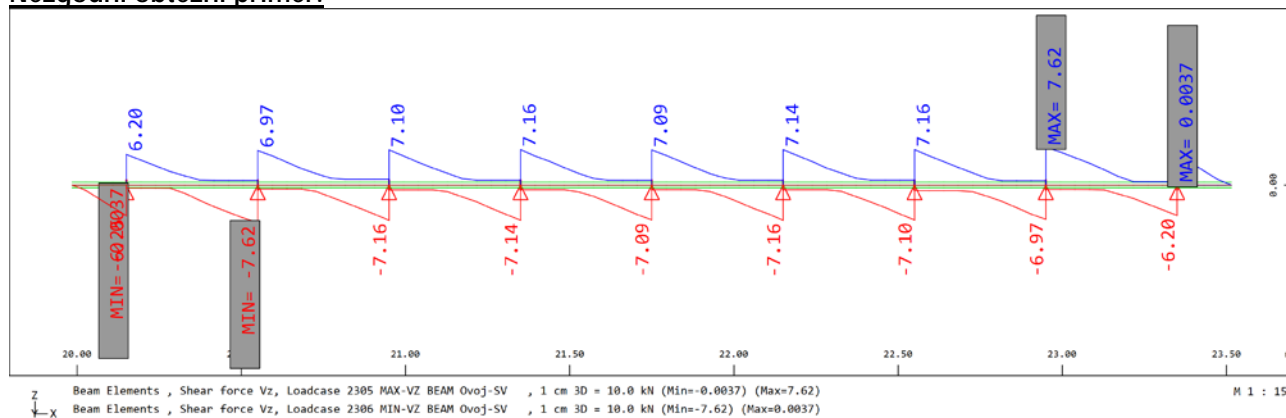
OBJEKT	MOST CERŠAK	PZI PROJEKT
PROJEKTANT	Ponting inženirski biro d.o.o., Jernej Maher univ.dipl.inž.grad	ŠT.NAČRTA 537-2/2020
KRAJ IN DATUM	Maribor, januar 2021	STRAN 31

3.1.4 Dimenzioniranje in kontrola

Kombinacija po MSN:



Nezgodni obtežni primer:



OBJEKT	MOST CERŠAK	PZI PROJEKT	
PROJEKTANT	Ponting inženirski biro d.o.o., Jernej Maher univ.dipl.inž.grad	ŠT.NAČRTA	537-2/2020
KRAJ IN DATUM	Maribor, januar 2021	STRAN	32

Merodajna je nezgodna obtežna kombinacija:

$$M_{y,max} = 0,541 \text{ kNm}$$

$$V_{z,max} = 7,62 \text{ kN}$$

Pri dimenzioniranju upoštevamo karakteristike lesa Accoy, in sicer:

$$f_{m,k} = 2,2 \text{ kN/cm}^2$$

$$f_{v,k} = 0,35 \text{ kN/cm}^2$$

Kontrola upogiba:

$$\sigma_{m,d} = \frac{M_{Ed}}{W_y} = 1,89 \text{ kN/cm}^2$$

$$f_{m,d} = k_{mod} \cdot \frac{f_{m,k}}{\gamma_M} = 1,1 \cdot \frac{2,2}{1,0} = 2,42 \text{ kN/cm}^2$$

$$\sigma_{m,d} = 1,89 \frac{\text{kN}}{\text{cm}^2} < f_{m,d} = 2,42 \frac{\text{kN}}{\text{cm}^2} \rightarrow i = \mathbf{0,78}$$

Kontrola striga:

Upoštevamo $b_{eff} = k_{cr} \cdot b$ ($k_{cr} = 0,67$), v skladu s SIST EN 1995-1-1, A1:

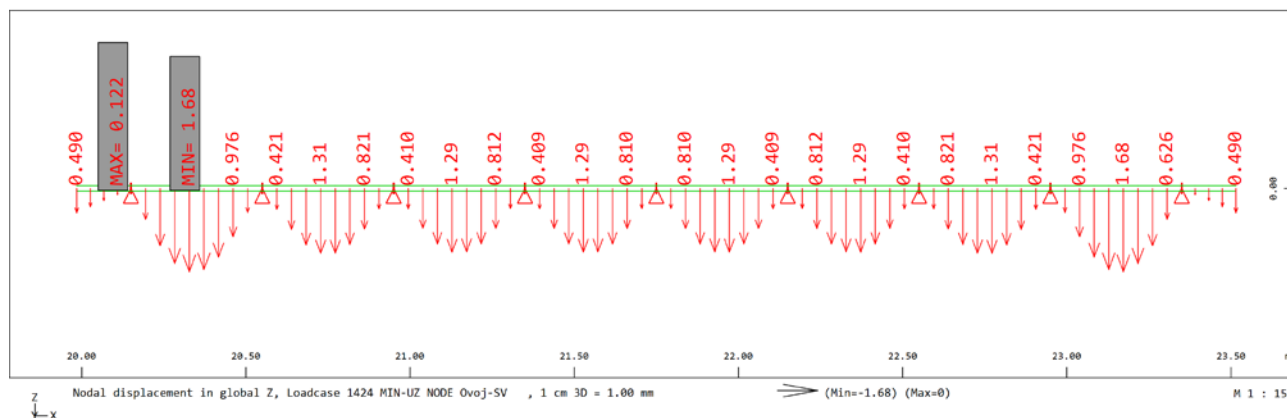
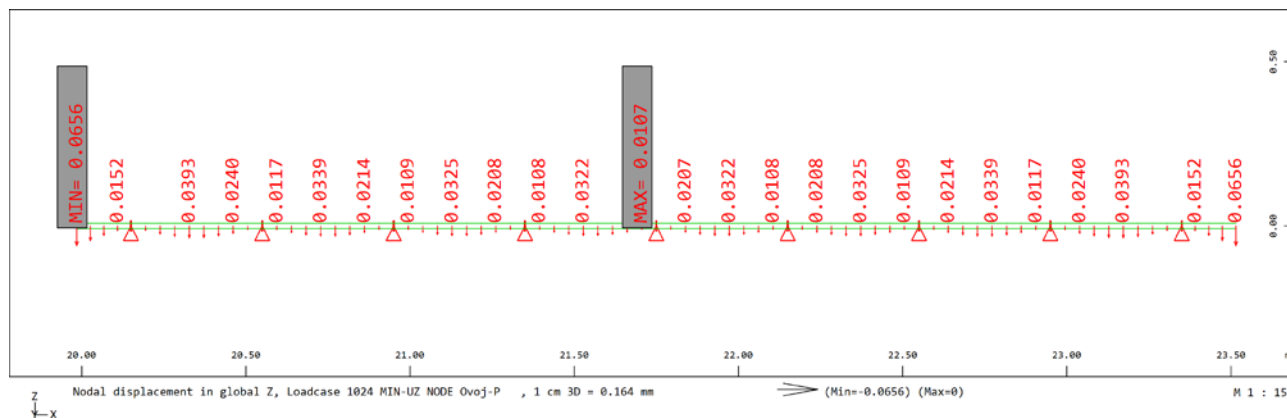
$$\tau_{Ed} = \frac{3 \cdot V_z}{2 \cdot b_{eff} \cdot h} = \frac{3 \cdot 7,62}{2 \cdot 0,67 \cdot 14 \cdot 3,5} = 0,348 \text{ kN/cm}^2$$

$$f_{v,d} = k_{mod} \cdot \frac{f_{v,k}}{\gamma_M} = 1,1 \cdot \frac{0,35}{1,0} = 0,385 \text{ kN/cm}^2$$

$$\tau_{Ed} = 0,348 \frac{\text{kN}}{\text{cm}^2} < f_{v,d} = 0,385 \frac{\text{kN}}{\text{cm}^2} \rightarrow i = \mathbf{0,90}$$

OBJEKT	MOST CERŠAK	PZI PROJEKT	
PROJEKTANT	Ponting inženirski biro d.o.o., Jernej Maher univ.dipl.inž.grad	ŠT.NAČRTA	537-2/2020
KRAJ IN DATUM	Maribor, januar 2021	STRAN	33

Kontrola deformacij (pešci/servisno vozilo):



$$u_{z,max.,pešci} = 0,07 \text{ mm} \rightarrow L/5.7 \cdot 10^4$$

$$u_{z,max.,SV} = 1,68 \text{ mm} \rightarrow L/240$$

OBJEKT	MOST CERŠAK	PZI PROJEKT	
PROJEKTANT	Ponting inženirski biro d.o.o., Jernej Maher univ.dipl.inž.grad	ŠT.NAČRTA	537-2/2020
KRAJ IN DATUM	Maribor, januar 2021	STRAN	34

3.2 VZDOLŽNA PODKONSTRUKCIJA -VZDOLŽNIKI

3.2.1 Splošno

Vzdolžne elemente podkonstrukcije predstavljajo leseni profili prereza 16/16cm, katerim se prerez na mestu naganja spremeni na 16/11 cm. Narejeni so iz lesa kvalitete C30. Pri analizi je bil upoštevan prostoležeč nosilec dolžine 4,3m.

3.2.2 Analiza obtežb

Obtežbe, ki so se upoštevale so v skladu s poglavjem 2.:

- Lastna teža ($\gamma = 4,6 \text{ kN/m}^3$)
- Obtežba krova
- Obtežba pešcev $5,0 \text{ kN/m}^2$
- Lokalna obremenitev servisnega vozila osne obremenitve $2t$ ($2 \times 10 \text{ kN}$) oziroma skupna teža $3,5t$. $10,0 \text{ kN}$ predstavlja eno kolo nezgodnega obtežnega primera. Pri izračunu se je upoštevala razširitev lokalnih obremenitev do težišča prereza pod kotom 15° oziroma 45° (v skladu s shemo iz EN 1991-2).

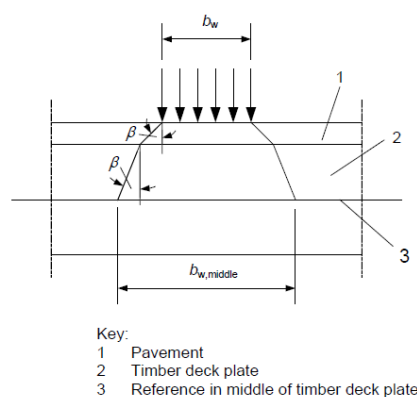


Figure 5.1 – Dispersion of concentrated loads from contact area width b_w

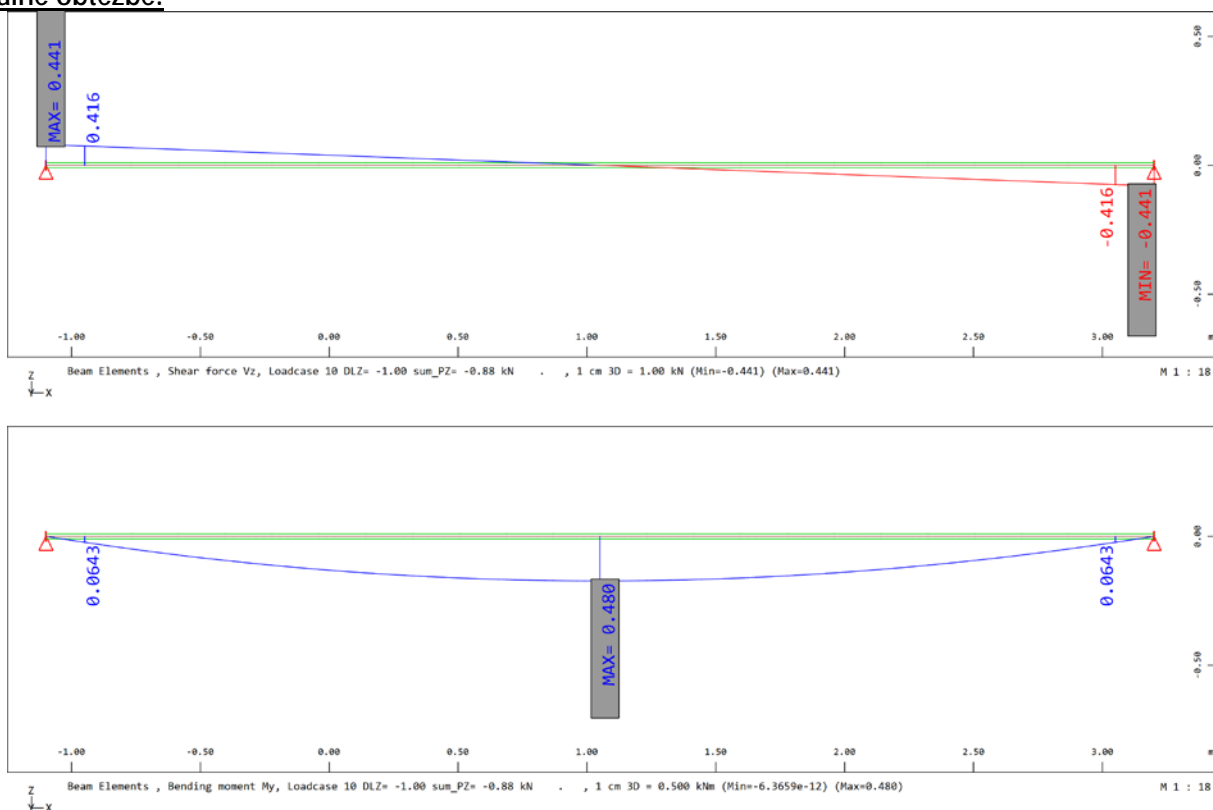
Table 5.2 – Dispersion angle β of concentrated loads for various materials

Pavement (in accordance with EN 1991-2 clause 4.3.6)	45°
Boards and planks	45°
Laminated timber deck plates:	
– in the direction of the grain	45°
– perpendicular to the grain	15°
Plywood and cross-laminated deck plates	45°

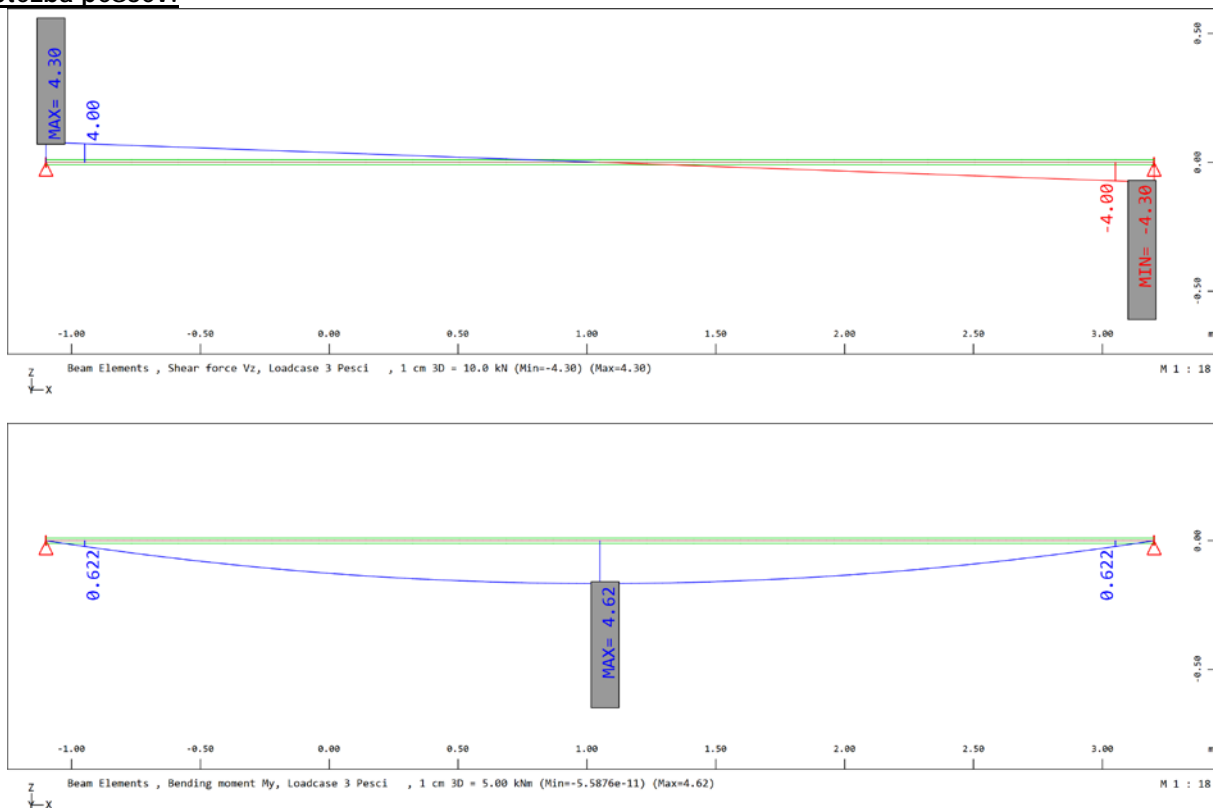
OBJEKT	MOST CERŠAK	PZI PROJEKT
PROJEKTANT	Ponting inženirski biro d.o.o., Jernej Maher univ.dipl.inž.grad	ŠT.NAČRTA 537-2/2020
KRAJ IN DATUM	Maribor, januar 2021	STRAN 35

3.2.3 Obremenitve

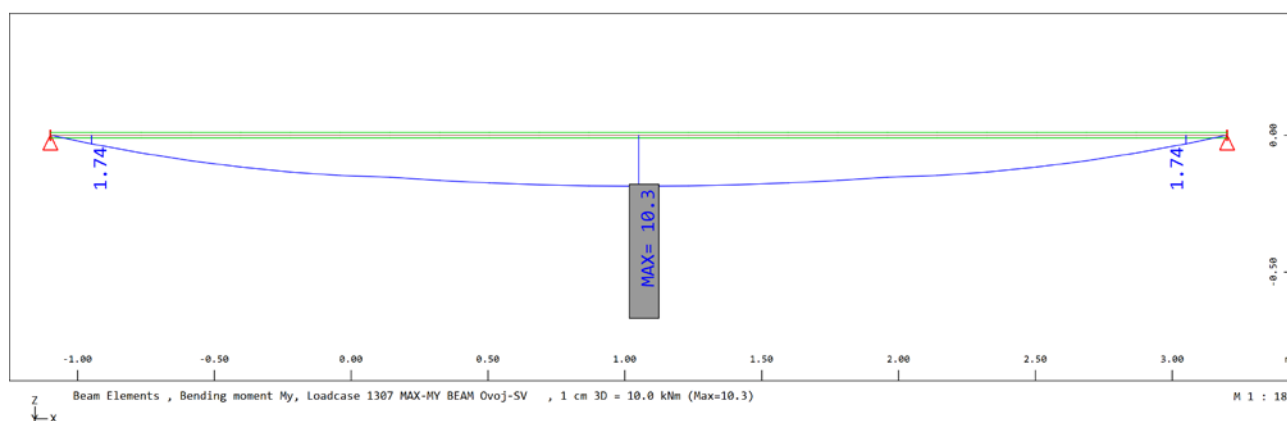
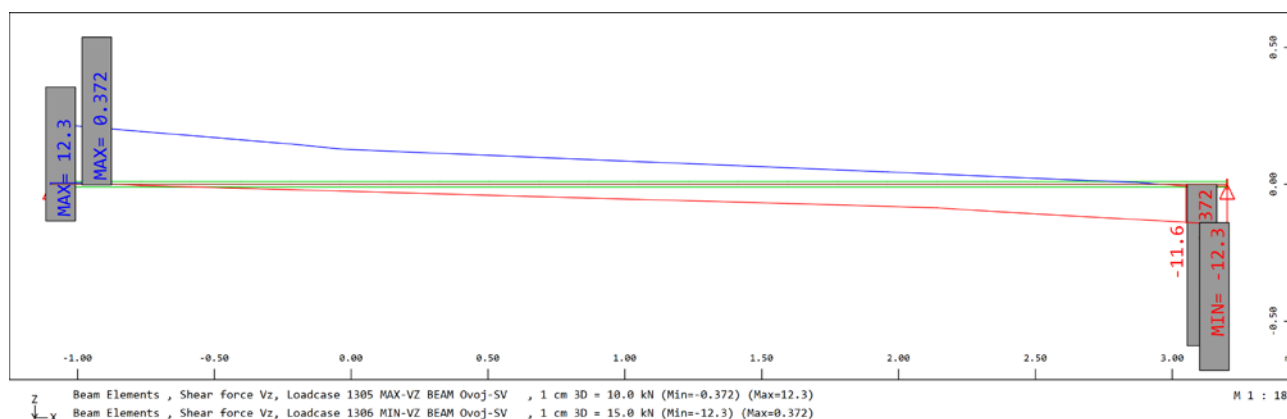
Stalne obtežbe:



Obtežba pešcev:



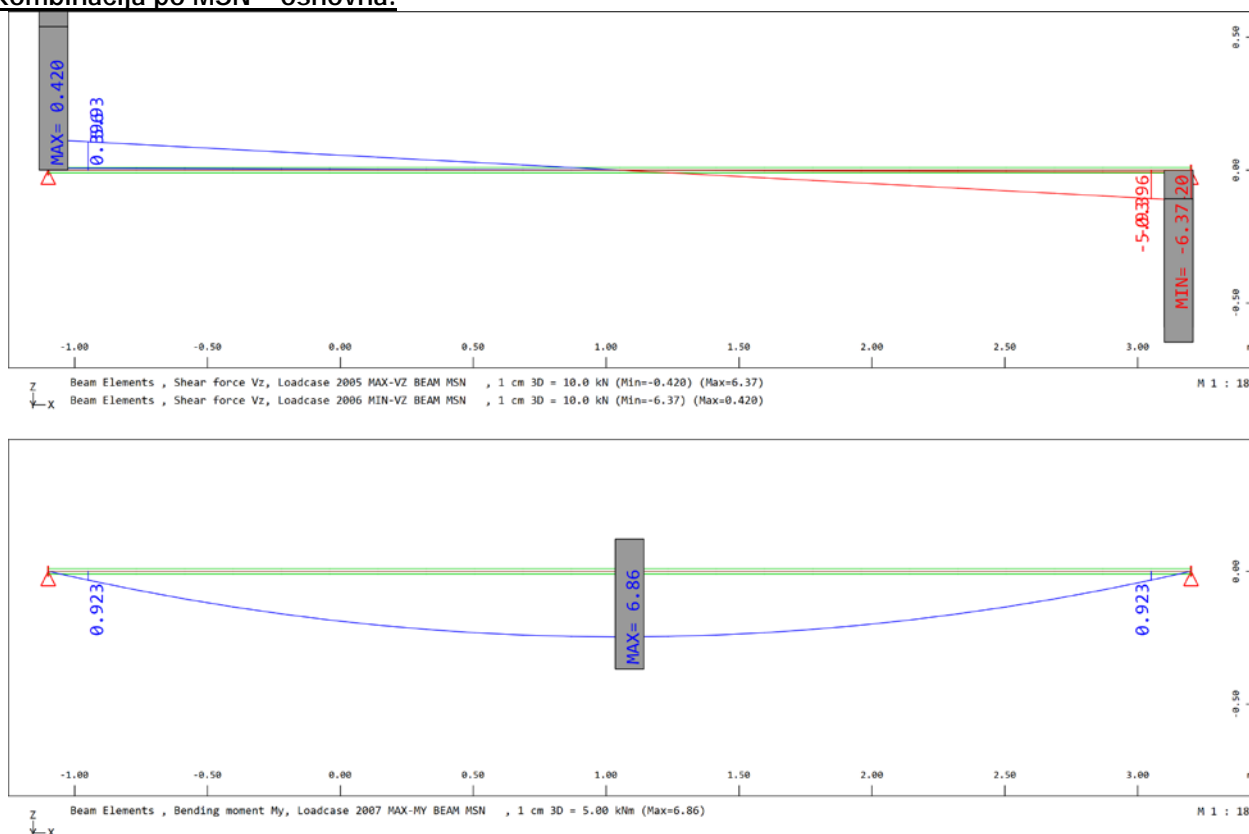
OBJEKT	MOST CERŠAK	PZI PROJEKT	
PROJEKTANT	Ponting inženirski biro d.o.o., Jernej Maher univ.dipl.inž.grad	ŠT.NAČRTA	537-2/2020
KRAJ IN DATUM	Maribor, januar 2021	STRAN	36

Servisno vozilo / koncentrirana obtežba:

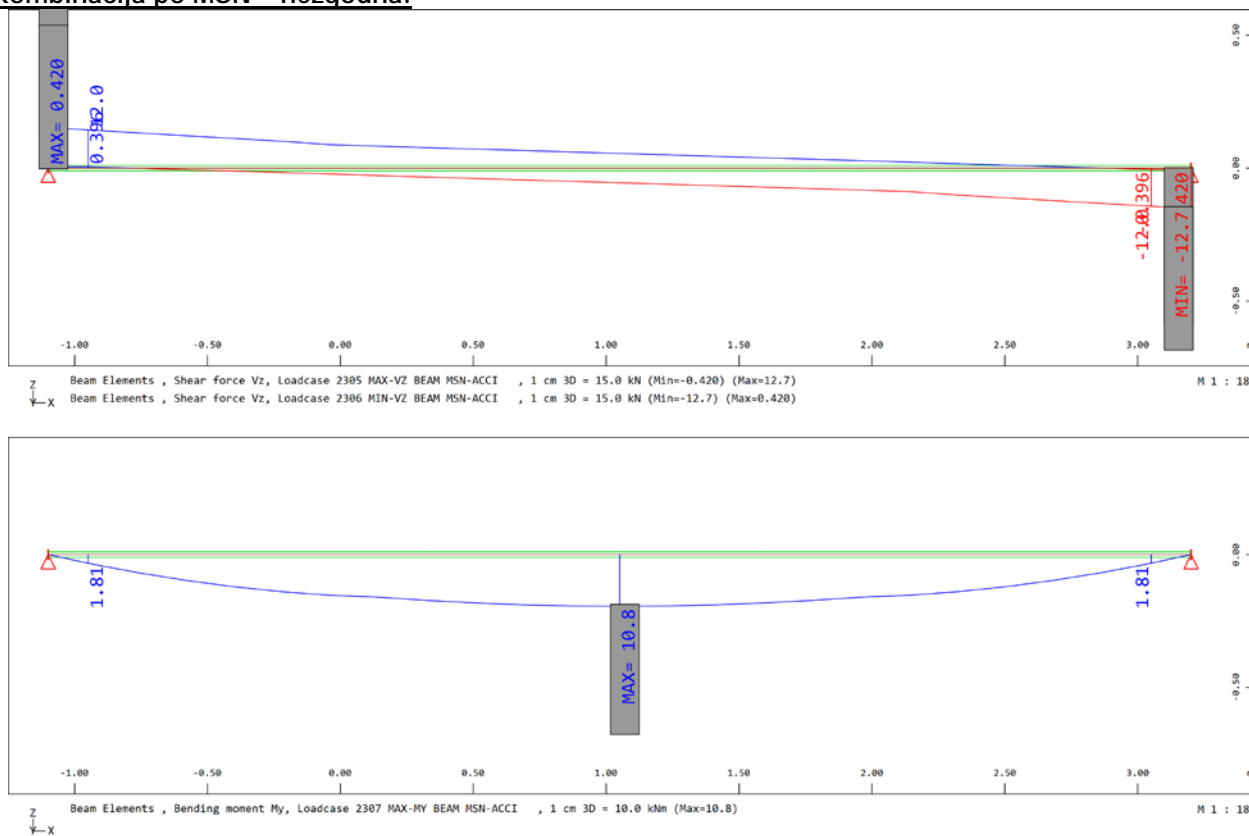
OBJEKT	MOST CERŠAK	PZI PROJEKT
PROJEKTANT	Ponting inženirski biro d.o.o., Jernej Maher univ.dipl.inž.grad	ŠT.NAČRTA 537-2/2020
KRAJ IN DATUM	Maribor, januar 2021	STRAN 37

3.2.4 Dimenzioniranje in kontrola

Kombinacija po MSN – osnovna:



Kombinacija po MSN – nezgodna:



OBJEKT	MOST CERŠAK	PZI PROJEKT	
PROJEKTANT	Ponting inženirski biro d.o.o., Jernej Maher univ.dipl.inž.grad	ŠT.NAČRTA	537-2/2020
KRAJ IN DATUM	Maribor, januar 2021	STRAN	38

Pri dimenzioniranju so bile upoštevane karakteristike lesa C30:

Materialne karakteristike			
Trdnostni razred		C30	
$f_{m,k}$	3,0	kN/cm ²	[upogib]
$f_{t,0,k}$	1,8	kN/cm ²	[nateg]
$f_{t,90,k}$	0,06	kN/cm ²	[nateg]
$f_{c,0,k}$	2,3	kN/cm ²	[tlak]
$f_{c,90,k}$	0,27	kN/cm ²	[tlak]
$f_{v,k}$	0,30	kN/cm ²	[strig]
$E_{0,mean}$	1200,0	kN/cm ²	[mod.el.]
$E_{0,05}$	800,0	kN/cm ²	[mod.el.]
$E_{90,mean}$	40,0	kN/cm ²	[mod.el.]
G_{mean}	75,00	kN/cm ²	[str.mod.]
$G_{0,05}$	50,00	kN/cm ²	[str.mod.]
ρ_k	380,00	kg/m ³	[gostota]
ρ_{mean}	460,00	kg/m ³	[gostota]

$M_{y,max} = 6,86$ kNm osnovna kombinacija

$M_{y,max} = 10,80$ kNm nezgodna kombinacija

$V_{z,max} = 6,37$ kN osnovna kombinacija

$V_{z,max} = 12,70$ kN nezgodna kombinacija

Kontrola upogiba:

Osnovna kombinacija:

$$\sigma_{m,d} = \frac{M_{Ed}}{W_y} = 1,01 \text{ kN/cm}^2$$

$$f_{m,d} = k_{mod} \cdot \frac{f_{m,k}}{\gamma_M} = 0,9 \cdot \frac{3,0}{1,3} = 2,07 \frac{\text{kN}}{\text{cm}^2}$$

$$\sigma_{m,d} = 1,01 \frac{\text{kN}}{\text{cm}^2} < f_{m,d} = 2,07 \frac{\text{kN}}{\text{cm}^2} \rightarrow i = 0,49$$

Nezgodna kombinacija:

$$\sigma_{m,d} = \frac{M_{Ed}}{W_y} = 1,58 \text{ kN/cm}^2$$

$$f_{m,d} = k_{mod} \cdot \frac{f_{m,k}}{\gamma_M} = 1,1 \cdot \frac{3,0}{1,0} = 3,30 \text{ kN/cm}^2$$

$$\sigma_{m,d} = 1,58 \frac{\text{kN}}{\text{cm}^2} < f_{m,d} = 3,30 \frac{\text{kN}}{\text{cm}^2} \rightarrow i = 0,48$$

OBJEKT	MOST CERŠAK	PZI PROJEKT	
PROJEKTANT	Ponting inženirski biro d.o.o., Jernej Maher univ.dipl.inž.grad	ŠT.NAČRTA	537-2/2020
KRAJ IN DATUM	Maribor, januar 2021	STRAN	39

Kontrola striga:

Osnovna kombinacija:

$$\tau_{Ed} = \frac{3 \cdot V_z}{2 \cdot b \cdot h_{ef}} \leq k_v \cdot f_{v,d}$$

 $b = b_{ef}$ (maksimalna prečna sila se ne pojavlja na mestu upogibnih obremenitev)

$$h_{ef} = 11 \text{ cm}$$

$$\tau_{Ed} = \frac{3 \cdot V_z}{2 \cdot b \cdot h_{ef}} = \frac{3 \cdot 6,37}{2 \cdot 16 \cdot 11} = 0,055 \text{ kN/cm}^2$$

$$k_v = \min \left\{ \frac{1}{k_n \left(1 + \frac{1,1 i^{1,5}}{\sqrt{h}} \right)}, \frac{1}{\sqrt{h} \left(\sqrt{\alpha(1-\alpha)} + 0,8 \frac{x}{h} \sqrt{\frac{1}{\alpha} - \alpha^2} \right)} \right\} = 0,58$$

$$k_v \cdot f_{v,d} = 0,58 \cdot k_{mod} \cdot \frac{f_{v,k}}{\gamma_M} = 0,58 \cdot 0,9 \cdot \frac{0,3}{1,3} = 0,120 \frac{\text{kN}}{\text{cm}^2}$$

$$\tau_{Ed} = 0,055 \frac{\text{kN}}{\text{cm}^2} < f_{v,d} = 0,120 \frac{\text{kN}}{\text{cm}^2} \rightarrow i = \mathbf{0,46}$$

Nezgodna kombinacija:

$$\tau_{Ed} = \frac{3 \cdot V_z}{2 \cdot b \cdot h_{ef}} \leq k_v \cdot f_{v,d}$$

 $b = b_{ef}$ (maksimalna prečna sila se ne pojavlja na mestu upogibnih obremenitev)

$$h_{ef} = 11 \text{ cm}$$

$$\tau_{Ed} = \frac{3 \cdot V_z}{2 \cdot b_{eff} \cdot h} = \frac{3 \cdot 12,7}{2 \cdot 16 \cdot 11} = 0,108 \text{ kN/cm}^2$$

$$k_v = \min \left\{ \frac{1}{k_n \left(1 + \frac{1,1 i^{1,5}}{\sqrt{h}} \right)}, \frac{1}{\sqrt{h} \left(\sqrt{\alpha(1-\alpha)} + 0,8 \frac{x}{h} \sqrt{\frac{1}{\alpha} - \alpha^2} \right)} \right\} = 0,58$$

OBJEKT	MOST CERŠAK	PZI PROJEKT	
PROJEKTANT	Ponting inženirski biro d.o.o., Jernej Maher univ.dipl.inž.grad	ŠT.NAČRTA	537-2/2020
KRAJ IN DATUM	Maribor, januar 2021	STRAN	40

$$k_v \cdot f_{v,d} = 0,58 \cdot k_{mod} \cdot \frac{f_{v,k}}{\gamma_M} = 0,58 \cdot 1,1 \cdot \frac{0,3}{1,0} = 0,191 \frac{kN}{cm^2}$$

$$\tau_{Ed} = 0,108 \frac{kN}{cm^2} < f_{v,d} = 0,191 \frac{kN}{cm^2} \rightarrow i = 0,57$$

Kontrola kontaktnih napetosti:

$F_{z,max} = 6,37 \text{ kN}$ osnovna kombinacija

$F_{z,max} = 12,7 \text{ kN}$ nezgodna kombinacija

$$\sigma_{c,90,d} = \frac{F_{c,90,d}}{A_{ef}} \leq k_{c,90} \cdot f_{c,90,d} = k_{c,90} \cdot k_{mod} \cdot \frac{f_{c,90,k}}{\gamma_M}$$

Osnovna kombinacija:

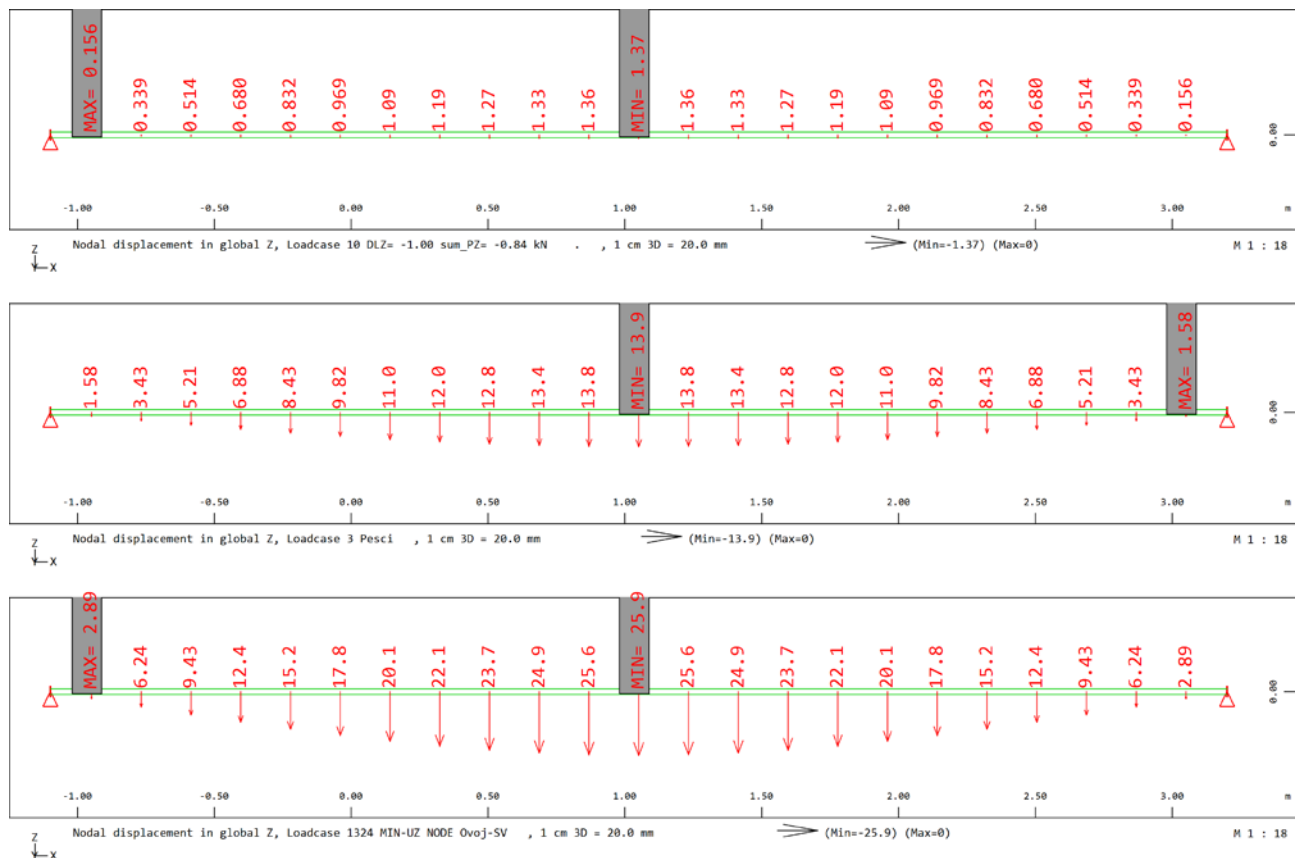
$$\sigma_{c,90,d} = \frac{6,37}{9,5 \cdot 12} = 0,082 \frac{kN}{cm^2} \leq 1 \cdot 0,186 = 0,186 \frac{kN}{cm^2}$$

Nezgodna kombinacija:

$$\sigma_{c,90,d} = \frac{12,70}{9,5 \cdot 12} = 0,111 \frac{kN}{cm^2} \leq 1 \cdot 0,243 = 0,243 \frac{kN}{cm^2}$$

OBJEKT	MOST CERŠAK	PZI PROJEKT	
PROJEKTANT	Ponting inženirski biro d.o.o., Jernej Maher univ.dipl.inž.grad	ŠT.NAČRTA	537-2/2020
KRAJ IN DATUM	Maribor, januar 2021	STRAN	41

Kontrola deformacij (stalne/pešci/servisno vozilo):



Obtežba	U_z [mm]
Stalne obtežbe	1,37 brez upoštevanja lezenja \rightarrow L/3000
Pešci	13,9 \rightarrow L/310
Servisno vozilo	25,9 \rightarrow L/170

OBJEKT	MOST CERŠAK	PZI PROJEKT
PROJEKTANT	Ponting inženirski biro d.o.o., Jernej Maher univ.dipl.inž.grad	ŠT.NAČRTA 537-2/2020
KRAJ IN DATUM	Maribor, januar 2021	STRAN 42

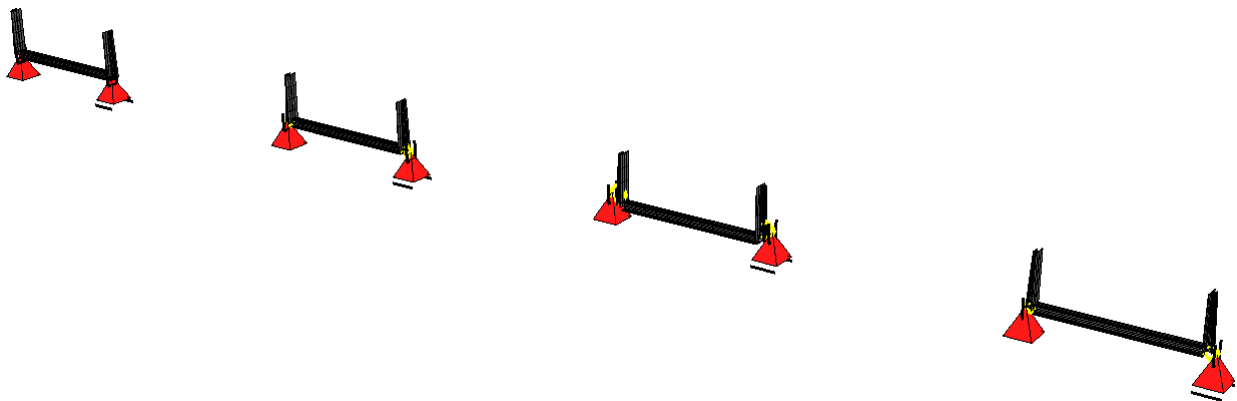
4.0 ANALIZA KONSTRUKCIJE V PREČNI SMERI

4.1 JEKLENI PREČNI OKVIRJI

4.1.1 Splošno

Prečno sta vzdolžna lepljena nosilca povezana preko jeklenih okvirjev. Ti so sestavljeni iz prečnikov HEB 240 in vertikalnih elementov jeklenega okvirja HEB 200 (100). Osnovni raster jeklenih okvirjev je 4.30 m (86/20). Jekleni okvirji so postavljeni vertikalno, med prečnimi okvirji in vzdolžnimi nosilci pa so vstavljene kompenzacijske plošče iz armirane gume ali ustrezne umetne mase.

Kontrola jeklenih prečnih okvirjev se je izvedla na globalnem modelu, prav tako pa je bil izdelan lokalni model za prečno smer, kjer se je opravila analiza za vse tipične osi (z in brez vešalk). Lokalni model je prikazan na spodnji sliki.



Lokalni modeli za analizo jeklenih prečnikov

OBJEKT	MOST CERŠAK	PZI PROJEKT	
PROJEKTANT	Ponting inženirski biro d.o.o., Jernej Maher univ.dipl.inž.grad	ŠT.NAČRTA	537-2/2020
KRAJ IN DATUM	Maribor, januar 2021	STRAN	43

4.1.2 Analiza obtežb

Obtežbe, ki so se upoštevale so bile opisane že v poglavju 2.

Dodatno je bila pri globalnem modelu upoštevana izbočna sila q_d na vodoravno povezje, ki podpira vzdolžni tlačni nosilec. Na ta način se je upošteval vpliv globalnih nepopolnosti in posledično povečanje obremenitev v prerezi. Tlačne obremenitve v vzdolžnem nosilcu nastanejo zaradi horizontalne obtežbe vetra. Izbočna sila se izračuna s pomočjo izraza:

$$q_d = \sum N_{Ed} 8 \frac{(e_0 + \delta_q)}{L^2}$$

$$\alpha_m = 1$$

$$e_0 = \alpha_m \frac{L}{500} = 17,2 \text{ cm}$$

$$\delta_q = 11,0 \text{ cm}$$

$$q_d = 500 \cdot 8 \cdot \frac{(0,172 + 0,11)}{L^2} = 0,153 \frac{\text{kN}}{\text{m}'} = 0,16 \frac{\text{kN}}{\text{m}'}$$

V primeru če se sila določi v skladu z EN 1995-1-1, enačba 9.37:

$$q_d = k_1 \cdot \frac{n \cdot N_d}{k_{f,3} \cdot l} = 0,417 \cdot \frac{2 \cdot 500}{30 \cdot 86} = 0,16 \frac{\text{kN}}{\text{m}'}$$

OBJEKT	MOST CERŠAK	PZI PROJEKT	
PROJEKTANT	Ponting inženirski biro d.o.o., Jernej Maher univ.dipl.inž.grad	ŠT.NAČRTA	537-2/2020
KRAJ IN DATUM	Maribor, januar 2021	STRAN	44

Obremenitve, ki smo jih upoštevali pri 2D ravninskem modelu so prikazane v nadaljevanju. Vertikalne obremenitve so se upoštevale na dvojnem rastru (2x4,3m), s čimer so se dobile pravilne reakcije v podporah, ki predstavljajo vešalke. Horizontalne obremenitve na okvir so izračunane za raster 4,3 m. Zaradi upoštevanja dvojnega rastra v vertikalni smeri so rezultati na varni strani. V nadaljevanju bo podana tudi primerjava z rezultati iz globalnega modela.

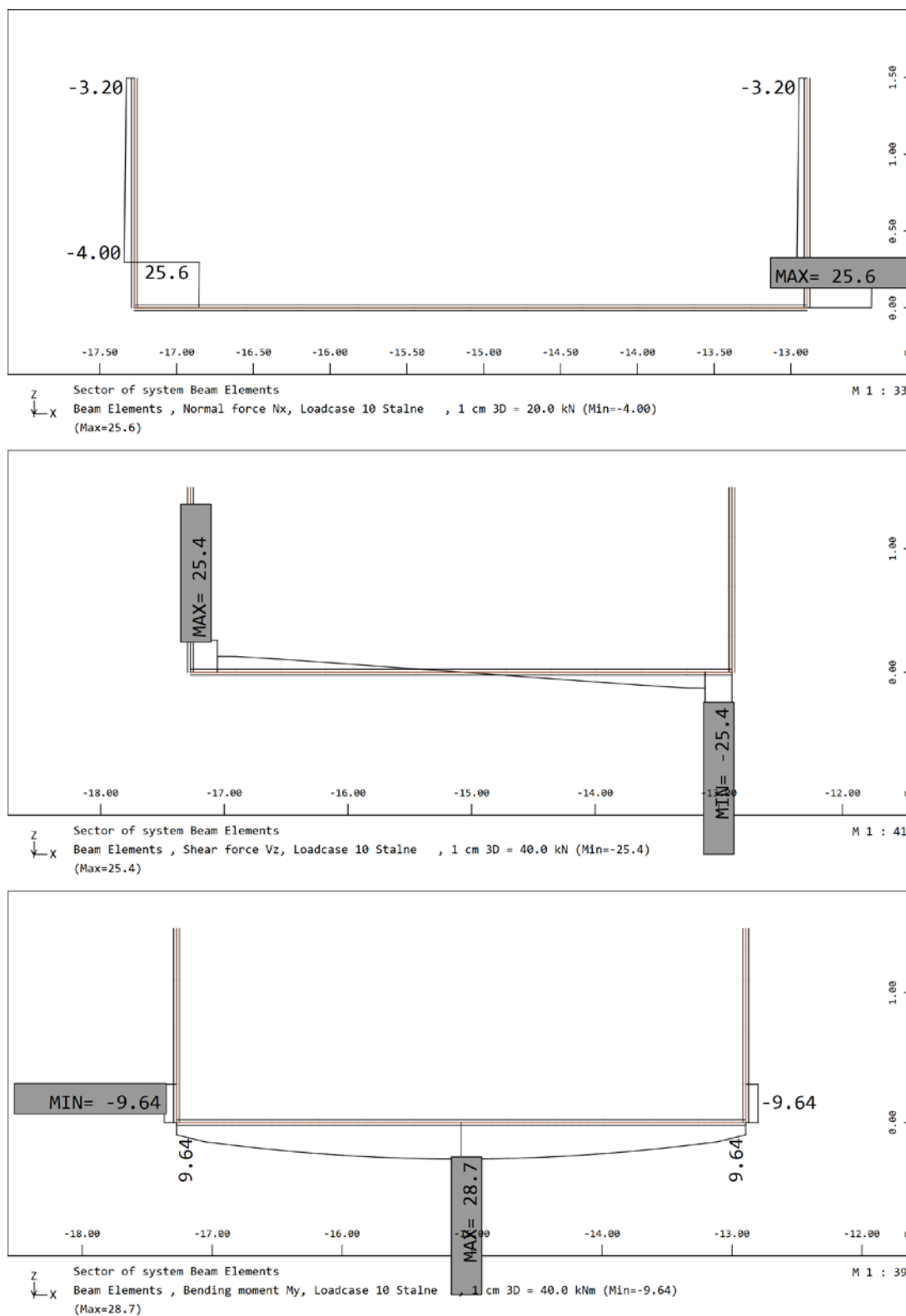
Obtežni primer	Smer delovanja	Velikost
Lastna teža vzdolžnih nosilcev	z-smer	= 2,95 kN/m'
Obtežba krova	z-smer	= 3,10 kN/m'
Obtežba vetra	y-smer	= 1,65 kN/m'
Pešci	z-smer	= 3,04 kN/m ²
Obtežba na ograjo	y,z-smer	= 1,0 kn/m'
Obtežba servisnega vozila	z-smer	= 2x20 kN
Izbočitvena sila zaradi preprečitve uklona (poglavje 5.5.2)	y-smer	= 7,1 kN

OBJEKT	MOST CERŠAK	PZI PROJEKT
PROJEKTANT	Ponting inženirski biro d.o.o., Jernej Maher univ.dipl.inž.grad	ŠT.NAČRTA 537-2/2020
KRAJ IN DATUM	Maribor, januar 2021	STRAN 45

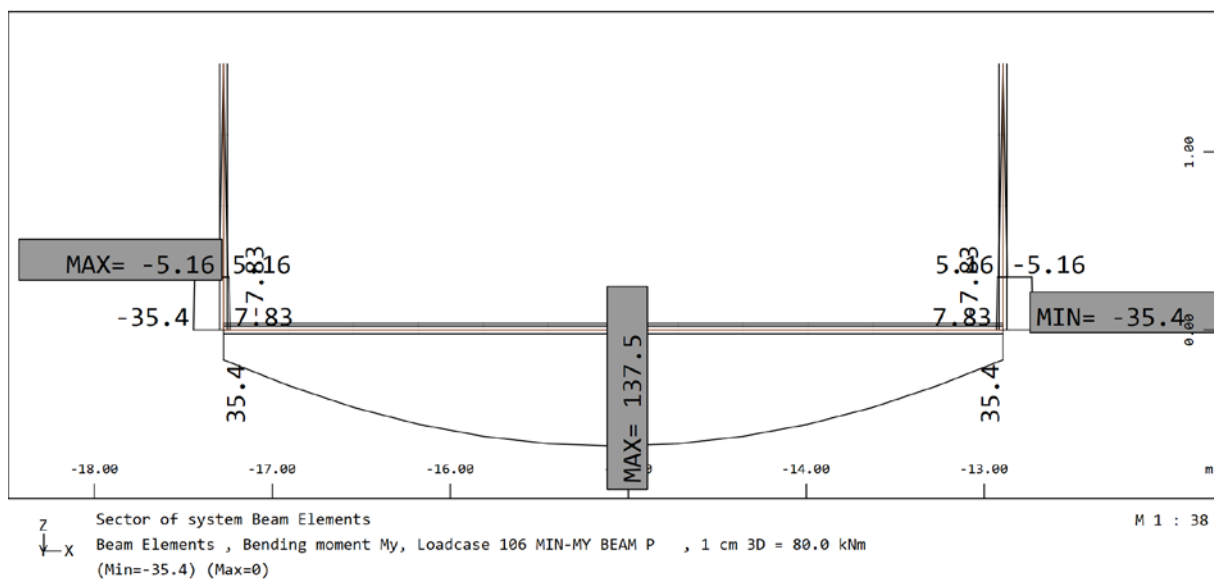
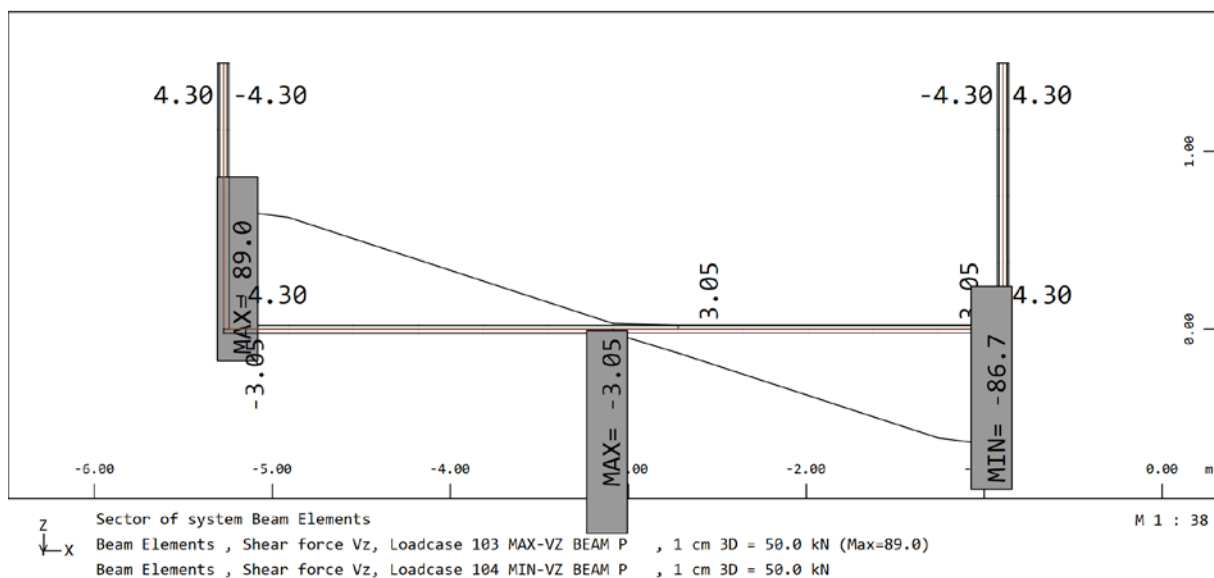
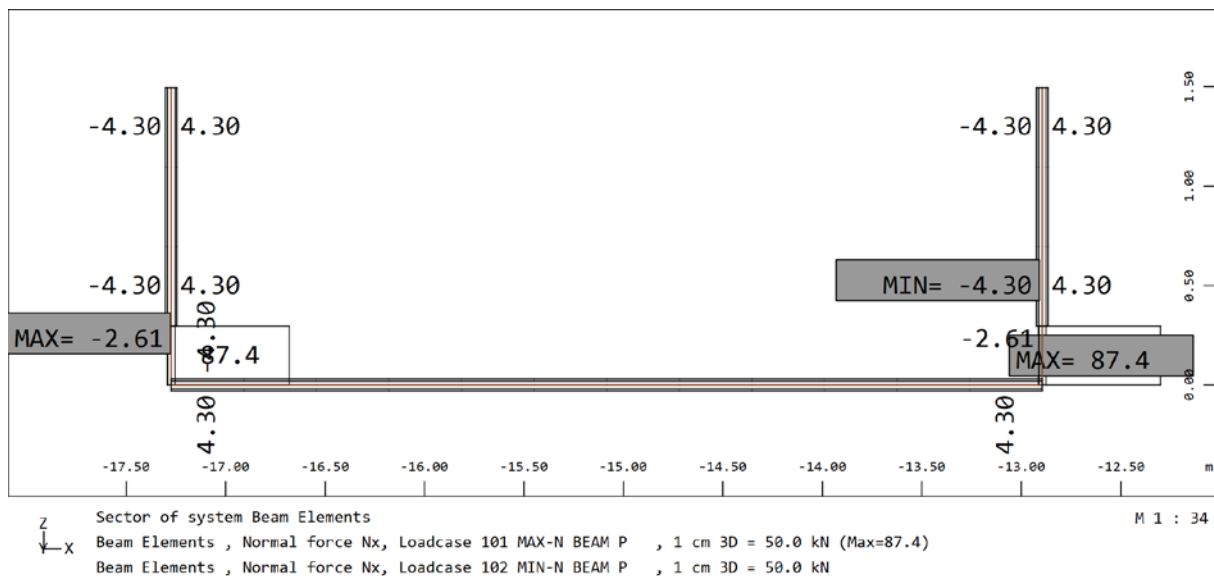
4.1.3 Obremenitve

Obremenitve na ravninskem modelu (prikazane bodo le obremenitve v merodajni osi):

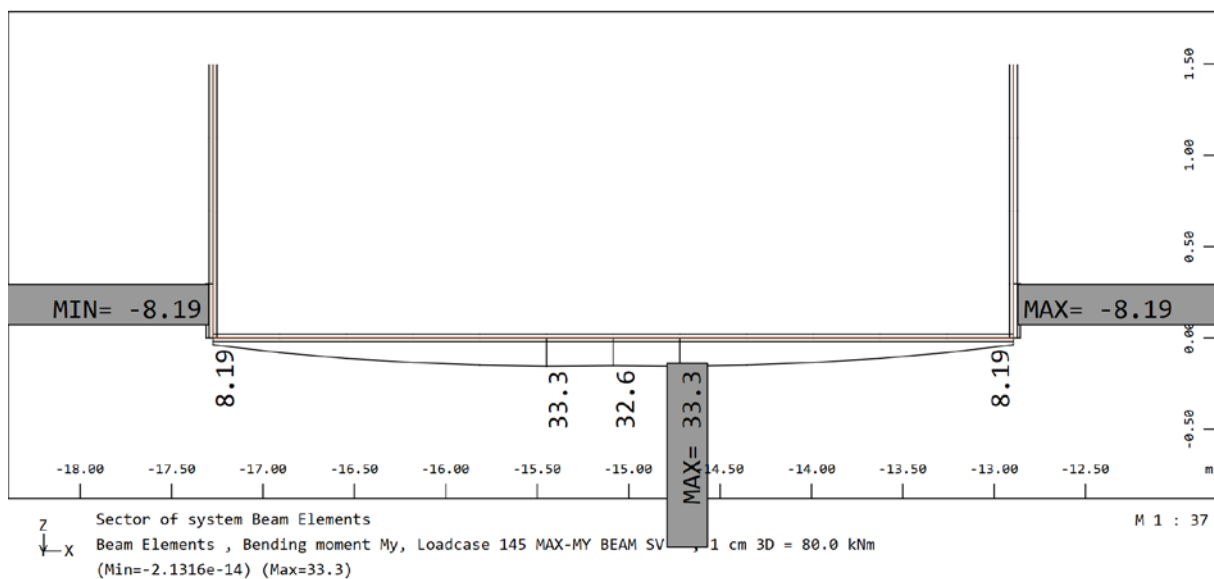
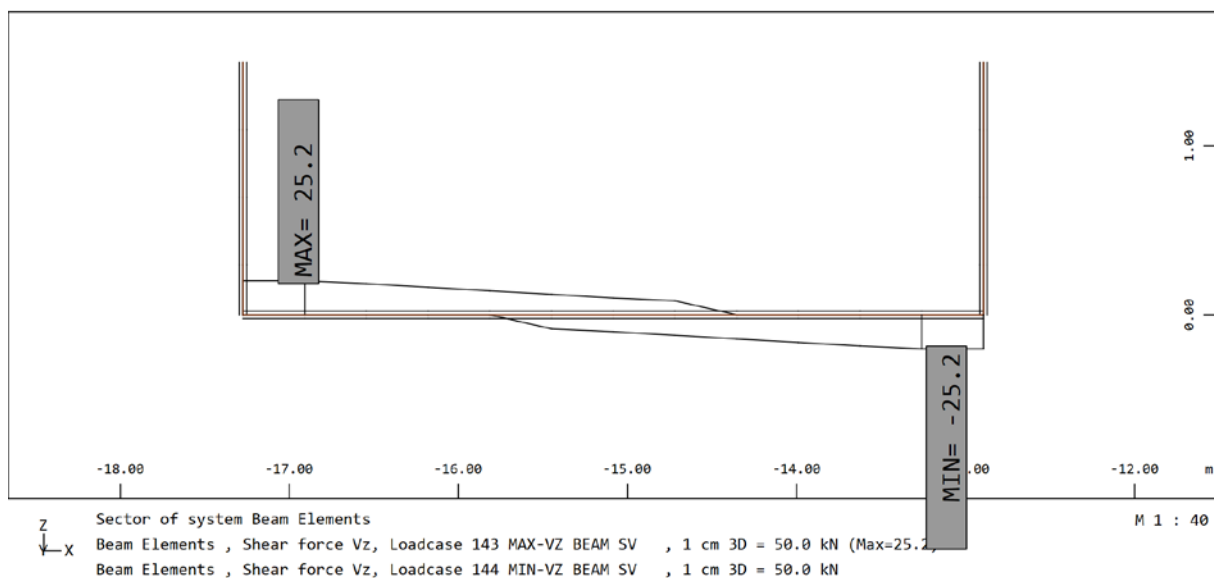
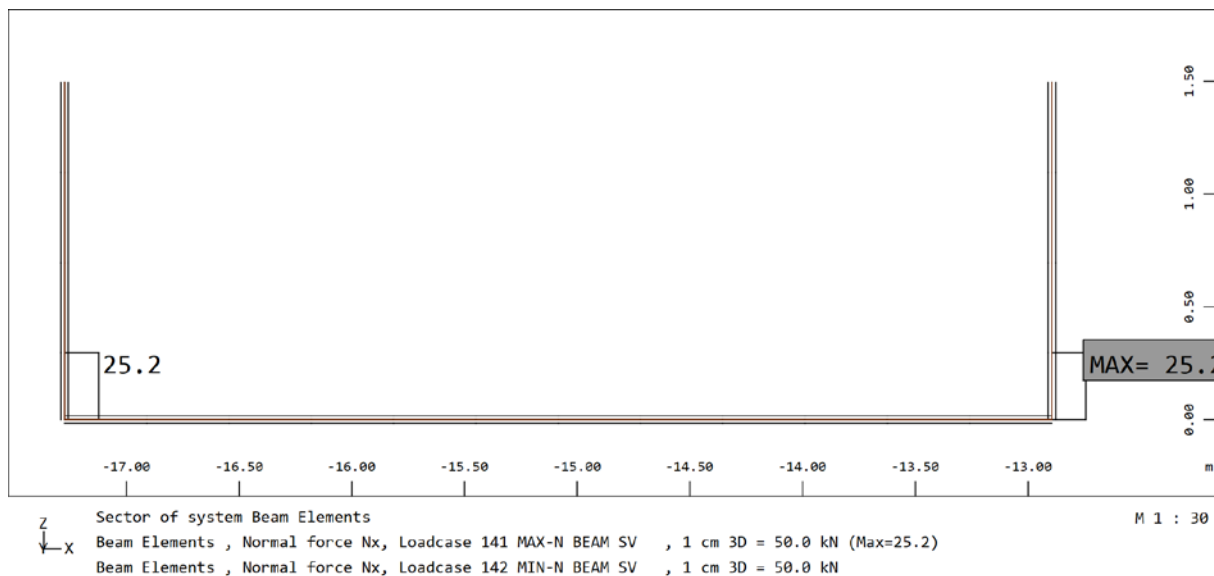
Stalne obtežbe:



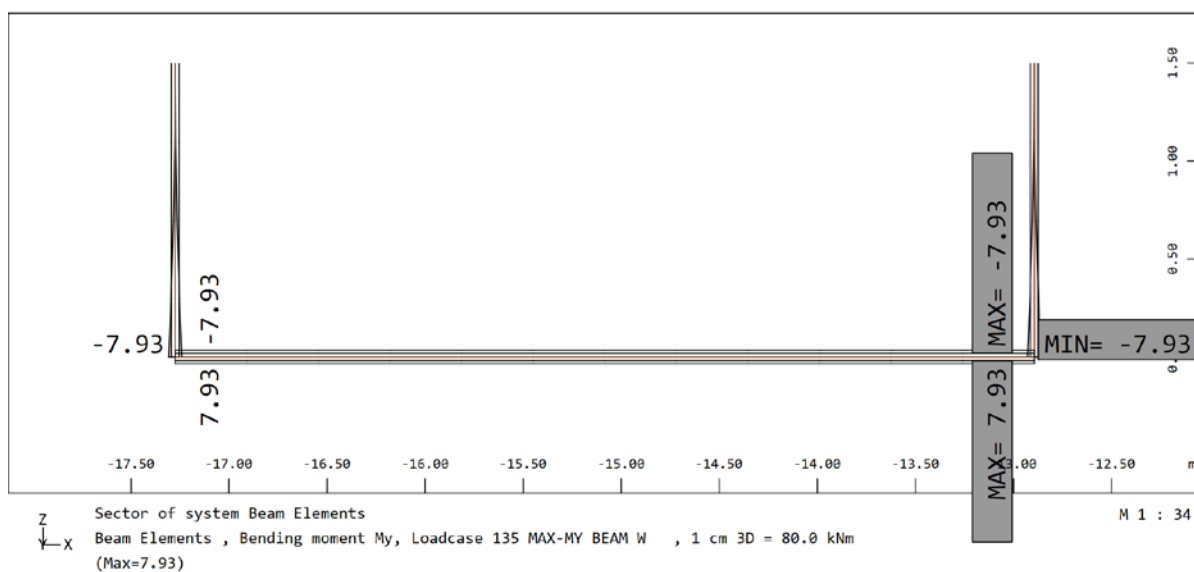
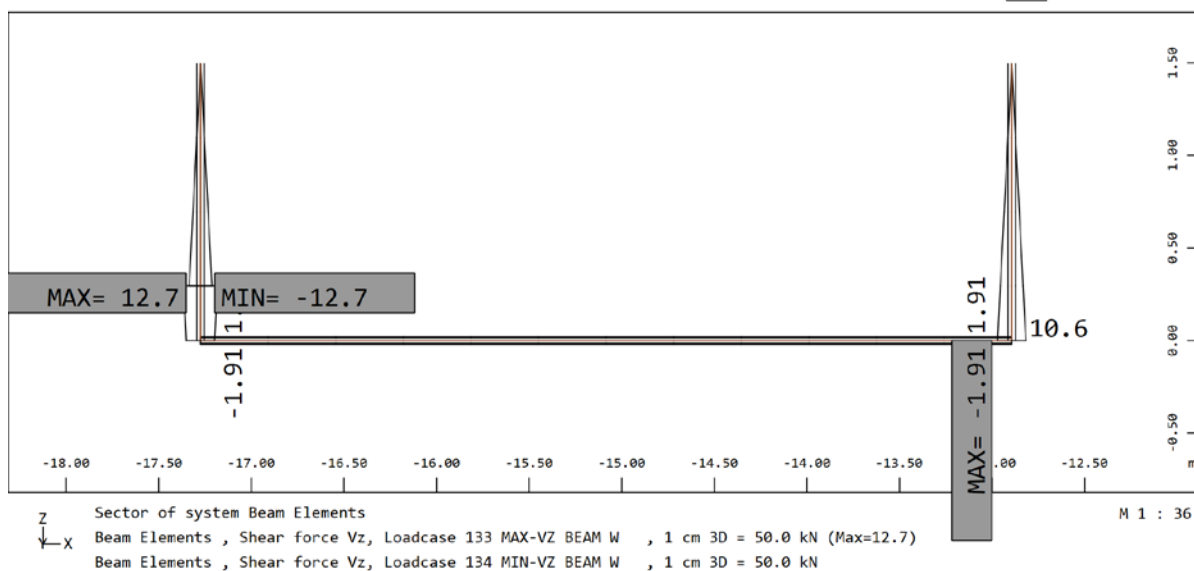
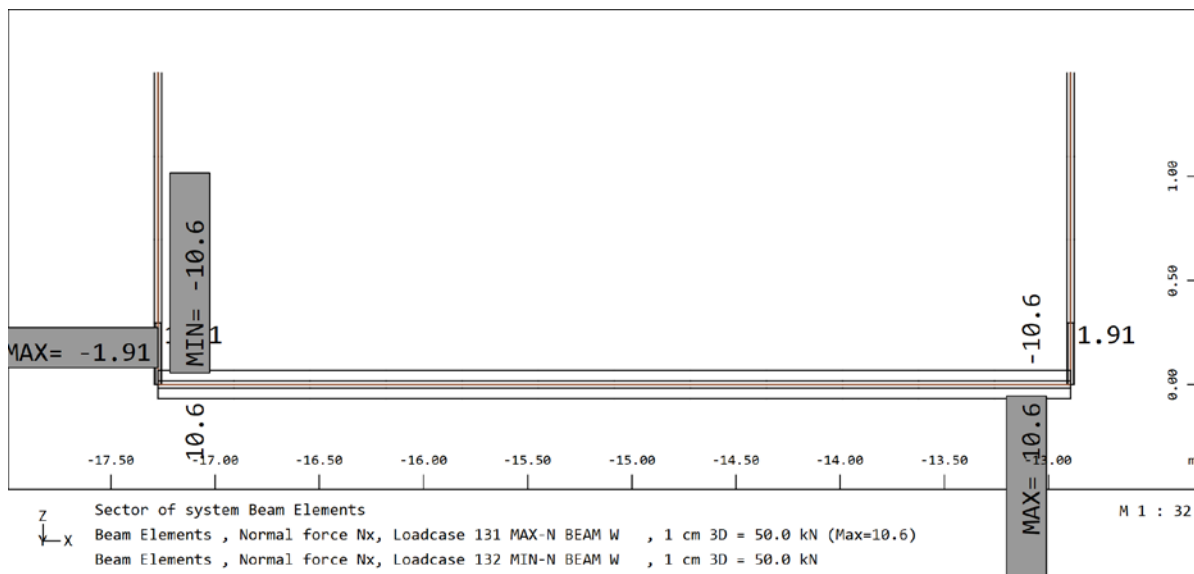
OBJEKT	MOST CERŠAK	PZI PROJEKT
PROJEKTANT	Ponting inženirski biro d.o.o., Jernej Maher univ.dipl.inž.grad	ŠT.NAČRTA 537-2/2020
KRAJ IN DATUM	Maribor, januar 2021	STRAN 46

Obtežba pešcev:

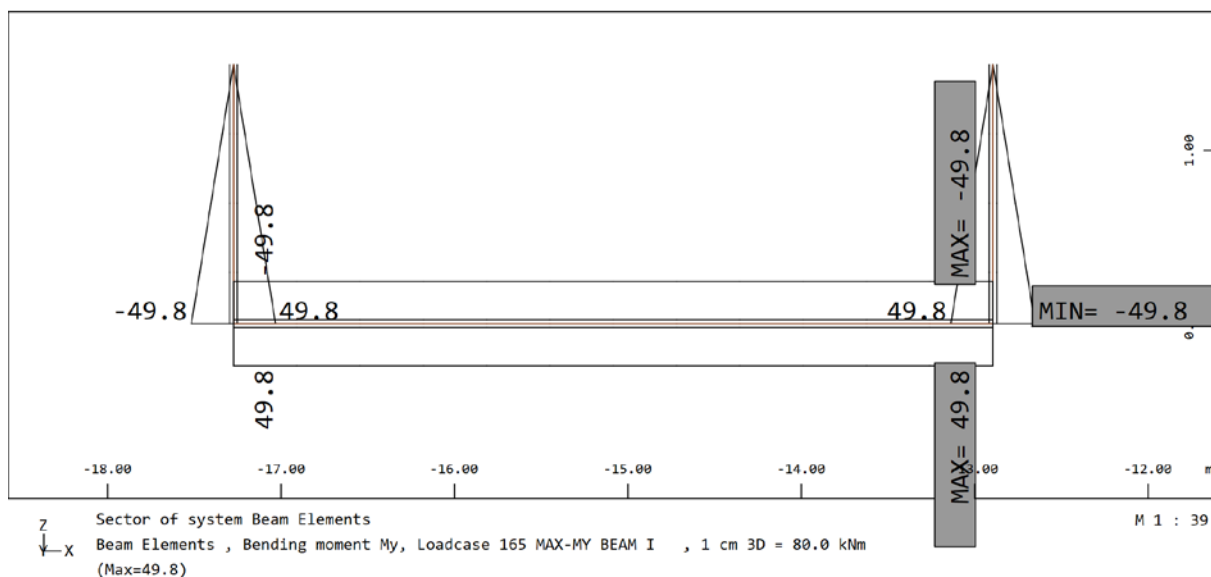
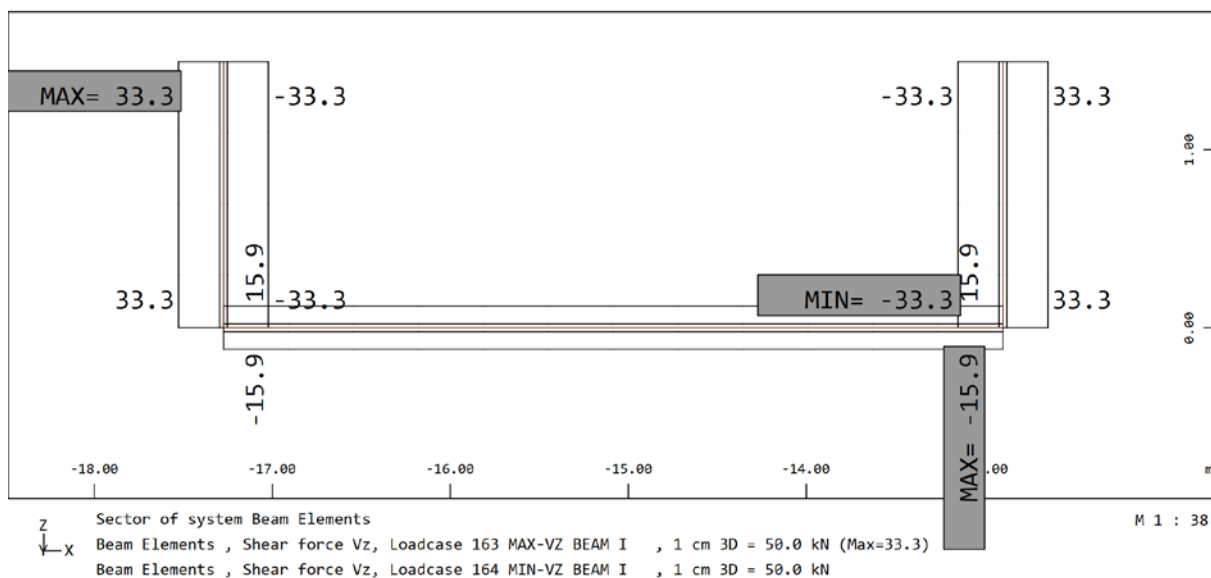
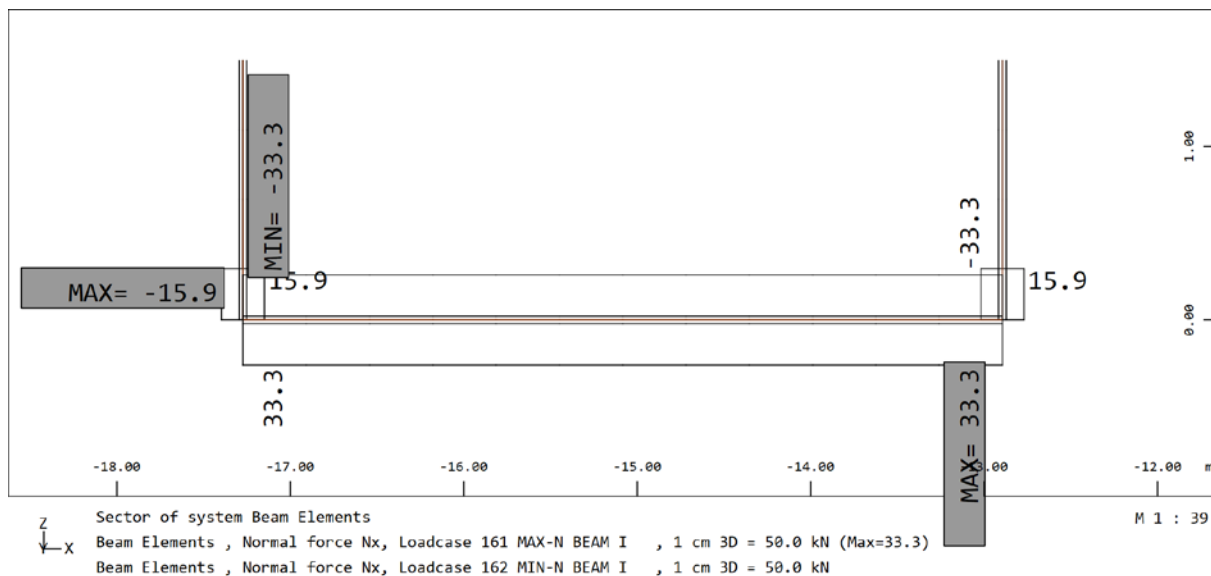
OBJEKT	MOST CERŠAK	PZI PROJEKT
PROJEKTANT	Ponting inženirski biro d.o.o., Jernej Maher univ.dipl.inž.grad	ŠT.NAČRTA 537-2/2020
KRAJ IN DATUM	Maribor, januar 2021	STRAN 47

Obtežba servisnega vozila:

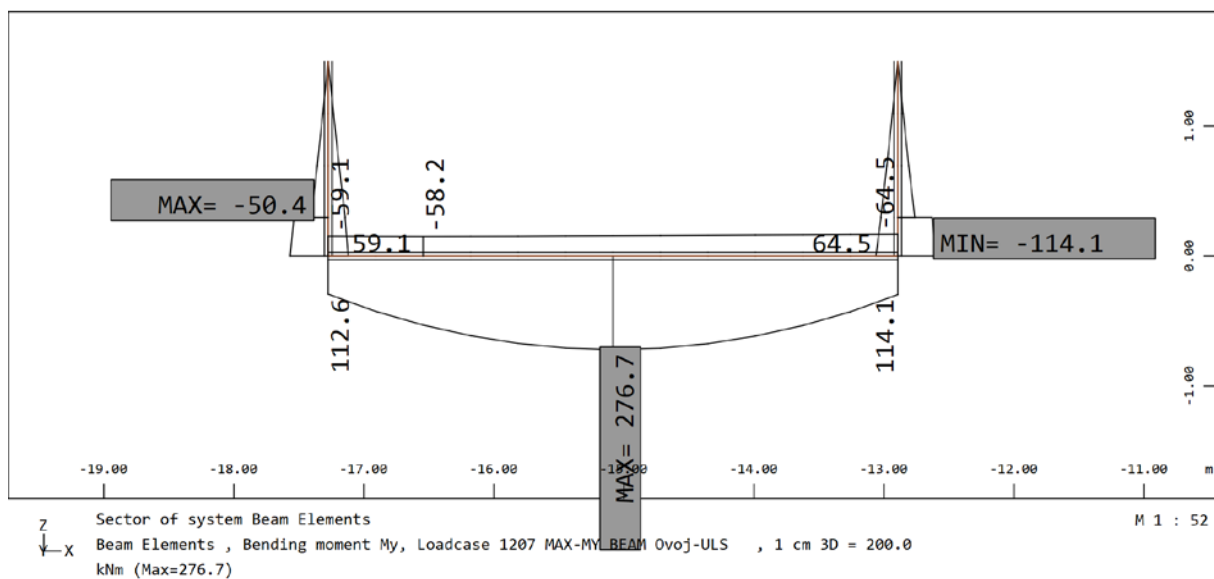
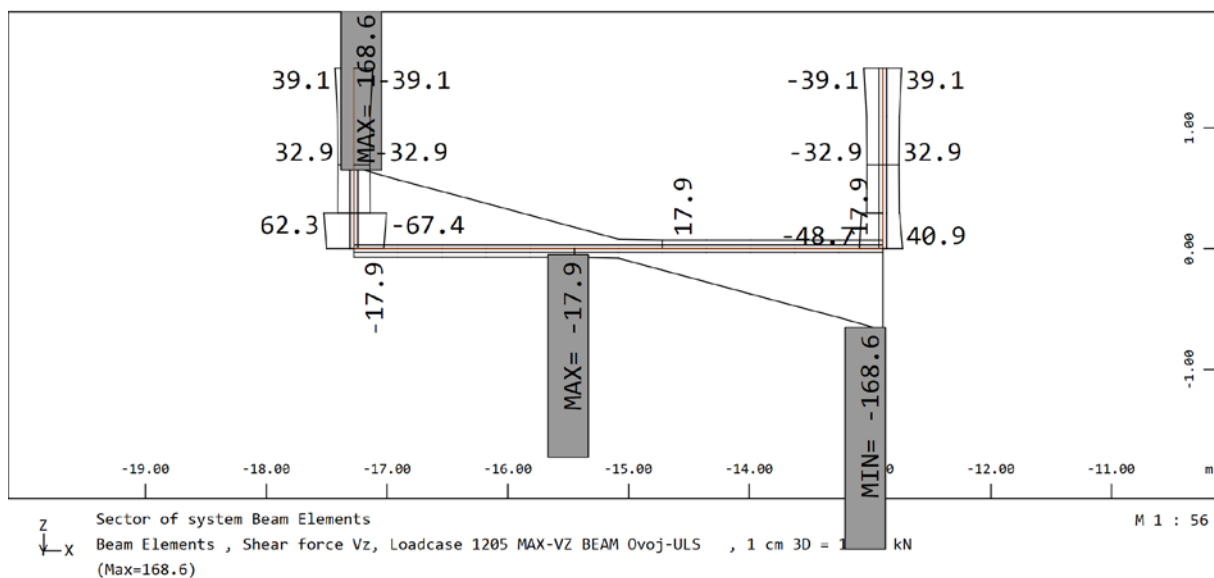
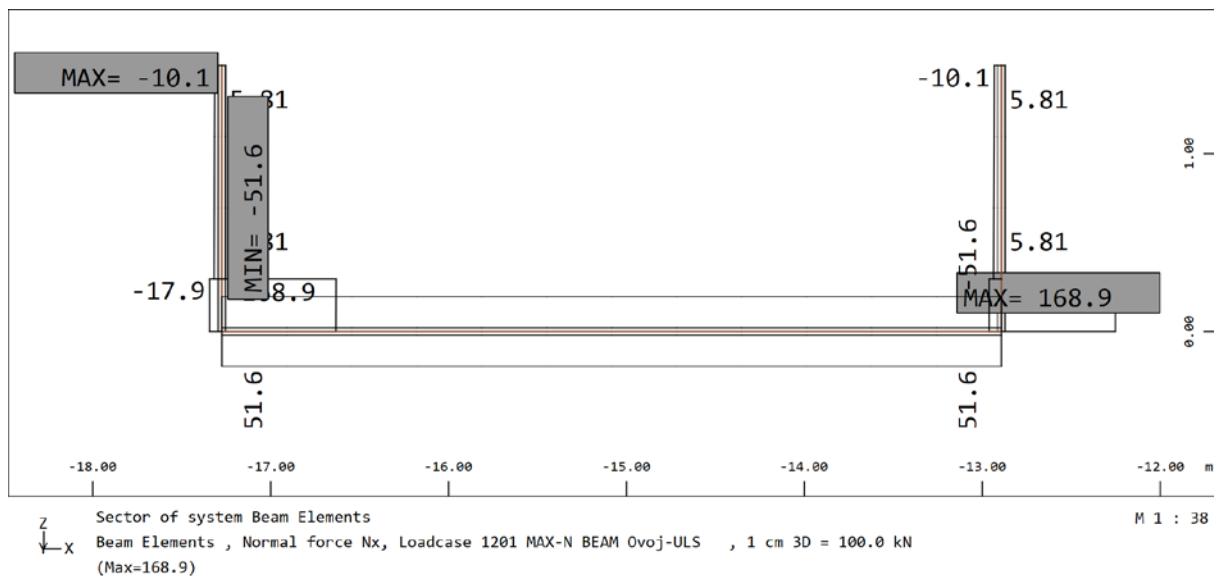
OBJEKT	MOST CERŠAK	PZI PROJEKT	
PROJEKTANT	Ponting inženirski biro d.o.o., Jernej Maher univ.dipl.inž.grad	ŠT.NAČRTA	537-2/2020
KRAJ IN DATUM	Maribor, januar 2021	STRAN	48

Obtežba vetra:

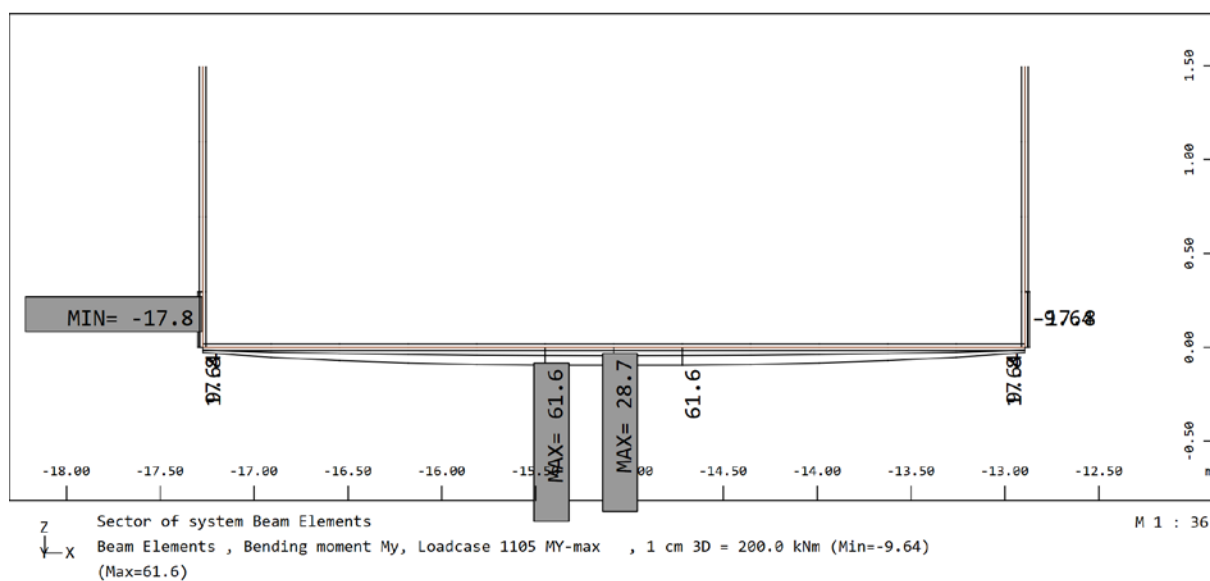
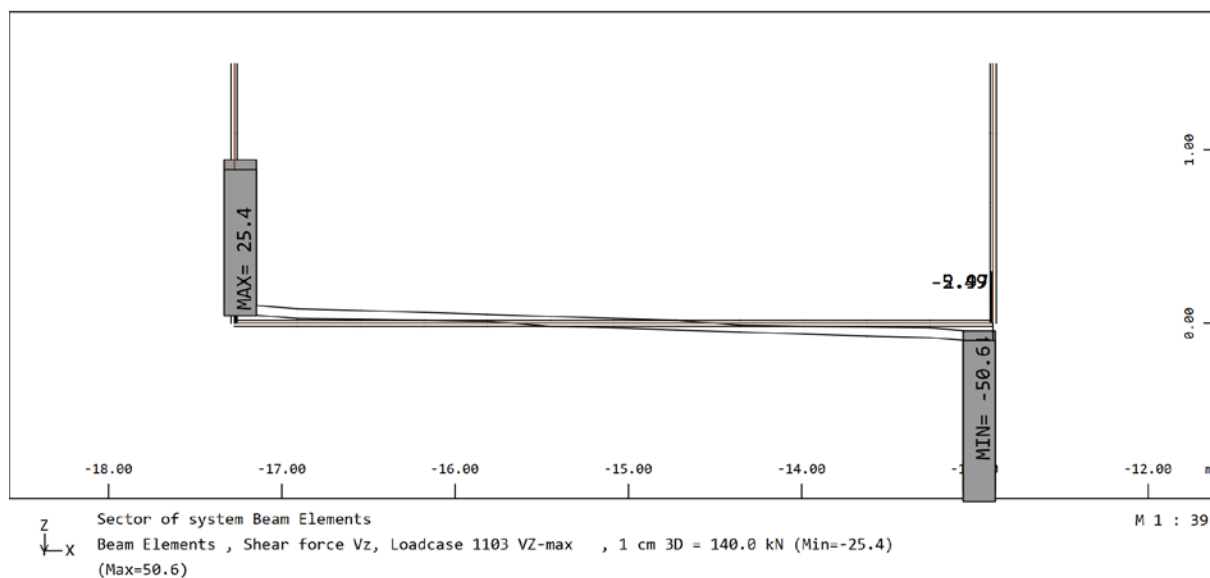
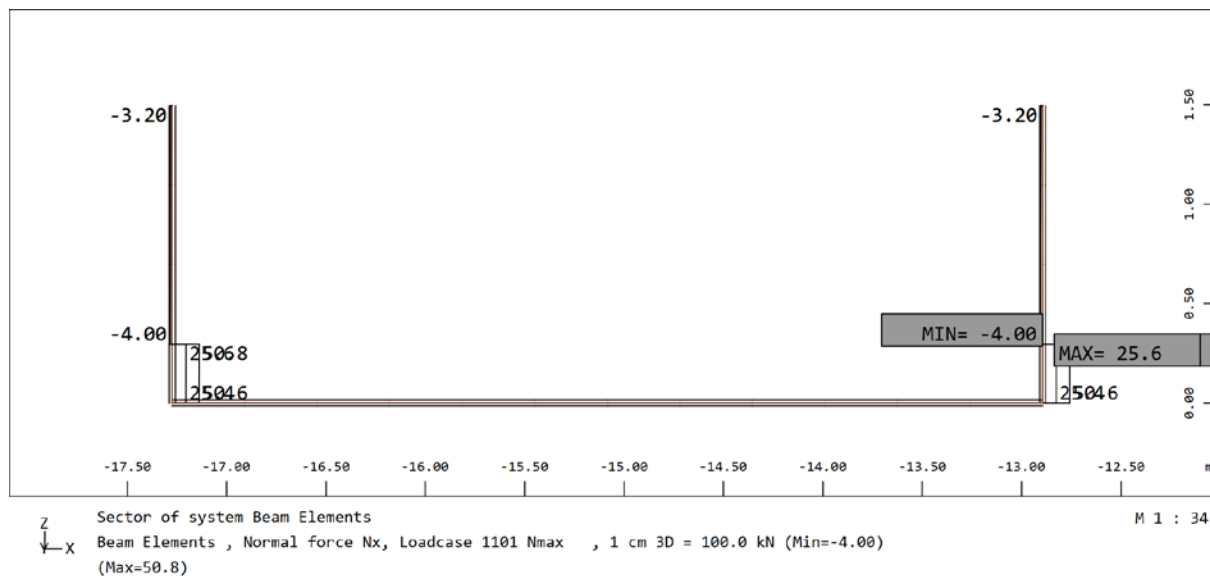
OBJEKT	MOST CERŠAK	PZI PROJEKT	
PROJEKTANT	Ponting inženirski biro d.o.o., Jernej Maher univ.dipl.inž.grad	ŠT.NAČRTA	537-2/2020
KRAJ IN DATUM	Maribor, januar 2021	STRAN	49

Obtežba izbočitvene sile:

OBJEKT	MOST CERŠAK	PZI PROJEKT	
PROJEKTANT	Ponting inženirski biro d.o.o., Jernej Maher univ.dipl.inž.grad	ŠT.NAČRTA	537-2/2020
KRAJ IN DATUM	Maribor, januar 2021	STRAN	50

MSN-osnovna kombinacija:

OBJEKT	MOST CERŠAK	PZI PROJEKT	
PROJEKTANT	Ponting inženirski biro d.o.o., Jernej Maher univ.dipl.inž.grad	ŠT.NAČRTA	537-2/2020
KRAJ IN DATUM	Maribor, januar 2021	STRAN	51

MSN-nezgodna kombinacija:

OBJEKT	MOST CERŠAK	PZI PROJEKT
PROJEKTANT	Ponting inženirski biro d.o.o., Jernej Maher univ.dipl.inž.grad	ŠT.NAČRTA 537-2/2020
KRAJ IN DATUM	Maribor, januar 2021	STRAN 52

4.1.4 Dimenzioniranje in kontrola napetosti

Klasifikacija prečnih prerezov:

Klasifikacija prereza HEB240:

Stojina: $c/t = 16,4 \leq 72\varepsilon = 58,32$

Pasnica: $c/t = 5,52 \leq 9\varepsilon = 7,29$

Prerez spada v 1. razredu kompaktnosti.

Klasifikacija prereza – vertikalni nosilec spodaj:

Stojina: $c/t = 15,4 \leq 72\varepsilon = 58,32$

Pasnica: $c/t = 7,6 \leq 10\varepsilon = 8,1$

Prerez spada v 2. razredu kompaktnosti.

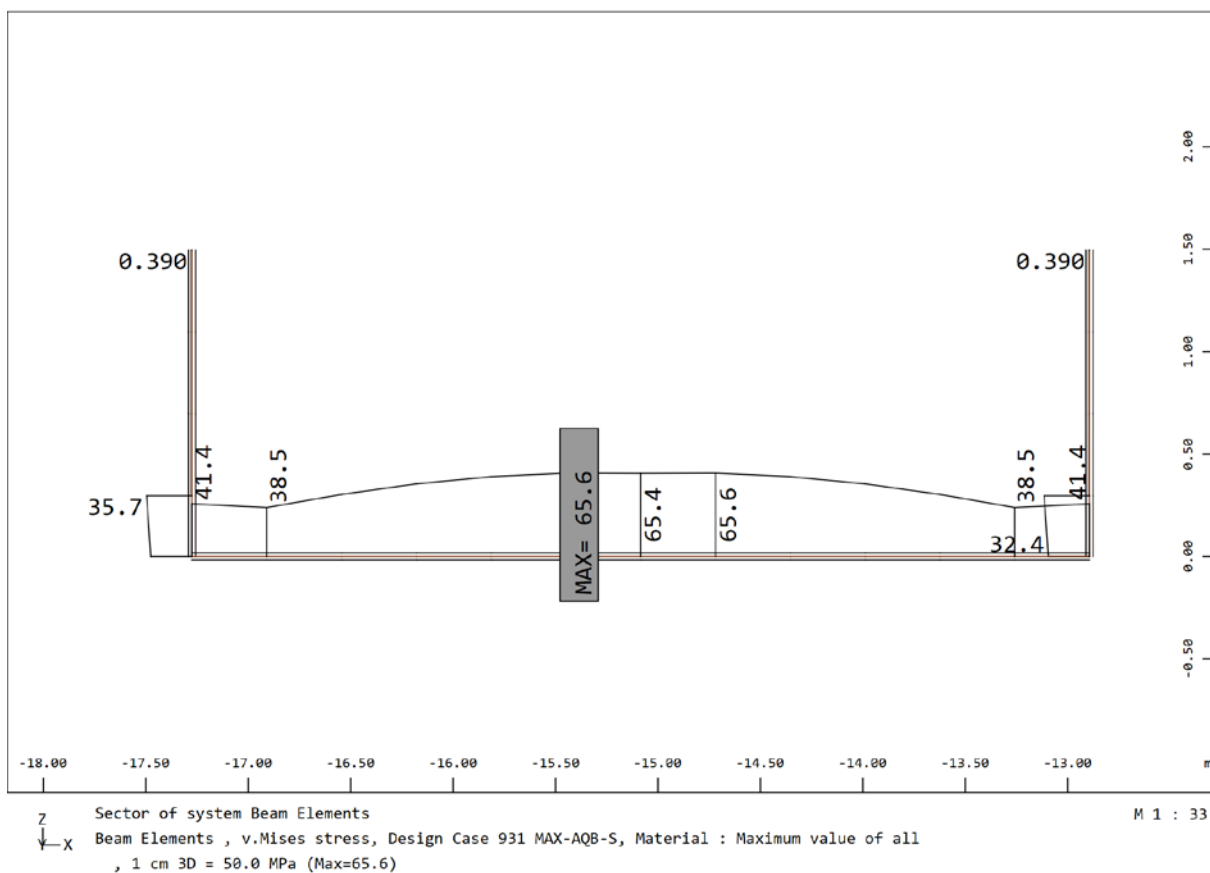
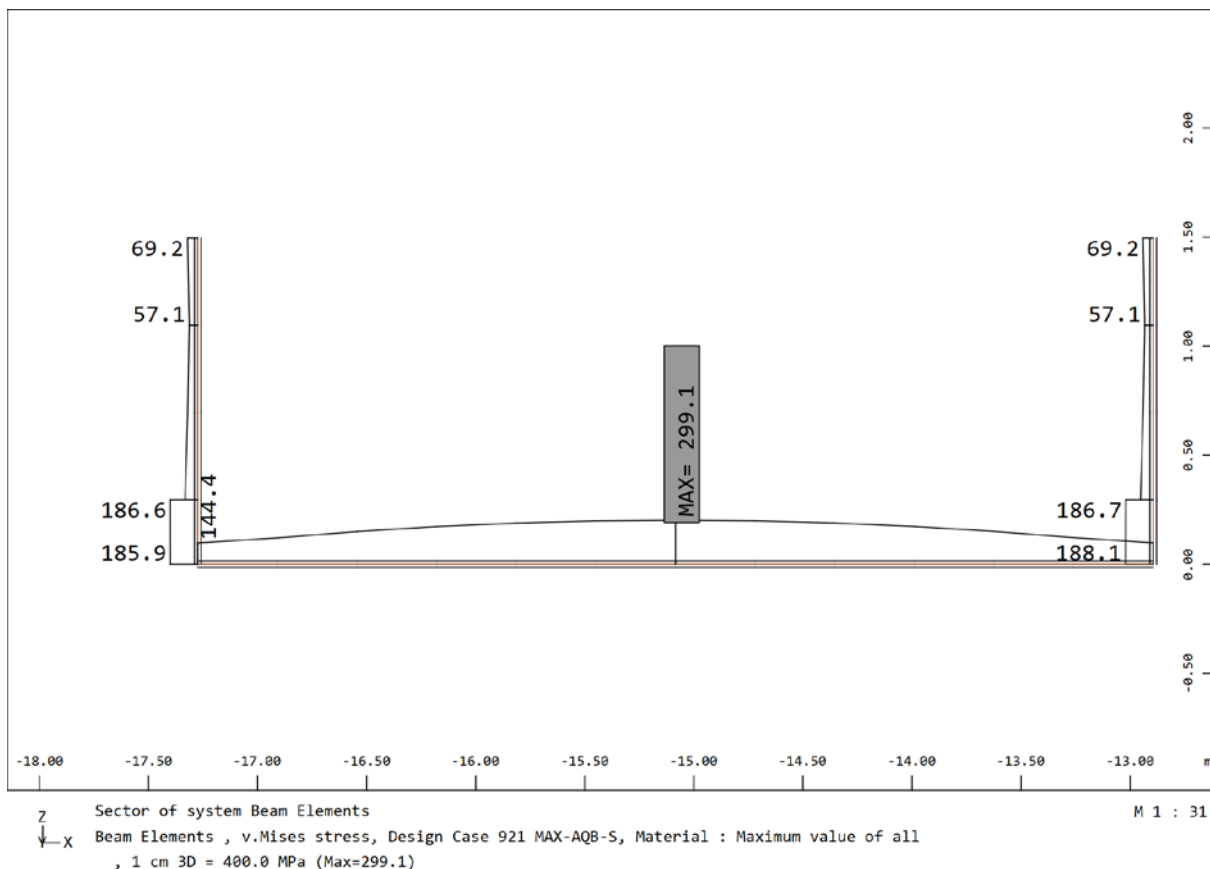
Klasifikacija prereza – vertikalni nosilec zgoraj:

Stojina: $c/t = 4,7 \leq 72\varepsilon = 58,32$

Pasnica: $c/t = 7,6 \leq 10\varepsilon = 8,1$

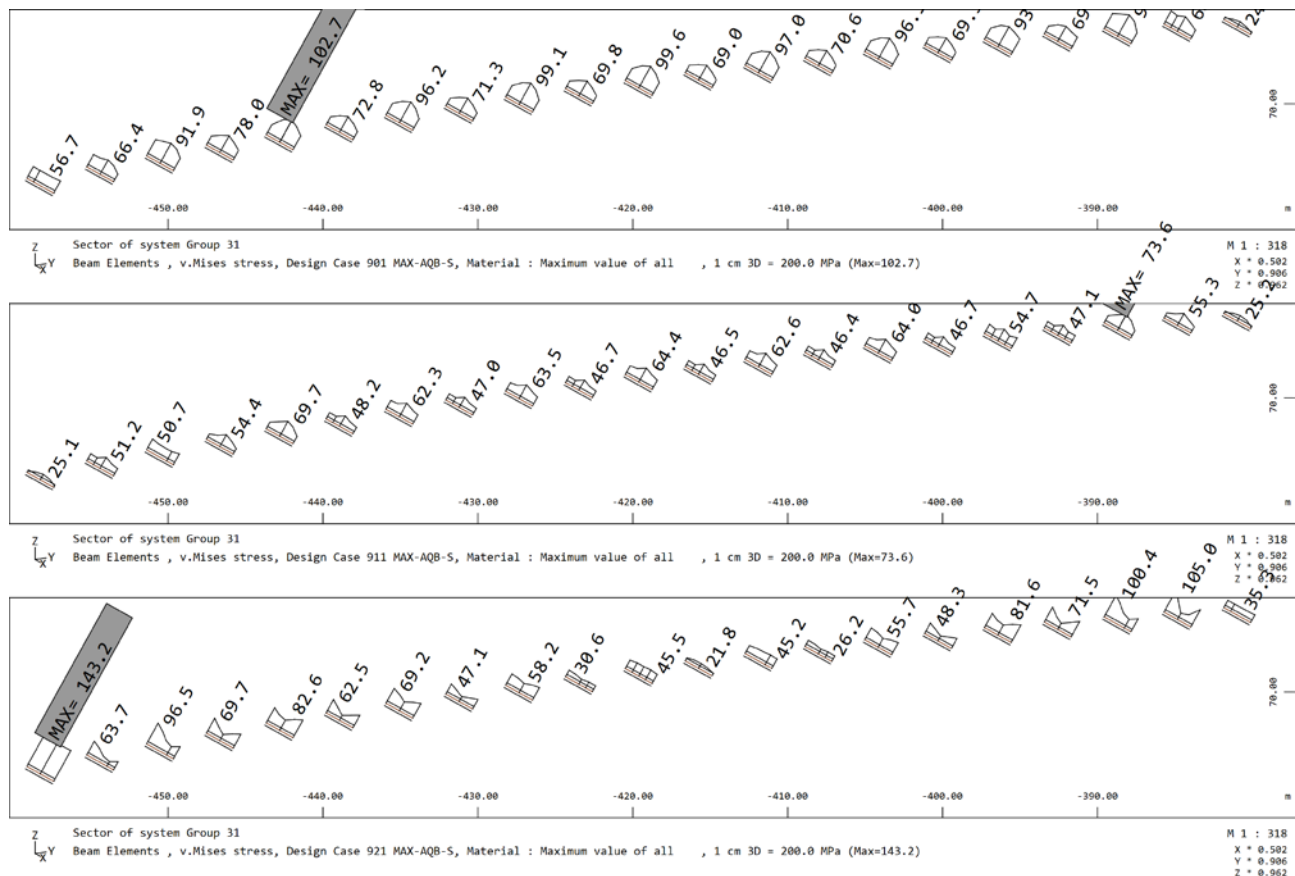
Prerez spada v 2. razredu kompaktnosti.

OBJEKT	MOST CERŠAK	PZI PROJEKT	
PROJEKTANT	Ponting inženirski biro d.o.o., Jernej Maher univ.dipl.inž.grad	ŠT.NAČRTA	537-2/2020
KRAJ IN DATUM	Maribor, januar 2021	STRAN	53

Kombinacija po MSN-osnovna / MSN-nezgodna:

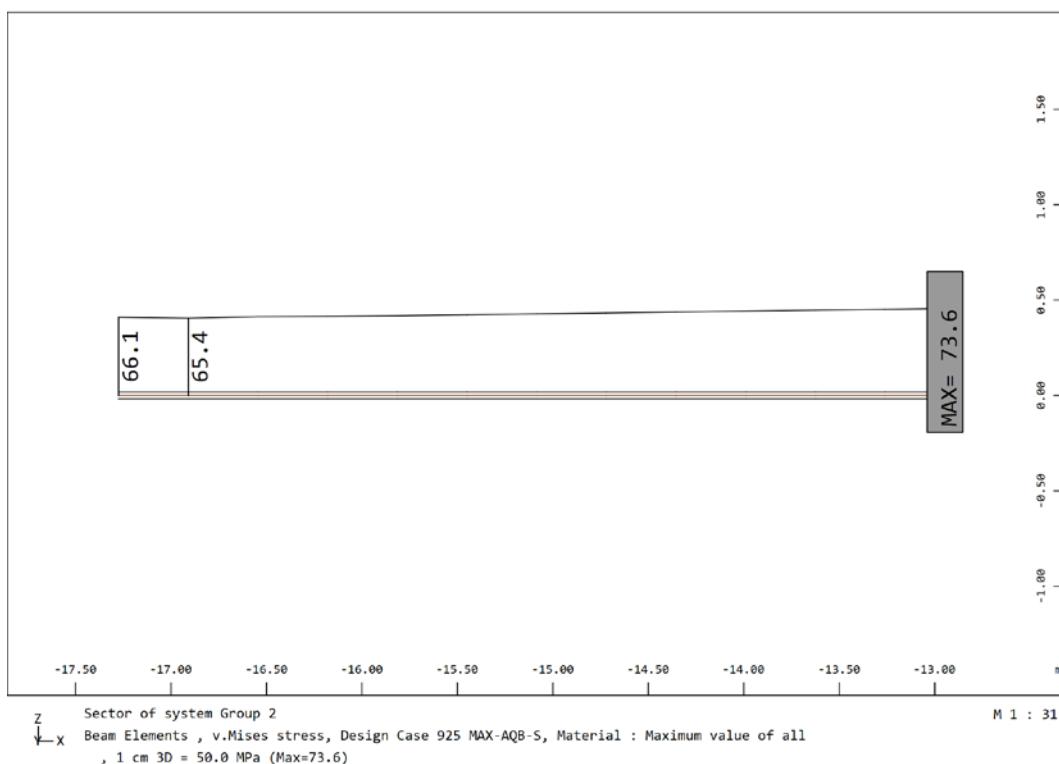
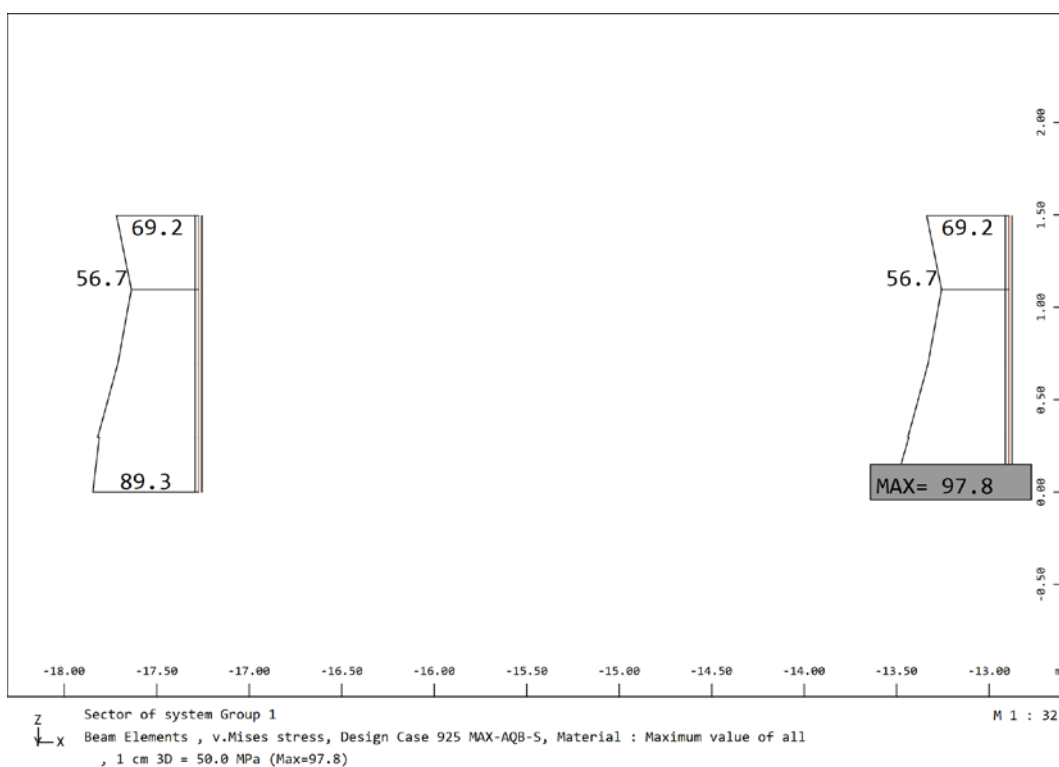
OBJEKT	MOST CERŠAK	PZI PROJEKT
PROJEKTANT	Ponting inženirski biro d.o.o., Jernej Maher univ.dipl.inž.grad	ŠT.NAČRTA 537-2/2020
KRAJ IN DATUM	Maribor, januar 2021	STRAN 54

Kontrola Von Missesovih napetosti (globalni model) :



OBJEKT	MOST CERŠAK	PZI PROJEKT	
PROJEKTANT	Ponting inženirski biro d.o.o., Jernej Maher univ.dipl.inž.grad	ŠT.NAČRTA	537-2/2020
KRAJ IN DATUM	Maribor, januar 2021	STRAN	55

V primeru, če upoštevamo le obremenitve, ki jih nimamo zajetih v globalnem modelu so Von Missesove napetosti vsleh teh obtežb:



$$\Sigma\sigma = \sigma_{gl.} + \Delta\sigma_{lok.} = 143,2 + 73,6 = 216,8 \text{ MPa}$$

$$\sigma_{max} = \max(\sigma_{max,lok.model}; \sigma_{max,glo.model}) = \max(299,1; 216,8) = 299,1 \text{ MPa} \leq 355 \text{ MPa}$$

OBJEKT	MOST CERŠAK	PZI PROJEKT	
PROJEKTANT	Ponting inženirski biro d.o.o., Jernej Maher univ.dipl.inž.grad	ŠT.NAČRTA	537-2/2020
KRAJ IN DATUM	Maribor, januar 2021	STRAN	56

4.2 ANALIZA ZAVETROVANJA

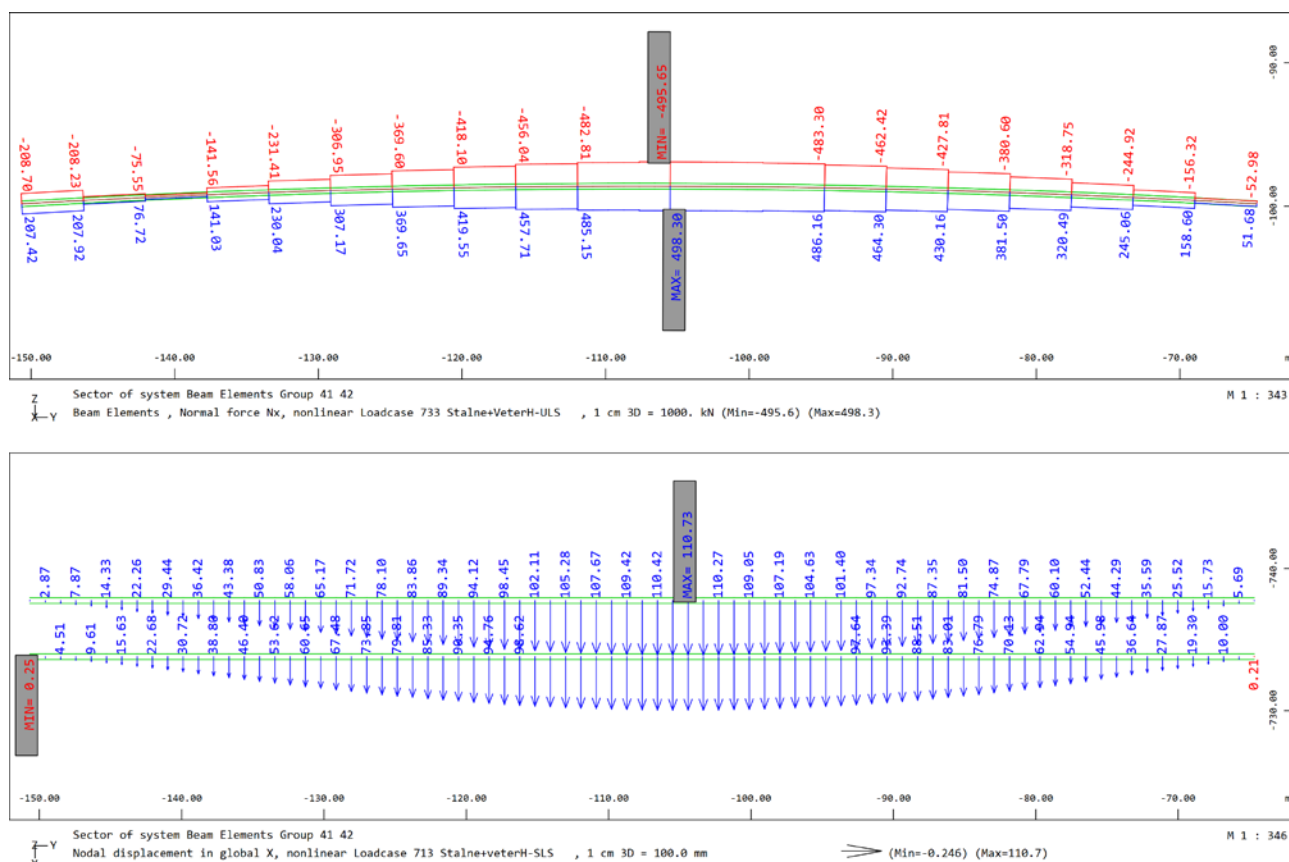
4.2.1 Splošno

Prečno sta vzdolžno lepljena nosilca povezana preko jeklenih okvirjev. Ti so sestavljeni iz prečnikov HEB 240 in zavetrovanjem v ravnini prečnikov. Zavetrovanje se izvede z zaprtimi jeklenimi cevmi $\Phi 70/5\text{mm}$.

4.2.2 Analiza obtežb

Obtežbe, ki so se upoštevale so bile opisane že v poglavju 2.

Dodatno je bila pri globalnem modelu upoštevana izbočna sila q_d na vodoravno povezje, ki podpira vzdolžni tlačni nosilec. Na ta način se je upošteval vpliv globalnih nepopolnosti in posledično povečanje obremenitev v prerezih. Tlačne obremenitve v vzdolžnem nosilcu nastanejo zaradi horizontalne obtežbe vetra.



Pri izračunu sile se je upoštevala osna sila, ki nastane pri obtežbi vetra po MSN ter pomik. Izbočna sila se izračuna s pomočjo izraza:

$$q_d = \sum N_{Ed} \frac{(e_0 + \delta_q)}{L^2}$$

$$\alpha_m = 1$$

$$e_0 = \alpha_m \frac{L}{500} = 17,2 \text{ cm}$$

OBJEKT	MOST CERŠAK	PZI PROJEKT	
PROJEKTANT	Ponting inženirski biro d.o.o., Jernej Maher univ.dipl.inž.grad	ŠT.NAČRTA	537-2/2020
KRAJ IN DATUM	Maribor, januar 2021	STRAN	57

$$\delta_q = 11,0 \text{ cm}$$

$$q_d = 500 \cdot 8 \cdot \frac{(0,172 + 0,11)}{L^2} = 0,153 \frac{\text{kN}}{\text{m}'} = 0,16 \frac{\text{kN}}{\text{m}'}$$

V primeru če se sila določi v skladu z EN 1995-1-1, enačba 9.37:

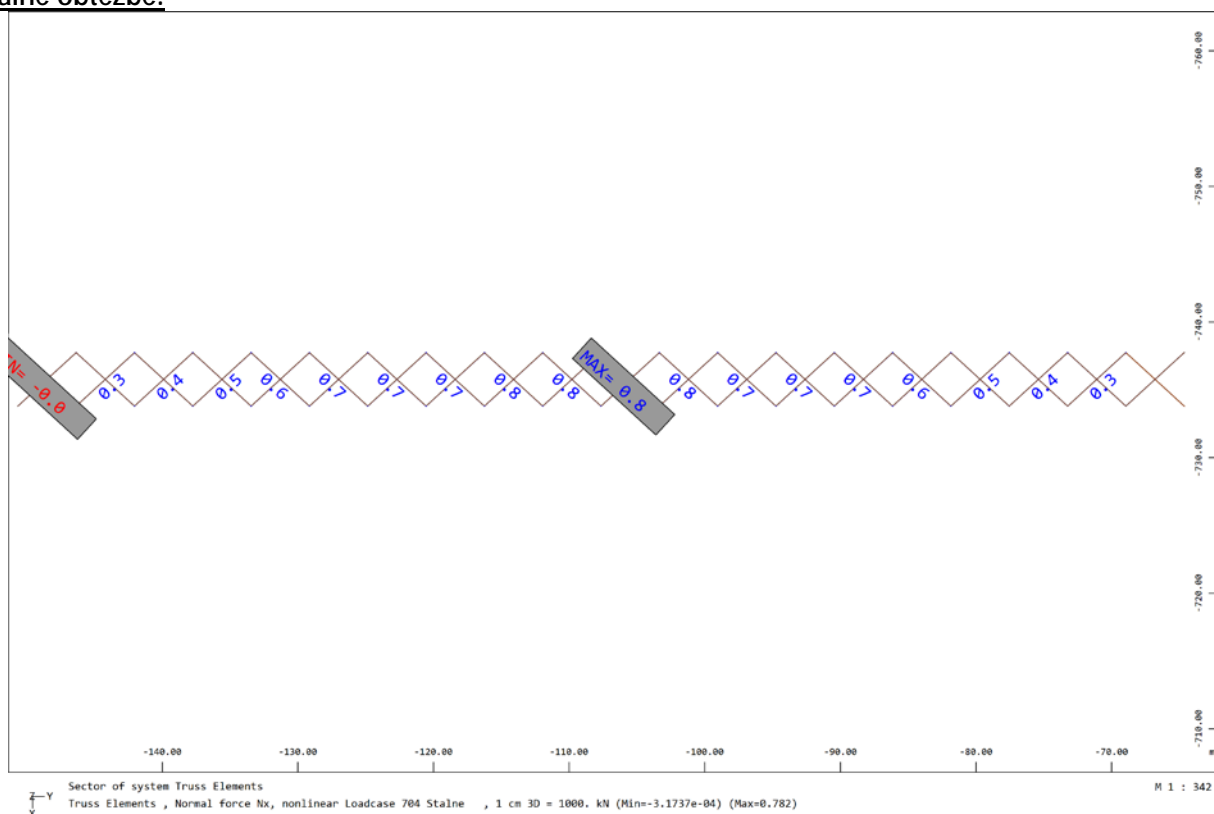
$$q_d = k_1 \cdot \frac{n \cdot N_d}{k_{f,3} \cdot l} = 0,417 \cdot \frac{2 \cdot 500}{30 \cdot 86} = 0,16 \frac{\text{kN}}{\text{m}'}$$

Velikost izbočitvene sile je po obeh izrazih enaka.

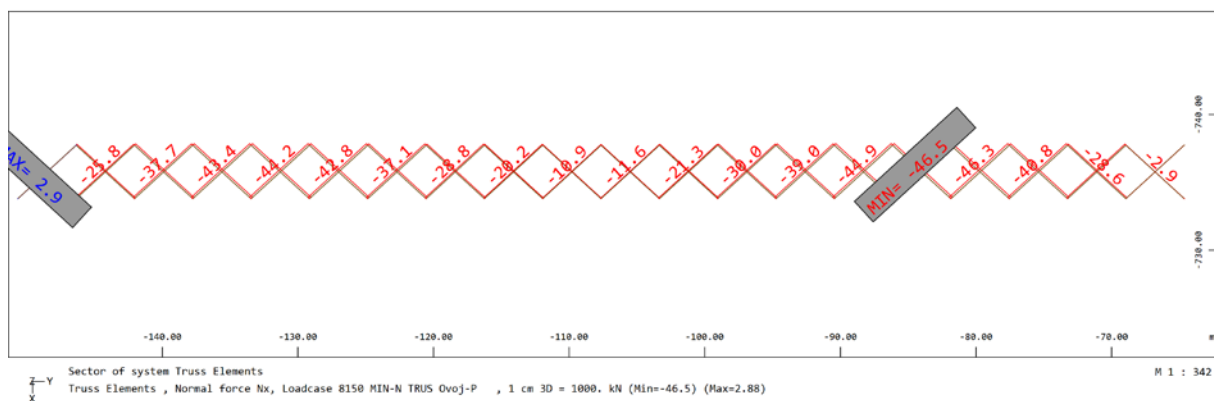
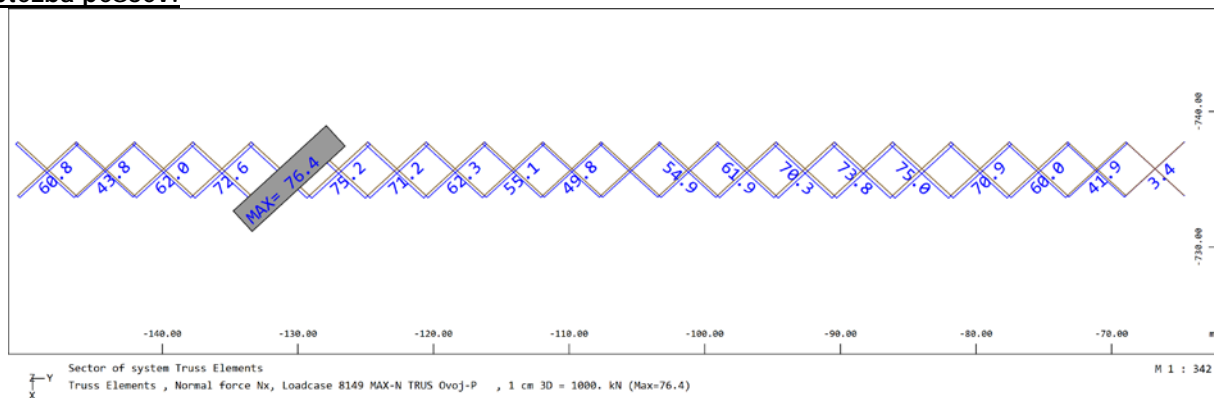
OBJEKT	MOST CERŠAK	PZI PROJEKT	
PROJEKTANT	Ponting inženirski biro d.o.o., Jernej Maher univ.dipl.inž.grad	ŠT.NAČRTA	537-2/2020
KRAJ IN DATUM	Maribor, januar 2021	STRAN	58

4.2.3 Obremenitve

Stalne obtežbe:

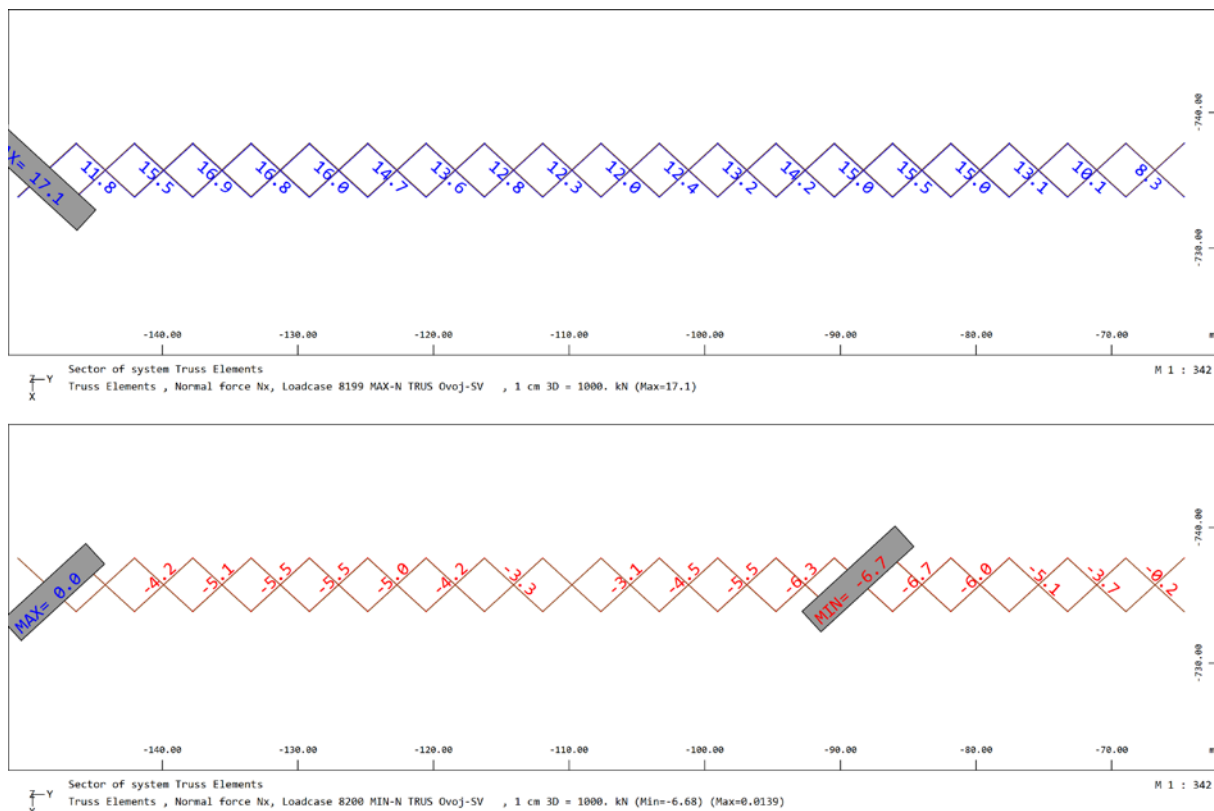


Obtežba pešcev:

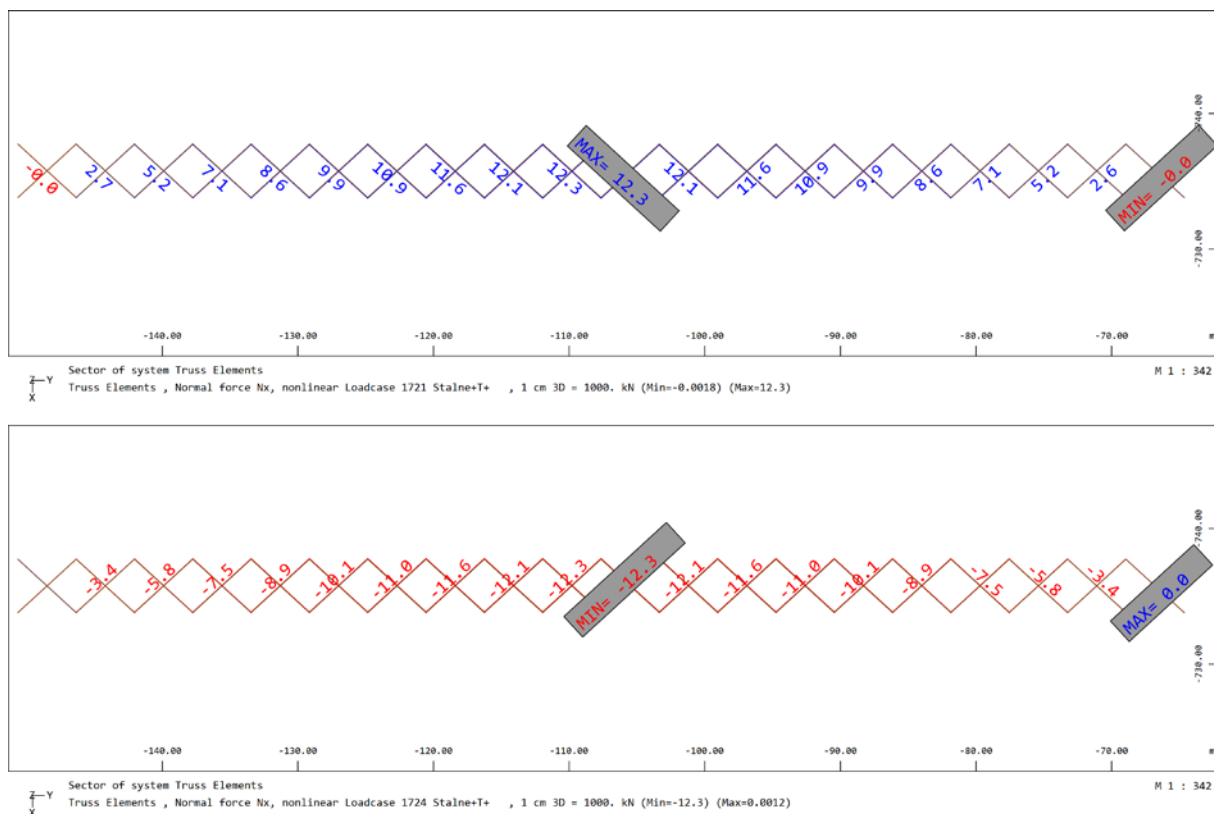


OBJEKT	MOST CERŠAK	PZI PROJEKT	
PROJEKTANT	Ponting inženirski biro d.o.o., Jernej Maher univ.dipl.inž.grad	ŠT.NAČRTA	537-2/2020
KRAJ IN DATUM	Maribor, januar 2021	STRAN	59

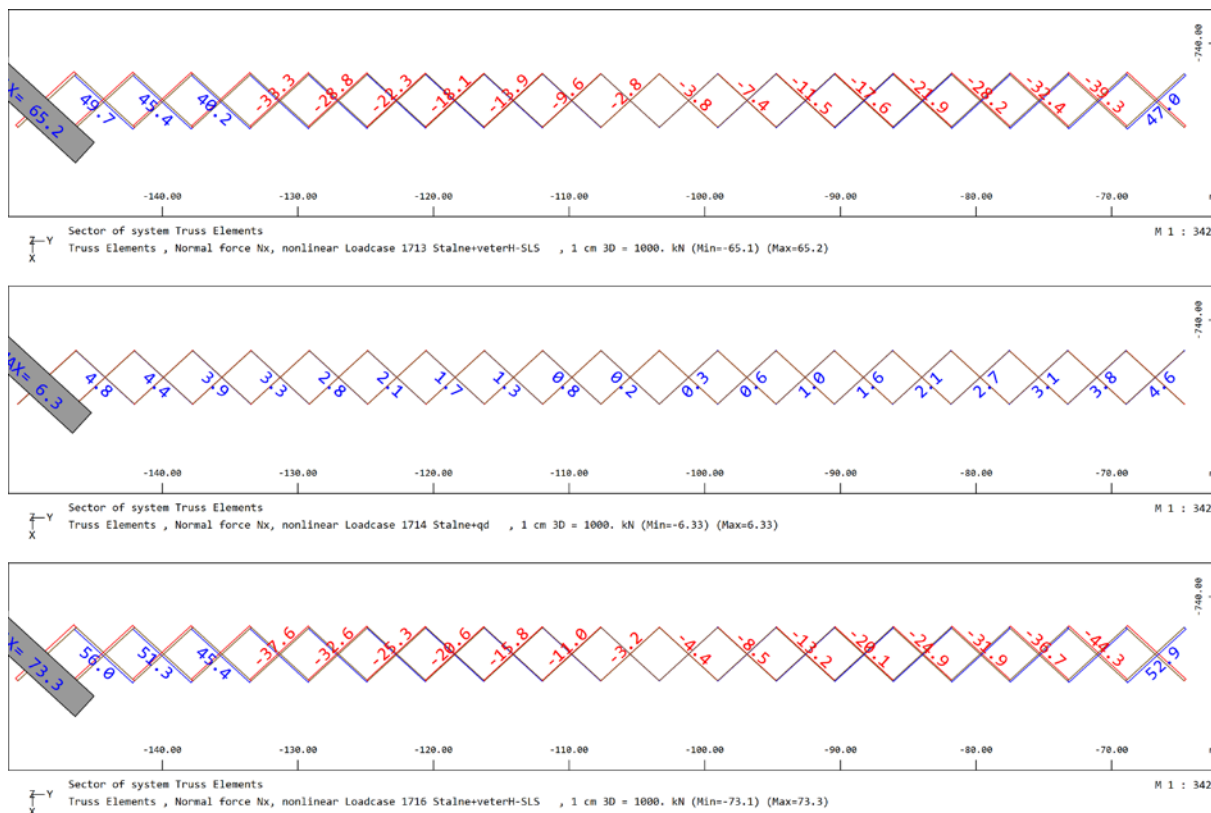
Obtežba servisnega vozila:



Temperatura:



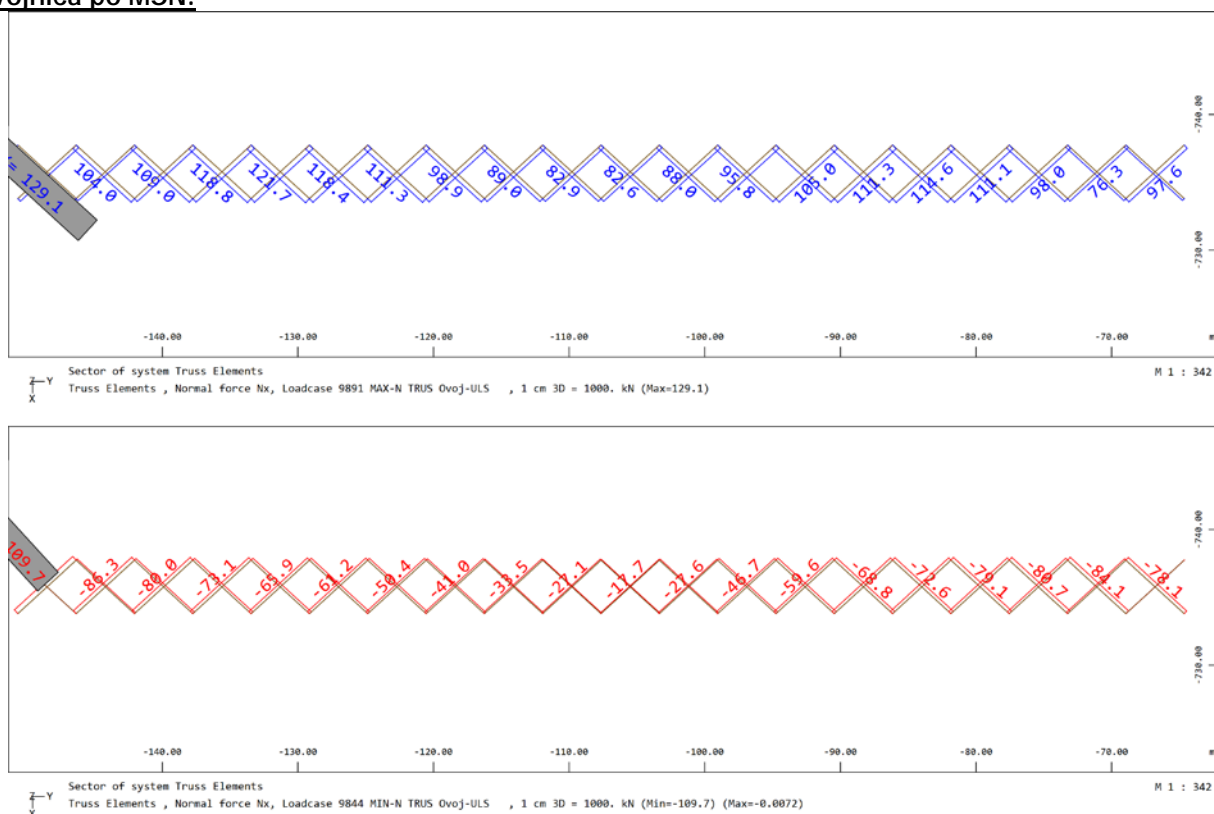
OBJEKT	MOST CERŠAK	PZI PROJEKT	
PROJEKTANT	Ponting inženirski biro d.o.o., Jernej Maher univ.dipl.inž.grad	ŠT.NAČRTA	537-2/2020
KRAJ IN DATUM	Maribor, januar 2021	STRAN	60

Veter, izbočna sila , skupen vpliv:

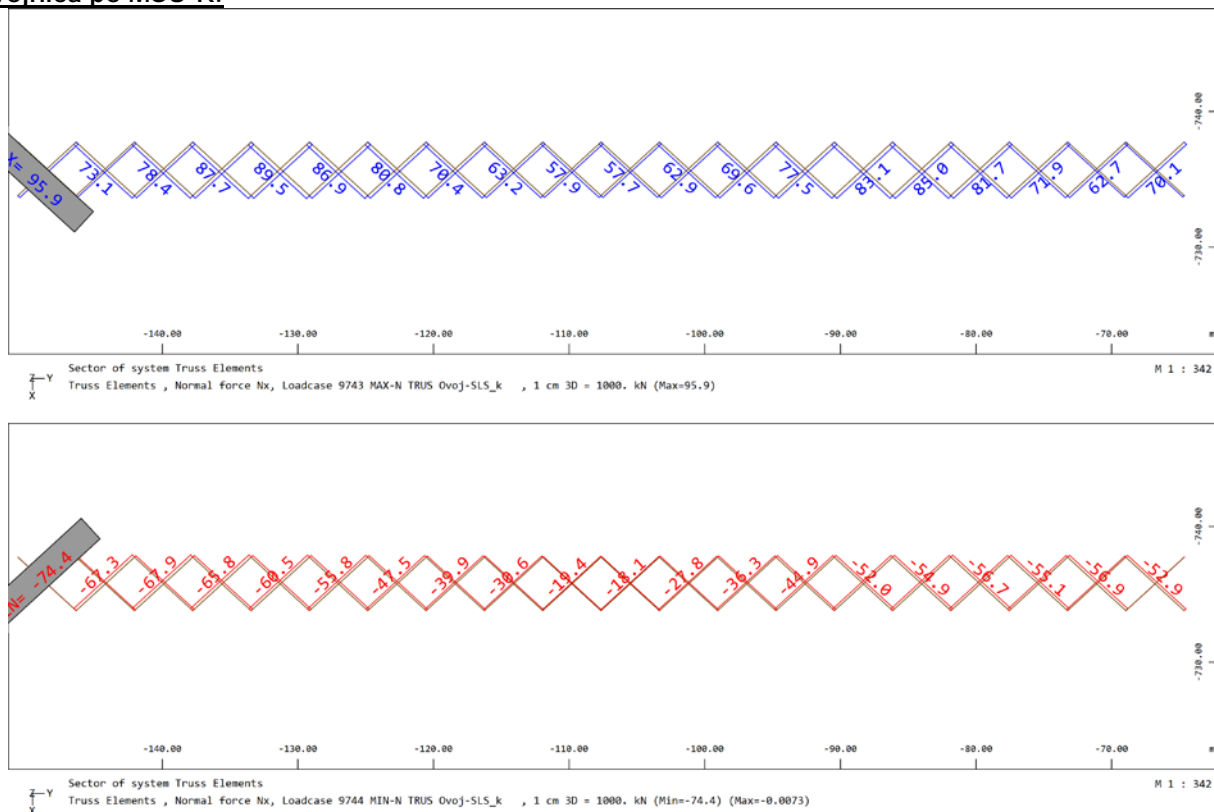
OBJEKT	MOST CERŠAK	PZI PROJEKT	
PROJEKTANT	Ponting inženirski biro d.o.o., Jernej Maher univ.dipl.inž.grad	ŠT.NAČRTA	537-2/2020
KRAJ IN DATUM	Maribor, januar 2021	STRAN	61

4.2.4 Dimenzioniranje in kontrola

Ovojnica po MSN:



Ovojnica po MSU-K:



OBJEKT	MOST CERŠAK	PZI PROJEKT	
PROJEKTANT	Ponting inženirski biro d.o.o., Jernej Maher univ.dipl.inž.grad	ŠT.NAČRTA	537-2/2020
KRAJ IN DATUM	Maribor, januar 2021	STRAN	62

$$N_{Ed,tlak} = 109,7 \text{ kN}$$

$$N_{Ed,nateg} = 129,1 \text{ kN}$$

Klasifikacija prereza:

$$d=70\text{mm} \quad t=5\text{mm}$$

$$\frac{d}{t} = 14 \leq 50\varepsilon^2 = 33$$

Prerez lahko uvrstimo v 1. razred kompaktnosti.

Kontrola natega:

$$N_{Ed} = 129,1 \leq N_{pl,Rd} = \frac{A \cdot f_y}{\gamma_{M0}} = 362,1 \text{ kN}$$

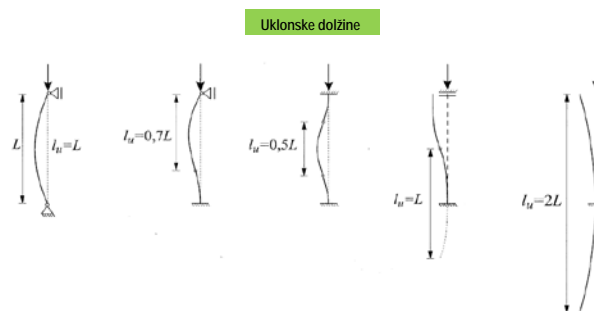
Kontrola tlaka:

$$N_{Ed} = 109,7 \leq N_{pl,Rd} = \frac{A \cdot f_y}{\gamma_{M0}} = 362,1 \text{ kN}$$

Kontrola uklona:

$$L_{uklon} = \max(270\text{cm}, 0,5 \cdot 555) = 277,5\text{cm}$$

Vhodni podatki		
Obremenitve		
N [kN]	109,7	
Karakteristike prereza		
Tip konstrukcije	Most	
A	10,21	cm ²
I	54,2	cm ⁴
E	21000	kN/cm ²
i	2,30	cm
L _{skt}	277,5	cm
Faktor za uklon	1	
L _{ukl}	277,5	cm
f _y	35,5	kN/cm ²
γ _f	1,1	
α	0,21	
N _{Ed}	109,7	kN
Izračun		
λ _t	76,41	MPa
N _{cr}	145,88	kN
λ	1,576	
φ	1,887	
χ	0,342	
Kontrola		
N _{b,Rd}	112,69	kN
i	0,97	OK



Faktorji nepopolnosti uklonskih dolžin

uklonska krivulja	a ₀	a	b	c	d
faktor nepopolnosti α	0,13	0,21	0,34	0,49	0,76

OBJEKT	MOST CERŠAK	PZI PROJEKT
PROJEKTANT	Ponting inženirski biro d.o.o., Jernej Maher univ.dipl.inž.grad	ŠT.NAČRTA 537-2/2020
KRAJ IN DATUM	Maribor, januar 2021	STRAN 63

Potreben vijak za vijačenje palice za zavetrovanje na pločevino: Izbran vijak M24, kvalitete 6.8

$$N_{Ed,max} = 129,1 \text{ kN}$$

Kontrola strižne nosilnosti skozi eno strižno ravnino – prestrig skozi steblo:

$$N_{Ed,max} \leq F_{v,Rd} = \frac{0,6 \cdot f_{ub} \cdot A}{\gamma_{M2}} = \frac{0,6 \cdot 60 \cdot 4,52}{1,25} = 130,2 \text{ kN}$$

Preklopna nosilnost na bočni pritisk:

$$N_{Ed,max} \leq F_{v,Rd} = 1,5 \cdot f_u \cdot d \cdot \frac{t}{\gamma_{M2}} = 1,5 \cdot 49 \cdot 2,4 \cdot \frac{1}{1,25} = 141,12 \text{ kN}$$

V primeru, če bi računali nosilnost na bočni pritisk po enačbi:

$$F_{b,Rd} \leq k_1 \cdot \alpha_b \cdot f_u \cdot d \cdot \frac{t}{\gamma_{M2}} = 1,6 \cdot f_u \cdot d \cdot \frac{t}{\gamma_{M2}} = 150,76 \text{ kN}$$

Kontrola pločevin:

Minimalen prerez pločevine, ki prenaša obremenitve znaša 70/10mm.

$$N_{Ed} = 129,1 \leq N_{pl,Rd} = \frac{A \cdot f_y}{\gamma_{M0}} = 248,5 \text{ kN}$$

OBJEKT	MOST CERŠAK	PZI PROJEKT	
PROJEKTANT	Ponting inženirski biro d.o.o., Jernej Maher univ.dipl.inž.grad	ŠT.NAČRTA	537-2/2020
KRAJ IN DATUM	Maribor, januar 2021	STRAN	64

5.0 ANALIZA VZDOLŽNIH LESENIH NOSILCEV

5.1 SPLOŠNO

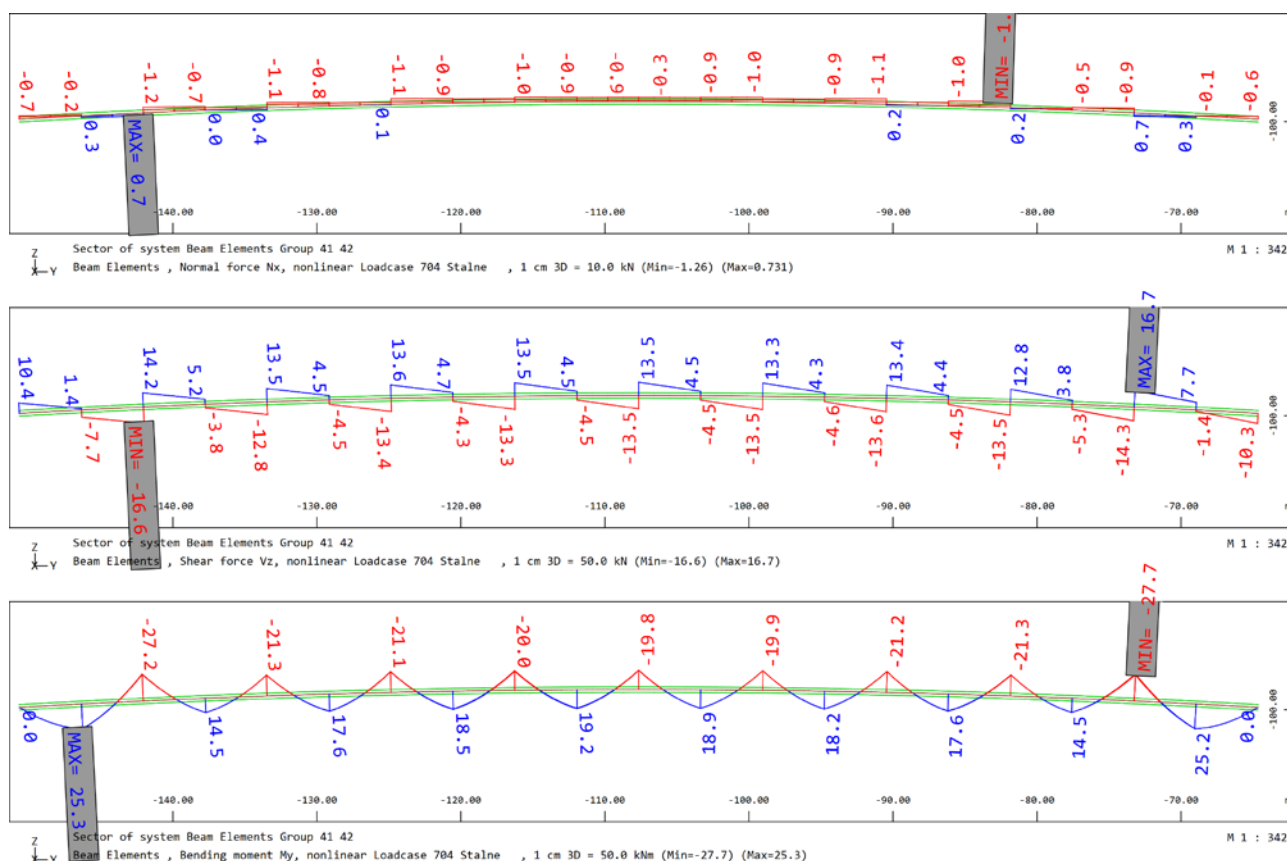
Nosilno prekladno konstrukcijo mostu predstavljata dva vzporedna, masivna, lesena, lepljena nosilca B/H = 280/1285 mm, dolžine 87.60 m (razpon med ležišči 86.0m), ki sta prečno razmaknjena za 3.925 m in med seboj povezana z jeklenimi okvirji - prečniki (HEB 240) in zavetrovanjem v ravnini prečnikov. Nosilca sta predvidena iz kvalitete lesa GL28h.

5.2 ANALIZA OBTEŽB

Obtežbe, ki so se upoštevale so bile opisane že v poglavju 2.

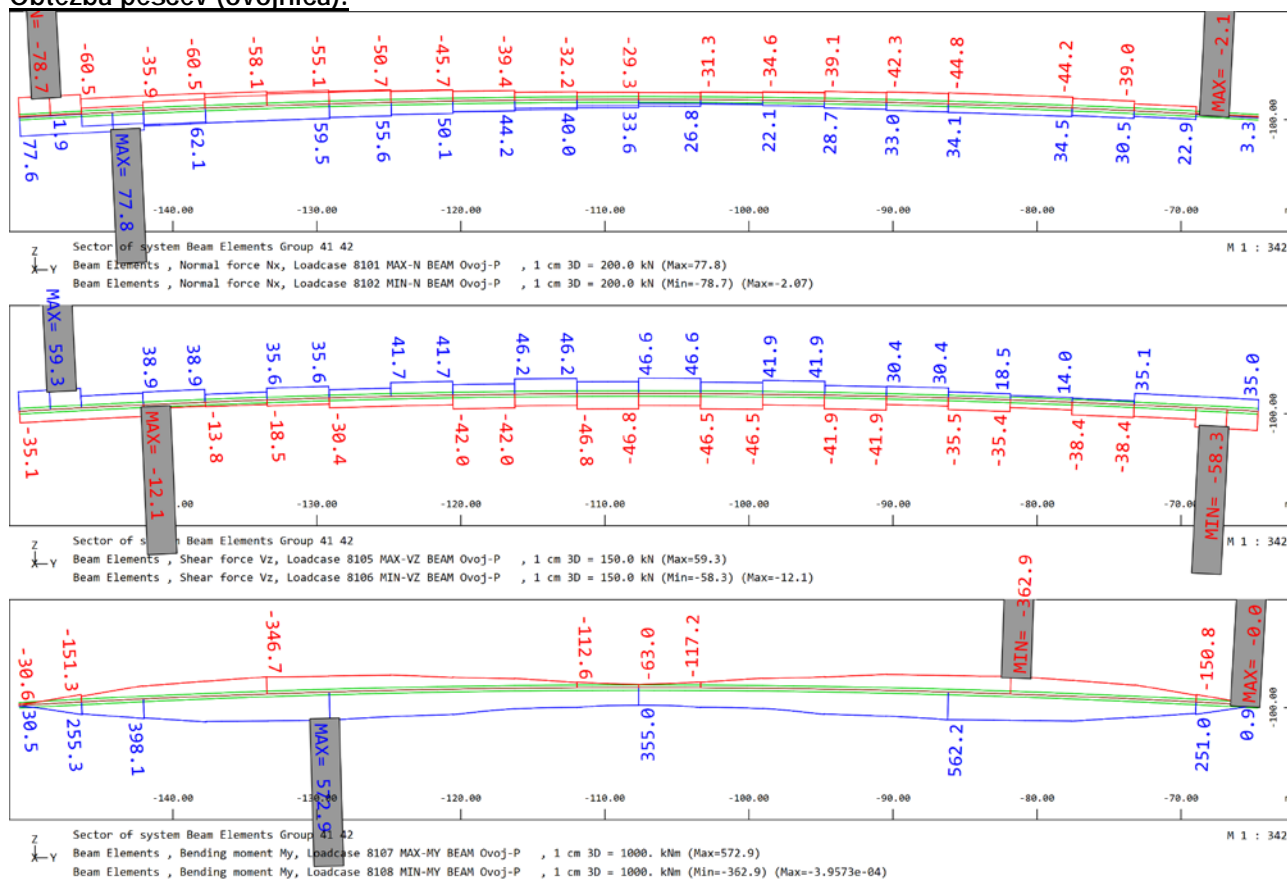
5.3 OBREMENITVE

Stalne obtežbe:

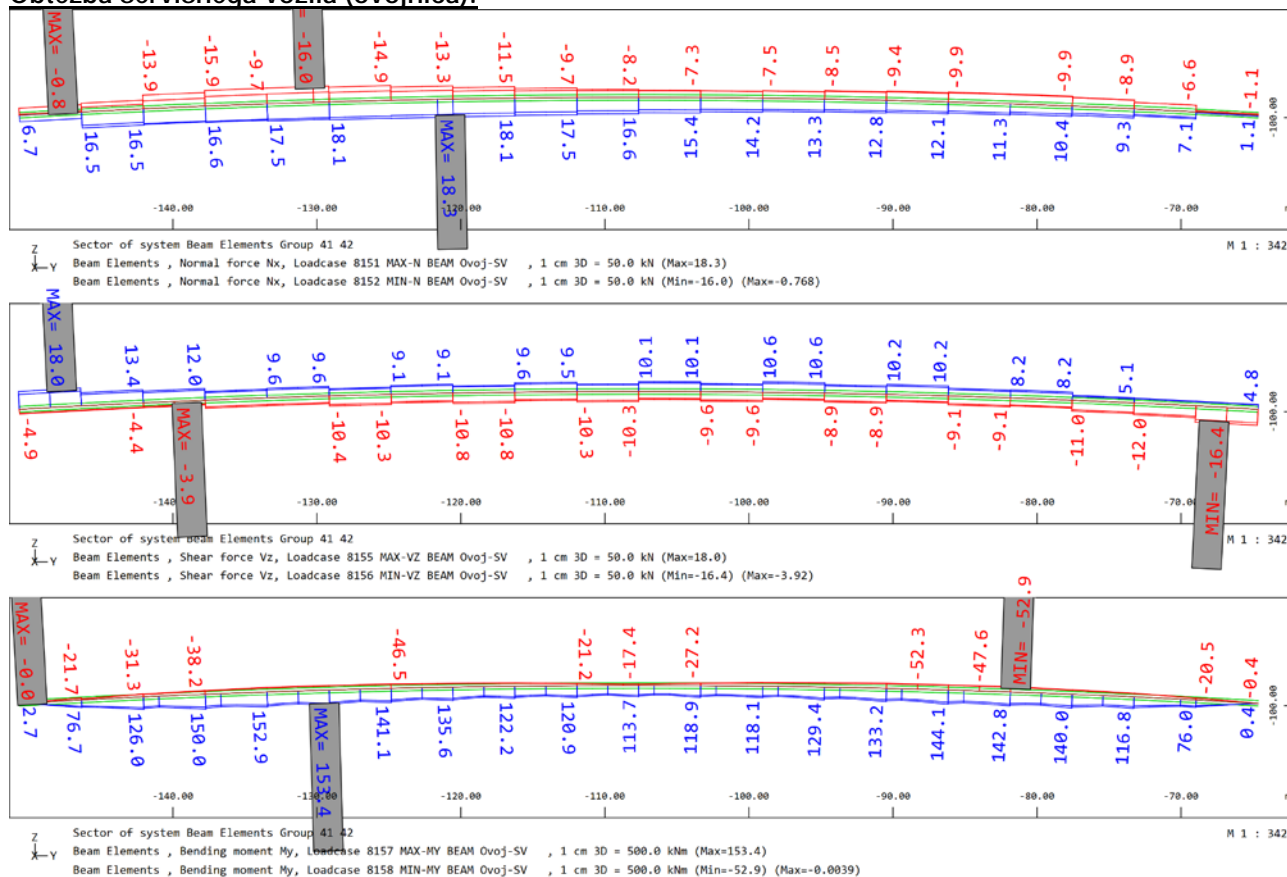


OBJEKT	MOST CERŠAK	PZI PROJEKT
PROJEKTANT	Ponting inženirski biro d.o.o., Jernej Maher univ.dipl.inž.grad	ŠT.NAČRTA 537-2/2020
KRAJ IN DATUM	Maribor, januar 2021	STRAN 65

Obtežba pešcev (ovojnica):

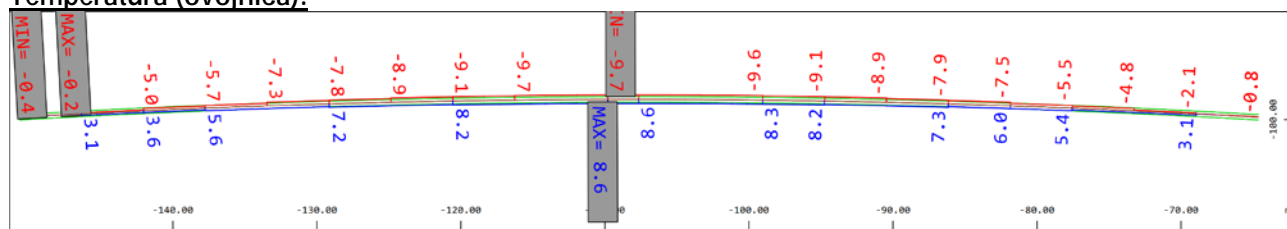


Obtežba servisnega vozila (ovojnica):

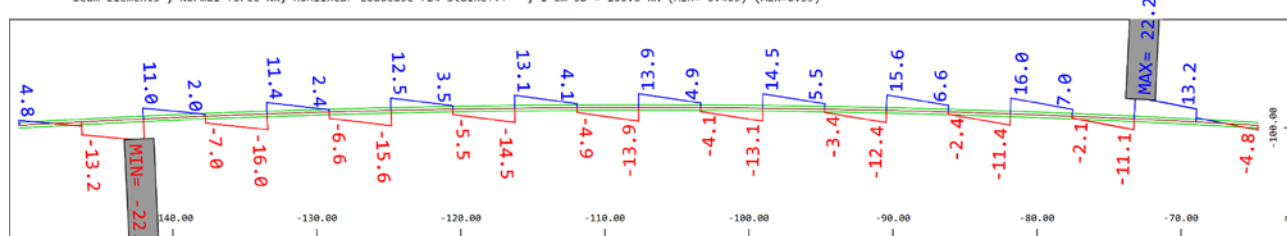


OBJEKT	MOST CERŠAK	PZI PROJEKT
PROJEKTANT	Ponting inženirski biro d.o.o., Jernej Maher univ.dipl.inž.grad	ŠT.NAČRTA 537-2/2020
KRAJ IN DATUM	Maribor, januar 2021	STRAN 66

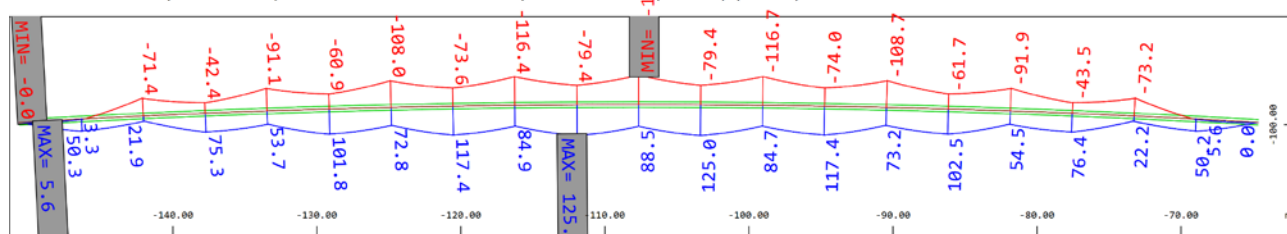
OBJEKT	MOST CERŠAK	P Z I P R O J E K T	
PROJEKTANT	Ponting inženirski biro d.o.o., Jernej Maher univ.dipl.inž.grad	ŠT.NAČRTA	537-2/2020
KRAJ IN DATUM	Maribor, januar 2021	STRAN	67

Temperatura (ovojnica):

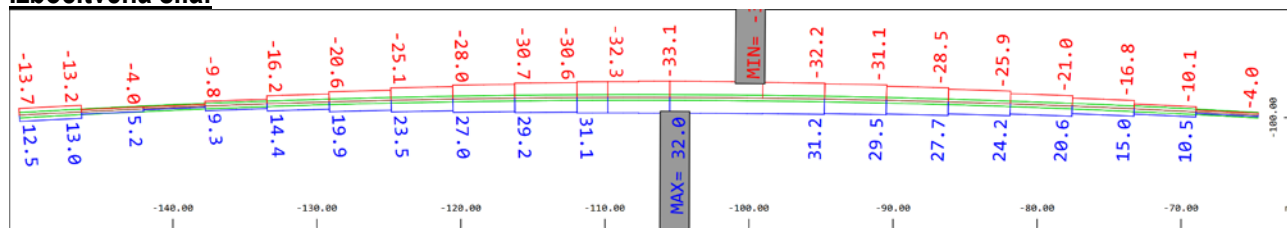
Sector of system Beam Elements Group 41 42
 Beam Elements , Normal force Nx, nonlinear Loadcase 721 Stalne+T+ , 1 cm 3D = 100.0 kN (Min=-9.71) (Max=-0.191)
 Beam Elements , Normal force Nx, nonlinear Loadcase 724 Stalne+T+ , 1 cm 3D = 100.0 kN (Min=-0.409) (Max=8.59)



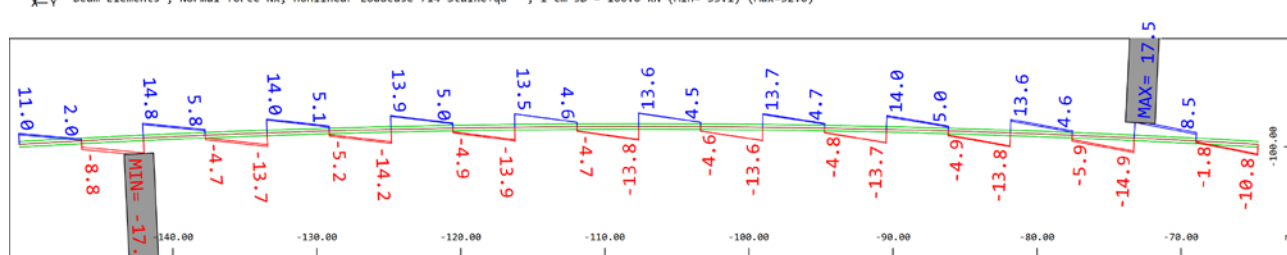
Sector of system Beam Elements Group 41 42
 Beam Elements , Shear force Vz, nonlinear Loadcase 724 Stalne+T+ , 1 cm 3D = 50.0 kN (Min=-22.2) (Max=22.2)
 Beam Elements , Shear force Vz, nonlinear Loadcase 724 Stalne+T+ , 1 cm 3D = 50.0 kN (Min=-22.2) (Max=22.2)



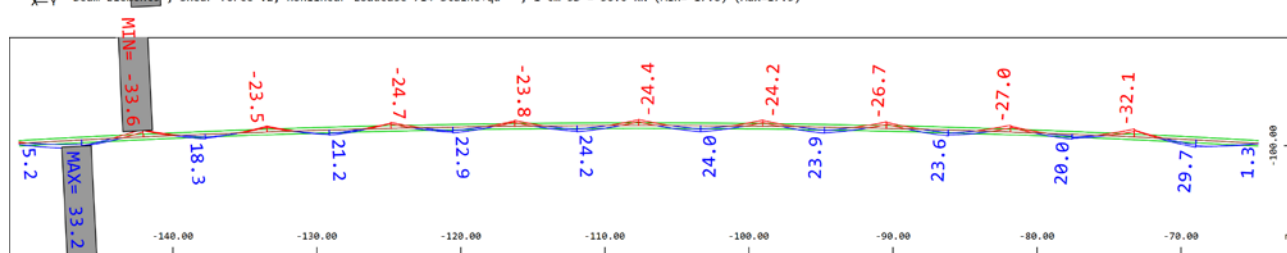
Sector of system Beam Elements Group 41 42
 Beam Elements , Bending moment My, nonlinear Loadcase 721 Stalne+T+ , 1 cm 3D = 200.0 kNm (Min=-0.0456) (Max=125.3)
 Beam Elements , Bending moment My, nonlinear Loadcase 724 Stalne+T+ , 1 cm 3D = 200.0 kNm (Min=-119.6) (Max=5.61)

Izbočitvena sila:

Sector of system Beam Elements Group 41 42
 Beam Elements , Normal force Nx, nonlinear Loadcase 714 Stalne+qd , 1 cm 3D = 100.0 kN (Min=-33.1) (Max=32.0)



Sector of system Beam Elements Group 41 42
 Beam Elements , Shear force Vz, nonlinear Loadcase 714 Stalne+qd , 1 cm 3D = 50.0 kN (Min=-17.8) (Max=17.5)

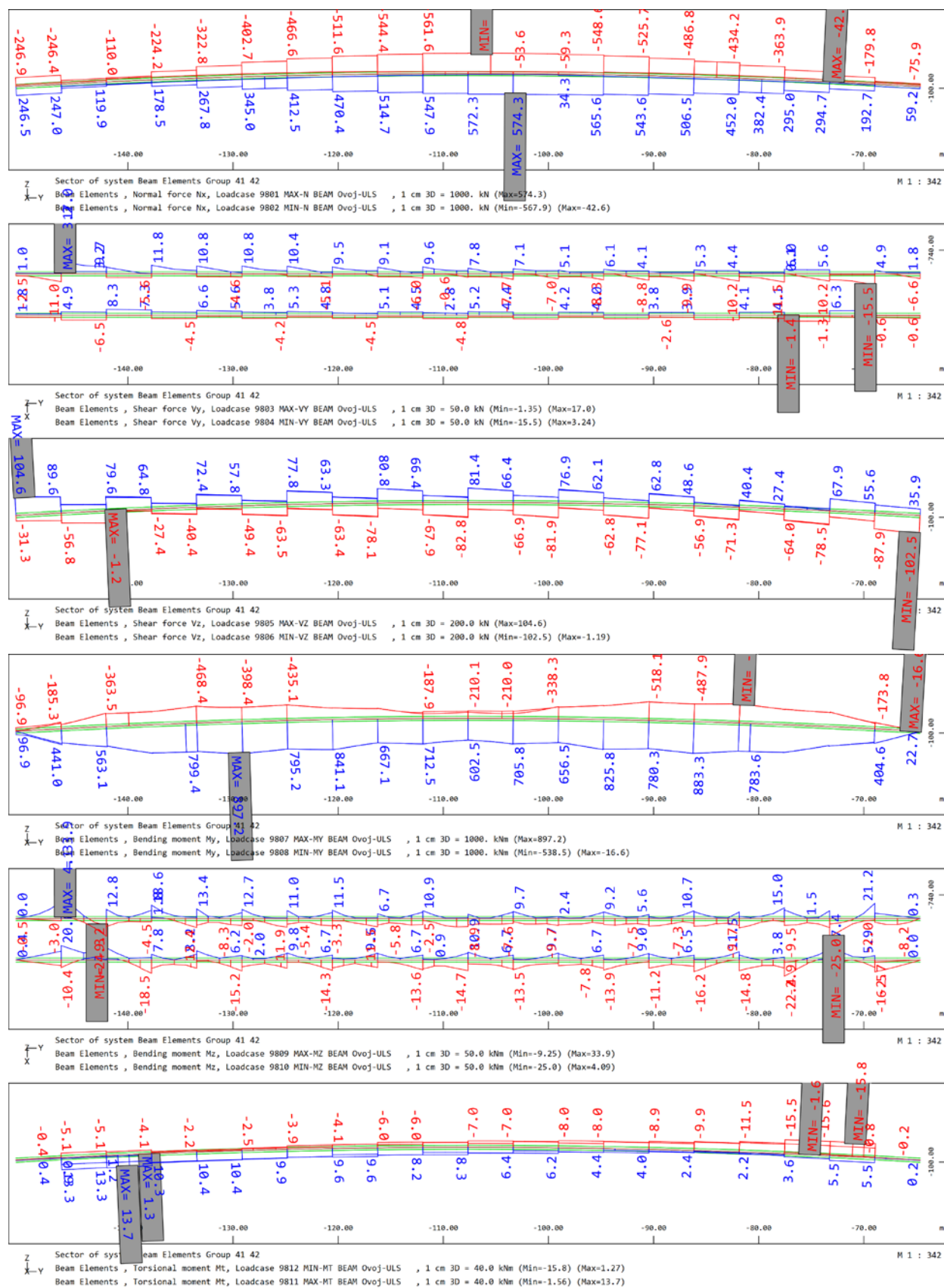


Sector of system Beam Elements Group 41 42
 Beam Elements , Bending moment My, nonlinear Loadcase 714 Stalne+qd , 1 cm 3D = 200.0 kNm (Min=-33.6) (Max=33.2)

OBJEKT	MOST CERŠAK	PZI PROJEKT
PROJEKTANT	Ponting inženirski biro d.o.o., Jernej Maher univ.dipl.inž.grad	ŠT.NAČRTA 537-2/2020
KRAJ IN DATUM	Maribor, januar 2021	STRAN 68

5.4 DIMENZIONIRANJE IN KONTROLA

Ovojnica obremenitev po MSN (osnovna kombinacija/nezgodna kombinacija - ovojnica):



OBJEKT	MOST CERŠAK	PZI PROJEKT
PROJEKTANT	Ponting inženirski biro d.o.o., Jernej Maher univ.dipl.inž.grad	ŠT.NAČRTA 537-2/2020
KRAJ IN DATUM	Maribor, januar 2021	STRAN 69

Tabelaričen prikaz maksimalnih obremenitev:**MSN – osnovna obtežna kombinacija / nezgodna obtežna kombinacija (ovojnica):**

MSN ovojnica osnovne in nezgodne obtežne kombinacije		N	VY	VZ	MT	MY	MZ
		[kN]	[kN]	[kN]	[kNm]	[kNm]	[kNm]
1)	min N	-567,9	-1,82	17,65	-0,43	202,63	-6,79
2)	max N	574,3	-0,72	-25,01	-0,15	-2	-8,25
3)	min VY	-164,3	-15,48	2,77	-12,95	-63,47	20,38
4)	max VY	29,4	16,97	16,37	8,88	141,76	30,48
5)	min VZ	-19,8	-1,07	-102,5	0,05	-6,44	0,06
6)	max VZ	55,1	-0,18	104,55	0,08	22,94	-0,11
7)	min MT	-75,5	-9,55	-7,08	-15,76	98,2	-5,33
8)	max MT	-62,1	6,75	36,59	13,71	276,96	5,51
9)	min MY	47,8	1,51	31,08	0,05	-538,53	1,01
10)	max MY	-72,8	-1,98	18,42	-1,1	897,23	3,79
11)	min MZ	-75,9	-7,89	0,44	-15,16	130,6	-25,04
12)	max MZ	102	16,58	12,29	8,43	41,98	33,93

V tabeli, ki je podana v nadaljevanu so podane izkoriščenosti prereza.

OBJEKT	MOST CERŠAK	PZI PROJEKT	
PROJEKTANT	Ponting inženirski biro d.o.o., Jernej Maher univ.dipl.inž.grad	ŠT.NAČRTA	537-2/2020
KRAJ IN DATUM	Maribor, januar 2021	STRAN	70

Pri dimenzioniranju so bile upoštevane karakteristike lesa GL28h.

Trdnostni razred		GL28h	
$f_{m,k}=$	2,8	kN/cm^2	[upogib]
$f_{t,0,k}=$	2,0	kN/cm^2	[nateg]
$f_{t,90,k}=$	0,05	kN/cm^2	[nateg]
$f_{c,0,k}=$	2,7	kN/cm^2	[tlak]
$f_{c,90,k}=$	0,30	kN/cm^2	[tlak]
$f_{v,k}=$	0,32	kN/cm^2	[strig]
$E_{0,mean}=$	1260,0	kN/cm^2	[mod.el.]
$E_{0,05}=$	1020,0	kN/cm^2	[mod.el.]
$E_{90,mean}=$	42,0	kN/cm^2	[mod.el.]
$G_{mean}=$	78,00	kN/cm^2	[str.mod.]
$G_{0,05}=$	0,00	kN/cm^2	[str.mod.]
$\rho_k=$	410,00	kg/m^3	[gostota]
$\rho_{mean}=$	0,00	kg/m^3	[gostota]

MSN ovojnica osnovne in nezgodne obtežne kombinacije		N	VY	VZ	MT	MY	MZ	i
		[kN]	[kN]	[kN]	[kNm]	[kNm]	[kNm]	[%]
1)	min N	-567,9	-1,82	17,65	-0,43	202,63	-6,79	23
2)	max N	574,3	-0,72	-25,01	-0,15	-2	-8,25	15
3)	min VY	-164,3	-15,48	2,77	-12,95	-63,47	20,38	16
4)	max VY	29,4	16,97	16,37	8,88	141,76	30,48	
5)	min VZ	-19,8	-1,07	-102,5	0,05	-6,44	0,06	28
6)	max VZ	55,1	-0,18	104,55	0,08	22,94	-0,11	
7)	min MT	-75,5	-9,55	-7,08	-15,76	98,2	-5,33	24
8)	max MT	-62,1	6,75	36,59	13,71	276,96	5,51	
9)	min MY	47,8	1,51	31,08	0,05	-538,53	1,01	35
10)	max MY	-72,8	-1,98	18,42	-1,1	897,23	3,79	59
11)	min MZ	-75,9	-7,89	0,44	-15,16	130,6	-25,04	16
12)	max MZ	102	16,58	12,29	8,43	41,98	33,93	
Stalne obremenitve		-8,7	-4,11	-21,74	-2,83	103,93	-10,11	14

OBJEKT	MOST CERŠAK	PZI PROJEKT	
PROJEKTANT	Ponting inženirski biro d.o.o., Jernej Maher univ.dipl.inž.grad	ŠT.NAČRTA	537-2/2020
KRAJ IN DATUM	Maribor, januar 2021	STRAN	71

Kontrola prerezov:**1.) N_{min}**

Tlak - Priročnik 5-17			
Tlak z upoštevanjem uklona - EC 5	$f_{uklon} =$	1	
	$L_{ef} =$	430	cm
	$N_{lak} =$	567,9	
	$N_{crit,y} =$	269556,1	kN
	$\sigma_{crit,y} =$	74,92	kN/cm ²
	$\lambda_{rel,y} > 0,3$	0,19	Ni nevarnosti
	$N_{lak} =$	567,9	
	$N_{crit,z} =$	12798,5	kN
	$\sigma_{crit,z} =$	3,56	kN/cm ²
	$\lambda_{rel,z} > 0,3$	0,86	Nevarnost
Nevarnost uklona ($\lambda_{rel,y}$ ali $\lambda_{rel,z} > 0,3$)	$\beta_C =$	0,1	[0,2 iglavci / 0,1 lepljen les]
	$k_m =$	0,7	[0,7 pravokotni prerez / 1,0 ostali]
	$k_y =$	0,51	
	$k_z =$	0,90	
Stalna obtežba	$k_{c,y} =$	1,012	
	$k_{c,z} =$	0,864	
	$\sigma_{c,0,d} =$	0,00	kN/cm ²
	$\sigma_{m,y,d} =$	0,13	kN/cm ²
	$\sigma_{m,z,d} =$	0,07	kN/cm ²
	$f_{m,d} =$	1,34	kN/cm ²
	$f_{c,0,d} =$	1,27	kN/cm ²
	$\sigma_{d1} / f_{d1} =$	0,14	OK [6.23]
	$\sigma_{d2} / f_{d1} =$	0,12	OK [6.24]
			$\frac{\sigma_{c,0,d}}{k_{c,y} f_{c,0,d}} + \frac{\sigma_{m,y,d}}{f_{m,y,d}} + k_m \frac{\sigma_{m,z,d}}{f_{m,z,d}} \leq 1$
Spremenljiva obtežba	$\sigma_{c,0,d} =$	0,16	kN/cm ²
	$\sigma_{m,y,d} =$	0,26	kN/cm ²
	$\sigma_{m,z,d} =$	0,04	kN/cm ²
	$f_{m,d} =$	2,02	kN/cm ²
	$f_{c,0,d} =$	1,91	kN/cm ²
	$\sigma_{d1} / f_{d1} =$	0,23	OK [6.23]
	$\sigma_{d2} / f_{d1} =$	0,21	OK [6.24]
			$\frac{\sigma_{c,0,d}}{k_{c,z} f_{c,0,d}} + k_m \frac{\sigma_{m,y,d}}{f_{m,y,d}} + \frac{\sigma_{m,z,d}}{f_{m,z,d}} \leq 1$
			0

OBJEKT	MOST CERŠAK	PZI PROJEKT
PROJEKTANT	Ponting inženirski biro d.o.o., Jernej Maher univ.dipl.inž.grad	ŠT.NAČRTA 537-2/2020
KRAJ IN DATUM	Maribor, januar 2021	STRAN 72

2.) N_{\max}

Nateg - Priročnik 5-16			
Stalna obtežba	Samo osna sila - N		
$\sigma_{t,0,d} =$	0,00	kN/cm ²	
$f_{t,0,d} =$	0,94	kN/cm ²	
$\sigma_{t,0,d} < f_{t,0,d}$	OK		
$i =$	0,00		
Oсна sila +moment - N + M			
$\sigma_{d1} / f_{d1} =$	0,14	[6.17]	$\frac{\sigma_{t,0,d}}{f_{t,0,d}} + \frac{\sigma_{m,y,d}}{f_{m,y,d}} + k_m \frac{\sigma_{m,z,d}}{f_{m,z,d}} \leq 1$
$\sigma_{d1} / f_{d1} < 1$	OK		
$\sigma_{d2} / f_{d2} =$	0,12	[6.18]	$\frac{\sigma_{t,0,d}}{f_{t,0,d}} + k_m \frac{\sigma_{m,y,d}}{f_{m,y,d}} + \frac{\sigma_{m,z,d}}{f_{m,z,d}} \leq 1$
$\sigma_{d2} / f_{d2} < 1$	OK		
Stalna obtežba + spremenljiva	Samo osna sila - N		
$\sigma_{c,0,d} =$	0,18	kN/cm ²	
$f_{c,0,d} =$	1,40	kN/cm ²	
$\sigma_{t,0,d} < f_{t,0,d}$	OK		
$i =$	0,13		
Oсна sila +moment - N + M			
$\sigma_{d1} / f_{d1} =$	0,14	[6.17]	$\frac{\sigma_{t,0,d}}{f_{t,0,d}} + \frac{\sigma_{m,y,d}}{f_{m,y,d}} + k_m \frac{\sigma_{m,z,d}}{f_{m,z,d}} \leq 1$
$\sigma_{d1} / f_{d1} < 1$	OK		
$\sigma_{d2} / f_{d2} =$	0,15	[6.18]	$\frac{\sigma_{t,0,d}}{f_{t,0,d}} + k_m \frac{\sigma_{m,y,d}}{f_{m,y,d}} + \frac{\sigma_{m,z,d}}{f_{m,z,d}} \leq 1$
$\sigma_{d2} / f_{d2} < 1$	OK		

OBJEKT	MOST CERŠAK	PZI PROJEKT
PROJEKTANT	Ponting inženirski biro d.o.o., Jernej Maher univ.dipl.inž.grad	ŠT.NAČRTA 537-2/2020
KRAJ IN DATUM	Maribor, januar 2021	STRAN 73

5.) $V_{z,min}$ / 6.) $V_{z,max}$ **Strig - Priročnik 5-26**

Efektivna širina	$k_{cr} =$	0,67	[masiven in lepljen lamelarni les]
	$k_{cr} =$	1,00	[ostali les]
	$b_{ef} =$	18,76	cm

Stalna obtežba	$\tau_d =$	0,01	kN/cm ²
	$f_{v,d} =$	0,15	kN/cm ²
	$\tau_d < f_{v,d}$	OK	

Stalna obtežba + spremenljiva	$i =$	0,09	
	$\tau_d =$	0,07	kN/cm ²
	$f_{v,d} =$	0,23	kN/cm ²
	$\tau_d < f_{v,d}$	OK	
	$i =$	0,28	

Torzija - pravokotni prerez - Priročnik 5-28 $k_{shape} = 1,69$ $h/b = 4,59$ $c_1 = 0,28526$ $c_2 = 3,5$ Pr. 5-5. Vrednosti konstant c_1 in c_2 .

h/b	1	1,2	1,5	2	2,5	3	5	10	$\rightarrow \infty$
c_1	0,141	0,166	0,196	0,229	0,249	0,263	0,291	0,312	0,333
c_2	4,80	4,57	4,33	4,06	3,88	3,74	3,44	3,20	3,00

Stalna obtežba	$\tau_{d,TOR} =$	0,010	kN/cm ²
	$f_{v,d} =$	0,15	kN/cm ²
	$\tau_{d,TOR,max} < k_{shape} \cdot f_{v,d}$	OK	
	$i =$	0,04	

Spremenljiva obtežba	$\tau_{d,TOR} =$	0,000	
	$f_{v,d} =$	0,23	
	$\tau_{d,TOR,max} < k_{shape} \cdot f_{v,d}$	OK	
	$i =$	0,00	

Kombinacija striga in torzije - Priročnik 5-31

Stalna obtežba	$i =$	0,13	OK
----------------	-------	------	----

Spremenljiva obtežba	$i =$	0,28	OK
----------------------	-------	------	----

OBJEKT	MOST CERŠAK	PZI PROJEKT
PROJEKTANT	Ponting inženirski biro d.o.o., Jernej Maher univ.dipl.inž.grad	ŠT.NAČRTA 537-2/2020
KRAJ IN DATUM	Maribor, januar 2021	STRAN 75

7.) $M_{T,min}$ / 8.) $M_{T,max}$ **Strig - Priročnik 5-26**

Efektivna širina	$k_{cr} =$	0,67	[masiven in lepljen lamelarni les]
	$k_{cr} =$	1,00	[ostali les]
	$b_{ef} =$	18,76	cm

Stalna obtežba	$\tau_d =$	0,01	kN/cm ²
	$f_{v,d} =$	0,15	kN/cm ²
	$\tau_d < f_{v,d}$	OK	

Stalna obtežba + spremenljiva	$i =$	0,09	
	$\tau_d =$	0,02	kN/cm ²
	$f_{v,d} =$	0,23	kN/cm ²
	$\tau_d < f_{v,d}$	OK	
	$i =$	0,10	

Torzija - pravokotni prerez - Priročnik 5-28 $k_{shape} = 1,69$ $h/b = 4,59$ $c_1 = 0,28526$ $c_2 = 3,5$ Pr. 5-5. Vrednosti konstant c_1 in c_2 .

h/b	1	1,2	1,5	2	2,5	3	5	10	$\rightarrow \infty$
c_1	0,141	0,166	0,196	0,229	0,249	0,263	0,291	0,312	0,333
c_2	4,80	4,57	4,33	4,06	3,88	3,74	3,44	3,20	3,00

Stalna obtežba	$\tau_{d,TOR} =$	0,010	kN/cm ²
	$f_{v,d} =$	0,15	kN/cm ²
	$\tau_{d,TOR,max} < k_{shape} \cdot f_{v,d}$	OK	
	$i =$	0,04	

Spremenljiva obtežba	$\tau_{d,TOR} =$	0,055	
	$f_{v,d} =$	0,23	
	$\tau_{d,TOR,max} < k_{shape} \cdot f_{v,d}$	OK	
	$i =$	0,14	

Kombinacija striga in torzije - Priročnik 5-31

Stalna obtežba	$i =$	0,13	OK
----------------	-------	------	----

Spremenljiva obtežba	$i =$	0,24	OK
----------------------	-------	------	----

OBJEKT	MOST CERŠAK	PZI PROJEKT
PROJEKTANT	Ponting inženirski biro d.o.o., Jernej Maher univ.dipl.inž.grad	ŠT.NAČRTA 537-2/2020
KRAJ IN DATUM	Maribor, januar 2021	STRAN 76

9.) $M_{y,min}$

Upogib - Priročnik 5-22				
Kontrola bočne zvrnitve				
	$\sigma_{m,cr} =$	12,5	kN/cm ²	
	$\lambda_{rel,m} =$	0,47	kN/cm ²	
	$\lambda_{rel,m} \leq 0,75$	Ni nevarnosti		
Enosni upogib				
Stalna obtežba	$\sigma_{m,d} =$	0,13	kN/cm ²	
	$f_{m,d} =$	1,34	kN/cm ²	
	$\sigma_{m,d} < f_{m,d}$	OK		
	$\lambda =$	0,10		
Stalna obtežba + spremenljiva	$\sigma_{m,d} =$	0,70	kN/cm ²	
	$f_{m,d} =$	2,02	kN/cm ²	
	$\sigma_{m,d} < f_{m,d}$	OK		
	$\lambda =$	0,35		
Dvoosni upogib				
	$k_{\phi} =$	0,7	[0,7 pravokotni/1,0 ostali]	
Stalna obtežba	$\sigma_{y,d} / f_d$	0,14	OK	[6.11]
	$\sigma_{z,d} / f_d$	0,12	OK	[6.12]
Spremenljiva obtežba	$\sigma_{y,d} / f_d$	0,35	OK	[6.11]
	$\sigma_{z,d} / f_d$	0,25	OK	[6.12]
Nevarnost bočne zvrnitve				
$k_{cr} =$	1	$k_{rel} = \begin{cases} 1 & \text{for } \lambda_{rel,m} \leq 0,75 \\ 1,56 - 0,75 \lambda_{rel,m} & \text{for } 0,75 < \lambda_{rel,m} \leq 1,4 \\ \frac{1}{\lambda_{rel,m}^2} & \text{for } 1,4 < \lambda_{rel,m} \end{cases}$		
Upogib				
Stalna obtežba	$\sigma_{m,d} =$	0,13		
	$k_{cr} \cdot f_{m,d} =$	1,34		
	$\sigma_{m,d} \leq k_{cr} \cdot f_{m,d}$	OK	[6.33]	
Stalna obtežba + pešci	$\sigma_{m,d} =$	0,70		
	$k_{cr} \cdot f_{m,d} =$	2,02		
	$\sigma_{m,d} \leq k_{cr} \cdot f_{m,d}$	OK	[6.33]	
Tlak + Upogib ($\lambda_{rel,y} > 0,3$ in $\lambda_{rel,m} > 0,75$)				
Stalna obtežba	$\sigma_d / f_d =$	0,01	OK	[6.35]
Spremenljiva obtežba	$\sigma_d / f_d =$	0,12	OK	[6.35]
$\left(\frac{\sigma_{m,d}}{k_{cr} f_{m,d}} \right)^2 + \frac{\sigma_{c,d}}{k_{c,z} f_{c,0,d}} \leq 1$				

$$\frac{\sigma_{m,y,d}}{f_{m,y,d}} + k_m \frac{\sigma_{m,z,d}}{f_{m,z,d}} \leq 1$$

$$k_m \frac{\sigma_{m,y,d}}{f_{m,y,d}} + \frac{\sigma_{m,z,d}}{f_{m,z,d}} \leq 1$$

10.) $M_{y,max}$

Upogib - Priročnik 5-22				
Kontrola bočne zvrnitve				
	$\sigma_{m,cr} =$	12,5	kN/cm ²	
	$\lambda_{rel,m} =$	0,47	kN/cm ²	
	$\lambda_{rel,m} \leq 0,75$	Ni nevarnosti	kN/cm ²	
Enosni upogib				
Stalna obtežba	$\sigma_{m,d} =$	0,13	kN/cm ²	
	$f_{m,d} =$	1,34	kN/cm ²	
	$\sigma_{m,d} \leq f_{m,d}$	OK		
	$\lambda =$	0,10		
Stalna obtežba + spremenljiva	$\sigma_{m,d} =$	1,17	kN/cm ²	
	$f_{m,d} =$	2,02	kN/cm ²	
	$\sigma_{m,d} \leq f_{m,d}$	OK		
	$\lambda =$	0,58		
Dvoosni upogib				
	$k_m =$	0,7	[0,7 pravokotni/1,0 ostali]	
Stalna obtežba	$\sigma_{y,d} / f_d$	0,14	OK	[6.11]
	$\sigma_{z,d} / f_d$	0,12	OK	[6.12]
Spremenljiva obtežba	$\sigma_{y,d} / f_d$	0,59	OK	[6.11]
	$\sigma_{z,d} / f_d$	0,42	OK	[6.12]
Nevarnost bočne zvrnitve				
$k_{cr} =$	1			
	$k_{rel} = \begin{cases} 1 & \text{for } \lambda_{rel,m} \leq 0,75 \\ 1,56 - 0,75 \lambda_{rel,m} & \text{for } 0,75 < \lambda_{rel,m} \leq 1,4 \\ \frac{1}{\lambda_{rel,m}^2} & \text{for } 1,4 < \lambda_{rel,m} \end{cases}$			
Upogib				
Stalna obtežba	$\sigma_{m,d} =$	0,13		
	$k_{cr} \cdot f_{m,d} =$	1,34		
	$\sigma_{m,d} \leq k_{cr} \cdot f_{m,d}$	OK	[6.33]	
Stalna obtežba + pešci	$\sigma_{m,d} =$	1,17		
	$k_{cr} \cdot f_{m,d} =$	2,02		
	$\sigma_{m,d} \leq k_{cr} \cdot f_{m,d}$	OK	[6.33]	
Tlak + Upogib ($\lambda_{rel,z} > 0,3$ in $\lambda_{rel,m} > 0,75$)				
Stalna obtežba	$\sigma_d / f_d =$	0,01	OK	[6.35]
Spremenljiva obtežba	$\sigma_d / f_d =$	0,35	OK	[6.35]
	$\left(\frac{\sigma_{m,d}}{k_{cr} f_{m,d}} \right)^2 + \frac{\sigma_{c,d}}{k_{c,z} f_{c,0,d}} \leq 1$			

$$\frac{\sigma_{m,y,d}}{f_{m,y,d}} + k_m \frac{\sigma_{m,z,d}}{f_{m,z,d}} \leq 1$$

$$k_m \frac{\sigma_{m,y,d}}{f_{m,y,d}} + \frac{\sigma_{m,z,d}}{f_{m,z,d}} \leq 1$$

OBJEKT	MOST CERŠAK	PZI PROJEKT
PROJEKTANT	Ponting inženirski biro d.o.o., Jernej Maher univ.dipl.inž.grad	ŠT.NAČRTA 537-2/2020
KRAJ IN DATUM	Maribor, januar 2021	STRAN 77

11.) $M_{z,min}$ / 12.) $M_{z,max}$

Upogib - Priročnik 5-22			
Kontrola bočne zvrnitve	$\sigma_{m,z} =$	12,5	kN/cm ²
	$\lambda_{rel,m} =$	0,47	kN/cm ²
	$\lambda_{rel,m} \leq 0,75$	Ni nevarnosti	kN/cm ²
Enosni upogib		Dvoosni upogib	
Stalna obtežba	$\sigma_{m,d} =$	0,13	kN/cm ²
	$f_{m,d} =$	1,34	kN/cm ²
	$\sigma_{m,d} < f_{m,d}$	OK	
	$i =$	0,10	
Stalna obtežba + spremenljiva	$\sigma_{m,d} =$	0,17	kN/cm ²
	$f_{m,d} =$	2,02	kN/cm ²
	$\sigma_{m,d} < f_{m,d}$	OK	
	$i =$	0,08	
Dvoosni upogib			
[0,7 pravokotni/1,0 ostali]			
Stalna obtežba	$k_{m1} =$	0,7	
	$\sigma_{y,d} / f_d$	0,14	OK [6.11]
	$\sigma_{z,d} / f_d$	0,12	OK [6.12]
Spremenljiva obtežba	$\sigma_{y,d} / f_d$	0,15	OK [6.11]
	$\sigma_{z,d} / f_d$	0,16	OK [6.12]
$\frac{\sigma_{m,y,d}}{f_{m,y,d}} + k_{m1} \frac{\sigma_{m,z,d}}{f_{m,z,d}} \leq 1$ $k_{m1} \frac{\sigma_{m,y,d}}{f_{m,y,d}} + \frac{\sigma_{m,z,d}}{f_{m,z,d}} \leq 1$			
Nevarnost bočne zvrnitve			
$k_{crit} =$	1		
	$k_{crit} = \begin{cases} 1 & \text{for } \lambda_{rel,m} \leq 0,75 \\ 1,99 - 0,75 \lambda_{rel,m} & \text{for } 0,75 < \lambda_{rel,m} \leq 1,4 \\ \frac{1}{\lambda_{rel,m}^2} & \text{for } 1,4 < \lambda_{rel,m} \end{cases}$		
Upogib			
Stalna obtežba	$\sigma_{m,d} =$	0,13	
	$k_{crit} \cdot f_{m,d} =$	1,34	
	$\sigma_{m,d} \leq k_{crit} \cdot f_{m,d}$	OK	[6.33]
Stalna obtežba + pešci	$\sigma_{m,d} =$	0,17	
	$k_{crit} \cdot f_{m,d} =$	2,02	
	$\sigma_{m,d} \leq k_{crit} \cdot f_{m,d}$	OK	[6.33]
Tlak + Upogib ($\lambda_{rel,z} > 0,3$ in $\lambda_{rel,m} > 0,75$)			
Stalna obtežba	$\sigma_d / f_d =$	0,01	OK [6.35]
Spremenljiva obtežba	$\sigma_d / f_d =$	0,02	OK [6.35]
$\left(\frac{\sigma_{m,d}}{k_{crit} f_{m,d}} \right)^2 + \frac{\sigma_{c,d}}{k_{c,z} f_{c,0,d}} \leq 1$			

Maksimalno je prerez izkoriščen pri obtežni kombinaciji za $M_{y,max}$, in sicer 59%. V nadaljevanju bo prikazan tudi vpliv povečanja obtežbe zaradi teorije 2. reda. V omenjeni obtežni kombinaciji, pa je zajeta tudi že izbočitvena sila, ki nastane zaradi geometrijskih nepopolnosti.

OBJEKT	MOST CERŠAK	PZI PROJEKT
PROJEKTANT	Ponting inženirski biro d.o.o., Jernej Maher univ.dipl.inž.grad	ŠT.NAČRTA 537-2/2020
KRAJ IN DATUM	Maribor, januar 2021	STRAN 78

Povečanje obremenitev v prečni smeri zaradi vpliva teorije 2. reda. Upoštevano je povečanje momenta M_z , ki nastane zaradi delovanja osne sile N na ročici e . Pri deformacijah smo upoštevali $e_0=5,0$ cm (toleranca izvedbe) ter 11,0 cm (deformacija zaradi obtežbe vetra).

$$e = e_0 + \delta_q$$

MSN - osnovna kombinacija (prev. promet oz. veter)			N	VY	VZ	MT	MY	MZ	ΣMZ	i
			[kN]	[kN]	[kN]	[kNm]	[kNm]	[kNm]	[kNm]	[%]
1.	min N	Ovoj-ULS_W	-567,9	-1,82	17,65	-0,43	202,63	-6,79	97,7	48
2.	max MY	Ovoj-ULS_P	-72,8	-1,98	18,42	-1,1	897,23	3,79	-15,44	61

1.) N_{min}

Tlak - Priročnik 5-17		
Tlak z upoštevanjem uklona - EC 5		
$f_{uklon} =$	1	
$L_{ef} =$	430	cm
$N_{tlak} =$	567,9	
$N_{crit,y} =$	269556,1	kN
$\sigma_{crit,y} =$	74,92	kN/cm ²
$\lambda_{rel,y} > 0,3$	0,19	Ni nevarnosti
$N_{tlak} =$	567,9	
$N_{crit,z} =$	12798,5	kN
$\sigma_{crit,y} =$	3,56	kN/cm ²
$\lambda_{rel,z} > 0,3$	0,86	Nevarnost
Nevarnost uklona ($\lambda_{rel,y}$ ali $\lambda_{rel,z} > 0,3$)		
$\beta_c =$	0,1	[0,2 iglavci / 0,1 lepljen les]
$k_m =$	0,7	[0,7 pravokotni prerez / 1,0 ostali]
$k_y =$	0,51	
$k_z =$	0,90	
$k_{c,y} =$	1,012	
$k_{c,z} =$	0,864	
Stalna obtežba		
$\sigma_{c,0,d} =$	0,00	kN/cm ²
$\sigma_{m,y,d} =$	0,13	kN/cm ²
$\sigma_{m,z,d} =$	0,07	kN/cm ²
$f_{m,d} =$	1,34	kN/cm ²
$f_{c,0,d} =$	1,27	kN/cm ²
$\sigma_{d1} / f_{d1} =$	0,14	OK [6.23]
$\sigma_{d2} / f_{d1} =$	0,12	OK [6.24]
Spremenljiva obtežba		
$\sigma_{c,0,d} =$	0,16	kN/cm ²
$\sigma_{m,y,d} =$	0,26	kN/cm ²
$\sigma_{m,z,d} =$	0,58	kN/cm ²
$f_{m,d} =$	2,02	kN/cm ²
$f_{c,0,d} =$	1,91	kN/cm ²
$\sigma_{d1} / f_{d1} =$	0,41	OK [6.23]
$\sigma_{d2} / f_{d1} =$	0,48	OK [6.24]

OBJEKT	MOST CERŠAK	PZI PROJEKT
PROJEKTANT	Ponting inženirski biro d.o.o., Jernej Maher univ.dipl.inž.grad	ŠT.NAČRTA 537-2/2020
KRAJ IN DATUM	Maribor, januar 2021	STRAN 79

2.) $M_{y,max}$

Upogib - Priročnik 5-22			
Kontrola bočne zvrnitve		$\sigma_{m,0.5} =$ 12,5 kN/cm ²	
		$\lambda_{rel,m} =$ 0,47	
		$\lambda_{rel,m} \leq 0,75$	NI nevarnosti
Enosni upogib			
Stalna obtežba		$\sigma_{m,d} =$ 0,13 kN/cm ²	
		$f_{m,d} =$ 1,34 kN/cm ²	
		$\sigma_{m,d} < f_{m,d}$	OK
		$i =$ 0,10	
Stalna obtežba + spremenljiva		$\sigma_{m,d} =$ 1,17 kN/cm ²	
		$f_{m,d} =$ 2,02 kN/cm ²	
		$\sigma_{m,d} < f_{m,d}$	OK
		$i =$ 0,58	
Dvosni upogib			
		$k_{m1} =$ 0,7	[0,7 pravokotni/1,0 ostali]
Stalna obtežba		$\sigma_{y,d} / f_d =$ 0,14	OK
		$\sigma_{y,d} / f_d$	[6.11]
Spremenljiva obtežba		$\sigma_{y,d} / f_d =$ 0,12	OK
		$\sigma_{y,d} / f_d$	[6.12]
Spremenljiva obtežba		$\sigma_{y,d} / f_d =$ 0,61	OK
		$\sigma_{y,d} / f_d$	[6.11]
Spremenljiva obtežba		$\sigma_{y,d} / f_d =$ 0,45	OK
		$\sigma_{y,d} / f_d$	[6.12]
Nevarnost bočne zvrnitve			
$k_{rel} =$	1		
$k_{rel} = \begin{cases} 1 & \text{for } \lambda_{rel,m} \leq 0,75 \\ 1,56 - 0,75 \lambda_{rel,m} & \text{for } 0,75 < \lambda_{rel,m} \leq 1,4 \\ \frac{1}{\lambda_{rel,m}^2} & \text{for } 1,4 < \lambda_{rel,m} \end{cases}$			
Upogib			
Stalna obtežba		$\sigma_{m,d} =$ 0,13 kN/cm ²	
		$k_{rel} \cdot f_{m,d} =$ 1,34 kN/cm ²	
		$\sigma_{m,d} \leq k_{rel} \cdot f_{m,d}$	OK [6.33]
Stalna obtežba + pešci		$\sigma_{m,d} =$ 1,17 kN/cm ²	
		$k_{rel} \cdot f_{m,d} =$ 2,02 kN/cm ²	
		$\sigma_{m,d} \leq k_{rel} \cdot f_{m,d}$	OK [6.33]
Tisk + Upogib ($\lambda_{rel,z} > 0,3$ in $\lambda_{rel,m} > 0,75$)			
Stalna obtežba		$\sigma_d / f_d =$ 0,01	OK [6.35]
Spremenljiva obtežba		$\sigma_d / f_d =$ 0,35	OK [6.35]

$$\frac{\sigma_{m,y,d}}{f_{m,y,d}} + k_m \frac{\sigma_{m,z,d}}{f_{m,z,d}} \leq 1$$

$$k_m \frac{\sigma_{m,y,d}}{f_{m,y,d}} + \frac{\sigma_{m,z,d}}{f_{m,z,d}} \leq 1$$

$$\left(\frac{\sigma_{m,d}}{k_{rel} f_{m,d}} \right)^2 + \frac{\sigma_{c,d}}{k_{c,z} f_{c,d}} \leq 1$$

OBJEKT	MOST CERŠAK	PZI PROJEKT
PROJEKTANT	Ponting inženirski biro d.o.o., Jernej Maher univ.dipl.inž.grad	ŠT.NAČRTA 537-2/2020
KRAJ IN DATUM	Maribor, januar 2021	STRAN 80

5.5 KONTROLA STABILNOSTI VZDOLŽNIH NOSILCEV

5.5.1 Uklonsko zavarovanje tlačnega pasu nosilca

$$N_d = (1 - k_{crit}) \cdot \frac{M_d}{h}$$

$$k_{crit} = \begin{cases} 1 & \lambda_{rel,m} \leq 0,75 \\ 1,56 - 0,75\lambda_{rel,m} & 0,75 \leq \lambda_{rel,m} \leq 1,4 \\ \frac{1}{\lambda_{rel,m}^2} & 1,4 \leq \lambda_{rel,m} \end{cases}$$

$$\lambda_{rel,m} = \sqrt{\frac{f_{m,k}}{\sigma_{m,crit}}}$$

$$\sigma_{m,crit} = \frac{M_{y,crit}}{W_y} = \pi \cdot \frac{\sqrt{E_{0,05} \cdot I_z \cdot G_{0,05} \cdot I_{tor}}}{l_{eff} \cdot W_y} = 11,67 \text{ kN/cm}^2 \quad (5,83 - l_{eff} = 8,6m)$$

Poenostavljena enačba za pravokotne prereze:

$$\sigma_{m,crit} = \frac{0,78 \cdot b^2}{l_{eff} \cdot h} \cdot E_{0,05} = 11,28 \text{ kN/cm}^2 \quad (5,64 - l_{eff} = 8,6m)$$

$$\lambda_{rel,m,leff=4,3m} = \sqrt{\frac{f_{m,k}}{\sigma_{m,crit}}} = 0,50 < 0,75 \rightarrow \text{Ni nevarnosti}$$

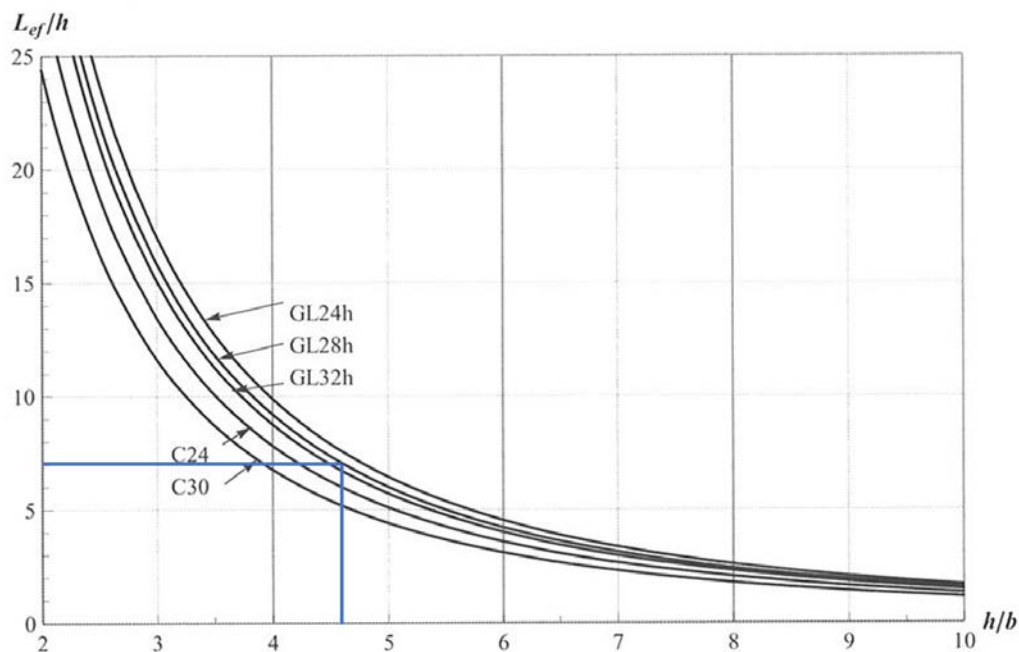
$$\lambda_{rel,m,leff=8,6m} = \sqrt{\frac{f_{m,k}}{\sigma_{m,crit}}} = 0,69 < 0,75 \rightarrow \text{Ni nevarnosti}$$

$$k_{crit} = 1$$

$$N_d = (1 - k_{crit}) \cdot \frac{M_d}{h} = 0$$

OBJEKT	MOST CERŠAK	PZI PROJEKT	
PROJEKTANT	Ponting inženirski biro d.o.o., Jernej Maher univ.dipl.inž.grad	ŠT.NAČRTA	537-2/2020
KRAJ IN DATUM	Maribor, januar 2021	STRAN	81

Mejno vrednosti za L_{ef}/h so bile določene s pomočjo spodnjega grafa.



Sl. 5-12. Mejne vrednosti vrednosti L_{ef}/h v odvisnosti od razmerja h/b za različne vrste lesa

$$L_{ef}/h = 7,1$$

$$L_{ef,dej(4,3m)}/h = 430/128,5 = 3,34 < 7,1 \rightarrow \text{OK}$$

V primeru, če upoštevamo le mesta, kjer se na prečnikih nahajajo vešalke:

$$L_{ef,dej(8,6m)}/h = 860/128,5 = 6,69 < 7,1 \rightarrow \text{OK}$$

Iz predhodnih dokazov sledi, da ni nevarnosti bočne zvrnitve zaradi prečnih jeklenih okvirjev. Je pa potrebno prečne okvirje preveriti na dodatne prečne sile, ki nastanejo zaradi preprečitve uklona.

OBJEKT	MOST CERŠAK	PZI PROJEKT
PROJEKTANT	Ponting inženirski biro d.o.o., Jernej Maher univ.dipl.inž.grad	ŠT.NAČRTA 537-2/2020
KRAJ IN DATUM	Maribor, januar 2021	STRAN 82

5.5.2 Uklonsko zavarovanje posameznih tlačnih elementov

$$N_d = 568 \text{ kN}$$

$$F_d = \frac{N_d}{k_{f,2}} = \frac{N_d}{80} = 7,1 \text{ kN}$$

Peresna togost:

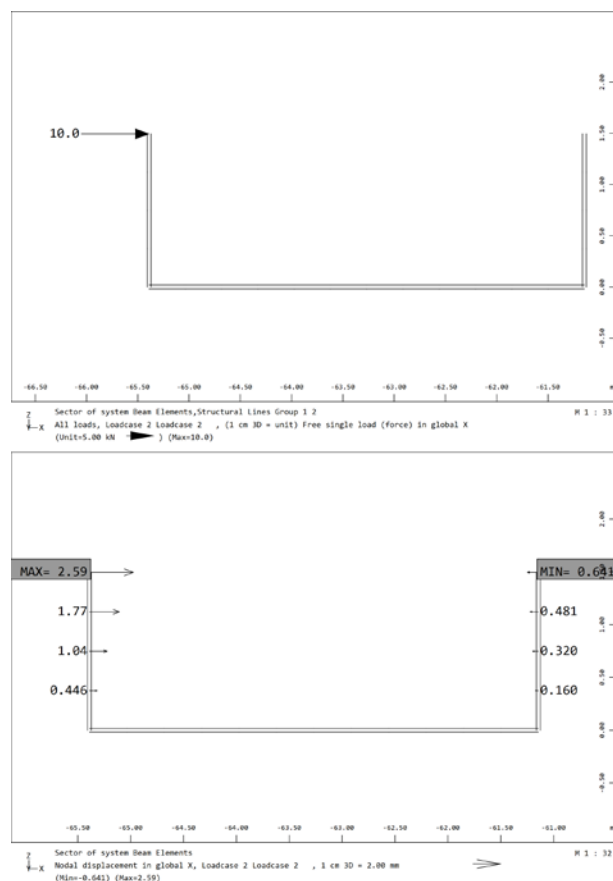
$$C = \frac{k_s \cdot N_d}{a} \quad 1 \leq k_s \leq 4$$

$$k_s = 2 \cdot \left(1 + \cos \frac{\pi}{m}\right) = 3,99 \rightarrow k_s = 4$$

$$a = \frac{L}{m} = \frac{86}{20} = 4,30 \text{ m}$$

$$C = \frac{4 \cdot 568}{4,30} = 529 \text{ kN/m}' = 5,29 \text{ kN/cm}'$$

Dejanska togost prečnega okvirja:

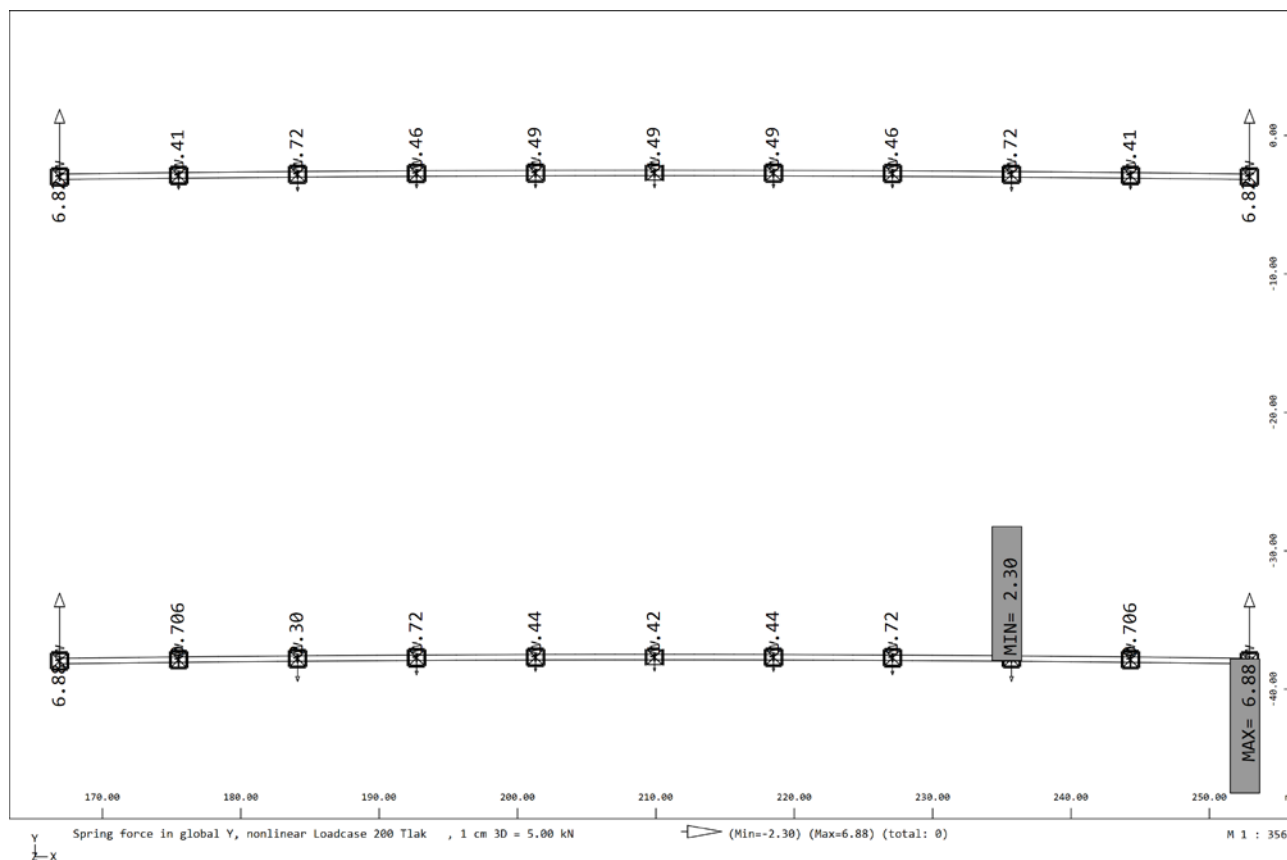


$$K_{dej} = \frac{F}{u_x} = \frac{10 \text{ kN}}{2,59 \cdot 10^{-3} \text{ m}} = 3861 \text{ kN/m}' = 3,861 \text{ kN/cm}'$$

OBJEKT	MOST CERŠAK	PZI PROJEKT
PROJEKTANT	Ponting inženirski biro d.o.o., Jernej Maher univ.dipl.inž.grad	ŠT.NAČRTA 537-2/2020
KRAJ IN DATUM	Maribor, januar 2021	STRAN 83

$$K_{dej} \geq C$$

Reakcije v vzmeteh, ki simulirajo togosti prečnih okvirjev:



S pomočjo izračuna s programom smo dobili maksimalno reakcijo 6,88 kN, medtem ko z enačbami 7,1 kN, kar se bo upoštevalo tudi v nadaljni analizi.

Kontrola kontaktnih napetosti

Jeklo:

$$\frac{F}{A} = \frac{7,1}{747_{h/4}} = 0,01 \text{ kN/cm}^2 < 35,5 \text{ kN/cm}^2$$

Les:

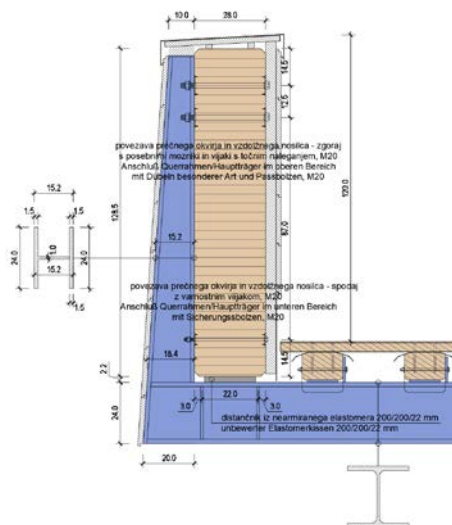
$$\frac{F}{A} = \frac{7,1}{747_{h/4}} = 0,01 \frac{\text{kN}}{\text{cm}^2} < f_{c,90,d} = 0,192 \text{ kN/cm}^2$$

OBJEKT	MOST CERŠAK	PZI PROJEKT	
PROJEKTANT	Ponting inženirski biro d.o.o., Jernej Maher univ.dipl.inž.grad	ŠT.NAČRTA	537-2/2020
KRAJ IN DATUM	Maribor, januar 2021	STRAN	84

5.5.3 Kontrola prevzema strižnih obremenitev

Določitev potrebnih moznikov za stikovanje vzdolžnih lesenih nosilcev in jeklenega prečka

Predvideno je stikovanje jeklenih HEB nosilcev na vzdolžne lesene nosilce preko moznikov.



V nadaljevanju je podan izračun nosilnosti za kovinske moznike tipa C11 v skladu z EN 1995-1-1;8.10. Podan je izračun za moznike tipa C11, in sicer $d_c=80\text{ mm}$ ($d_{vijak}=20\text{ mm}$) in $d_c=95\text{ mm}$ ($d_{vijak}=24\text{ mm}$).

$$\sum F_{v,Rk} = F_{v,Rk,moznik} + F_{v,Rk,vijak}$$

$$F_{v,Rk,moznik} = 18 \cdot k_1 \cdot k_2 \cdot k_3 \cdot d_c^{1,5}$$

$$F_{v,Rk,moznik,d_c=80,d_v=20\text{ mm}} = 18 \cdot 1 \cdot 0,875 \cdot 1,17 \cdot 80^{1,5} = 13,18 \text{ kN}$$

$$F_{v,Rk,moznik,d_c=95,d_v=24\text{ mm}} = 18 \cdot 1 \cdot 0,884 \cdot 1,17 \cdot 95^{1,5} = 17,23 \text{ kN}$$

Nosilnost vijakov:

$$M_{y,Rk} = 0,3 \cdot f_{u,k} \cdot d^{2,6} \text{ (upoštevamo vijale tipa 4.6 } f_{yb}=240\text{ N/mm}^2 \text{ in } f_{ub}=400\text{ N/mm}^2)$$

$$M_{y,Rk,d_c=80,d_v=20\text{ mm}} = 28,96 \text{ kNcm}$$

$$M_{y,Rk,d_c=95,d_v=24\text{ mm}} = 46,52 \text{ kNcm}$$

$$f_{h,k,d_c=80,d_v=20\text{ mm}} = 2,689 \text{ kN/cm}^2$$

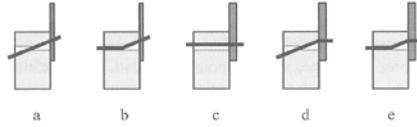
$$f_{h,k,d_c=95,d_v=24\text{ mm}} = 2,555 \text{ kN/cm}^2$$

OBJEKT	MOST CERŠAK	PZI PROJEKT
PROJEKTANT	Ponting inženirski biro d.o.o., Jernej Maher univ.dipl.inž.grad	ŠT.NAČRTA 537-2/2020
KRAJ IN DATUM	Maribor, januar 2021	STRAN 85

Moznik $d_c=80\text{mm}$ ($d_{vijak}=20\text{ mm}$)

Bočna nosilnost veznega sredstva v zvezi les-jeklo

A) ENA priključna ravnina



Sl. 5-40. Shematski prikaz porušitvenih primerov za enostržno zvezo les-jeklo

$f_{h,k} =$	2,689
$f_{h,1,k} =$	2,689
$t_1 =$	28
$d =$	2
$F_{ax,Rk} =$	0
$M_{y,Rk} =$	28,964

A1) Tanka pločevina ($t \leq 0,5 \cdot d$); zasuk veznega sredstva

Enačba: $F_{v,Rk} = 0,4 \cdot f_{h,k} \cdot t_1 \cdot d$

$F_{v,Rk} = 60,234$

A2) Tanka pločevina ($t \leq 0,5 \cdot d$); upogib veznega sredstva v lesenem elementu

Enačba: $F_{v,Rk} = 1,15 \cdot \sqrt{2 M_{y,Rk} \cdot f_{h,k} \cdot d} + \frac{F_{ax,Rk}}{4}$

$F_{v,Rk} = 20,298$

A3) Debela pločevina ($t \geq d$); upogib veznega sredstva na spoju les-jeklo

Enačba: $F_{v,Rk} = f_{h,k} \cdot t_1 \cdot d \cdot \left[\sqrt{2 + \frac{4 M_{y,Rk}}{f_{h,k} \cdot d \cdot t_1^2}} - 1 \right] + \frac{F_{ax,Rk}}{4}$

$F_{v,Rk} = 63,832$

A4) Debela pločevina ($t \geq d$); upogib veznega sredstva v lesenem elementu in na spoju les-jeklo

Enačba: $F_{v,Rk} = 2,3 \cdot \sqrt{M_{y,Rk} \cdot f_{h,k} \cdot d} + \frac{F_{ax,Rk}}{4}$

$F_{v,Rk} = 28,706$

A5) Debela pločevina ($t \geq d$); porušitev lesa okoli veznega sredstva

Enačba: $F_{v,Rk} = f_{h,k} \cdot t_1 \cdot d$

$F_{v,Rk} = 150,584$

B2) Pločevina na zunanjih straneh lesenega elementa

$f_{h,1,k} =$	2,689
$f_{h,2,k} =$	2,689
$t_2 =$	28
$d =$	2
$F_{ax,Rk} =$	0
$M_{y,Rk} =$	28,964

B2.1) Bočna porušitev lesa okoli veznega sredstva v lesenem elementu

Enačba: $F_{v,Rk} = 0,5 \cdot f_{h,2,k} \cdot t_2 \cdot d$

$F_{v,Rk} = 75,292$

B2.2) Tanka pločevina ($t \leq 0,5 \cdot d$); upogib veznega sredstva v lesenem elementu

Enačba: $F_{v,Rk} = 1,15 \cdot \sqrt{2 M_{y,Rk} \cdot f_{h,2,k} \cdot d} + \frac{F_{ax,Rk}}{4}$

$F_{v,Rk} = 20,298$

B2.3) Debela pločevina ; upogib veznega sredstva na spoju les-pločevina in v lesenem elementu

Enačba: $F_{v,Rk} = 2,3 \cdot \sqrt{M_{y,Rk} \cdot f_{h,2,k} \cdot d} + \frac{F_{ax,Rk}}{4}$

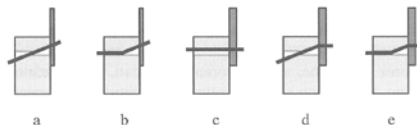
$F_{v,Rk} = 28,706$

OBJEKT	MOST CERŠAK	PZI PROJEKT
PROJEKTANT	Ponting inženirski biro d.o.o., Jernej Maher univ.dipl.inž.grad	ŠT.NAČRTA 537-2/2020
KRAJ IN DATUM	Maribor, januar 2021	STRAN 86

Moznik $d_c=95\text{mm}$ ($d_{vijak}=24\text{ mm}$)

Bočna nosilnost veznega sredstva v zvezi les-jeklo

A) ENA priključna ravnina



Sl. 5-40. Shematski prikaz porušitvenih primerov za enostržno zvezo les-jeklo

$f_{h,k} =$	2,555
$f_{h,1,k} =$	2,555
$t_1 =$	28
$d =$	2,4
$F_{ax,Rk} =$	0
$M_{y,Rk} =$	46,529

A1) Tanka pločevina ($t \leq 0,5 \cdot d$); zasuk veznega sredstva

Enačba: $F_{v,Rk} = 0,4 \cdot f_{h,k} \cdot t_1 \cdot d$

$F_{v,Rk} = 68,678$

A2) Tanka pločevina ($t \leq 0,5 \cdot d$); upogib veznega sredstva v lesenem elementu

Enačba: $F_{v,Rk} = 1,15 \cdot \sqrt{2 M_{y,Rk} \cdot f_{h,k} \cdot d} + \frac{F_{ax,Rk}}{4}$

$F_{v,Rk} = 27,471$

A3) Debela pločevina ($t \geq d$); upogib veznega sredstva na spoju les-jeklo

Enačba: $F_{v,Rk} = f_{h,k} \cdot t_1 \cdot d \cdot \left[\sqrt{2 + \frac{4 M_{y,Rk}}{f_{h,k} \cdot d \cdot t_1^2}} - 1 \right] + \frac{F_{ax,Rk}}{4}$

$F_{v,Rk} = 73,458$

A4) Debela pločevina ($t \geq d$); upogib veznega sredstva v lesenem elementu in na spoju les-jeklo

Enačba: $F_{v,Rk} = 2,3 \cdot \sqrt{M_{y,Rk} \cdot f_{h,k} \cdot d} + \frac{F_{ax,Rk}}{4}$

$F_{v,Rk} = 38,850$

A5) Debela pločevina ($t \geq d$); porušitev lesa okoli veznega sredstva

Enačba: $F_{v,Rk} = f_{h,k} \cdot t_1 \cdot d$

$F_{v,Rk} = 171,696$

B2) Pločevina na zunanjih straneh lesenega elementa

$f_{h,1,k} =$	2,555
$f_{h,2,k} =$	2,555
$t_2 =$	28
$d =$	2,4
$F_{ax,Rk} =$	0
$M_{y,Rk} =$	46,529

B2.1) Bočna porušitev lesa okoli veznega sredstva v lesenem elementu

Enačba: $F_{v,Rk} = 0,5 \cdot f_{h,2,k} \cdot t_2 \cdot d$

$F_{v,Rk} = 85,848$

B2.2) Tanka pločevina ($t \leq 0,5 \cdot d$); upogib veznega sredstva v lesenem elementu

Enačba: $F_{v,Rk} = 1,15 \cdot \sqrt{2 M_{y,Rk} \cdot f_{h,2,k} \cdot d} + \frac{F_{ax,Rk}}{4}$

$F_{v,Rk} = 27,471$

B2.3) Debela pločevina ; upogib veznega sredstva na spoju les-pločevina in v lesenem elementu

Enačba: $F_{v,Rk} = 2,3 \cdot \sqrt{M_{y,Rk} \cdot f_{h,2,k} \cdot d} + \frac{F_{ax,Rk}}{4}$

$F_{v,Rk} = 38,850$

OBJEKT	MOST CERŠAK	PZI PROJEKT
PROJEKTANT	Ponting inženirski biro d.o.o., Jernej Maher univ.dipl.inž.grad	ŠT.NAČRTA 537-2/2020
KRAJ IN DATUM	Maribor, januar 2021	STRAN 87

Ker je pločevina debeline 15mm je potrebno linearna interpolacija rezultatov za primere tankih in debelih pločevin:

Tip moznika	Nosilnosti vijakov [kN]			
	Tanka pločevina	Debela pločevina	t=15mm	t=20mm
$d_c=80$ in $d_{vijak}=20$ mm	20,29	28,70	24,49	28,70
$d_c=95$ in $d_{vijak}=24$ mm	27,47	38,85	30,31	35,06

Skupna nosilnost moznikov tipa C11:

Tip moznika	$t_{pločevina}$ [mm]	d_c [mm]	d [mm]	$F_{v,Rk,mozniak}$ [kN]	$F_{v,Rk,vijak}$ [kN]
80	15	80	20	13,18	24,49
95	15	95	24	17,23	30,31

Tip moznika	d [mm]	Eno-strižna ravnina (vmesni prečniki) $F_{v,Rk,skupaj}$ [kN]	Dvo-strižna ravnina (ležišče/spajanje) $F_{v,Rk,skupaj}$ [kN]
$d_c = 80$	20	37,67	50,85
$d_c = 95$	24	47,54	64,77

Upoštevamo: Moznik $d_c=80$ mm, $d_{vijak}=20$ mm in debelino pločevine $t=15$ mm.

Predvideni so mozniki tipa:

- Zgoraj : 4 mozniki tipa C11 $d_c=80$ mm, $d_{vijak}=20$ mm
- Spodaj : 2 moznika tipa C11 $d_c=80$ mm, $d_{vijak}=20$ mm

$$F_{v,Rk} = 37,67 \text{ kN}$$

$$F_{v,Rd} = k_{mod} \cdot \frac{F_{v,Rk}}{\gamma_M} = 27,12 \text{ kN}$$

OBJEKT	MOST CERŠAK	PZI PROJEKT
PROJEKTANT	Ponting inženirski biro d.o.o., Jernej Maher univ.dipl.inž.grad	ŠT.NAČRTA 537-2/2020
KRAJ IN DATUM	Maribor, januar 2021	STRAN 88

Minimalne razdalje moznikov tipa C11 znašajo:

Položaj moznika		$d_c=80\text{mm}$, $d_{vijak}=20\text{ mm}$
a_1	vzporedno z vlakni	16,0 cm
a_2	pravokotno na vlakna	9,6 cm
$a_{3,t}$	obremenjen rob	16,0 cm
$a_{3,c}$	neobremenjen rob	16,0 cm
$a_{4,t}$	obremenjen rob	6,4 cm
$a_{4,c}$	neobremenjen rob	4,8 cm

V skladu s točko 8.9 (12) v SIST EN 1995-1-1 je potrebno upoštevati efektivno število moznikov v ravnini:

$$n_{ef} = 2 + \left(1 - \frac{n}{20}\right)(n - 2) = 2$$

Območje brez vešalk:

Nateg = 7,1 kN

$$N_{Ed} = 7,1 \leq N_{pl,Rd} = \frac{A \cdot f_y}{\gamma_{M0}} = 111 \text{ kN}$$

Strig območje brez vešalk = $1,35 \cdot (7,71 - 2,95) \cdot 4,3/2 + 1,35 \cdot 3,5 \cdot 3,04 \cdot 4,3/2 = 44,7 \text{ kN}$

$$\sum F_{v,Rd} = 6 \cdot 27,12 = 162,7 \text{ kN} > F_{v,Ed} = 44,7 \text{ kN}$$

Območje brez vešalk:

Na območju vešalk, je maksimalna sila enaka vertikalni komponenti sile v vešalki po MSN, ki znaša $F_{Ed}=141,0 \text{ kN}$ (poglavje 6.5.2). Pri prevzemu sile sodelujeta skupaj mozniki ter dopustne kontaktne napetosti na območju lesenega nosilca. Kot je razvidno celotno obremenitev prevzamejo mozniki.

Delež moznikov:

$$\sum F_{v,Rd} = 6 \cdot 27,12 = 162,7 \text{ kN} > F_{v,Ed} = 141,0 \text{ kN}$$

Kontrola tlačnih napetosti pravokotno na vlakna:

$$\sigma_{c,90,d} = \frac{F_{c,90,d}}{A_{ef}} \leq k_{c,90} \cdot f_{c,90,d}$$

$k_{c,90} = 1,5 \rightarrow$ upoštevamo priporočeno vrednost za lepljen les 1,5

OBJEKT	MOST CERŠAK	PZI PROJEKT	
PROJEKTANT	Ponting inženirski biro d.o.o., Jernej Maher univ.dipl.inž.grad	ŠT.NAČRTA	537-2/2020
KRAJ IN DATUM	Maribor, januar 2021	STRAN	89

Maksimalne dopustne kontaktne napetosti (v primeru če se celotna sila prevzame preko kontaktnih napetosti):

Kontrola kontaktnih napetosti		
Tlačne napetosti pravokotno na vlakna - Priročnik 5-37		
$A_{ef} =$	400,0	cm ²
$k_{c,90} =$	1,5	
$\sigma_{c,90,d} = \frac{F_{c,90,d}}{A_{ef}} \leq k_{c,90} \cdot f_{c,90,d}$		
Stalna obtežba		
$F_{c,90,d} =$	53,4	
$f_{c,90,d} =$	0,14	kN/cm ²
$\sigma_{c,90,d} =$	0,13	kN/cm ²
$\sigma_{c,90,d} \leq k_{c,90} \cdot f_{c,90,d}$	NOK	
$i =$	0,62	
Spremenljiva obtežba		
$F_{c,90,d} =$	121	
$f_{c,90,d} =$	0,22	kN/cm ²
$\sigma_{c,90,d} =$	0,30	kN/cm ²
$\sigma_{c,90,d} \leq k_{c,90} \cdot f_{c,90,d}$	OK	
$i =$	0,93	

OBJEKT	MOST CERŠAK	PZI PROJEKT
PROJEKTANT	Ponting inženirski biro d.o.o., Jernej Maher univ.dipl.inž.grad	ŠT.NAČRTA 537-2/2020
KRAJ IN DATUM	Maribor, januar 2021	STRAN 90

Kontrola pločevine na bočni pritisk in strižne nosilnosti vijaka:

Upošteva se maksimalna sila, ki pade na posamezen mozni, in sicer $F_{Ed}=141/6=23,5$ kN.

Strižna nosilnost vijaka:

Vijak s karakteristikami $f_{u,k}=400\text{N/mm}^2$ ima minimalno strižno nosilnost $47,0\text{ kN}>23,5\text{kN}$.

Bočni pritisk pločevine:

$$F_{b,Rd} = \frac{k_1 \cdot \alpha_b \cdot f_u \cdot d \cdot t}{\gamma_{M2}}$$

$$k_1 = 2,5$$

$$\alpha_b = 0,75$$

$$f_u = 35,5\text{kN/cm}^2$$

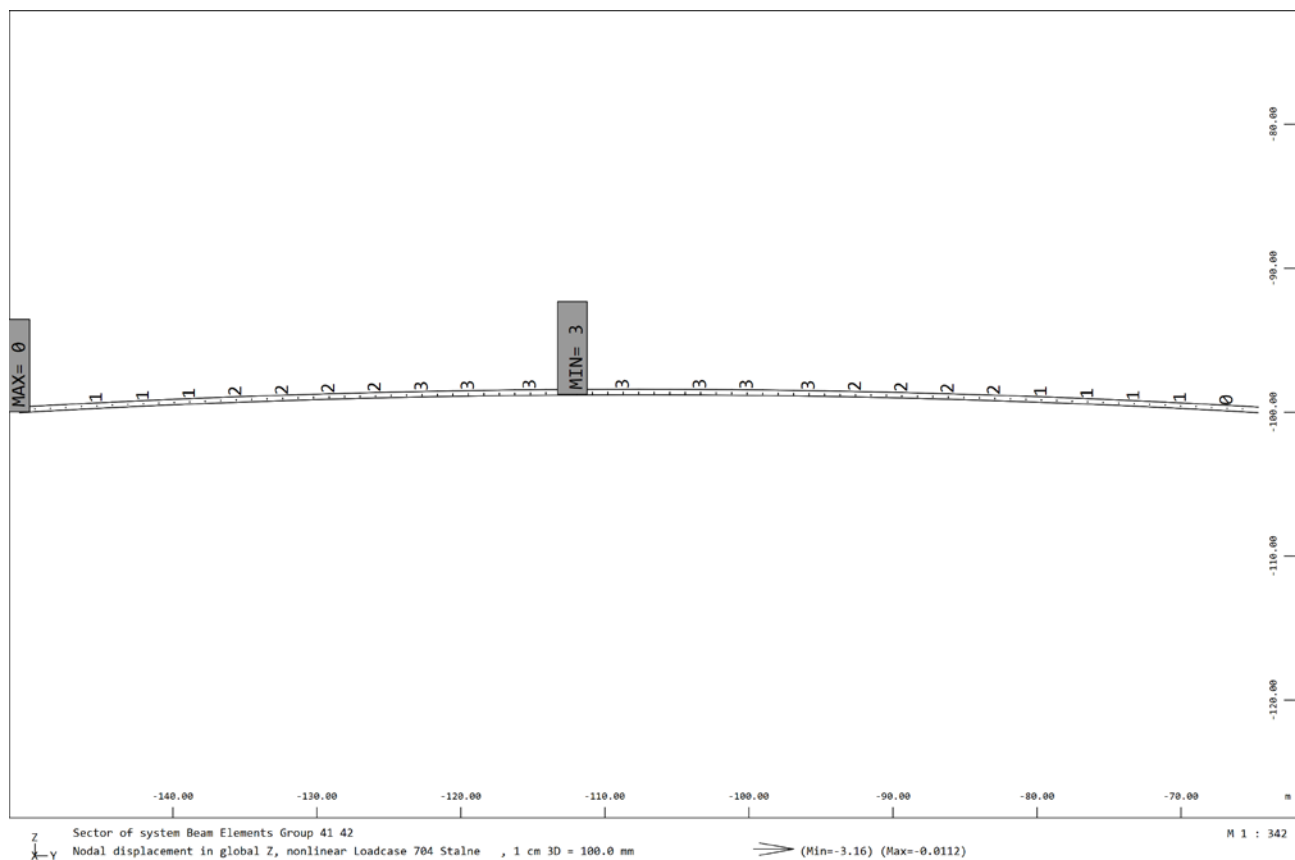
$$d = 2,0\text{cm}$$

$$t = 1,5\text{cm}$$

$$F_{b,Rd} = \frac{k_1 \cdot \alpha_b \cdot f_u \cdot d \cdot t}{\gamma_{M2}} = 159\text{ kN} > 23,5\text{ kN}$$

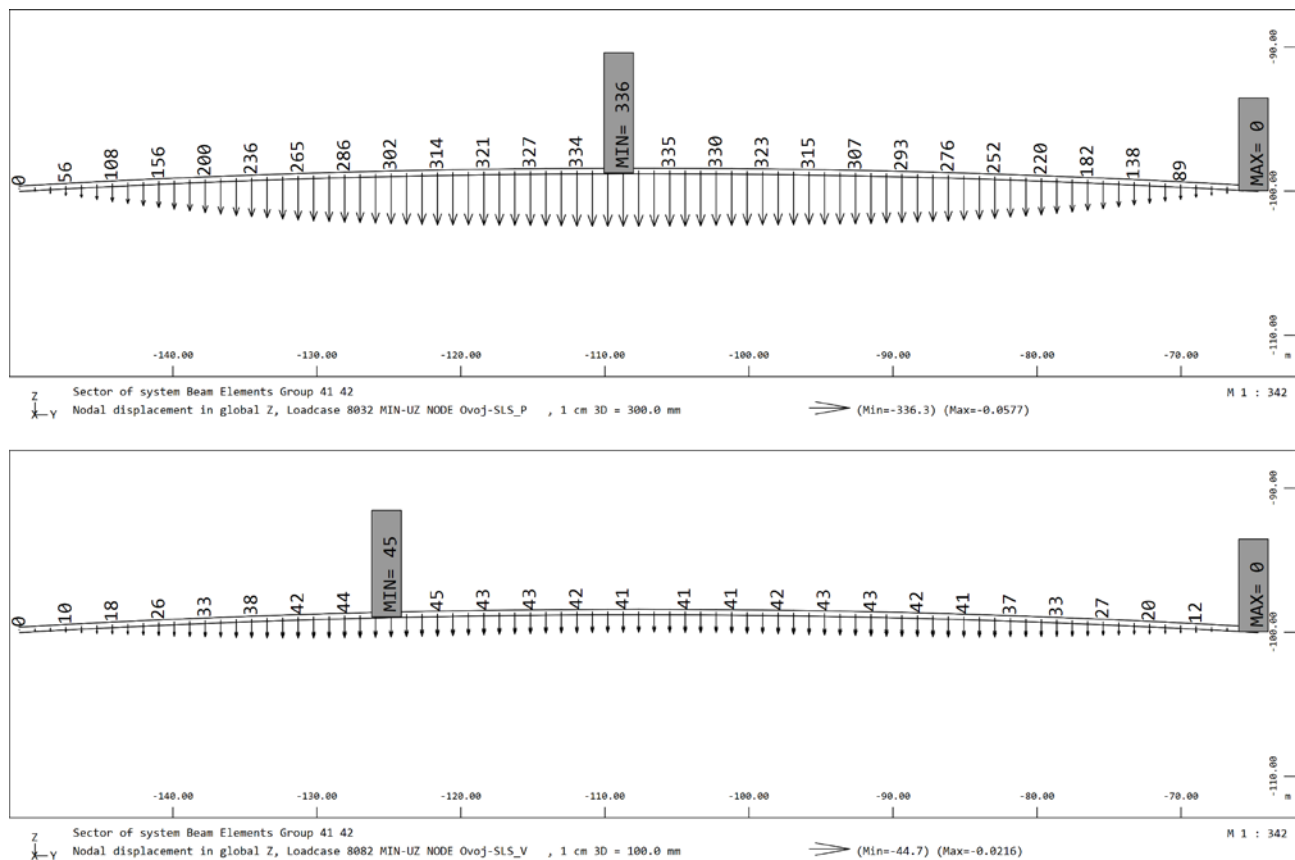
OBJEKT	MOST CERŠAK	PZI PROJEKT	
PROJEKTANT	Ponting inženirski biro d.o.o., Jernej Maher univ.dipl.inž.grad	ŠT.NAČRTA	537-2/2020
KRAJ IN DATUM	Maribor, januar 2021	STRAN	91

5.6 KONTROLA POMIKOV PO MSU

Stalne obremenitve:

$$u_{\max} \approx 3 (L/29000)$$

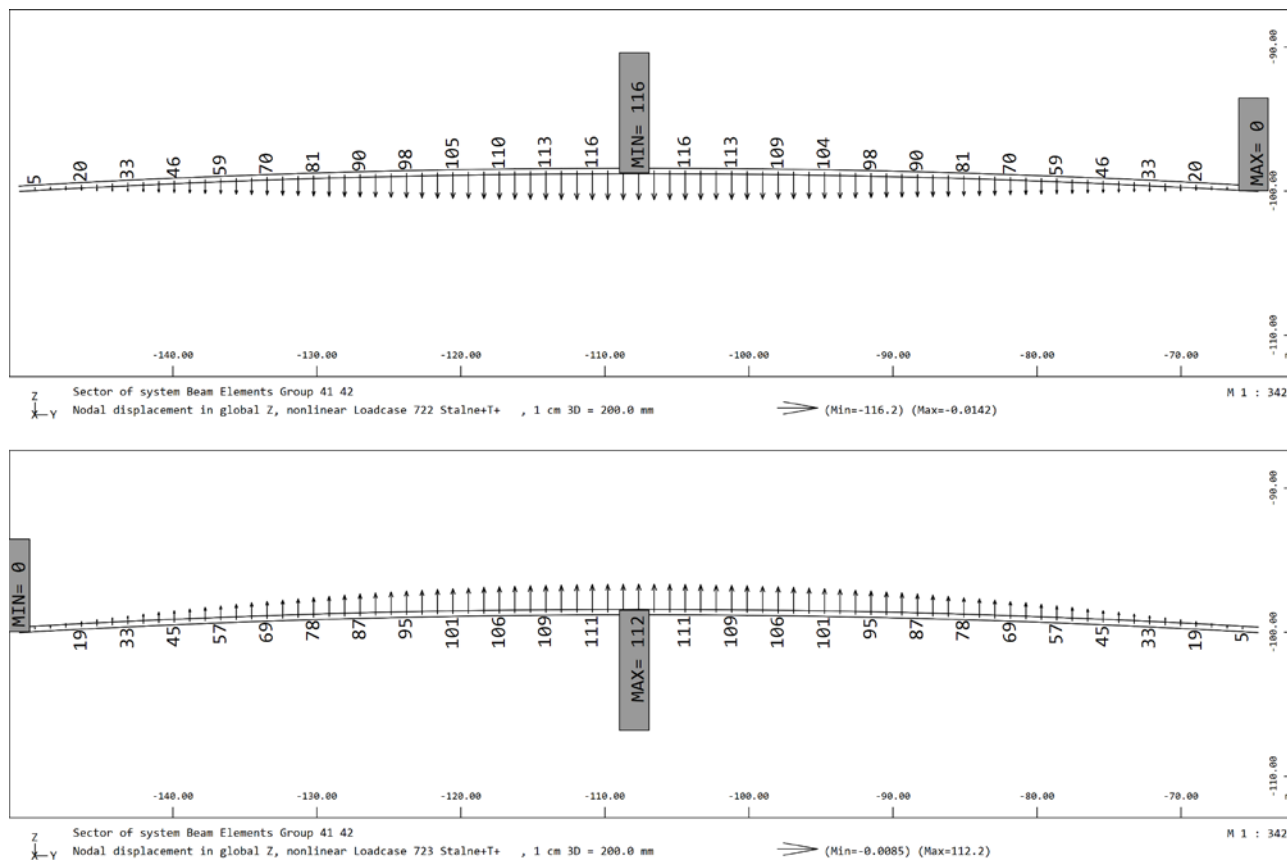
OBJEKT	MOST CERŠAK	PZI PROJEKT	
PROJEKTANT	Ponting inženirski biro d.o.o., Jernej Maher univ.dipl.inž.grad	ŠT.NAČRTA	537-2/2020
KRAJ IN DATUM	Maribor, januar 2021	STRAN	92

Prometna obtežba (pešci/servisno vozilo):

$u_{\max} = 33,6 \text{ cm} \approx L/256 < L/200 = 43,0 \text{ cm}$ (dopustna deformacija zaradi pešcev)

ψ_2 za prometno obtežbo znaša 0, zaradi česar ni potrebno upoštevati deformacije zaradi prometa pri lezenju.

OBJEKT	MOST CERŠAK	PZI PROJEKT	
PROJEKTANT	Ponting inženirski biro d.o.o., Jernej Maher univ.dipl.inž.grad	ŠT.NAČRTA	537-2/2020
KRAJ IN DATUM	Maribor, januar 2021	STRAN	93

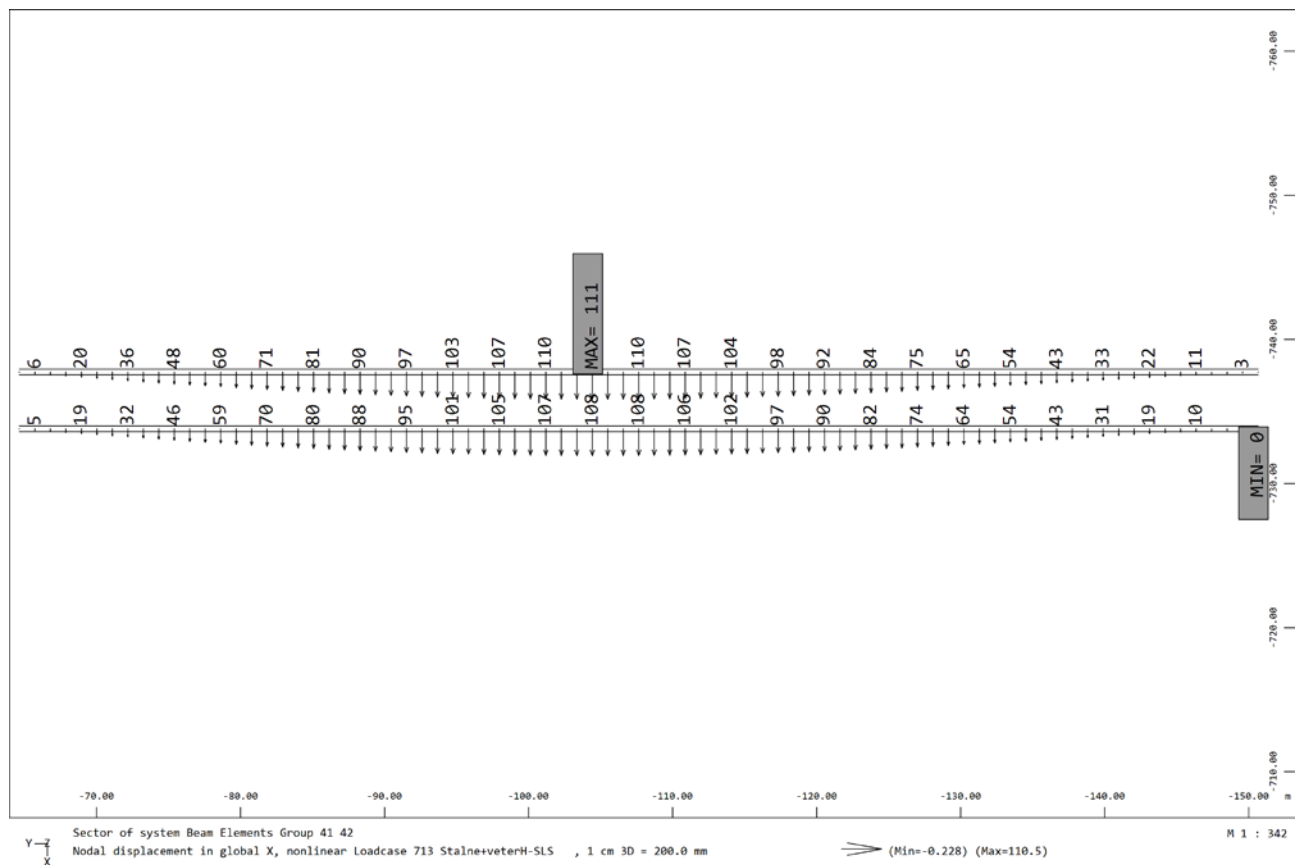
Temperaturna obtežba:

$$u_{\max} = 11,6 \text{ cm} \approx L/740$$

ψ_2 za temperaturno obtežbo znaša 0.5.

$$U_{\text{fin}} = 3 \cdot (1 + 0,8) + 11,6 \cdot (1 + 0,5 \cdot 0,8) = 21,64 \text{ cm} \approx L/400$$

OBJEKT	MOST CERŠAK	PZI PROJEKT	
PROJEKTANT	Ponting inženirski biro d.o.o., Jernej Maher univ.dipl.inž.grad	ŠT.NAČRTA	537-2/2020
KRAJ IN DATUM	Maribor, januar 2021	STRAN	94

Kontrola prečnih deformacij (obtežba vetra):

$$u_{\max} = 11,1 \text{ cm} \approx L/775 < L/500 = 17,2 \text{ cm} \text{ (zahteva v EN 1995-1-1, točka 9.2.5.3 (2))}$$

OBJEKT	MOST CERŠAK	PZI PROJEKT	
PROJEKTANT	Ponting inženirski biro d.o.o., Jernej Maher univ.dipl.inž.grad	ŠT.NAČRTA	537-2/2020
KRAJ IN DATUM	Maribor, januar 2021	STRAN	95

5.8 KONTROLA NOSILCEV V FAZI GRADNJE**5.8.1 Splošno**

Lepljeni leseni nosilci se izdelajo v delavnici oziroma lesarskem obratu pod kontroliranimi pogoji v segmentih primernih za transport na gradbišče. Dolžine posameznih segmentov določi izvajalec glede na razpoložljivo tehnologijo, način montaže in možnosti transporta. V delavnici se izdelajo tudi vsi jekleni vezni in kabelski elementi.

Na gradbišču, na avstrijski strani, se uredi montažna delavnica za zagotavljanje čim bolj kontroliranih pogojev potrebnih za sestavljanje vzdolžnih nosilcev. Vzdolžni nosilci se sestavljajo (jeklene vezi in/ali lepljenje) in prečno povežejo z jeklenimi okvirji ter prečniki.

Montaža prekladne konstrukcije se izvede po možnostih in tehnološkem elaboratu izvajalca; npr. s pomočjo avtodvigal in začasnih podpor v rečni strugi, možna je tudi montaža po tehnologiji postopnega narivanja; s pomočjo vitla/hidravlike se prekladna konstrukcija vleče/potiska preko reke Mure proti slovenski strani. Postavitev začasnih podpor in montaža prekladne konstrukcije se izvaja izven obdobja pričakovanih visokih vodostajev.

Ko je celotna nosilna konstrukcija v končni poziciji na začasnih podporah, se zmontirajo nosilne vrvi, vešalke ter ležišča, ustrezno se donapne nosilna vrv, tako da konstrukcija zasede predvideno geometrijo s predloženim nadvišanjem in se dvigne z začasnih podpor, ki se nato v celoti odstranijo.

5.8.2 Obtežbe

Obremenitve v spodnji tabeli so podane na posamezen nosilec na m'.

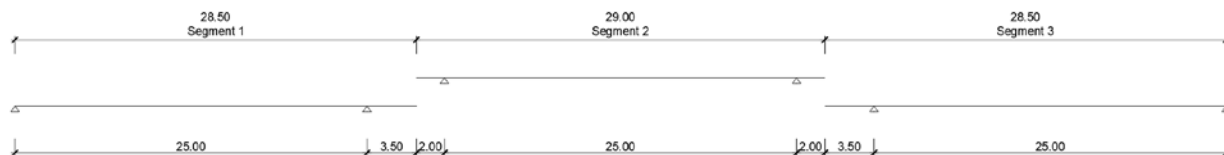
Leseni nosilec	= 1,48 kN/m'
Jekleni prečnik (HEB 240)	= 0,41 kN/m'
Jekleni vertikalni nosilci (HEB 200-100)	= 0,56 kN/m'
Zunanji opaz	= 0,15 kN/m'
Podkonstrukcija	= 0,16 kN/m'
Zavetrovanje in dodatni jekleni elementi konstrukcije	= 0,22 kN/m'
	$\Sigma = 2,98 \text{ kN/m'}$
Upoštevamo	= 3,0 kN/m'

OBJEKT	MOST CERŠAK	PZI PROJEKT
PROJEKTANT	Ponting inženirski biro d.o.o., Jernej Maher univ.dipl.inž.grad	ŠT.NAČRTA 537-2/2020
KRAJ IN DATUM	Maribor, januar 2021	STRAN 96

5.8.3 Analiza in obremenitve

V sklopu analize sta bili analizirani dve merodajni fazi v sklopu izvedbe objekta, in sicer:

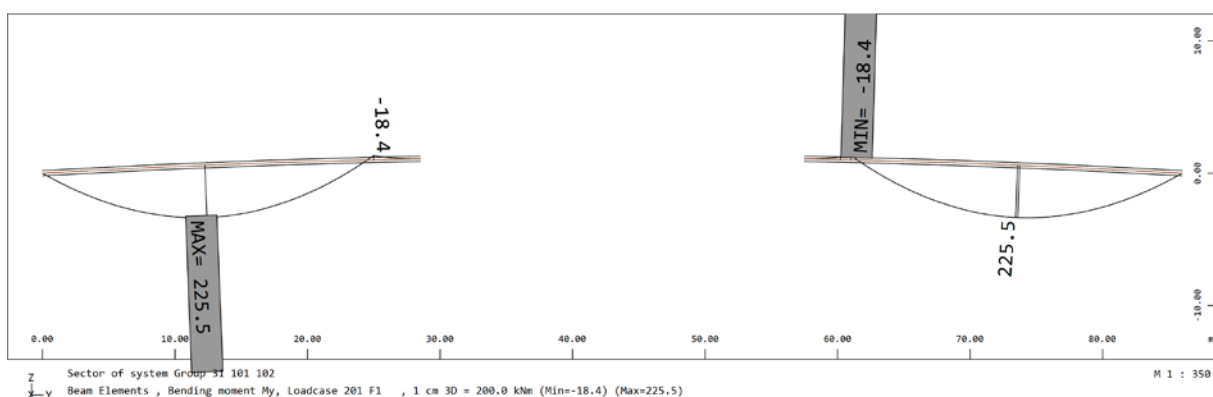
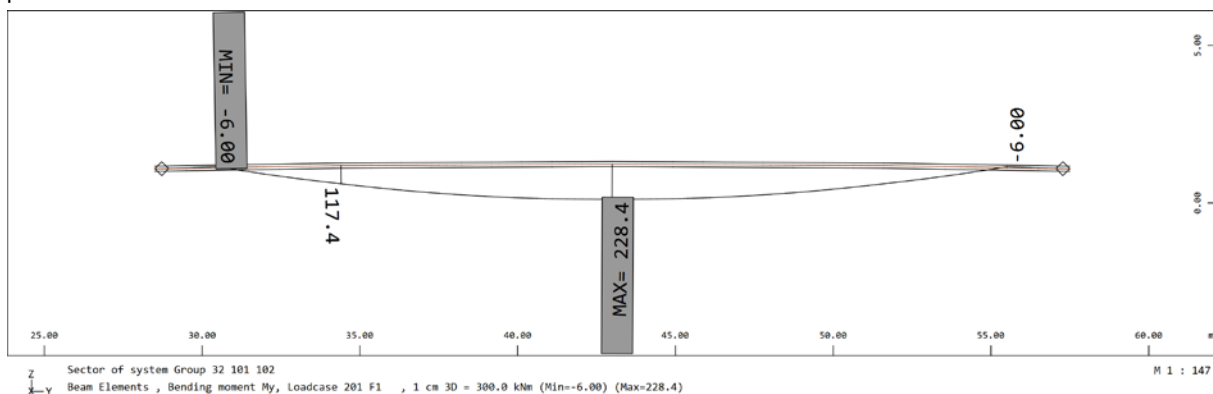
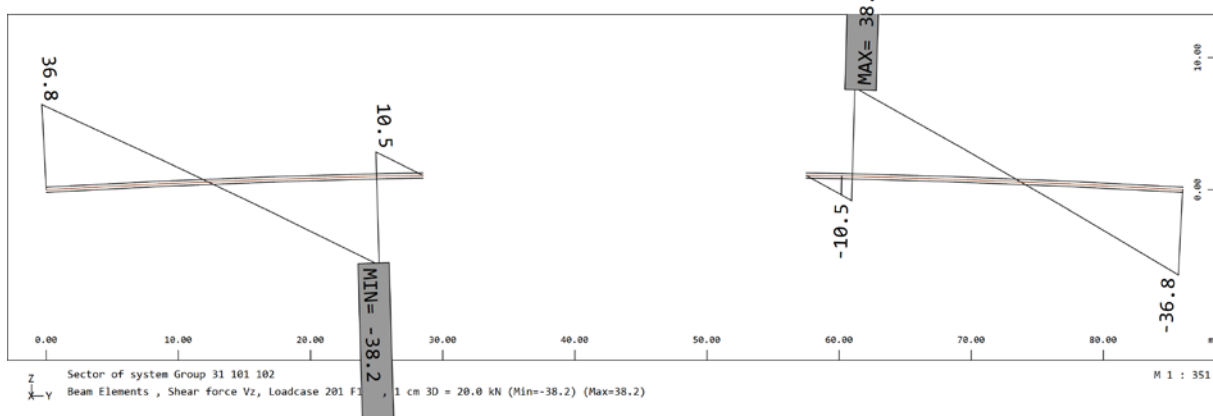
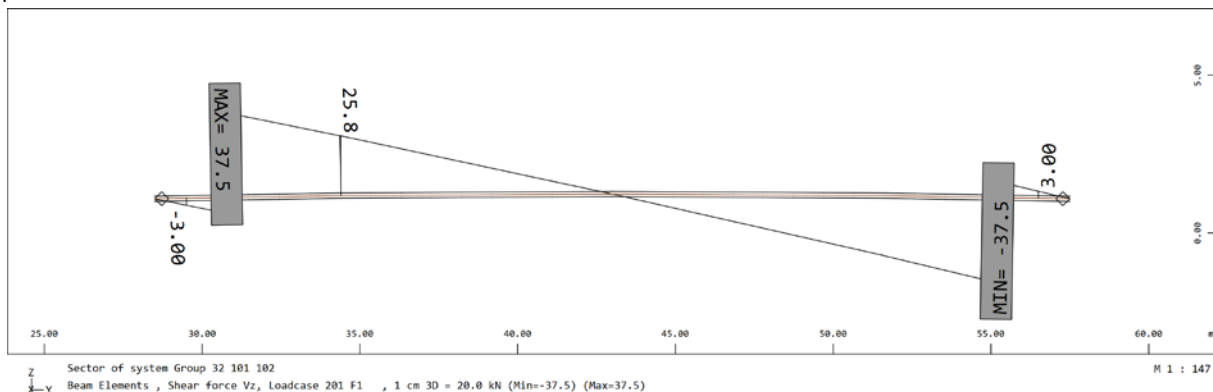
Faza 1: Montaža lepljenih lesenih nosilcev na začasne podpore in dvig vmesnega segmenta



Faza 2: Vzdolžna medsebojna povezava lepljenih lesenih nosilcev

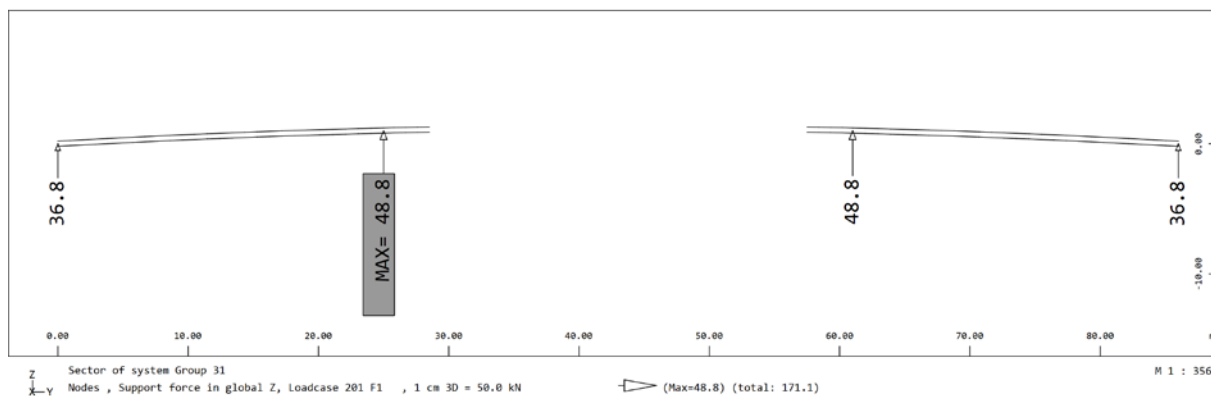
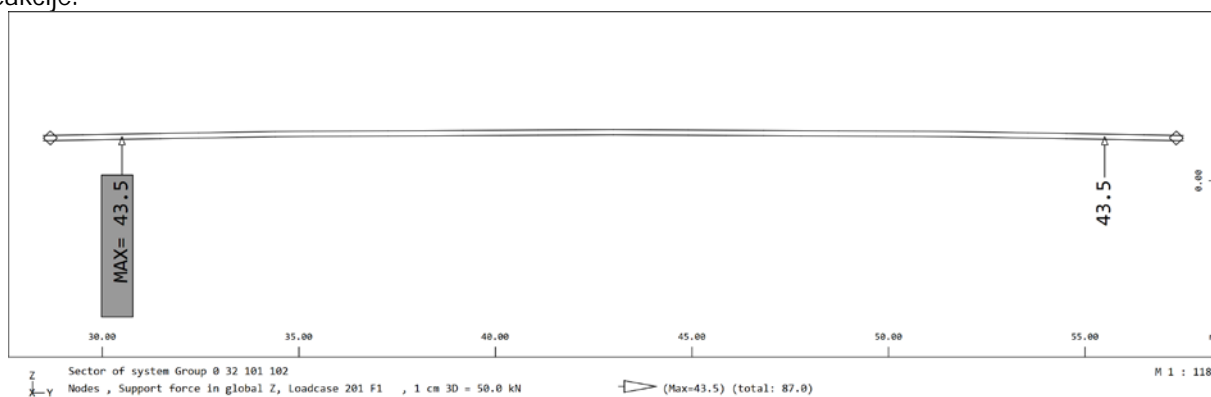


OBJEKT	MOST CERŠAK	PZI PROJEKT	
PROJEKTANT	Ponting inženirski biro d.o.o., Jernej Maher univ.dipl.inž.grad	ŠT.NAČRTA	537-2/2020
KRAJ IN DATUM	Maribor, januar 2021	STRAN	97

Obremenitve:Faza 1: M_y : V_z :

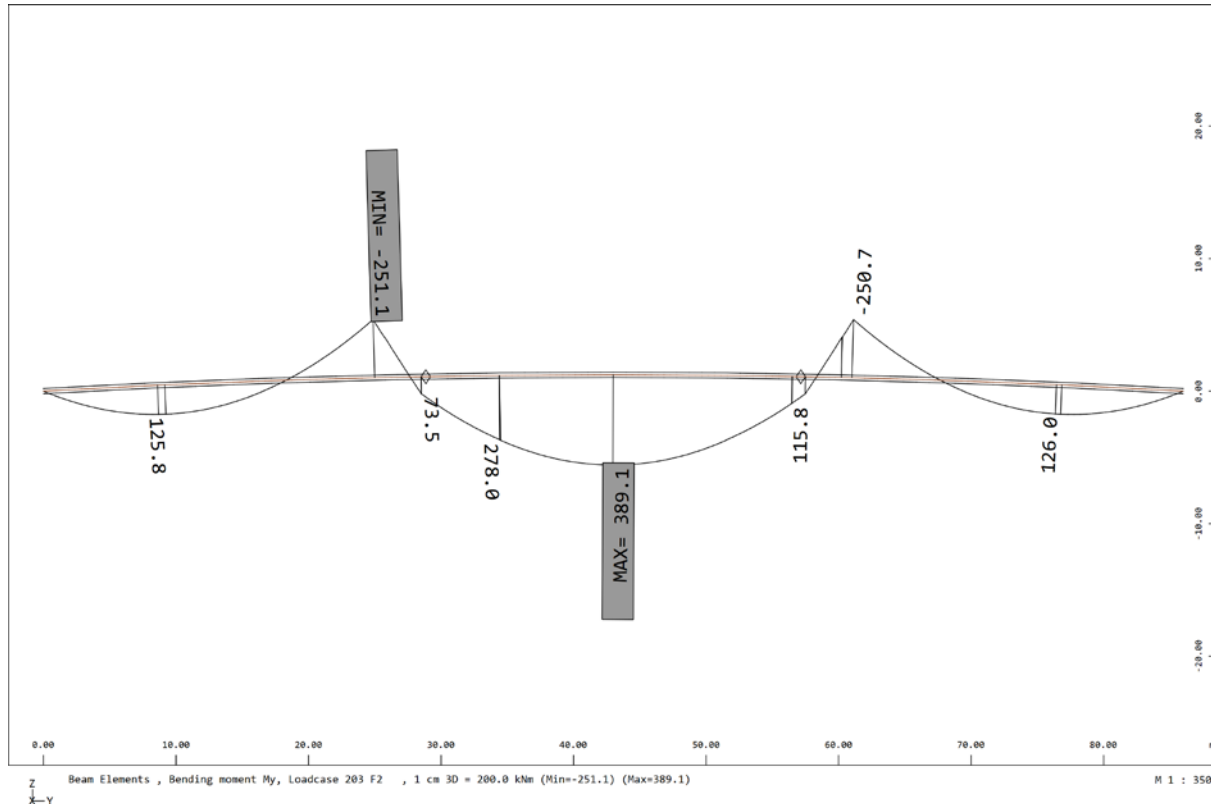
OBJEKT	MOST CERŠAK	PZI PROJEKT	
PROJEKTANT	Ponting inženirski biro d.o.o., Jernej Maher univ.dipl.inž.grad	ŠT.NAČRTA	537-2/2020
KRAJ IN DATUM	Maribor, januar 2021	STRAN	98

Reakcije:

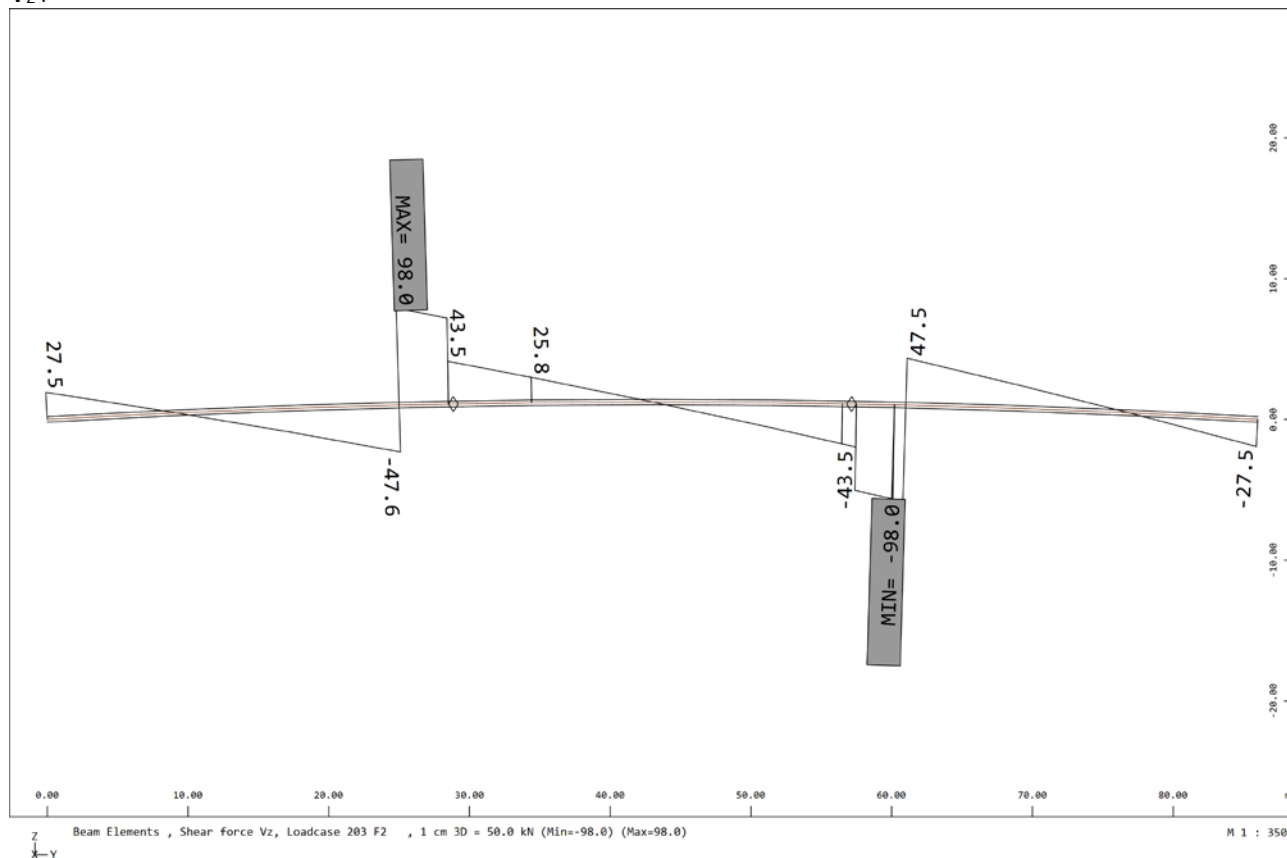


Faza 2:

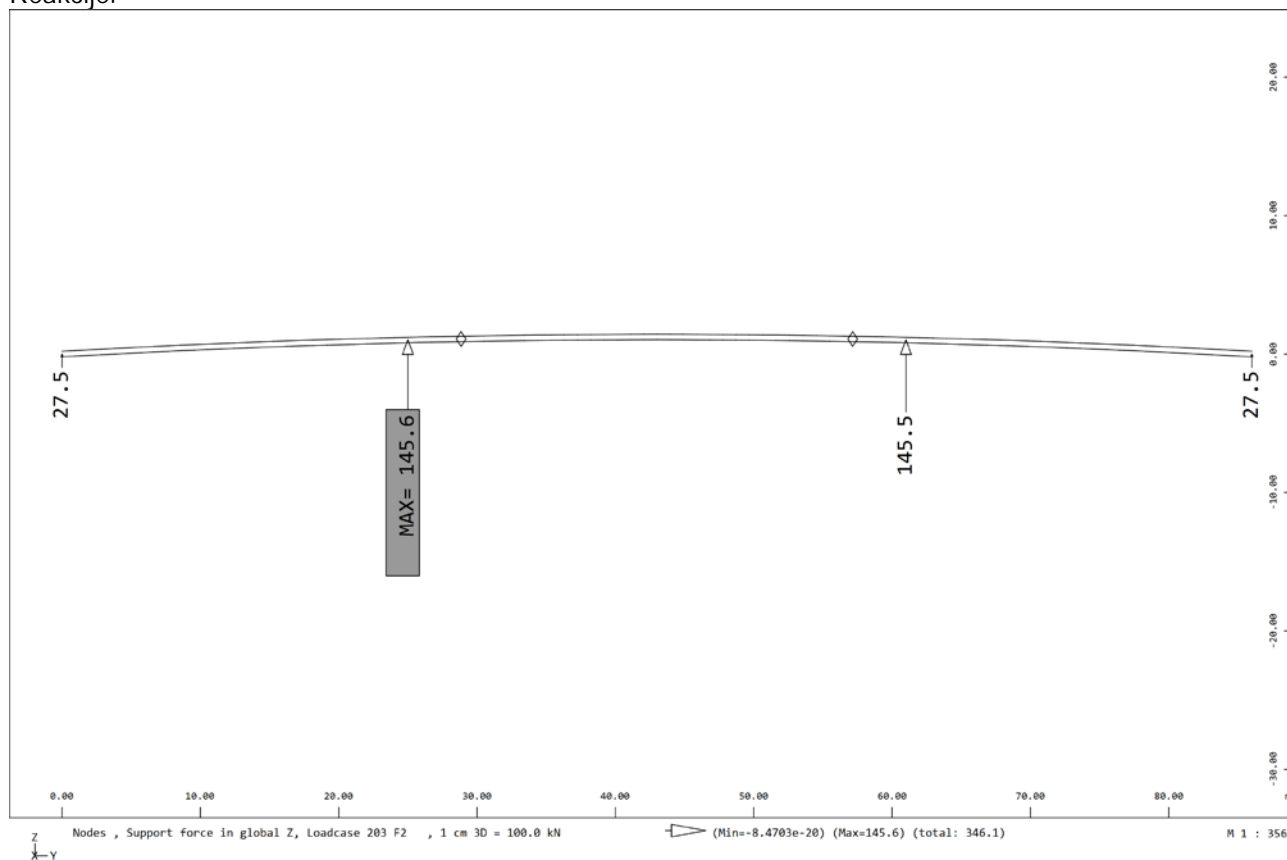
My:



OBJEKT	MOST CERŠAK	PZI PROJEKT	
PROJEKTANT	Ponting inženirski biro d.o.o., Jernej Maher univ.dipl.inž.grad	ŠT.NAČRTA	537-2/2020
KRAJ IN DATUM	Maribor, januar 2021	STRAN	99

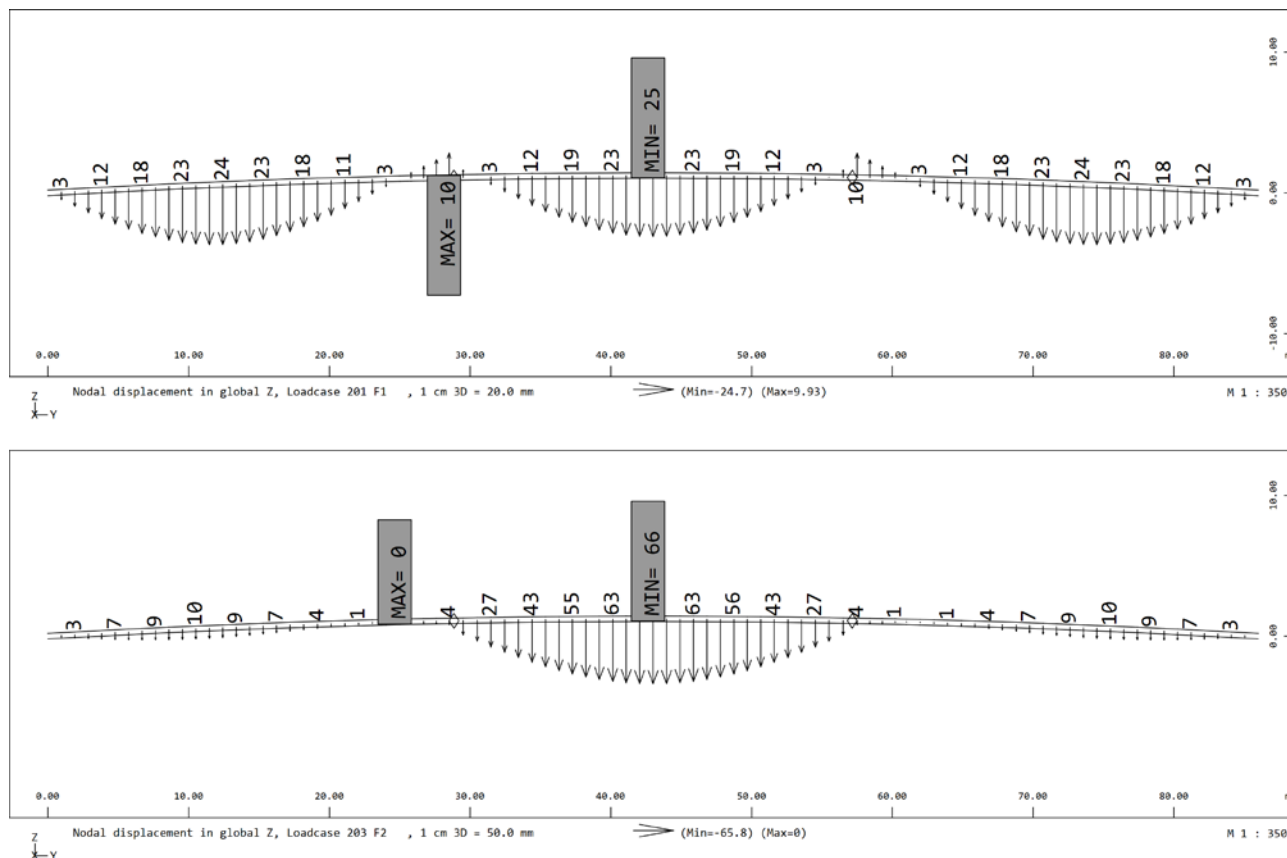
V_z:

Reakcije:



OBJEKT	MOST CERŠAK	PZI PROJEKT	
PROJEKTANT	Ponting inženirski biro d.o.o., Jernej Maher univ.dipl.inž.grad	ŠT.NAČRTA	537-2/2020
KRAJ IN DATUM	Maribor, januar 2021	STRAN	100

Deformacije: Faza 1/Faza 2



Maksimalne karakteristične obremenitve in pomiki (ovojnica obeh faz):

	MSU – faza 1	MSU – faza 2
$M_{y,max} / M_{y,min}$	228,4 kNm	389,1 kNm
$V_{z,max} / V_{z,min}$	38,2 kN	98,0 kN
Reakcija	43,5 oz 48,8 kN	145,6 kN
$U_{z,max}$	24,0 oz. 25,0 mm	10,0 oz. 66,0 mm

OBJEKT	MOST CERŠAK	PZI PROJEKT
PROJEKTANT	Ponting inženirski biro d.o.o., Jernej Maher univ.dipl.inž.grad	ŠT.NAČRTA 537-2/2020
KRAJ IN DATUM	Maribor, januar 2021	STRAN 101

5.8.4 Kontrola prereza

Kontrola upogiba

$$M_{y,Ed} = 389,9 \cdot 1,35 = 527 \text{ kNm}$$

Upogib - Priročnik 5-22			
Kontrola bočne zvrnitve		$\sigma_{m,crit} =$	12,5 kN/cm ²
		$\lambda_{rel,m} =$	0,47 kN/cm ²
		$\lambda_{rel,m} \leq 0,75$	Ni nevarnosti kN/cm ²
Enoosni upogib			
Stalna obtežba	$\sigma_{m,d} =$	0,68	kN/cm ²
	$f_{m,d} =$	1,34	kN/cm ²
	$\sigma_{m,d} < f_{m,d}$	OK	
	$i =$	0,51	
Stalna obtežba + spremenljiva	$\sigma_{m,d} =$	0,00	kN/cm ²
	$f_{m,d} =$	2,02	kN/cm ²
	$\sigma_{m,d} < f_{m,d}$	OK	
	$i =$	0,00	
Nevarnost bočne zvrnitve			
$k_{crit} =$	1		
		$k_{crit} = \begin{cases} 1 & \text{for } \lambda_{rel,m} \leq 0,75 \\ 1,56 - 0,75 \lambda_{rel,m} & \text{for } 0,75 < \lambda_{rel,m} \leq 1,4 \\ \frac{1}{\lambda_{rel,m}^2} & \text{for } 1,4 < \lambda_{rel,m} \end{cases}$	
Upogib			
Stalna obtežba	$\sigma_{m,d} =$	0,68	
	$k_{crit} \cdot f_{m,d} =$	1,34	
	$\sigma_{m,d} \leq k_{crit} \cdot f_{m,d}$	OK	[6.33]

Kontrola striga

$$V_{z,Ed} = 98,0 \cdot 1,35 = 132,2 \text{ kN}$$

Strig - Priročnik 5-26			
Efektivna širina	$k_{cr} =$	0,67	[masiven in lepjen lamelarni les]
	$k_{cr} =$	1,00	[ostali les]
	$b_{ef} =$	18,76	cm
Stalna obtežba	$\tau_d =$	0,08	kN/cm ²
	$f_{v,d} =$	0,15	kN/cm ²
	$\tau_d < f_{v,d}$	OK	
	$i =$	0,54	

OBJEKT	MOST CERŠAK	PZI PROJEKT	
PROJEKTANT	Ponting inženirski biro d.o.o., Jernej Maher univ.dipl.inž.grad	ŠT.NAČRTA	537-2/2020
KRAJ IN DATUM	Maribor, januar 2021	STRAN	102

Kontrola kontaktnih napetosti

$$R_{Ed} = 145,7 \cdot 1,35 = 196,7 \text{ kN}$$

$$\sigma_{c,90,d} = \frac{F_{c,90,d}}{A_{ef}} \leq k_{c,90} \cdot f_{c,90,d}$$

$$k_{c,90} = 1,0$$

$$f_{c,90,d} = 0,9 \cdot \frac{0,3}{1,25} = 0,216 \text{ kN/cm}^2$$

$$A_{ef} \geq \frac{F_{c,90,d}}{k_{c,90} \cdot f_{c,90,d}} = \frac{196,7}{0,216} \geq 910 \text{ cm}^2$$

Širina naleganja znaša 25 cm. Potrebno dolžino podpore dobimo:

$$l_{potr.} \geq \frac{910}{25} = 36,4 \text{ cm}$$

Izberemo dolžino podpore 40 cm

Kontrola deformacij

$$u_{z,max} = 66 \text{ mm} \rightarrow L/550$$

OBJEKT	MOST CERŠAK	PZI PROJEKT	
PROJEKTANT	Ponting inženirski biro d.o.o., Jernej Maher univ.dipl.inž.grad	ŠT.NAČRTA	537-2/2020
KRAJ IN DATUM	Maribor, januar 2021	STRAN	103

5.9 KONTROLA SPAJANJA VZDOLŽNIH NOSILCEV

Spajanje nosilcev se bo izvedlo s pomočjo jeklenih čevljev, ki bodo s pomočjo moznikov prenašali obremenitve. V nadaljevanju so podane maksimalne obremenitve na mestu spajanja ($x=29,5$ oz. $56,5$ m) za fazo gradnje in fazo uporabe objekta.

Maksimalne obremenitve na mestu spajanja konstrukcije:

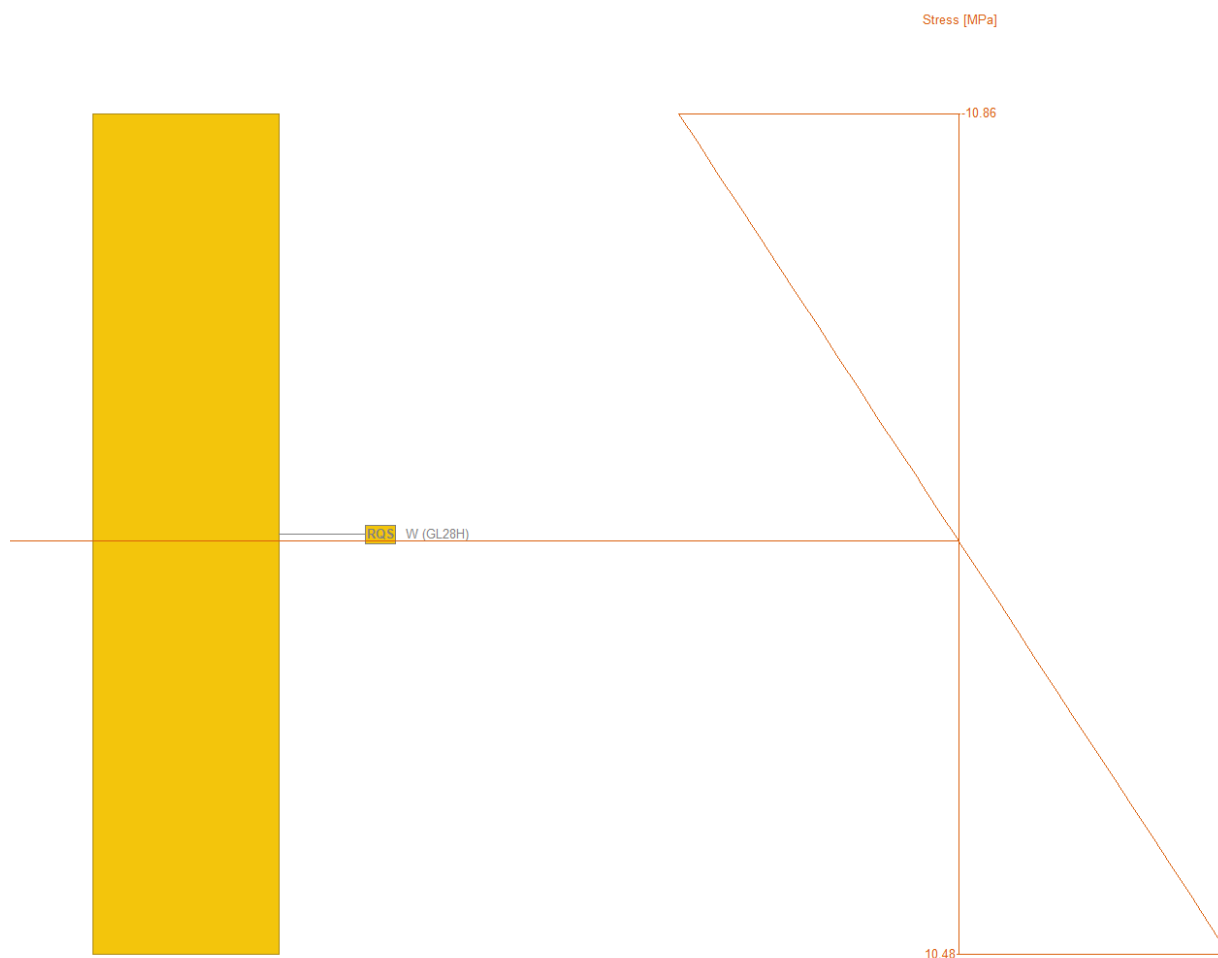
MSN		N	VZ	MY
Faza gradnje objekta		[kN]	[kN]	[kNm]
1)	Merodajna kombinacija	0	118,2	99,8
MSN		N	VZ	MY
Faza uporabe objekta		[kN]	[kN]	[kNm]
1)	min N	-525,6	-27,91	180,02
2)	max N	543,8	-9,24	-126,37
3)	min VZ	-156,5	-70,2	70,83
4)	max VZ	-92	70,69	100,8
5)	min MY	43,3	-32,39	-447,18
6)	max MY	-69,3	3,75	836,78

Kontrola maksimalnih napetosti s pomočjo Excela:

MSN		N	VZ	MY	σ_{zg}	σ_{sp}
Faza gradnje objekta		[kN]	[kN]	[kNm]	[MPa]	[MPa]
1)	Merodajna kombinacija	0,0	118,2	99,8	-1,30	1,30
MSN		N	VZ	MY	σ_{zg}	σ_{sp}
Faza uporabe objekta		[kN]	[kN]	[kNm]	[MPa]	[MPa]
1)	min N	-525,6	-27,9	180,0	-3,80	0,88
2)	max N	543,8	-9,2	-126,4	3,15	-0,13
3)	min VZ	-156,5	-70,2	70,8	-1,35	0,48
4)	max VZ	-92,0	70,7	100,8	-1,56	1,05
5)	min MY	43,3	-32,4	-447,2	5,92	-5,68
6)	max MY	-69,3	3,8	836,8	-11,05	10,67

OBJEKT	MOST CERŠAK	PZI PROJEKT	
PROJEKTANT	Ponting inženirski biro d.o.o., Jernej Maher univ.dipl.inž.grad	ŠT.NAČRTA	537-2/2020
KRAJ IN DATUM	Maribor, januar 2021	STRAN	104

Merodajna kombinacija se je preverila še s pomočjo programa Fagus, katerega rezultati so se upoštevali v nadaljevanju:



$$F_{zg,Ed} = \frac{1,086 \text{ kN/cm}^2 \cdot 65,4 \text{ cm} \cdot 28,0 \text{ cm}}{2} = 994,3 \text{ kN}$$

$$F_{sp,Ed} = \frac{1,048 \text{ kN/cm}^2 \cdot 63,1 \text{ cm} \cdot 28,0 \text{ cm}}{2} = 925,8 \text{ kN}$$

OBJEKT	MOST CERŠAK	PZI PROJEKT	
PROJEKTANT	Ponting inženirski biro d.o.o., Jernej Maher univ.dipl.inž.grad	ŠT.NAČRTA	537-2/2020
KRAJ IN DATUM	Maribor, januar 2021	STRAN	105

Skupna nosilnost moznikov tipa C11:

Tip moznika	d [mm]	Eno-strižna ravnina (vmesni prečniki) $F_{v,Rk,skupaj}$ [kN]	Dvo-strižna ravnina (ležišče/spajanje) $F_{v,Rk,skupaj}$ [kN]
$d_c = 80$	20	37,67	50,85
$d_c = 95$	24	47,54	64,77

Upoštevamo: Moznik $d_c=95\text{mm}$, $d_{vijak}=24\text{ mm}$ in debelino pločevine $t=15\text{mm}$.

$$F_{v,Rk} = 64,77 \text{ kN} \quad F_{v,Rd} = k_{mod} \cdot \frac{F_{v,Rk}}{\gamma_M} = 46,63 \text{ kN}$$

Minimalne razdalje moznikov tipa C11 znašajo:

Položaj moznika		$d_c=95\text{mm}$, $d_{vijak}=24\text{ mm}$
a_1	vzporedno z vlakni	19,0 cm
a_2	pravokotno na vlakna	11,4 cm
$a_{3,t}$	obremenjen rob	19,0 cm
$a_{3,c}$	neobremenjen rob	19,0 cm
$a_{4,t}$	obremenjen rob	7,6 cm
$a_{4,c}$	neobremenjen rob	5,7 cm

Medsebojna razdalja moznikov ter razdalja $a_{4,t}$ do obremenjenega roba pravokotno na vlakna nam omogočajo vgraditev 10 moznikov po višini.

Potrebno število moznikov:

$$n_{potr.} = \frac{F_{zg}}{F_{v,Rd}} + \frac{F_{sp}}{F_{v,Rd}} + \frac{V}{F_{v,Rd}} = 41,26$$

V skladu s točko 8.9 (12) v SIST EN 1995-1-1 je potrebno upoštevati efektivno število moznikov v ravnini v primeru 5 moznikov:

$$n_{ef} = 2 + \left(1 - \frac{n}{20}\right)(n - 2) = 4,25 \text{ (85\%)}$$

Potrebno število moznikov se poveča zaradi upoštevanja efektivnega števila:

$$n_{potr.,dej.} = 41,26 \cdot \frac{5,0}{4,25} = 49,72$$

Izberemo 5x10 moznikov.

OBJEKT	MOST CERŠAK	PZI PROJEKT	
PROJEKTANT	Ponting inženirski biro d.o.o., Jernej Maher univ.dipl.inž.grad	ŠT.NAČRTA	537-2/2020
KRAJ IN DATUM	Maribor, januar 2021	STRAN	106

Potrebno število moznikov v fazi gradnje:

$$n_{potr.} = \frac{F}{F_{v,Rd}} = 2,53$$

Potrebno število moznikov se poveča zaradi upoštevanja efektivnega števila:

$$n_{potr.,dej.} = 2,53 \cdot \frac{5,0}{4,25} = 3,0$$

Kontrola pločevine na bočni pritisk in strižne nosilnosti vijaka:

Upošteva se maksimalna sila, ki pade na posamezen mozni, in sicer $F_{Ed}=1924/50=38,5$ kN.

Strižna nosilnost vijaka:

Vijak s karakteristikami $f_{u,k}=400\text{N/mm}^2$ ima minimalno strižno nosilnost $47,0$ kN $> 38,5$ kN.

Bočni pritisk pločevine:

$$F_{b,Rd} = \frac{k_1 \cdot \alpha_b \cdot f_u \cdot d \cdot t}{\gamma_{M2}}$$

$$k_1 = 2,5$$

$$\alpha_b = 0,75$$

$$f_u = 35,5\text{kN/cm}^2$$

$$d = 2,0\text{cm}$$

$$t = 1,5\text{cm}$$

$$F_{b,Rd} = \frac{k_1 \cdot \alpha_b \cdot f_u \cdot d \cdot t}{\gamma_{M2}} = 159\text{ kN} > 38,5\text{ kN}$$

OBJEKT	MOST CERŠAK	PZI PROJEKT	
PROJEKTANT	Ponting inženirski biro d.o.o., Jernej Maher univ.dipl.inž.grad	ŠT.NAČRTA	537-2/2020
KRAJ IN DATUM	Maribor, januar 2021	STRAN	107

6.0 ANALIZA VZDOLŽNIH NOSILNIH JEKLENIH VRVI IN VEŠALK

6.1 SPLOŠNO

Statičen sistem konstrukcije predstavlja obešena lesena konstrukcija z enim razponom. Vz dolžno sta nosilca preko jeklenih vešalk in jeklenih distančnikov, postavljenih na razmaku 8.60 m, obešena na nosilne jeklene vrvi premera 63 mm, ki so sidrane na vrhu obojestranskih pilonov na opornikih. Nosilne jeklene vrvi so polno zaprte (zatesnjene) vrvi s polnilom in dvojno antikorozijsko zaščito. Vešalke so klasične jeklene zatege (natezne palice) tipa M24 in geometriji prilagojenimi dolžinami. Povezave med nosilno vrvo, vešalko in prekladno konstrukcijo so sistemsko rešene z litoželeznimi oziroma vijačenimi vezmi. Nosilna vrv je prav tako s sistemskim sidriščem, ki omogoča napenjanje in naknadno korekcijo napetosti, sidrana v masivne betonske pilone na opornikih. Povese nosilnih vrvi v neobremenjenem stanju (stalna teža), v projekciji znaša 6.50 m (cca. L/14).

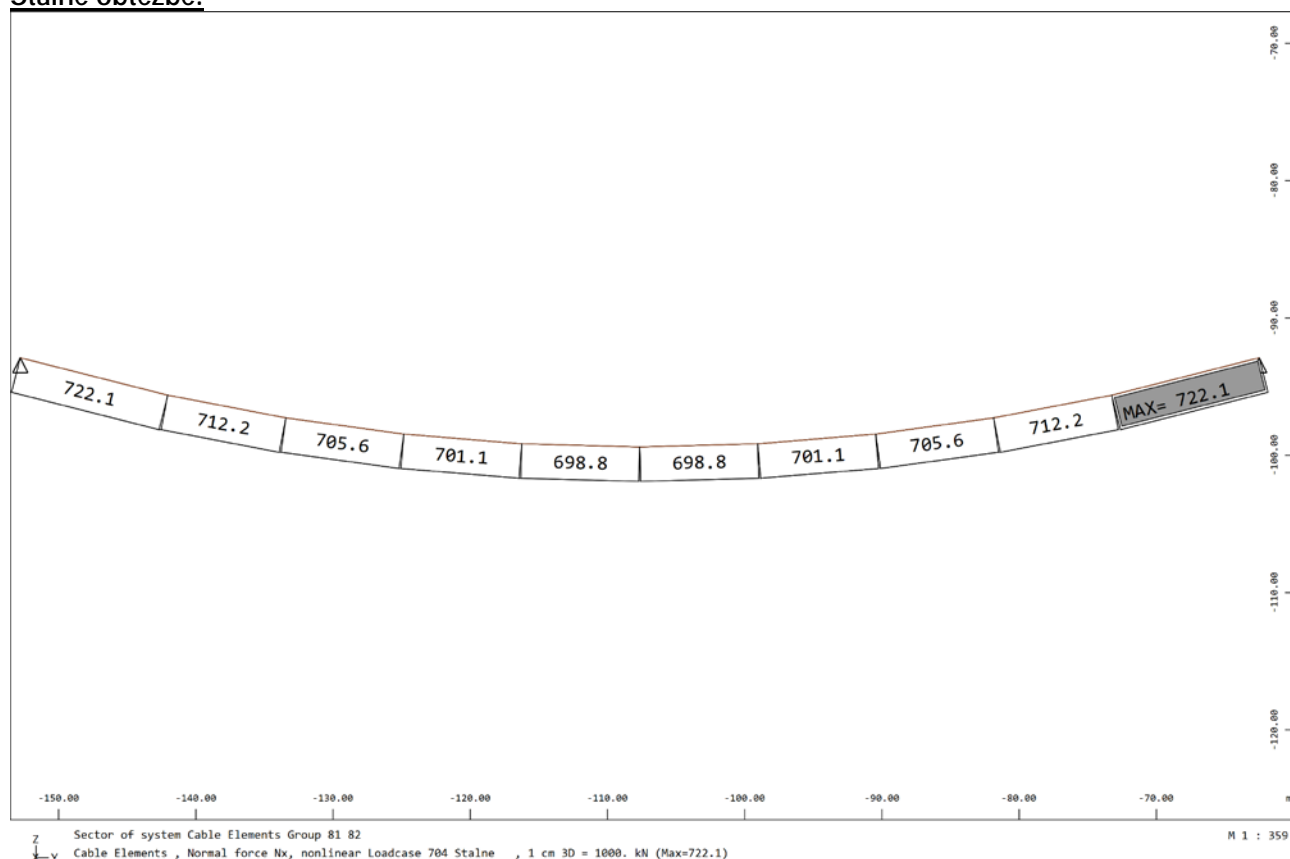
6.2 ANALIZA OBTEŽB

Obtežbe, ki so se upoštevale so bile opisane že v poglavju 2.

6.3 OBREMENITVE

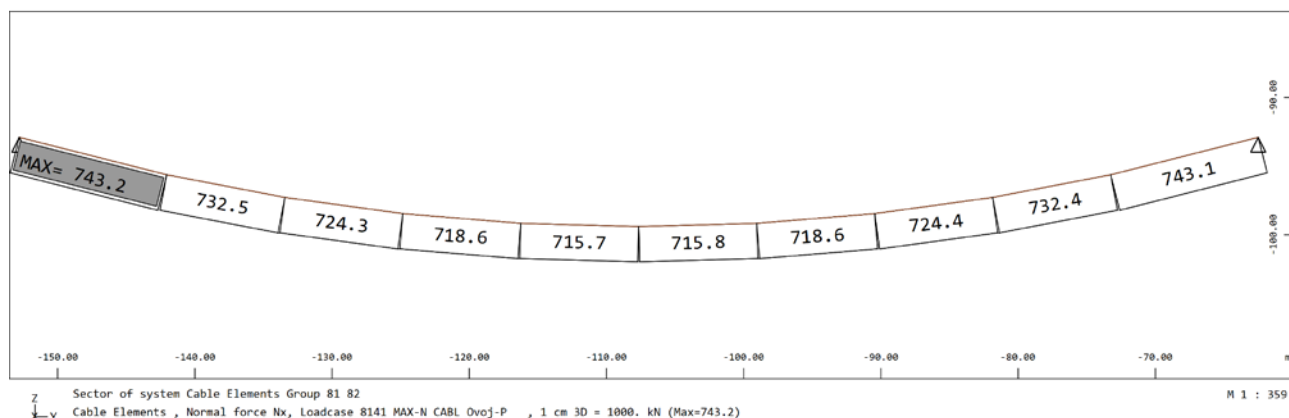
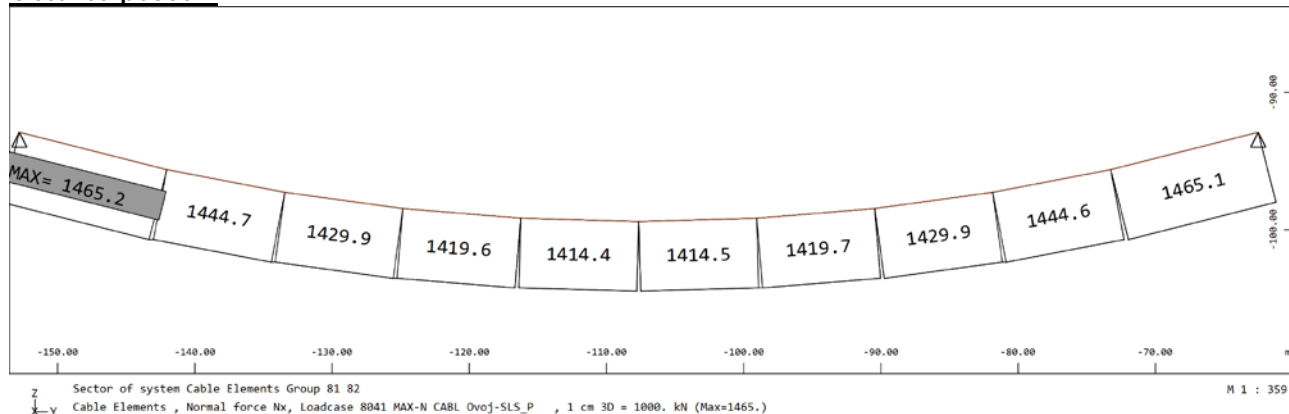
6.3.1 Vz dolžne nosilne vrvi

Stalne obtežbe:

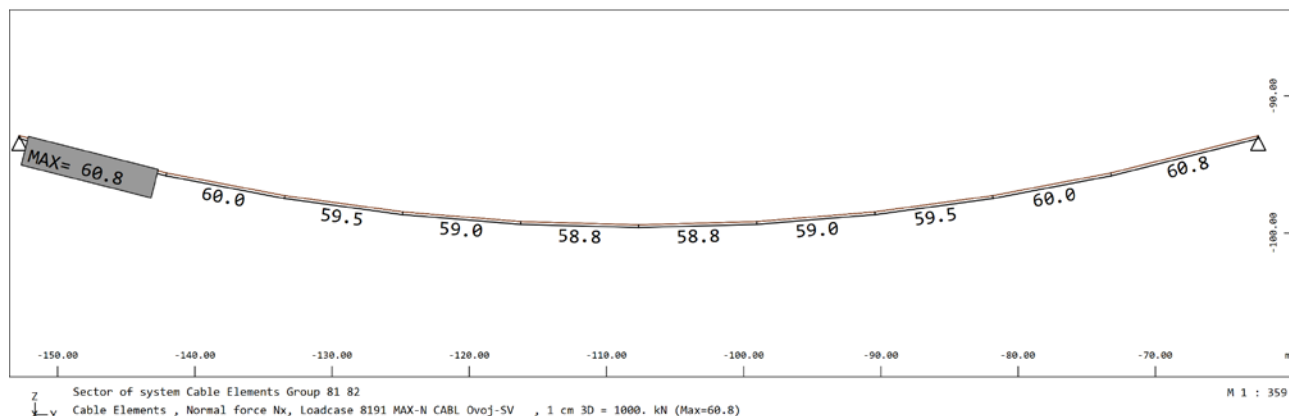
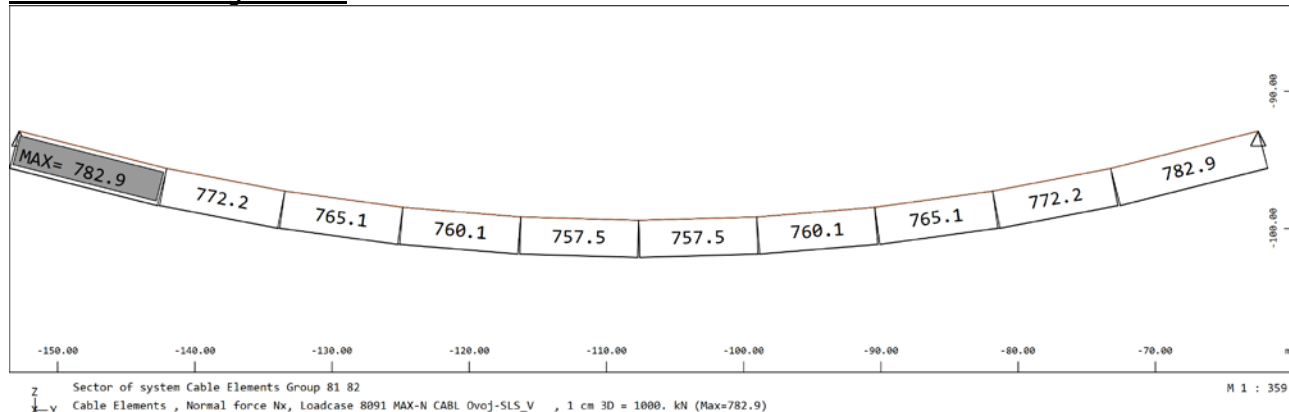


OBJEKT	MOST CERŠAK	PZI PROJEKT
PROJEKTANT	Ponting inženirski biro d.o.o., Jernej Maher univ.dipl.inž.grad	ŠT.NAČRTA 537-2/2020
KRAJ IN DATUM	Maribor, januar 2021	STRAN 108

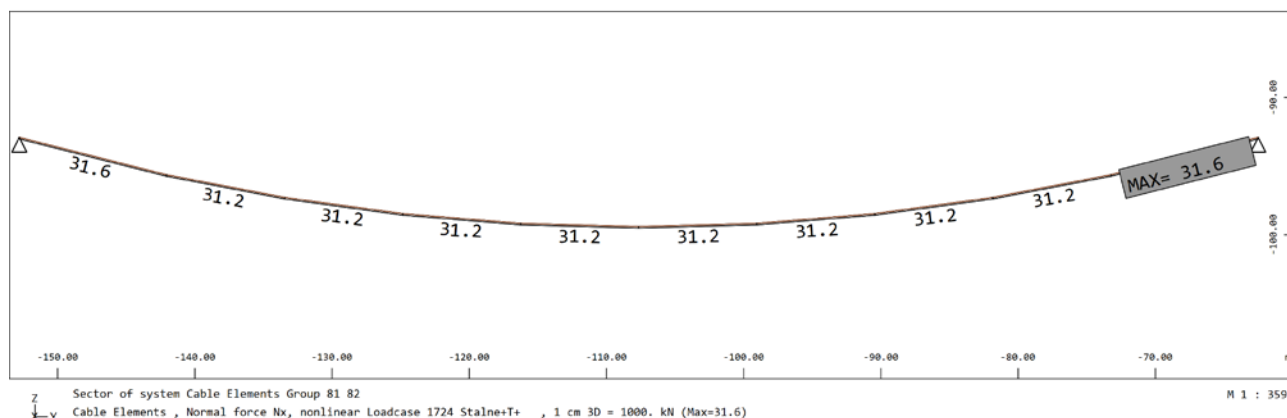
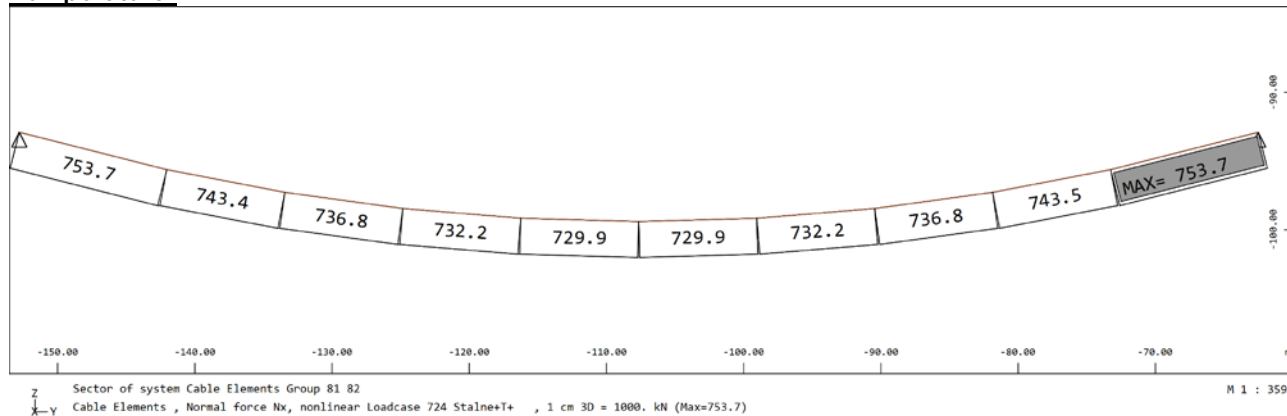
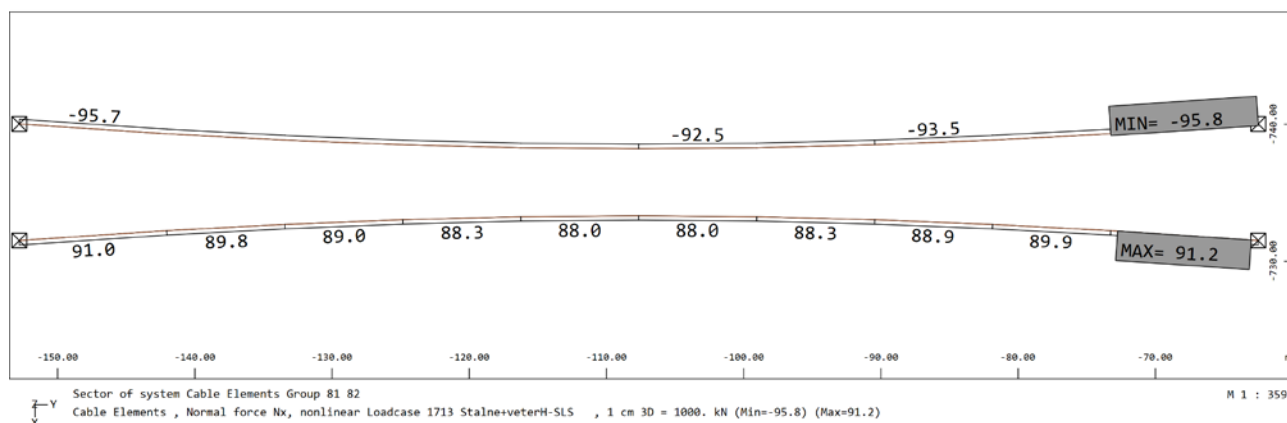
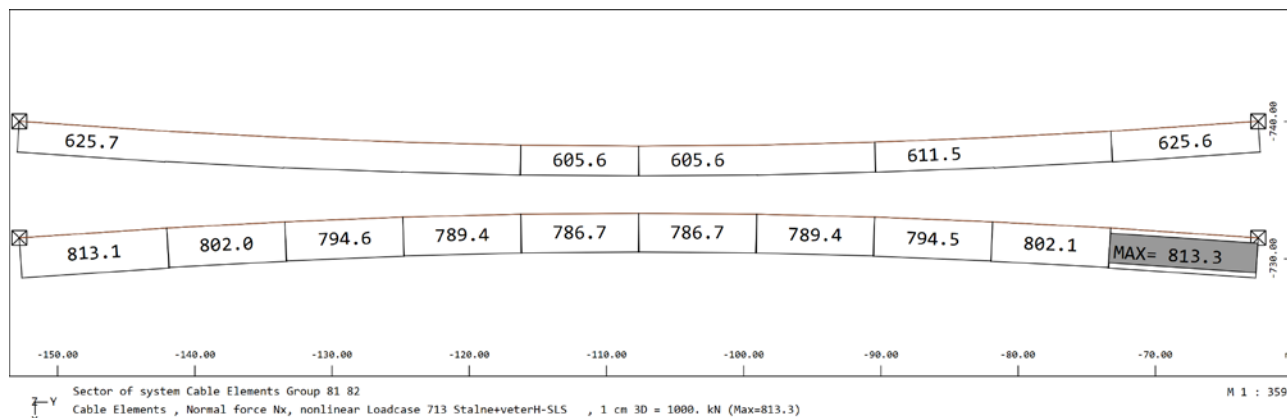
Obtežba pešcev:



Obtežba servisnega vozila:



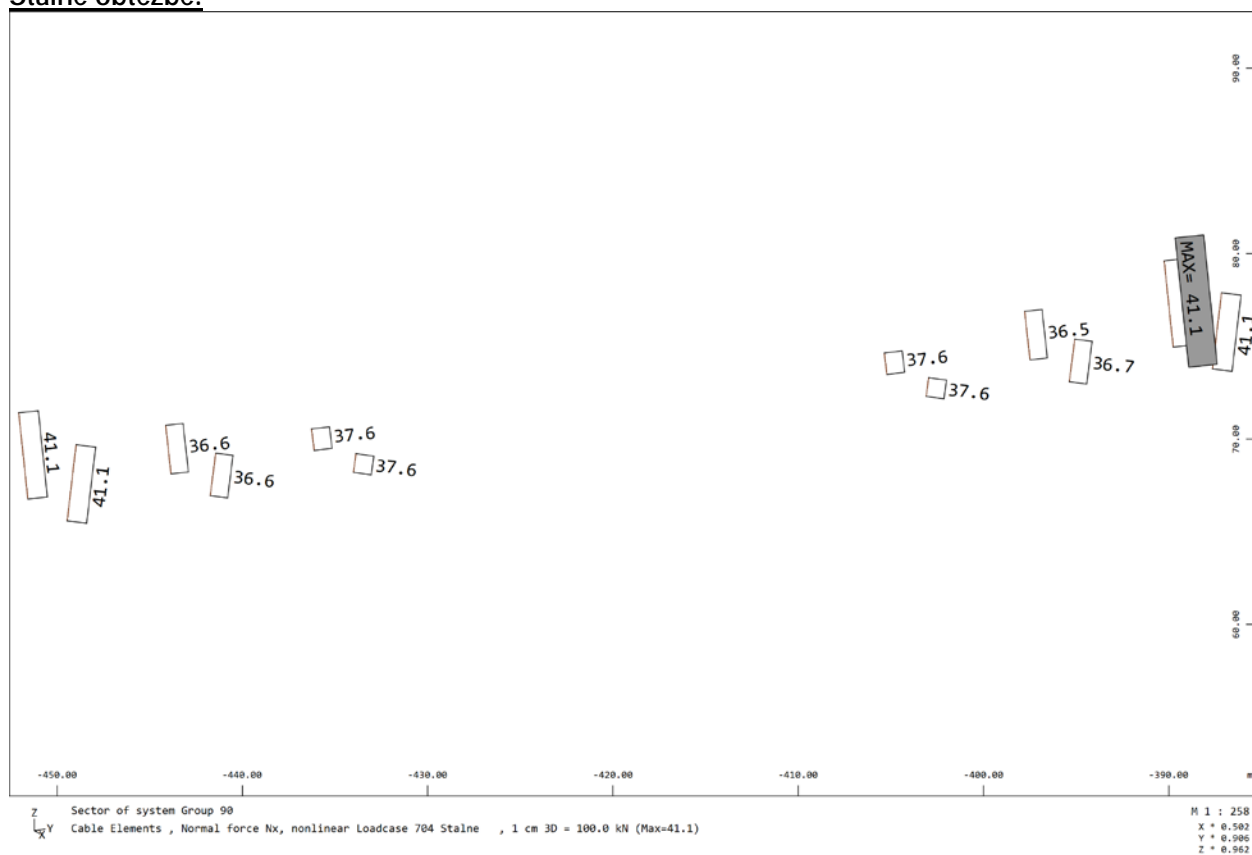
OBJEKT	MOST CERŠAK	PZI PROJEKT
PROJEKTANT	Ponting inženirski biro d.o.o., Jernej Maher univ.dipl.inž.grad	ŠT.NAČRTA 537-2/2020
KRAJ IN DATUM	Maribor, januar 2021	STRAN 109

Temperatura:**Veter:**

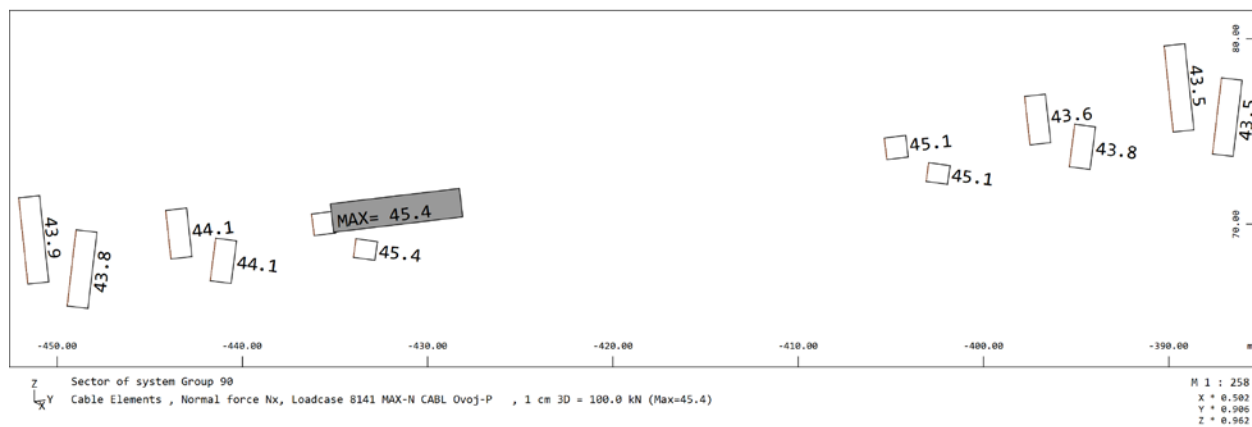
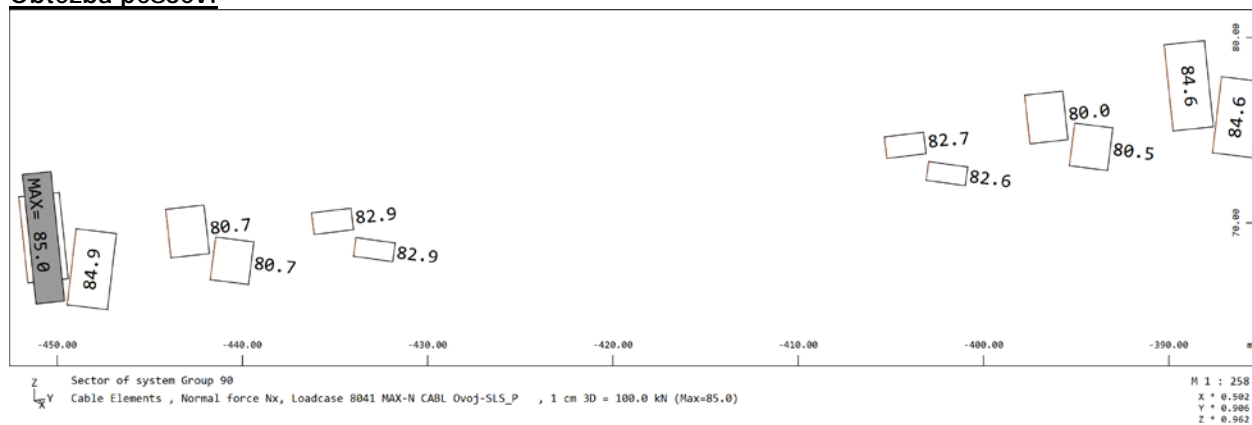
OBJEKT	MOST CERŠAK	PZI PROJEKT
PROJEKTANT	Ponting inženirski biro d.o.o., Jernej Maher univ.dipl.inž.grad	ŠT.NAČRTA 537-2/2020
KRAJ IN DATUM	Maribor, januar 2021	STRAN 110

6.3.2 Vešalke

Stalne obtežbe:

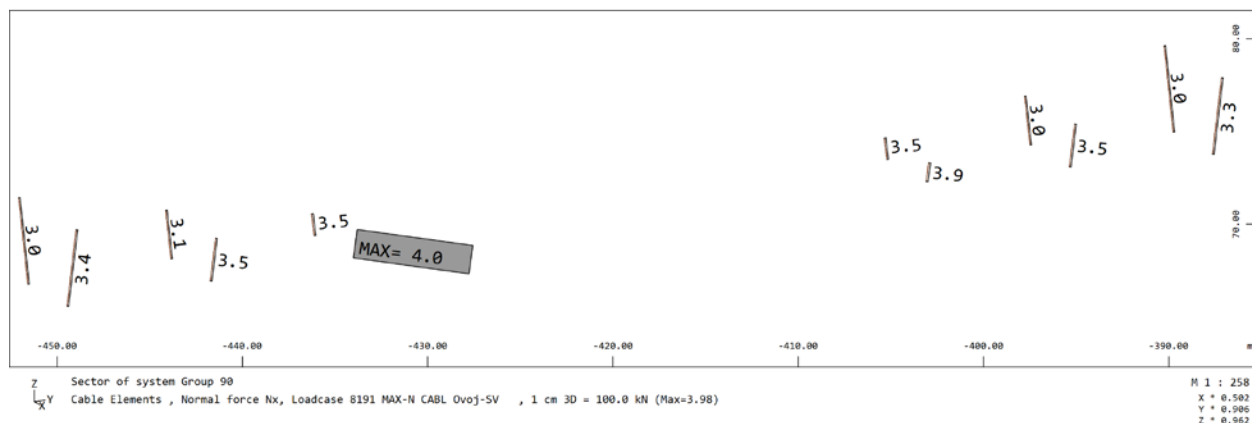
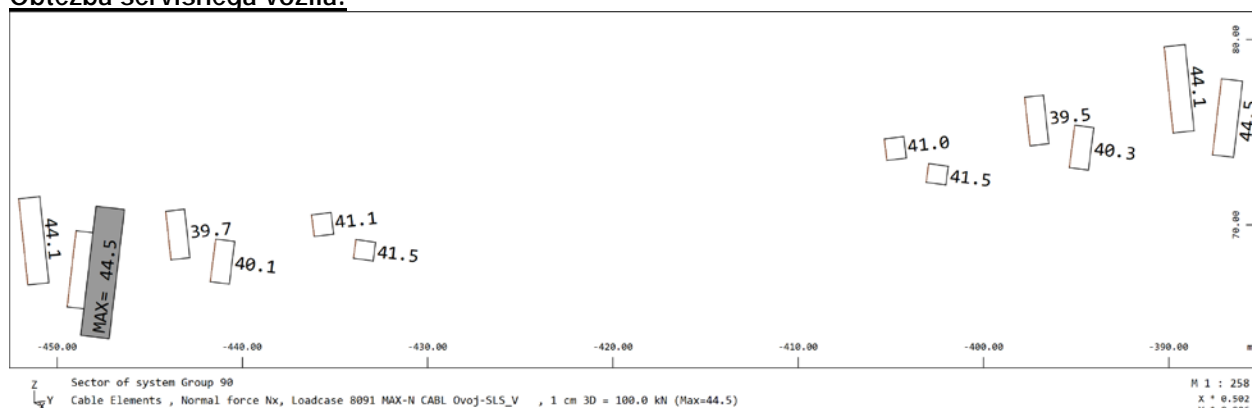


Obtežba pešcev:

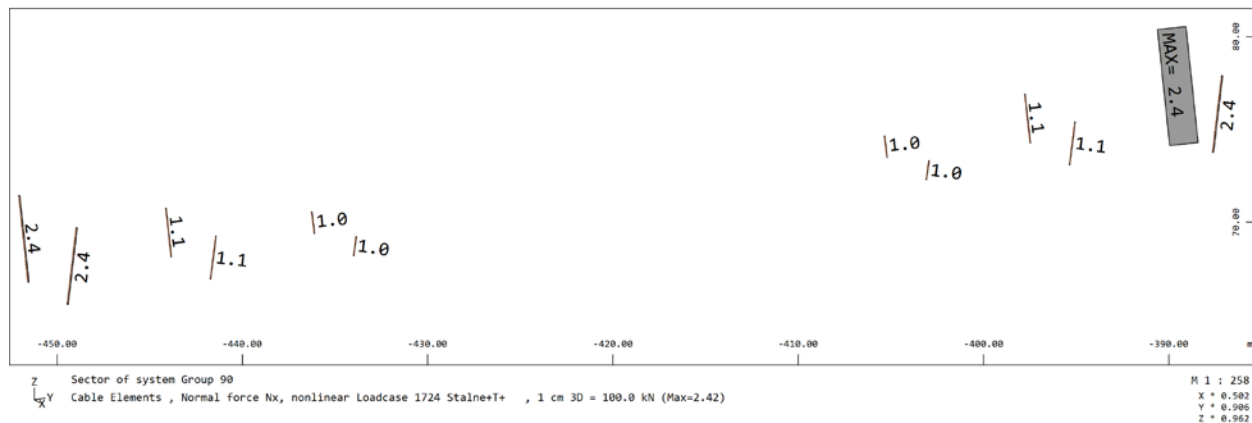
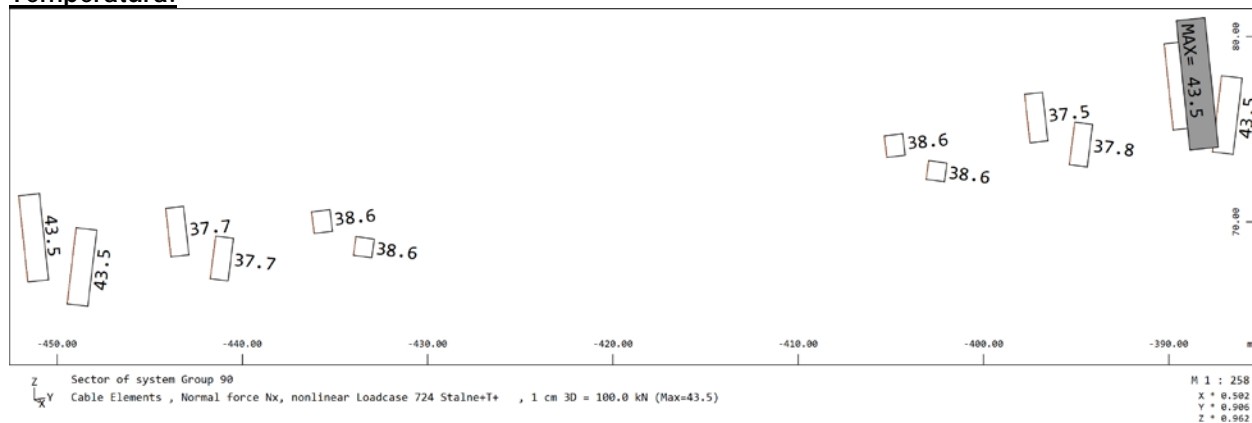


OBJEKT	MOST CERŠAK	PZI PROJEKT	
PROJEKTANT	Ponting inženirski biro d.o.o., Jernej Maher univ.dipl.inž.grad	ŠT.NAČRTA	537-2/2020
KRAJ IN DATUM	Maribor, januar 2021	STRAN	111

Obtežba servisnega vozila:

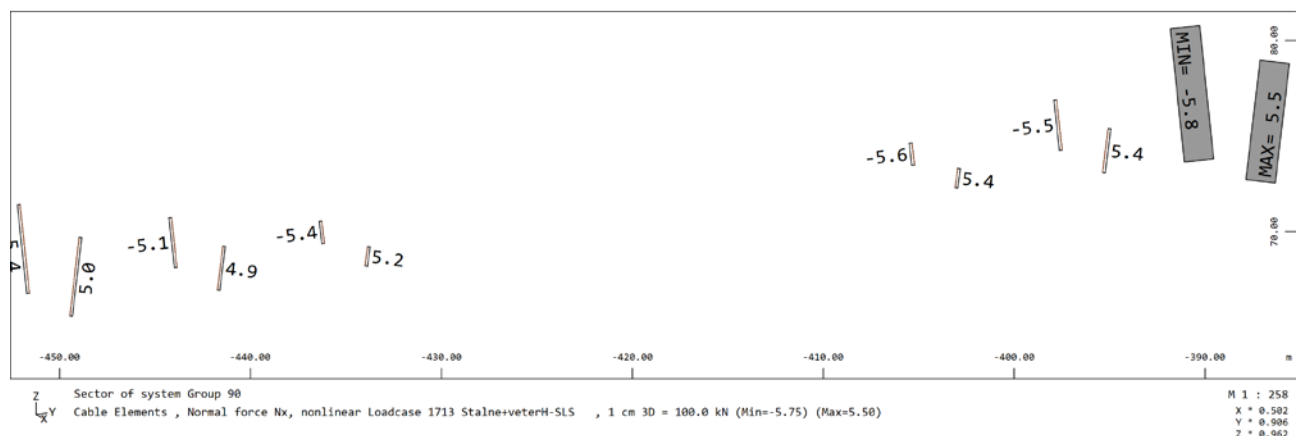
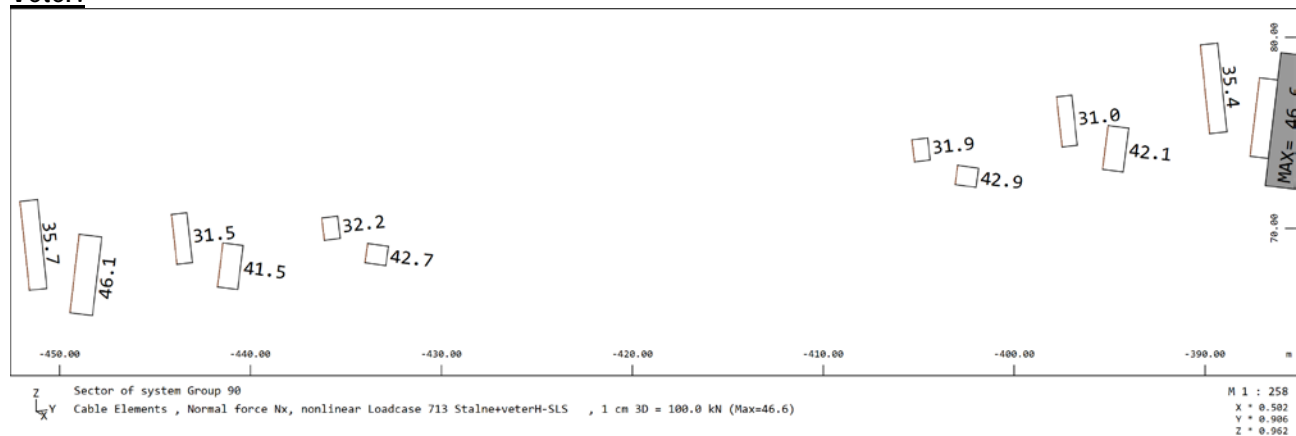


Temperatura:



OBJEKT	MOST CERŠAK	PZI PROJEKT	
PROJEKTANT	Ponting inženirski biro d.o.o., Jernej Maher univ.dipl.inž.grad	ŠT.NAČRTA	537-2/2020
KRAJ IN DATUM	Maribor, januar 2021	STRAN	112

Veter:



OBJEKT	MOST CERŠAK	PZI PROJEKT	
PROJEKTANT	Ponting inženirski biro d.o.o., Jernej Maher univ.dipl.inž.grad	ŠT.NAČRTA	537-2/2020
KRAJ IN DATUM	Maribor, januar 2021	STRAN	113

6.4 KONTROLA POSAMEZNIH FAZ

6.4.1 Vzдолžne nosilne vrvi

Opravljen je bila kontrola posameznih faz (upoštevane so karakteristike obeh nosilnih vrvi v ravnini). Kontrola se je izvedla s pomočjo osnovnih enačb v programu Excel in na preprostem računskem modelu, kjer se je le na kabel nanesla obtežba. S tem so rezultati na varni strani, saj je zanemarjena vzdolžna togost lesenih nosilcev. Rezultati so služili kot kontrola računa.

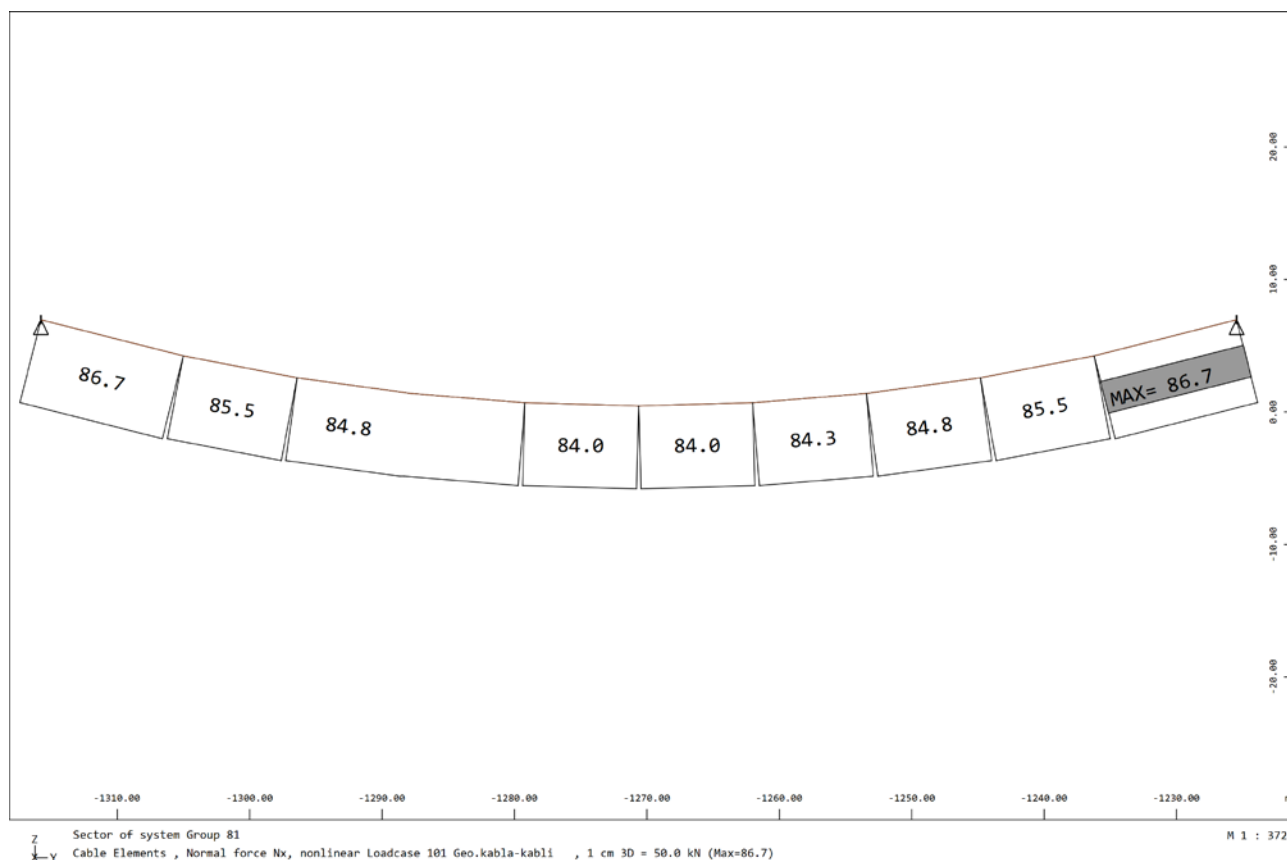
a) Lastna teža kablov

$$g_0 = 0,558 \text{ kN/m'}$$

Ceršak

spann	L	90,30 m
maximal sag	fmax	6,50 m
	L/fmax	13,89
dead load	g	0,56 kN/m
live load	p	0,00 kN/m
total		0,56 kN/m
horizontal force	H	87 kN
vertical force	V	25 kN
maximal force	T	91 kN

Sile v vzdolžnih nosilnih vrveh na 2D modelu (lastna teža kablov).



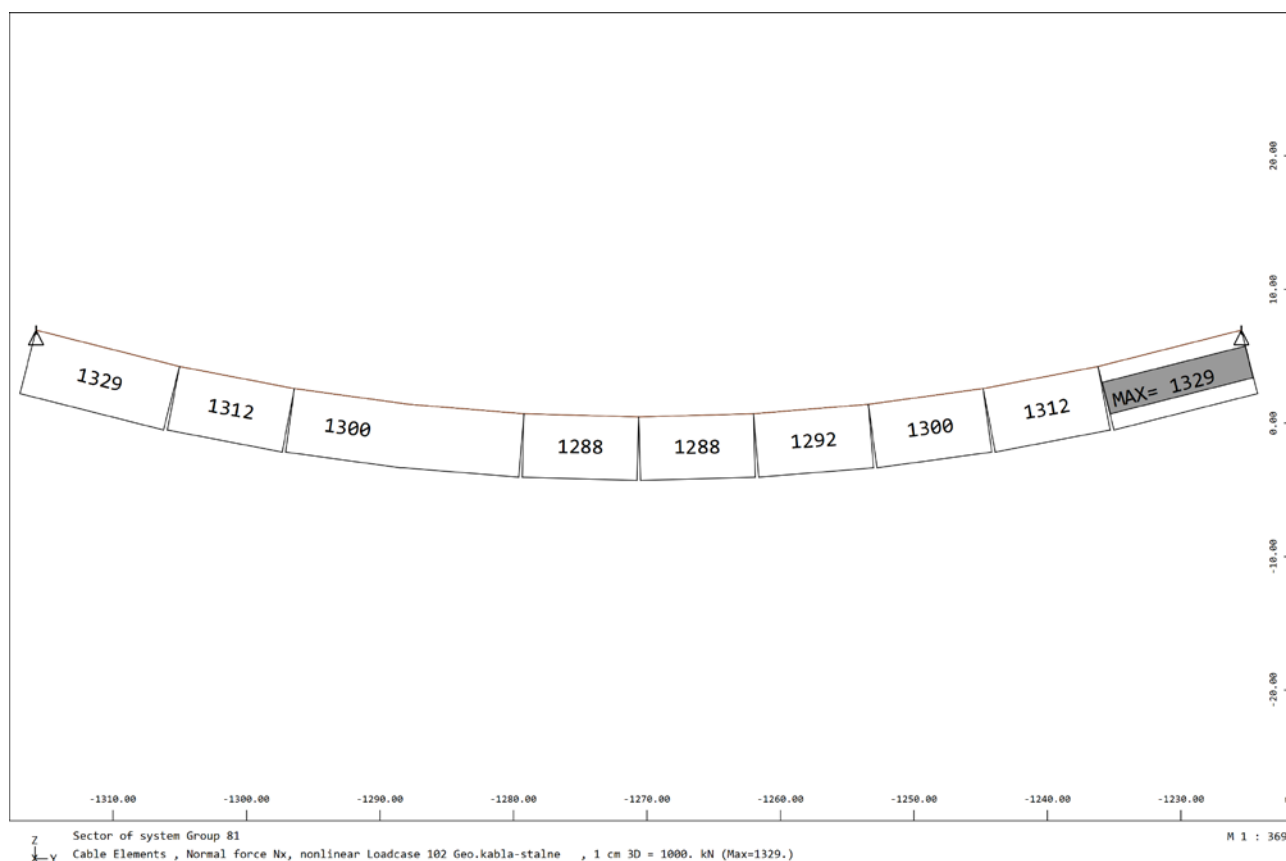
OBJEKT	MOST CERŠAK	PZI PROJEKT
PROJEKTANT	Ponting inženirski biro d.o.o., Jernej Maher univ.dipl.inž.grad	ŠT.NAČRTA 537-2/2020
KRAJ IN DATUM	Maribor, januar 2021	STRAN 114

b) Stalne obremenitve $g=8,268 \text{ kN/m'}$

CERŠAK

spann	L	90,30 m
maximal sag	fmax	6,50 m
	L/fmax	13,89
dead load	g	8,27 kN/m
live load	p	0,00 kN/m
total		8,27 kN/m
horizontal force	H	1297 kN
vertical force	V	373 kN
maximal force	T	1349 kN

Sile v vzdolžnih nosilnih vrveh na 2D modelu (stalne obtežbe).



OBJEKT	MOST CERŠAK	PZI PROJEKT
PROJEKTANT	Ponting inženirski biro d.o.o., Jernej Maher univ.dipl.inž.grad	ŠT.NAČRTA 537-2/2020
KRAJ IN DATUM	Maribor, januar 2021	STRAN 115

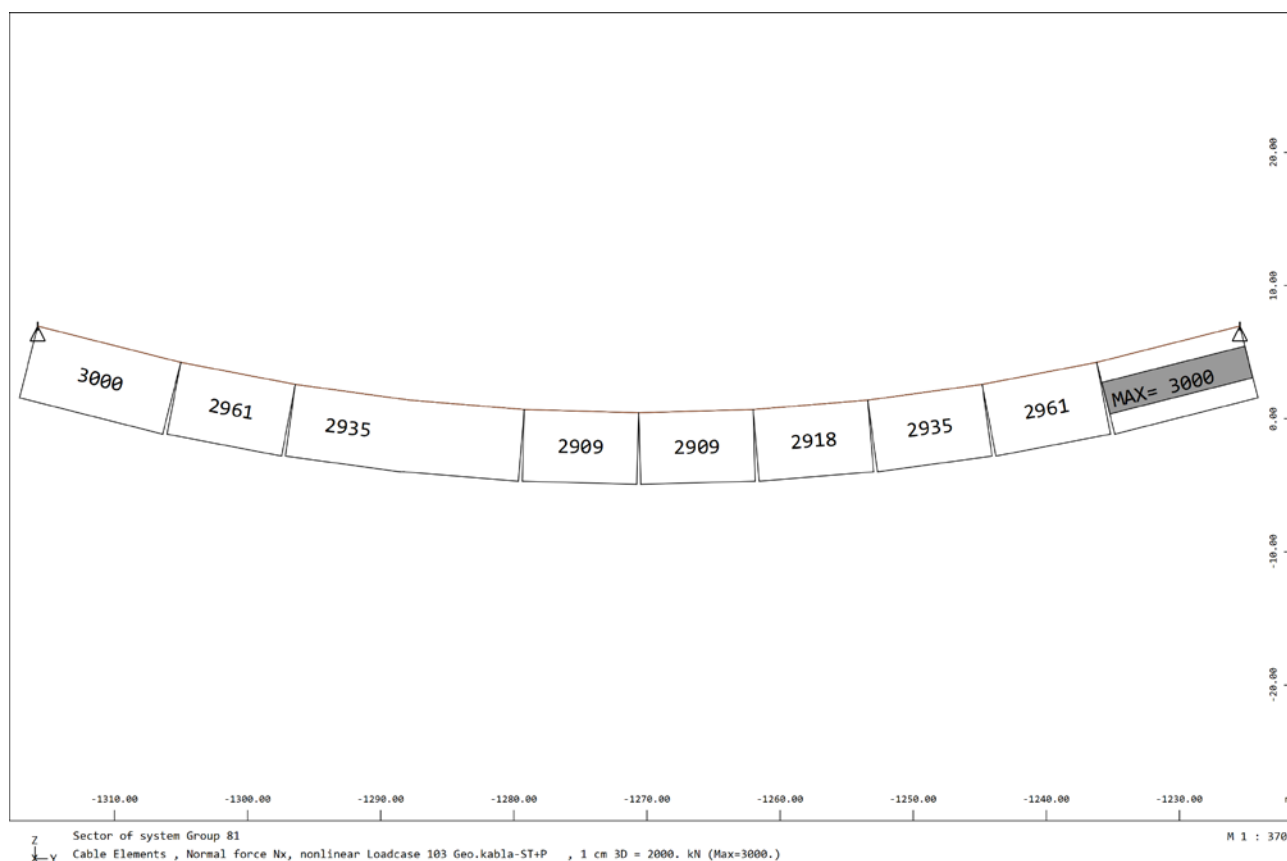
c) Stalne obremenitve + obtežba pešcev

$$g+q=18,90 \text{ kN/m'}$$

Ceršak

spann	L	90,30 m
maximal sag	fmax	6,50 m
	L/fmax	13,89
dead load	g	8,27 kN/m
live load	p	10,64 kN/m
total		18,91 kN/m
horizontal force	H	2965 kN
vertical force	V	854 kN
maximal force	T	3085 kN

Sile v vzdolžnih nosilnih vrveh na 2D modelu (stalne obtežbe+obtežbe pešcev).

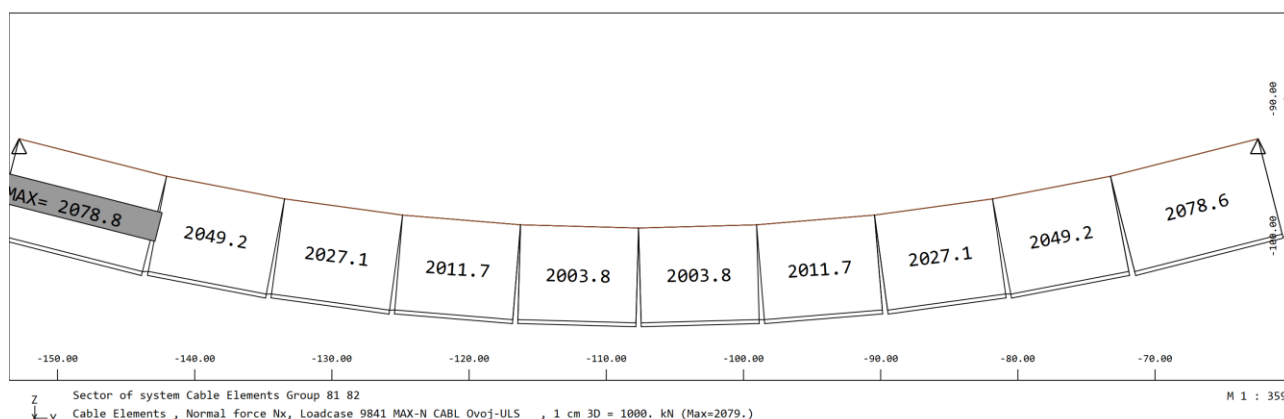
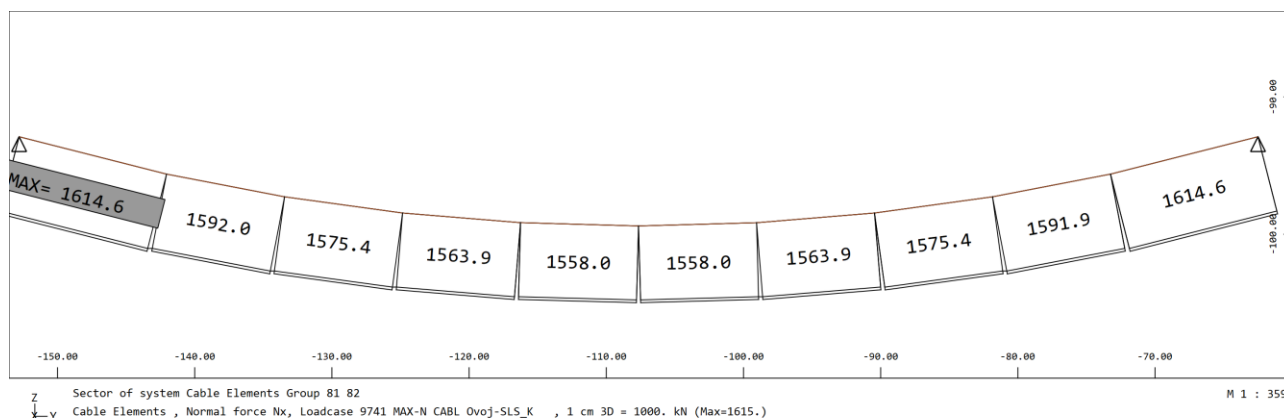


OBJEKT	MOST CERŠAK	PZI PROJEKT
PROJEKTANT	Ponting inženirski biro d.o.o., Jernej Maher univ.dipl.inž.grad	ŠT.NAČRTA 537-2/2020
KRAJ IN DATUM	Maribor, januar 2021	STRAN 116

6.5 DIMENZIONIRANJE IN KONTROLA

6.5.1 Vzдолžne nosilne vrvi

MSU-karak.komb. / MSN- komb. (osnovna/nezgodna ovojnica)



Maksimalne projektne obremenitve na posamezen kabel:

$$N_{Ed} = \max(1,5 \cdot N_{MSU}; N_{MSN}) = \max(1,5 \cdot 1615; 2079) = 2423 \text{ kN}$$

Kontrola po MSN:

Projektna nosilnost vrvi premera 63 mm:

$$N_{Rd} = 4060 / 1,5 = 2707 \text{ kN} > N_{Ed} = 2423 \text{ kN} \quad \rightarrow \quad i = 0,90$$

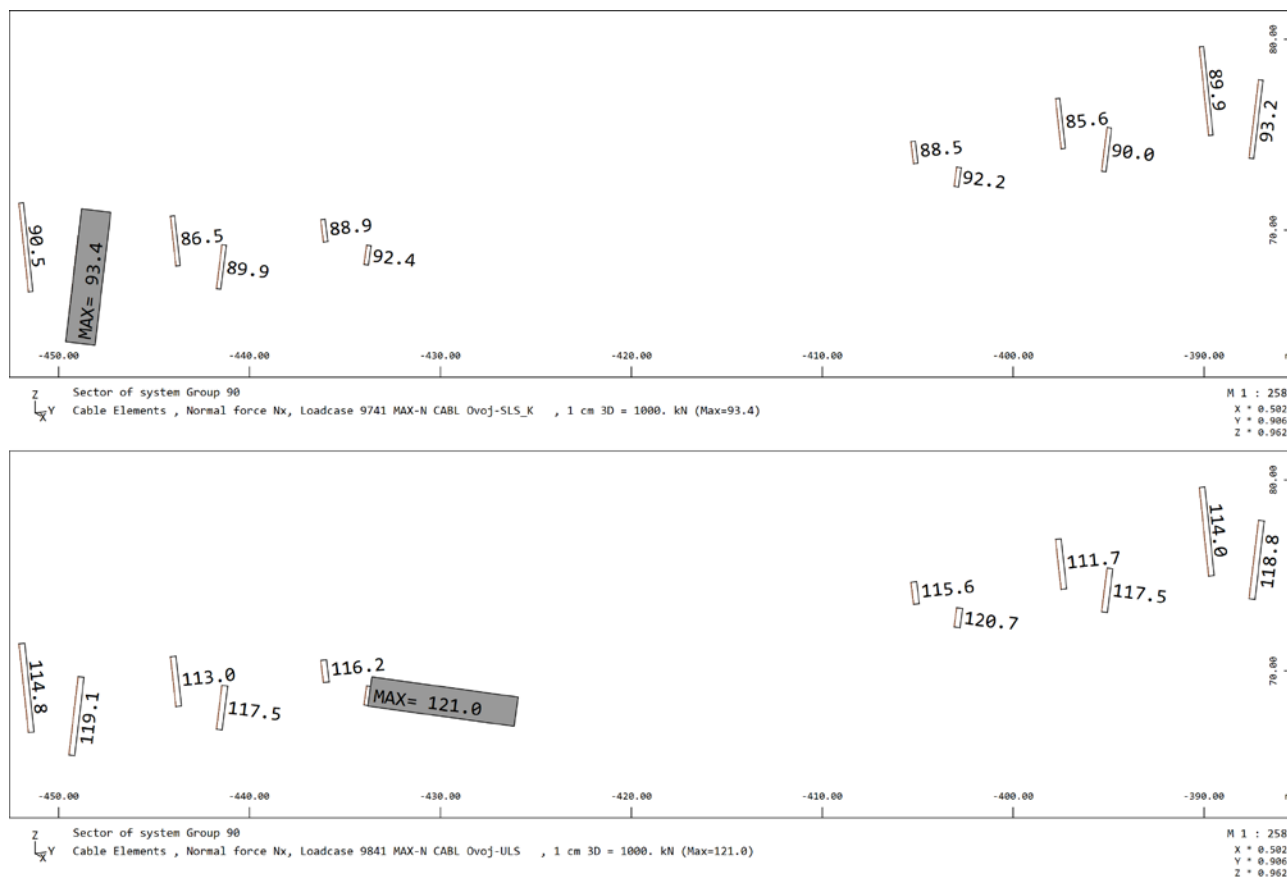
Kontrola po MSU:

$$\sigma_{Ed} = 1615 \text{ kN/A} = 596 \text{ MPa} < 0,45 \cdot 1570 = 706 \text{ MPa}$$

OBJEKT	MOST CERŠAK	PZI PROJEKT
PROJEKTANT	Ponting inženirski biro d.o.o., Jernej Maher univ.dipl.inž.grad	ŠT.NAČRTA 537-2/2020
KRAJ IN DATUM	Maribor, januar 2021	STRAN 117

6.5.2 Vešalke

MSU-karak.komb. / MSN- komb. (osnovna/nezgodna ovojnica)



Maksimalne projektne obremenitve na posamezno vešalko:

$$N_{Ed} = \max(1,5 \cdot N_{MSU}; N_{MSN}) = \max(1,5 \cdot 93,4; 121) = 141,0 \text{ kN}$$

Kontrola po MSN:

Projektna nosilnost vešalke M24:

$$N_{Rd} = 178 \text{ kN} > N_{Ed} = 141 \text{ kN} \rightarrow i = 0,80$$

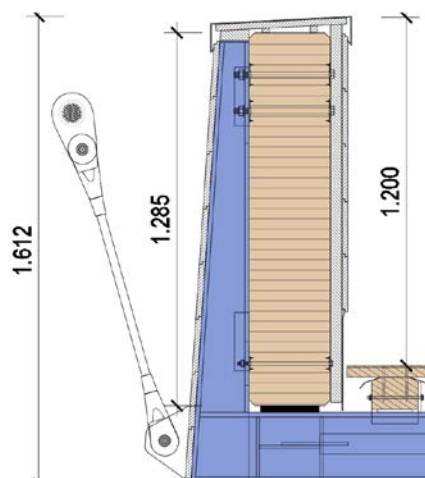
Kontrola po MSU:

$$\sigma_k = F_k / A_m = 93,4 \text{ kN} / 4,52 \text{ cm}^2 = 206,6 \text{ MPa} < 0,45 \cdot \sigma_{uk} = 0,45 \cdot 700,0 \text{ MPa} = 315 \text{ MPa}$$

OBJEKT	MOST CERŠAK	PZI PROJEKT	
PROJEKTANT	Ponting inženirski biro d.o.o., Jernej Maher univ.dipl.inž.grad	ŠT.NAČRTA	537-2/2020
KRAJ IN DATUM	Maribor, januar 2021	STRAN	118

6.6 DIMENZIONIRANJE JEKLENIH DETAJLOV

6.6.1 Dimenzioniranje jeklenega prijemališča za vešalke



Maksimalne projektne obremenitve na posamezno vešalko:

$$N_{Ed} = \max(1,5 \cdot N_{MSU}; N_{MSN}) = \max(1,5 \cdot 93,4; 121) = 141,0 \text{ kN}$$

Za dimenzioniranje stika so se določile pripadajoče sile v ravnini jeklenega detajla:

$$F_{\max} = 141,0 \text{ kN}$$

$$F_{\max, \text{hor}} = 48,3 \text{ kN} \quad (\text{141 kN} - \text{če upoštevamo maksimalno silo})$$

$$F_{\max, \text{ver}} = 135,6 \text{ kN} \quad (\text{141 kN} - \text{če upoštevamo maksimalno silo})$$

Dodatno je potrebno še upoštevati moment:

$$M = F \cdot e = 14,1 \text{ kNm}$$

Karakteristike prereza za analizo ($t=25 \text{ mm}$, $h_w = 250 \text{ mm}$, material S355):

$$A = 1,8 \times 25 = 45 \text{ cm}^2$$

$$W = 187,5 \text{ cm}^3$$

Klasifikacija prereza:

$$c/t = 13,8 < 33\varepsilon = 26,7 \rightarrow 1. \text{ razred kompaktnosti}$$

OBJEKT	MOST CERŠAK	PZI PROJEKT	
PROJEKTANT	Ponting inženirski biro d.o.o., Jernej Maher univ.dipl.inž.grad	ŠT.NAČRTA	537-2/2020
KRAJ IN DATUM	Maribor, januar 2021	STRAN	119

Prečni prerez v nategu:

$$N_{Ed} = 48,3 \text{ kN} (141 \text{ kN}) \leq N_{pl,Rd} = \frac{A \cdot f_y}{\gamma_{M0}} = 1597 \text{ kN} \rightarrow i = 0,09$$

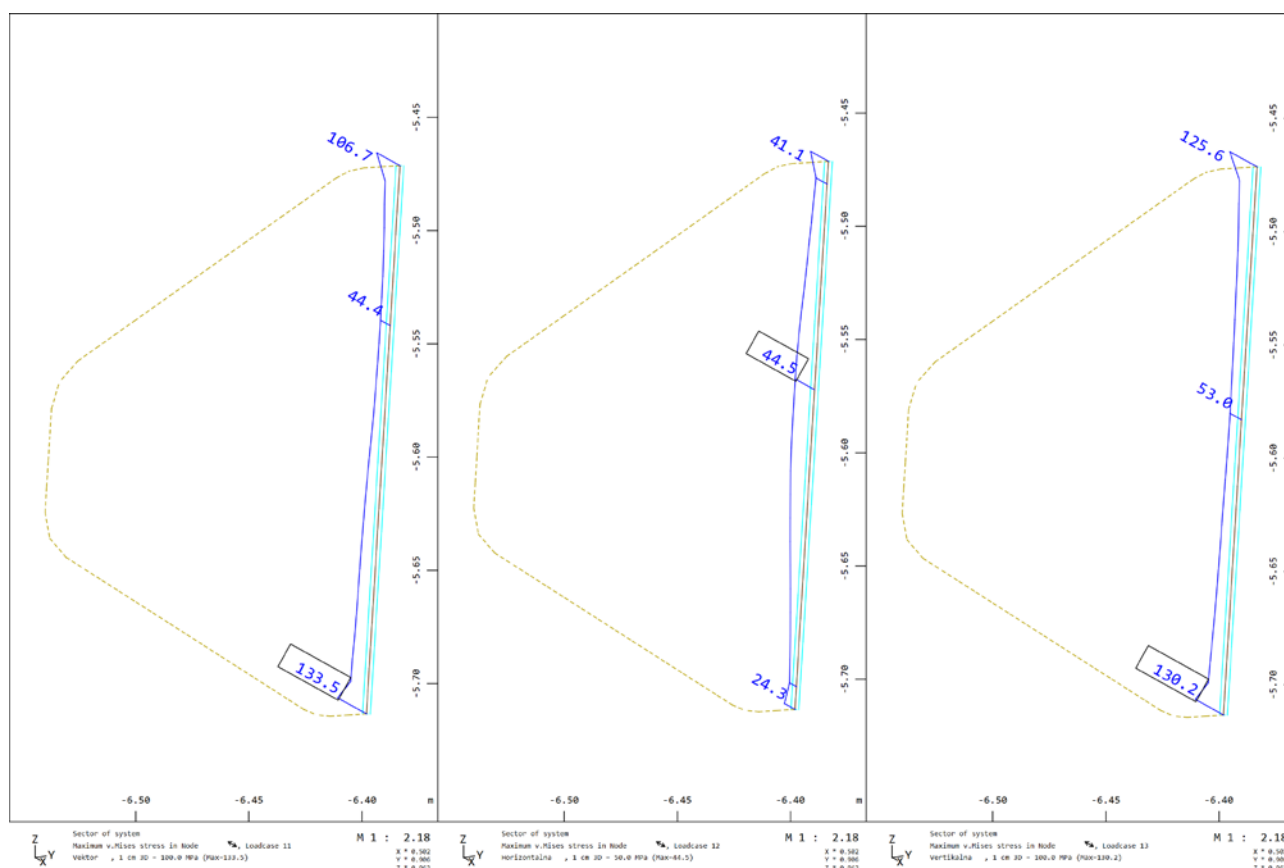
Prečni prerez v upogibu:

$$M_{Ed} = 14,1 \text{ kNm} \leq M_{pl,Rd} = \frac{W_{pl} \cdot f_y}{\gamma_{M0}} = 66,6 \text{ kNm} \rightarrow i = 0,21$$

Prečni prerez v strigu:

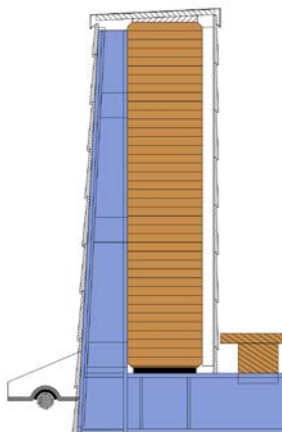
$$\frac{h_w}{t_w} = 13,9 \leq \frac{72\epsilon}{\eta} = 58,3$$

$$V_{Ed} = 135,6 \text{ kN} (141 \text{ kN}) \leq V_{pl,Rd} = \frac{A_v \cdot f_y}{\gamma_{M0} \cdot \sqrt{3}} = 922 \text{ kN} \rightarrow i = 0,16 < 50\% \cdot V_{pl,Rd}$$

Kontrola prereza s pomočjo programa Sofistik:

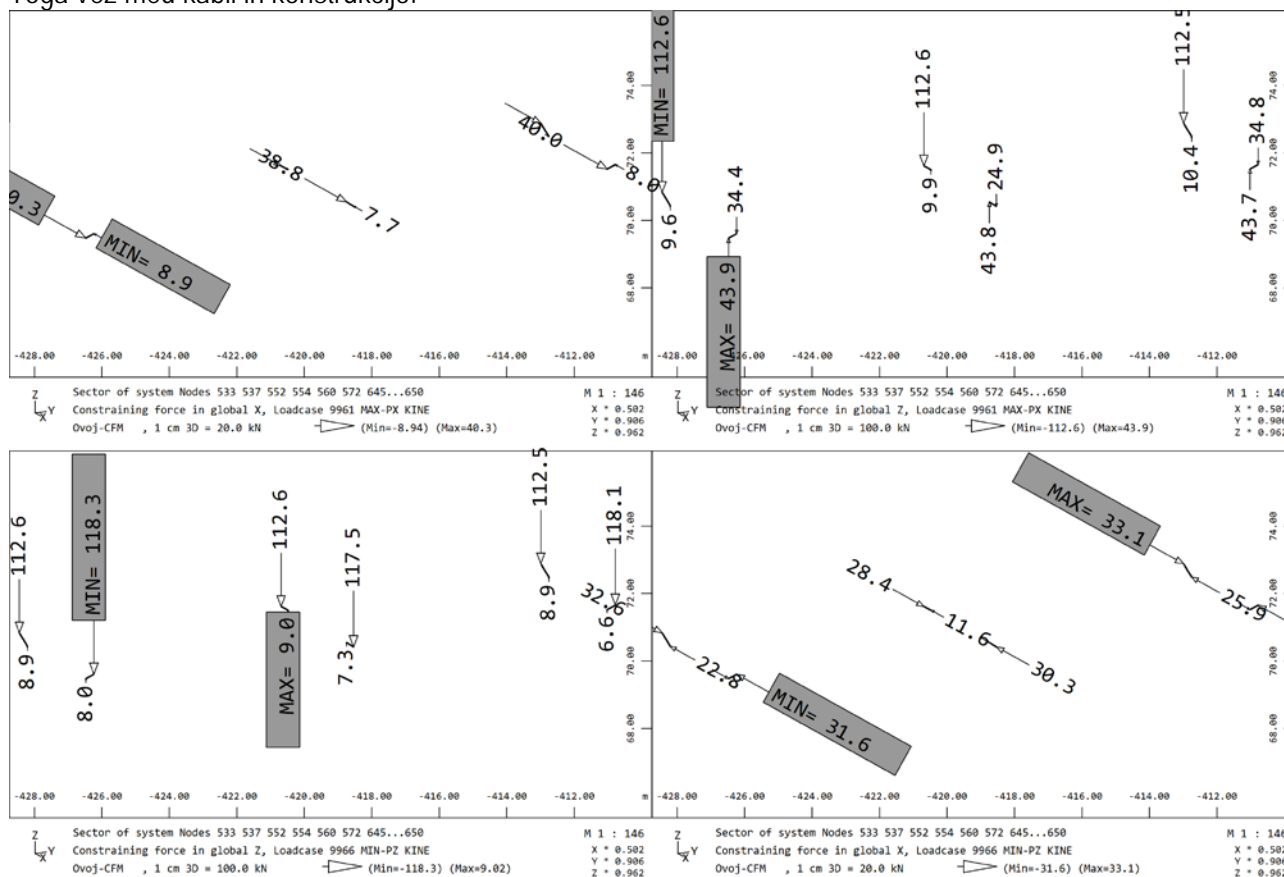
OBJEKT	MOST CERŠAK	PZI PROJEKT	
PROJEKTANT	Ponting inženirski biro d.o.o., Jernej Maher univ.dipl.inž.grad	ŠT.NAČRTA	537-2/2020
KRAJ IN DATUM	Maribor, januar 2021	STRAN	120

6.6.2 Dimenzioniranje jeklenega prijemališča za vzdolžne kable



Maksimalne sile so bile določene na dva načina, in sicer s pomočjo maksimalnih obremenitev v vzdolžnih kablji ter s pomočjo maksimalnih obremenitev v togih vezeh, ki so simulirale jeklena prijemališča za vzdolžne kable.

Toga vez med kabli in konstrukcijo:



	F_y [kN]	F_z [kN]	F_R [kN]
$F_{y,max}$	40,3	43,9	59,6
$F_{z,max}$	31,6	118,3	122,0

OBJEKT	MOST CERŠAK	PZI PROJEKT
PROJEKTANT	Ponting inženirski biro d.o.o., Jernej Maher univ.dipl.inž.grad	ŠT.NAČRTA 537-2/2020
KRAJ IN DATUM	Maribor, januar 2021	STRAN 121

Maksimalne projektne obremenitve na posamezen kabel:

$$N_{Ed} = \max(1,5 \cdot N_{MSU}; N_{MSN}) = \max(1,5 \cdot 1615; 2079) = 2423 \text{ kN}$$

Ob upoštevanju nadomestnega radija cca. 160m za vzdolžne kabel in rastra med prijemališči kablov na jeklenih detajlih $e=8,3\text{m}$ lahko določimo točkovne odklonske sile:

$$F = e \cdot q = e \cdot \frac{N}{R} = 8,6\text{m} \cdot \frac{2423\text{kN}}{160\text{m}} = 130,2 \text{ kN}$$

V analizi se bo upoštevala maksimalna sila, ki smo jo dobili v sklopu analize vešalk 141 kN.

V analizi je potrebno dodatno upoštevati moment:

$$M = F \cdot e = 141 \cdot 0,23 = 32,43 \text{ kNm}$$

Karakteristike prereza za analizo ($t_w=15 \text{ mm}$, $h_w = 200 \text{ mm}$, $t_f=15 \text{ mm}$, $b_f=200 \text{ mm}$, material S355), ob upoštevanju le vertikalnih pločevin:

$$A=2 \times 1,5 \times 20 = 60,0 \text{ cm}^2$$

$$W=2 \times 1,5 \times 20^2 / 6 = 200 \text{ cm}^3$$

Klasifikacija prereza:

Stojina: $c/t=12,3 < 33\varepsilon=26,7 \rightarrow 1. \text{ razred kompaknosti}$

Pasnica: $c/t= 2,0 < 9\varepsilon=7,29 \rightarrow 1. \text{ razred kompaknosti}$

OBJEKT	MOST CERŠAK	PZI PROJEKT	
PROJEKTANT	Ponting inženirski biro d.o.o., Jernej Maher univ.dipl.inž.grad	ŠT.NAČRTA	537-2/2020
KRAJ IN DATUM	Maribor, januar 2021	STRAN	122

Prečni prerez v nategu (upoštevamo celotno silo):

$$N_{Ed} = 141 \text{ kN} \leq N_{pl,Rd} = \frac{A \cdot f_y}{\gamma_{M0}} = 2130 \text{ kN} \rightarrow i = 0,07$$

Prečni prerez v upogibu:

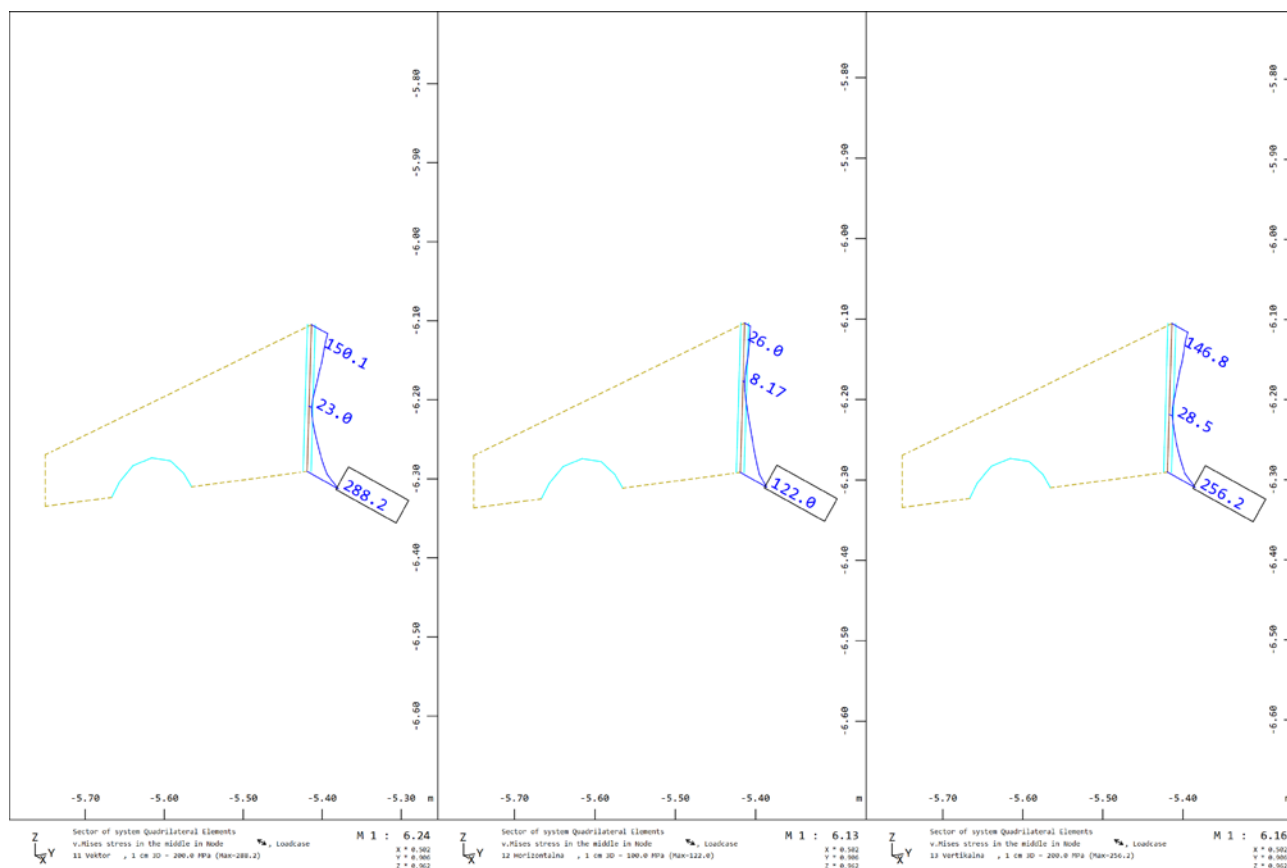
$$M_{Ed} = 32.43 \text{ kNm} \leq M_{pl,Rd} = \frac{W_{pl} \cdot f_y}{\gamma_{M0}} = 71,0 \text{ kNm} \rightarrow i = 0,46$$

Prečni prerez v strigu:

$$\frac{h_w}{t_w} = 13,3 \leq \frac{72\epsilon}{\eta} = 58,3$$

$$V_{Ed} = 141 \text{ kN} = V_{pl,Rd} = \frac{A_v \cdot f_y}{\gamma_{M0} \cdot \sqrt{3}} = 1229 \text{ kN} \rightarrow i = 0,12 < 50\% \cdot V_{pl,Rd}$$

Kontrola prereza s pomočjo programa Sofistik:

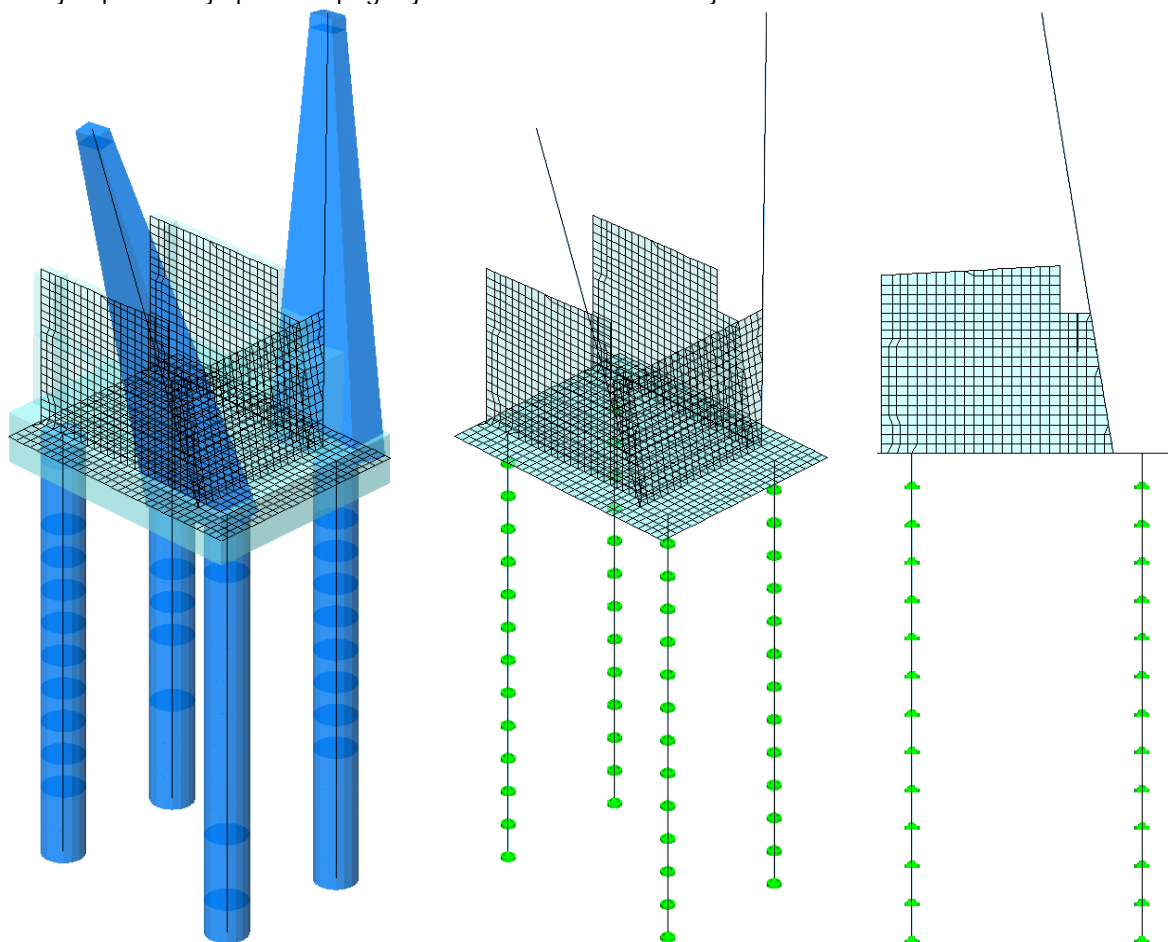


OBJEKT	MOST CERŠAK	PZI PROJEKT
PROJEKTANT	Ponting inženirski biro d.o.o., Jernej Maher univ.dipl.inž.grad	ŠT.NAČRTA 537-2/2020
KRAJ IN DATUM	Maribor, januar 2021	STRAN 123

7.0 PODPORA KONSTRUKCIJA

7.1 OPIS RAČUNSKEGA MODELA

Oporniki so analizirani na poenostavljenem okvirnem linijsko-ploskovnem modelu, sestavljenem iz elementov v dejanskih gabaritih konstrukcije. Zaradi popolne simetrije objekta in skoraj enakih robnih pogojev (temeljenje) na obeh straneh reke Mure, je za analizo opornikov uporabljen enotni model. Analiza opornikov je izvedena s programom Tower 3d Model Builder 7.0 in programskim paketom Cubus (Fagus 6.0). Podroben opis konstrukcije opornikov je podan v poglavju 1.0 Zasnova konstrukcije.



Prikaz računskega modela opornika

Piloti in piloni so modelirani kot linijski elementi, temeljna plošča, ležiščna greda, zaledna stena in krila pa kot ploskovni elementi. Togost podpor je privzeta v skladu z GG-poročilom in sicer:

sloj 1 (prod):	$k_{s,h} = 33.000 \text{ kN/m}^3$	$k_h = k_{s,h} \times B_{pil} = 39.600 \text{ kN/m}^2$
sloj 2 (zbit pesek in lapor):	$k_{s,h} = 157.000 \text{ kN/m}^3$	$k_h = k_{s,h} \times B_{pil} = 188.400 \text{ kN/m}^2$
		$k_v = 1.170.251 \text{ kN/m}^3$

Prav tako so v modelu upoštevane računske nosilnosti pilotov, tako v tlaku kot v nategu, tako da je omogočena razporeditev obremenitev v primeru polne izkoriščenosti posameznih pilotov. Dimenzije opornikov so določene tako, da so v nultem stanju (stalna teža), zadnji piloti še v tlaku ... ni negativnih reakcij. Nosilnosti pilotov (tlak/nateg) so privzete iz GG-poročila:

Piloti dolžine 14 m:

Celotni projektni odpor pilota na tlak $R_{c,d} = 7150 \text{ kN}$

Celotni projektni odpor pilota na nateg $R_{t,d} = 2480 \text{ kN}$

OBJEKT	MOST CERŠAK	PZI PROJEKT	
PROJEKTANT	Ponting inženirski biro d.o.o., Jernej Maher univ.dipl.inž.grad	ŠT.NAČRTA	537-2/2020
KRAJ IN DATUM	Maribor, januar 2021	STRAN	124

7.2 APLIKACIJA OBTEŽB

Poleg obtežb privzetih iz globalne analize objekta, ki so podane v poglavju 2.0, in aplicirane na model opornika ter maksimalnih obremenitev dobljenih v kablji (poglavje 6.3.1) so v analizi opornikov poleg lastne teže, aplicirane še obtežbe zemeljskih pritiskov:

- zemeljski pritiski (mirni zemeljski pritiski)

Izračun zemeljskih pritiskov je izveden na podlagi podatkov iz GG-poročila (Lamela) in sicer ...

nad izkopom (zasip opornikov – umetni nasip)

$$\gamma = 23 \text{ kN/m}^2$$

$$\varphi = 36^\circ$$

$$c = 0.0 \text{ kN/m}^2$$

pod izkopom (temeljna tla)

sloj 1 (prod) $\gamma = 21 \text{ kN/m}^2$

$$\varphi = 38^\circ$$

$$c = 0.0 \text{ kN/m}^2$$

sloj 2 (zbit pesek, lapor)

$$\gamma = 23 \text{ kN/m}^2$$

$$\varphi = 42^\circ$$

$$c = 0.0 \text{ kN/m}^2$$

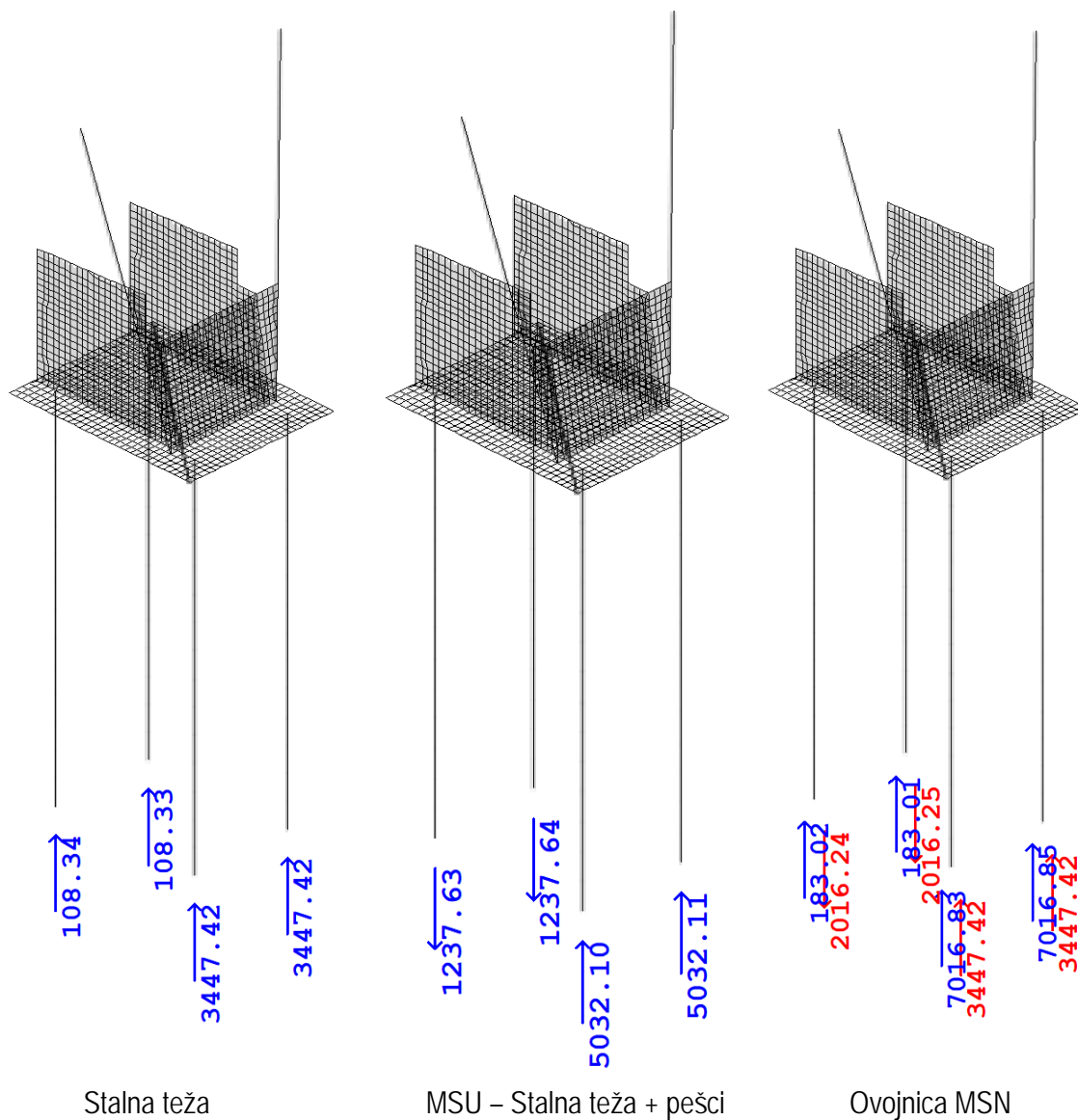
zemeljski pritiski na pilote se aplicirajo do nivoja osnove (zbit pesek, lapor ... sloj 2)

OBJEKT	MOST CERŠAK	PZI PROJEKT	
PROJEKTANT	Ponting inženirski biro d.o.o., Jernej Maher univ.dipl.inž.grad	ŠT.NAČRTA	537-2/2020
KRAJ IN DATUM	Maribor, januar 2021	STRAN	125

7.3 OBREMENTITVE IN DIMENZIONIRANJE

7.3.1 Piloti

7.3.1.1 Kontrola reakcij pod piloti



$R_{ST,min} = 108 \text{ kN} > 0 \text{ kN} \Rightarrow$ vsled stalne teže so vsi piloti tlačeni

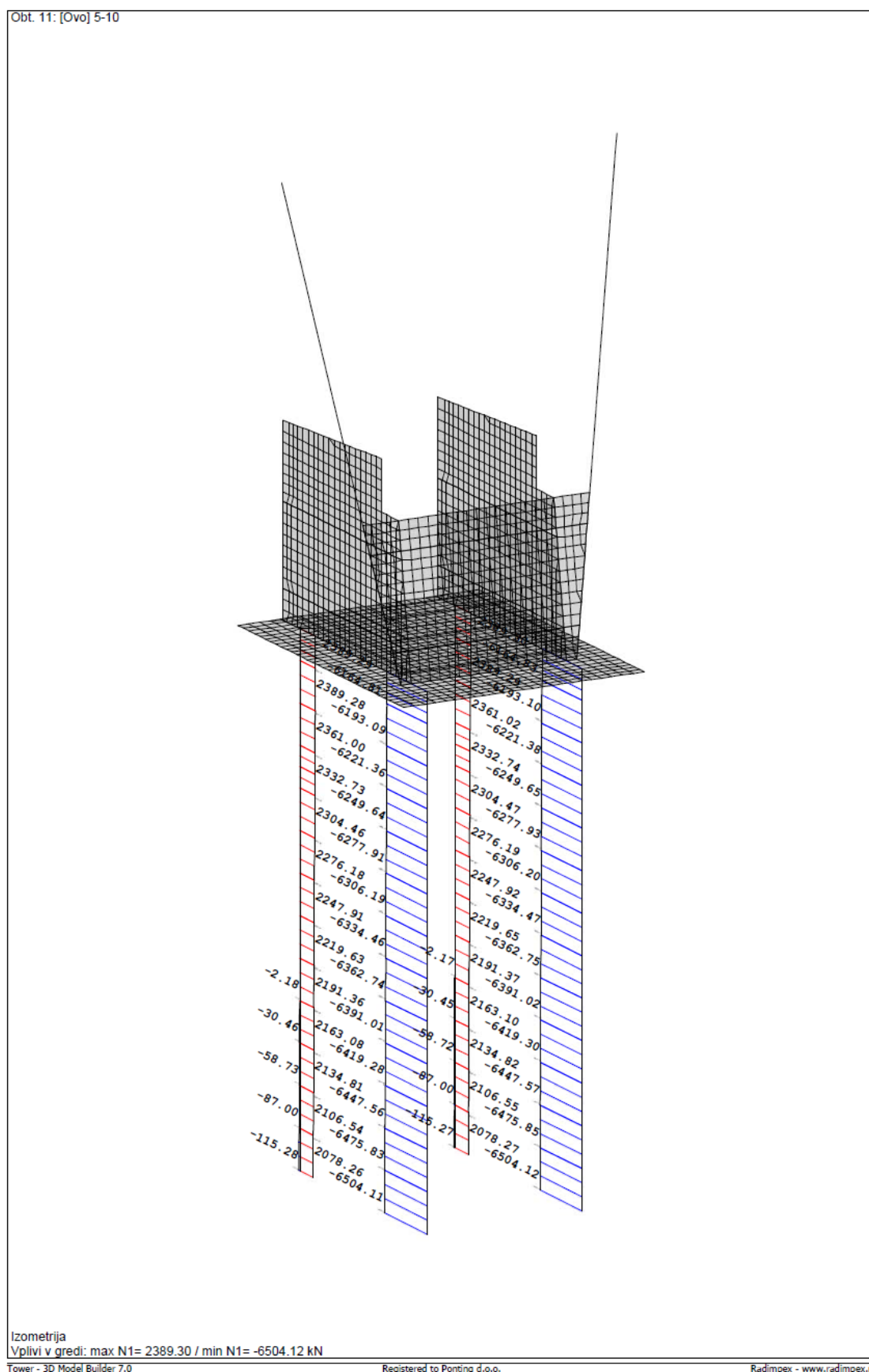
$R_{MSU,min} = -1237 \text{ kN} < R_{dop} = -2480 \text{ kN}$

$R_{MSN,max} = 7016 \text{ kN} < R_{dop} = 7150 \text{ kN}$

$R_{MSN,min} = -2016 \text{ kN} \Rightarrow$ natezna nosilnost pilota ni izkoriščena (-2480 kN)

OBJEKT	MOST CERŠAK	PZI PROJEKT	
PROJEKTANT	Ponting inženirski biro d.o.o., Jernej Maher univ.dipl.inž.grad	ŠT.NAČRTA	537-2/2020
KRAJ IN DATUM	Maribor, januar 2021	STRAN	126

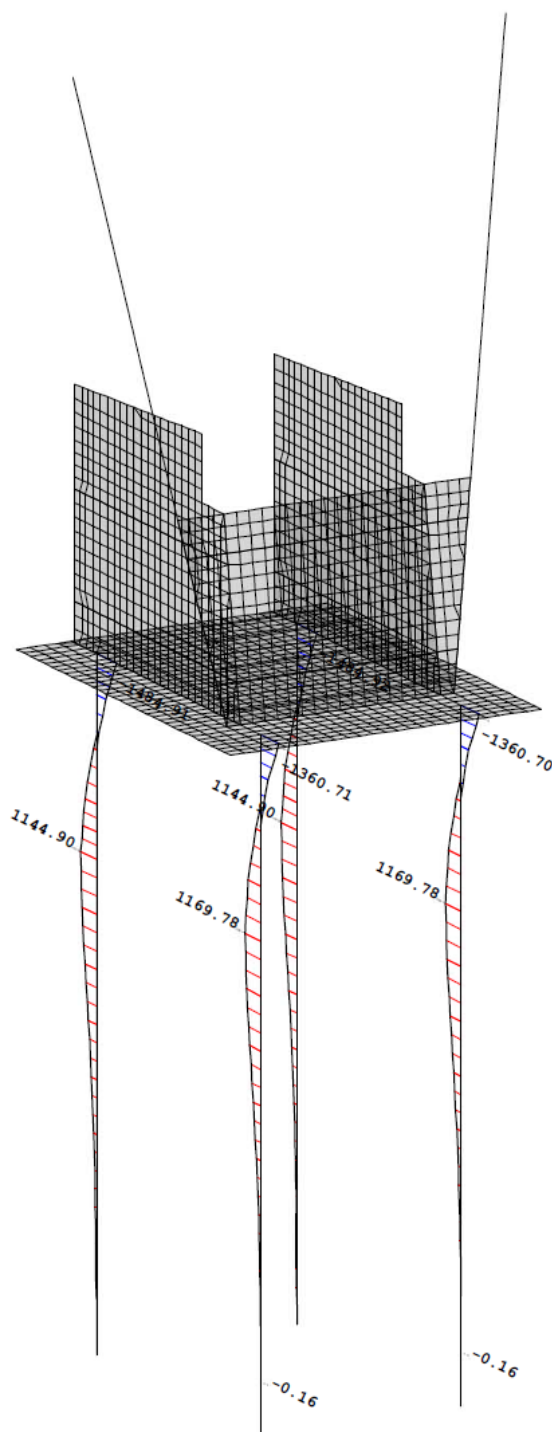
7.3.1.2 Pregled obremenitev in dimenzioniranje



Ovojnica MSN ... Nx (kN)

OBJEKT	MOST CERŠAK	PZI PROJEKT	
PROJEKTANT	Ponting inženirski biro d.o.o., Jernej Maher univ.dipl.inž.grad	ŠT.NAČRTA	537-2/2020
KRAJ IN DATUM	Maribor, januar 2021	STRAN	127

Obt. 11: [Ovo] 5-10



Izometrija

Vplivi v gredi: max M3= 13796.98 / min M3= -1484.92 kNm

Tower - 3D Model Builder 7.0

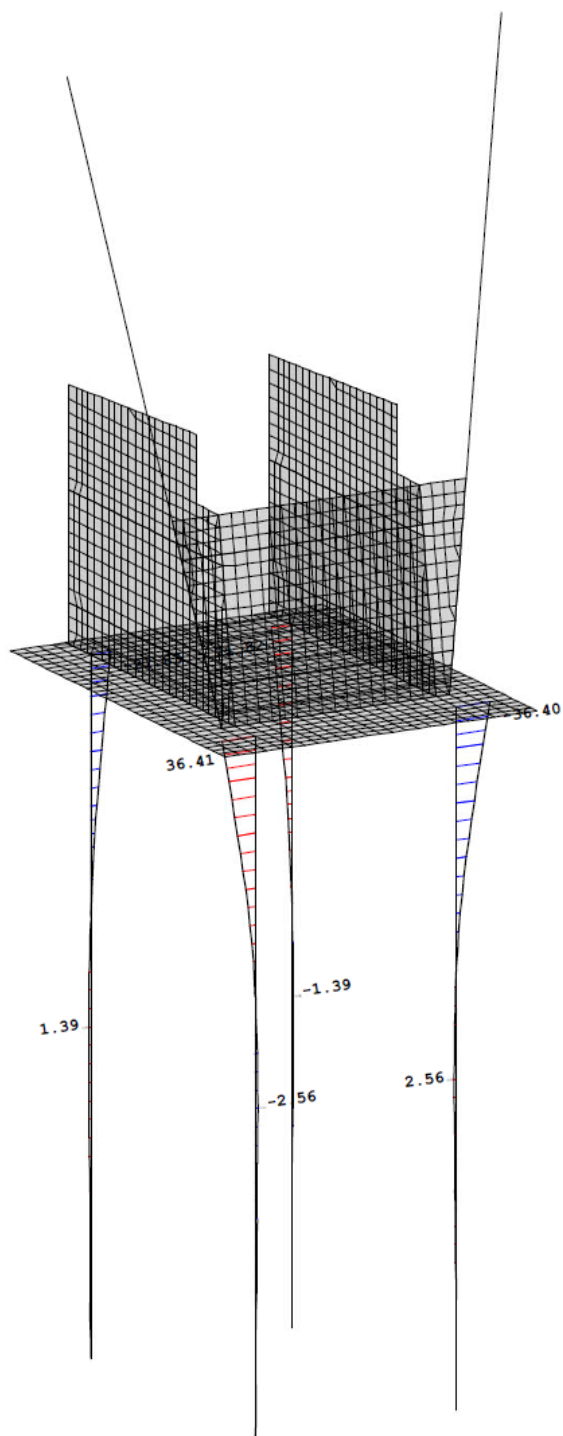
Registered to Ponting d.o.o.

Radimpex - www.radimpex.rs

Ovojnica MSN ... Mz (kNm)

OBJEKT	MOST CERŠAK	PZI PROJEKT	
PROJEKTANT	Ponting inženirski biro d.o.o., Jernej Maher univ.dipl.inž.grad	ŠT.NAČRTA	537-2/2020
KRAJ IN DATUM	Maribor, januar 2021	STRAN	128

Obt. 11: [Ovo] 5-10



Izometrija

Vplivi v gredi: max M2= 368.91 / min M2= -368.91 kNm

Tower - 3D Model Builder 7.0

Registered to Ponting d.o.o.

Radimpex - www.radimpex.rs

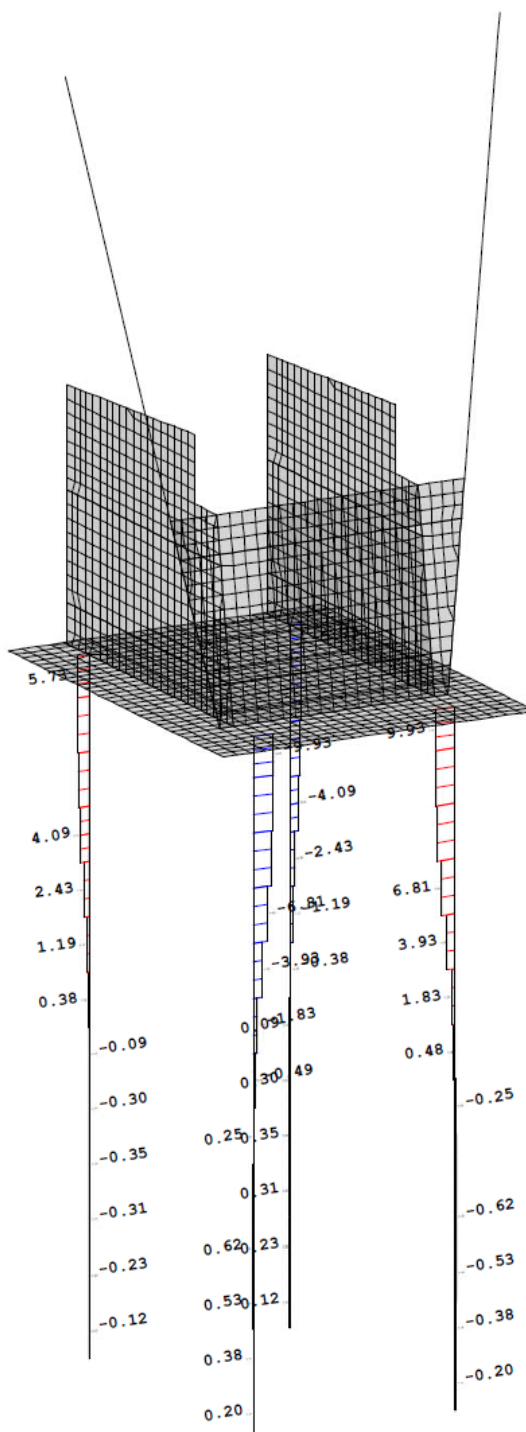
Ovojnica MSN ... My (kNm)

OBJEKT	MOST CERŠAK	PZI PROJEKT	
PROJEKTANT	Ponting inženirski biro d.o.o., Jernej Maher univ.dipl.inž.grad	ŠT.NAČRTA	537-2/2020
KRAJ IN DATUM	Maribor, januar 2021	STRAN	129



OBJEKT	MOST CERŠAK	P Z I P R O J E K T	
PROJEKTANT	Ponting inženirski biro d.o.o., Jernej Maher univ.dipl.inž.grad	ŠT.NAČRTA	537-2/2020
KRAJ IN DATUM	Maribor, januar 2021	STRAN	130

Obt. 11: [Ovo] 5-10



Izometrija

Vplivi v gredi: max T3= 115.02 / min T3= -115.15 kN

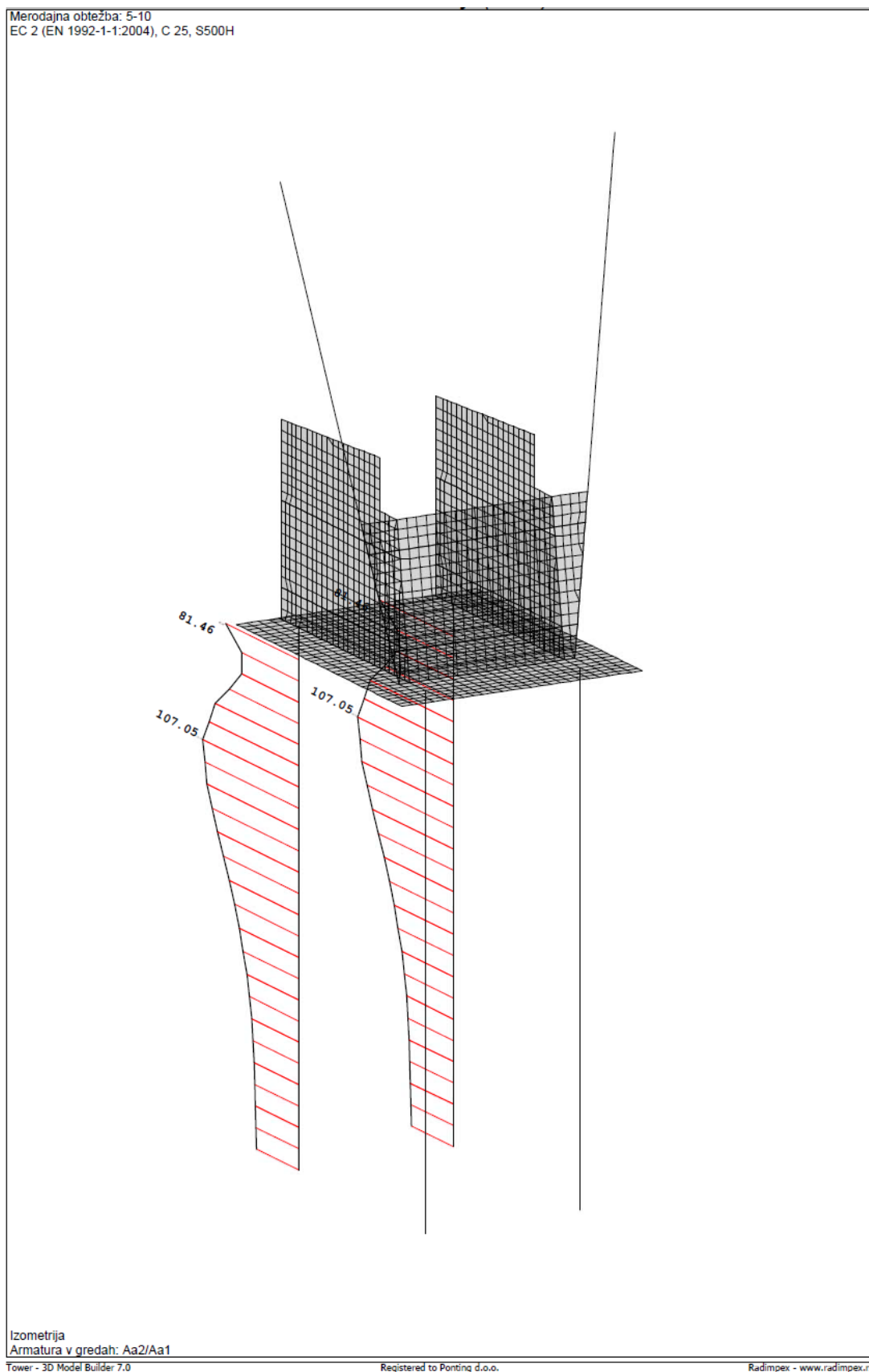
Tower - 3D Model Builder 7.0

Registered to Ponting d.o.o.

Radimpex - www.radimpex.rs

Ovojnica MSN ... Ty (kN)

OBJEKT	MOST CERŠAK	PZI PROJEKT	
PROJEKTANT	Ponting inženirski biro d.o.o., Jernej Maher univ.dipl.inž.grad	ŠT.NAČRTA	537-2/2020
KRAJ IN DATUM	Maribor, januar 2021	STRAN	131

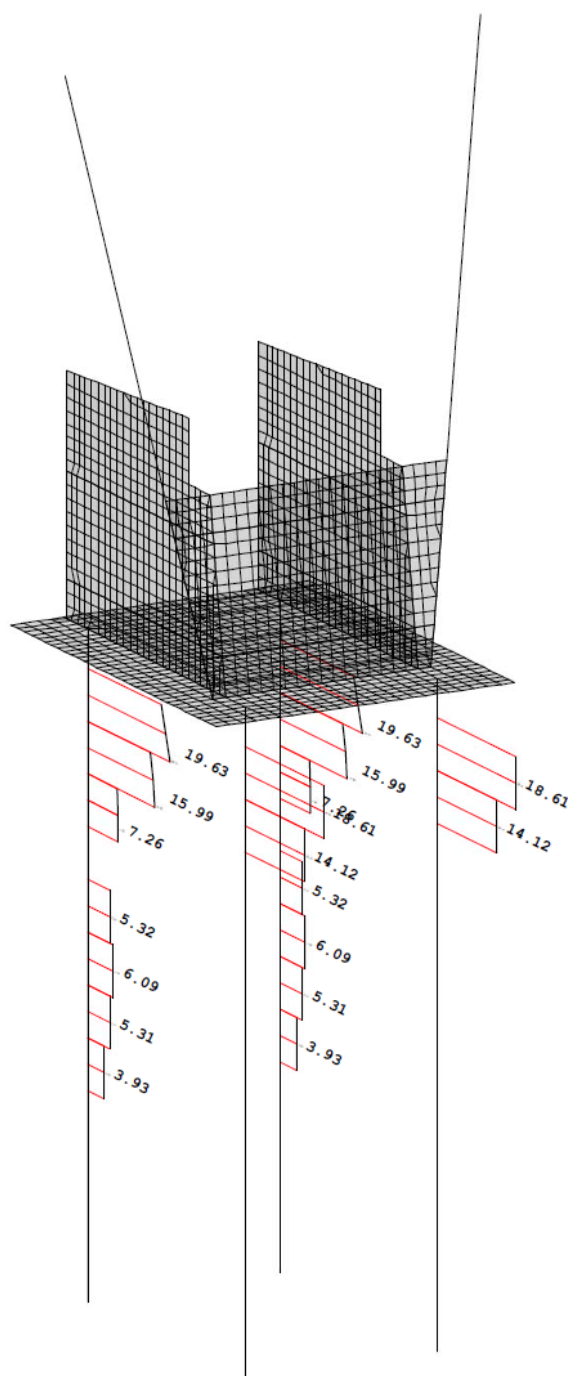
Mejno stanje nosilnosti - Dimenzioniranje armature

Računsko potrebna vzdolžna armatura ... piloti spredaj $A_{sd} = 0 \text{ cm}^2 = A_{sd,min}$

Računsko potrebna vzdolžna armatura ... piloti zadaj $A_{sd} = 107 \text{ cm}^2$

OBJEKT	MOST CERŠAK	PZI PROJEKT	
PROJEKTANT	Ponting inženirski biro d.o.o., Jernej Maher univ.dipl.inž.grad	ŠT.NAČRTA	537-2/2020
KRAJ IN DATUM	Maribor, januar 2021	STRAN	132

Merodajna obtežba: 5-10
EC 2 (EN 1992-1-1:2004), C 25, S500H



Izometrija
Armatura v gredah: Aa, st

Tower - 3D Model Builder 7.0

Registered to Ponting d.o.o.

Radimpex - www.radimpex.rs

Računsko potrebna stremenska armatura ... piloti spredaj $A_{sd} = 18.61 \text{ cm}^2/\text{m}'$

Računsko potrebna stremenska armatura ... piloti zadaj $A_{sd} = 19.63 \text{ cm}^2/\text{m}'$

OBJEKT	MOST CERŠAK	PZI PROJEKT	
PROJEKTANT	Ponting inženirski biro d.o.o., Jernej Maher univ.dipl.inž.grad	ŠT.NAČRTA	537-2/2020
KRAJ IN DATUM	Maribor, januar 2021	STRAN	133

Pilot spredaj

Greda 802-595

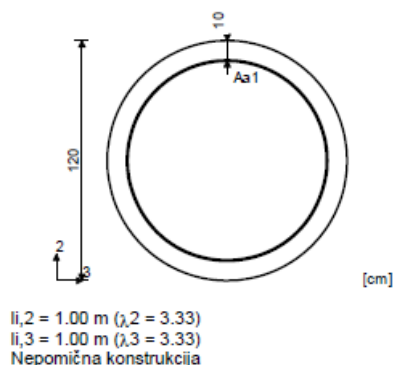
EC 2 (EN 1992-1-1:2004)

C 25 ($\gamma_C = 1.50$, $\gamma_S = 1.15$) [SP]

S500H

Dimenzioniranje skupine obtežnih

primerov: 5-10 ()

Prerez 1-1 x = 0.50m

Merodajna kombinacija za upogib:

1.00xV

N1u = -3074.45 kN

M2u = 11.80 kNm

M3u = -150.17 kNm

Povečanje upogibnega momenta zaradi uklona

 $\Delta e_2 = 3.7 \times 10^{-3} + 0.0 \times 10^{-3} = 3.7$ cm| ΔM_2 | = 112.73 kNm $\Delta e_3 = 3.7 \times 10^{-3} + 0.0 \times 10^{-3} = 3.7$ cm| ΔM_3 | = 112.73 kNm

Merodajna kombinacija za strig:

1.00xX

T2u = -801.02 kN

T3u = -9.47 kN

M1u = 0.00 kNm

 $\epsilon_b/\epsilon_a = 10.000/10.000 \%$ Aa1 = 0.00 cm²Aa2 = 0.00 cm²Aa3 = 0.00 cm²Aa4 = 0.00 cm²Aa,st = 18.61 cm²/m (m=1)

Pilot zadaj

Greda 45-26

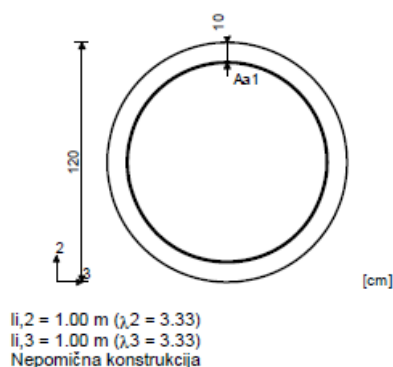
EC 2 (EN 1992-1-1:2004)

C 25 ($\gamma_C = 1.50$, $\gamma_S = 1.15$) [SP]

S500H

Dimenzioniranje skupine obtežnih

primerov: 5-10 ()

Prerez 1-1 x = 1.00m

Merodajna kombinacija za upogib:

1.00xIX

N1u = 2361.00 kN

M2u = -11.39 kNm

M3u = 204.96 kNm

Merodajna kombinacija za strig:

1.00xX

T2u = -844.91 kN

T3u = 5.59 kN

M1u = 0.00 kNm

 $\epsilon_b/\epsilon_a = -1.707/25.000 \%$ Aa1 = 63.24 cm²Aa2 = 0.00 cm²Aa3 = 0.00 cm²Aa4 = 0.00 cm²Aa,st = 19.63 cm²/m (m=1)Greda 18-15

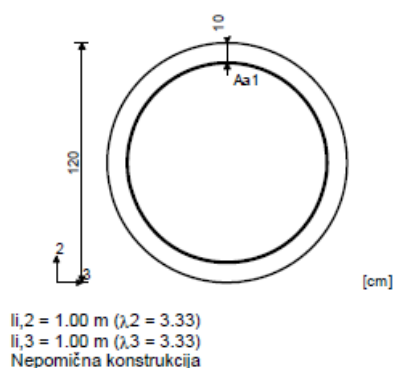
EC 2 (EN 1992-1-1:2004)

C 25 ($\gamma_C = 1.50$, $\gamma_S = 1.15$) [SP]

S500H

Dimenzioniranje skupine obtežnih

primerov: 5-10 ()

Prerez 1-1 x = 0.00m

Merodajna kombinacija za upogib:

1.00xIX

N1u = 2304.46 kN

M2u = -2.51 kNm

M3u = 1144.90 kNm

Merodajna kombinacija za strig:

1.00xIX

T2u = 70.75 kN

T3u = 2.32 kN

M1u = 0.00 kNm

 $\epsilon_b/\epsilon_a = -3.500/19.689 \%$ Aa1 = 107.05 cm²Aa2 = 0.00 cm²Aa3 = 0.00 cm²Aa4 = 0.00 cm²Aa,st = 0.00 cm²/m (m=1)

OBJEKT	MOST CERŠAK	PZI PROJEKT
PROJEKTANT	Ponting inženirski biro d.o.o., Jernej Maher univ.dipl.inž.grad	ŠT.NAČRTA 537-2/2020
KRAJ IN DATUM	Maribor, januar 2021	STRAN 134

Minimalna vzdolžna armatura pilota:

$$A_c > 1.0 \text{ m}^2 \Rightarrow A_{s,\min} \geq 0.0025 \times A_c \geq 28.3 \text{ cm}^2$$

$$A_{s,\min} = 20 \text{ } \varnothing 14/15 = 30.8 \text{ cm}^2$$

Izbrana vzdolžna armatura ...

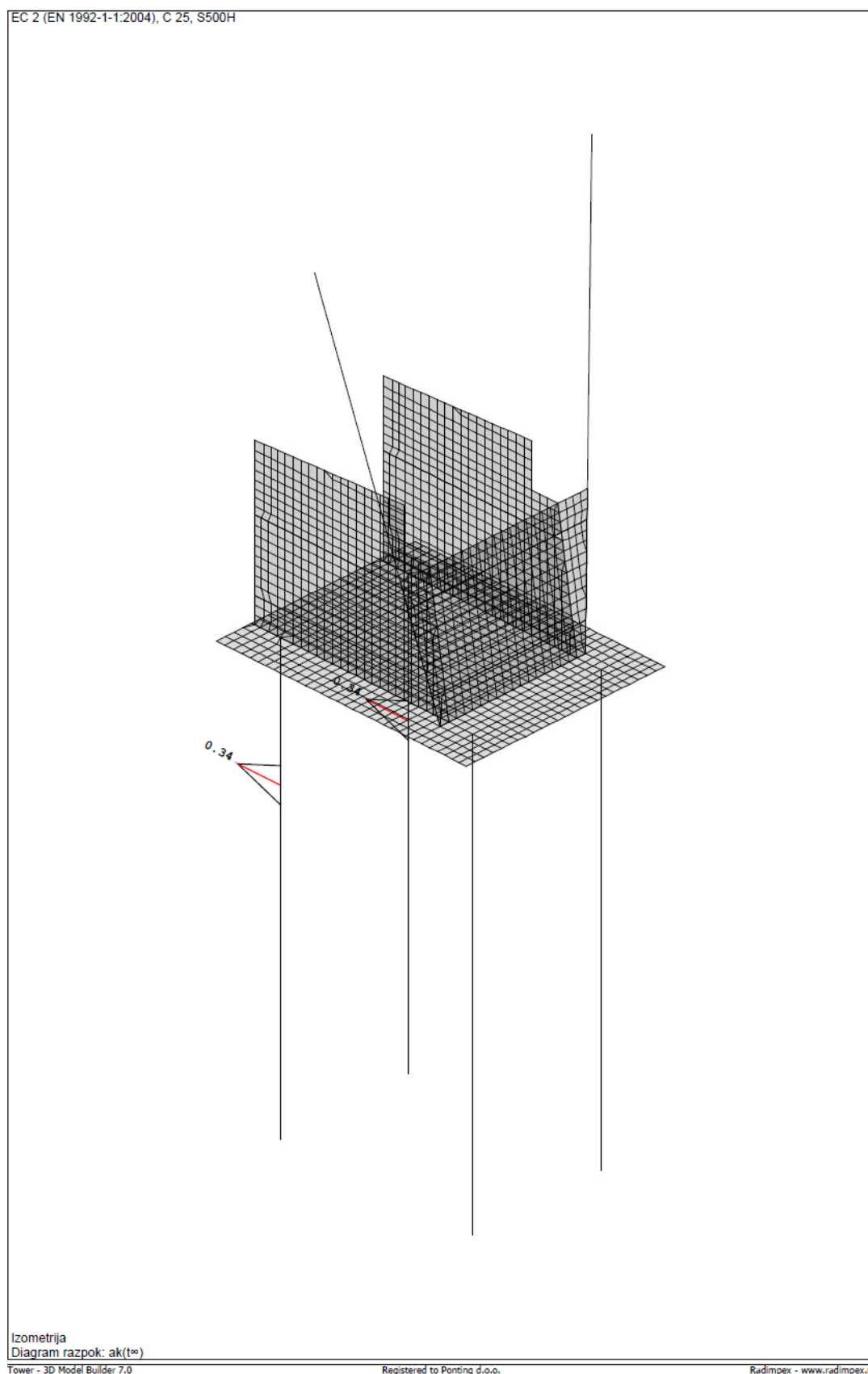
piloti zadaj $24\varnothing 25/14 = 117.8 \text{ cm}^2$
 piloti spredaj $24\varnothing 20/15 = 75.4 \text{ cm}^2$

Izbrana stremenska armatura ...

piloti zadaj $\varnothing 14/15 = 20.5 \text{ cm}^2/\text{m}'$ (zgoraj; $L < 4.00 \text{ m}$)
 $\varnothing 14/20 = 15.4 \text{ cm}^2/\text{m}'$ (spodaj; $L > 4.00 \text{ m}$)
 $\varnothing 14/15 = 20.5 \text{ cm}^2/\text{m}'$ (v območju preklapov)

piloti spredaj $\varnothing 14/15 = 20.5 \text{ cm}^2/\text{m}'$ (zgoraj; $L < 4.00 \text{ m}$)
 $\varnothing 14/20 = 15.4 \text{ cm}^2/\text{m}'$ (spodaj; $L > 4.00 \text{ m}$)
 $\varnothing 14/15 = 20.5 \text{ cm}^2/\text{m}'$ (v območju preklapov)

OBJEKT	MOST CERŠAK	PZI PROJEKT	
PROJEKTANT	Ponting inženirski biro d.o.o., Jernej Maher univ.dipl.inž.grad	ŠT.NAČRTA	537-2/2020
KRAJ IN DATUM	Maribor, januar 2021	STRAN	135

Mejno stanje uporabnosti - Kontrola razpok (navidezno stalna kombinacija obtežb):

$w_k = 0.34 \text{ mm} \geq 0.3 \text{ mm} \Rightarrow$ povečati vzdolžno armaturo zaradi omejitve razpok

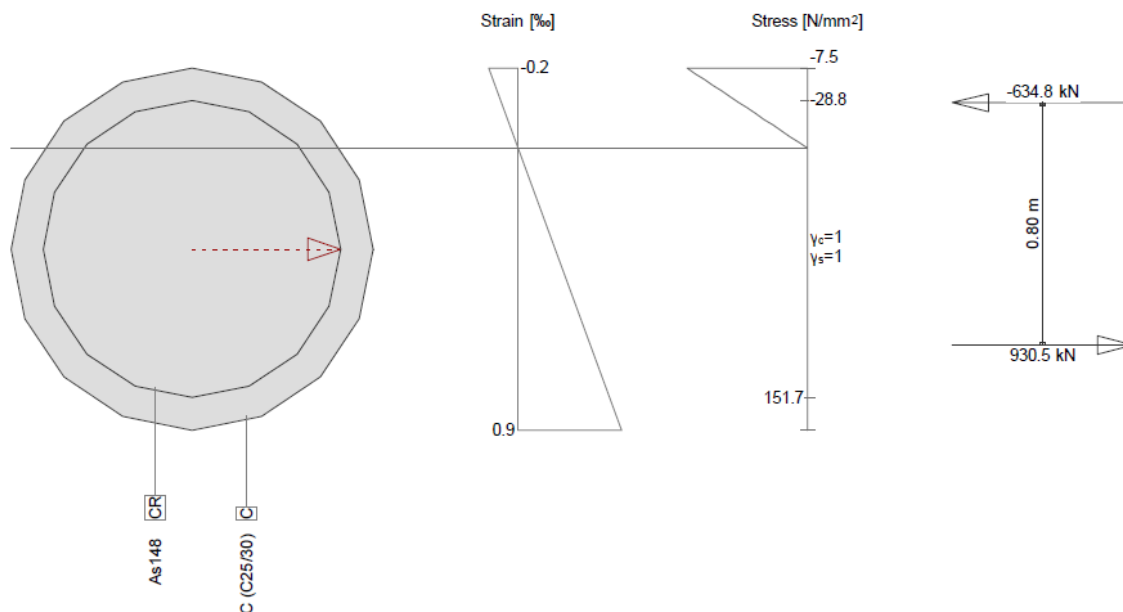
OBJEKT	MOST CERŠAK	PZI PROJEKT	
PROJEKTANT	Ponting inženirski biro d.o.o., Jernej Maher univ.dipl.inž.grad	ŠT.NAČRTA	537-2/2020
KRAJ IN DATUM	Maribor, januar 2021	STRAN	136

Izbrana vzdolžna armatura za omejitev razpok:

piloti zadaj

 $24\varnothing 28/14 = 147.6 \text{ cm}^2$ Cross-section PILOT (): Stress analysis with given forces $N_x=296.0; M_y=604.0$;

Scale 1 :21.9



Stress analysis Column-Cross section: PILOT

Action forces

No.	AP	P	Bending and axial force			Shear forces and torsion			Remarks
			N [kN]	M_y [kNm]	M_z [kNm]	V_y [kN]	V_z [kN]	T [kNm]	
1	!SLS		296.0	604.0	0				-

Analysis-Parameters "SLS", Code: Eurocode EN/EN

ID	σ -e-Diagram		Strain Limits			σ_s [N/mm²]	α_{cc} [-]	γ_c [-]	γ_s [-]	Various parameters			
	c	s	ϵ_{c2} [‰]	ϵ_{cu3} [‰]	ϵ_{ud} [‰]					θ [°]	ϕ [°]		
!SLS	1/0	1				200.0	1.00	1.00	1.00	45.00	0		

Extreme stresses and strain

Name	Class	y_q [m]	z_q [m]	ϵ [‰]	σ_d [N/mm²]	γ [°]
C	C25/30	0	0.60	-0.2	-7.5	1.00
C	C25/30	0	-0.60	0.9	0	1.00
CR	B500B	0	0.49	-0.1	-28.8	1.00
CR	B500B	0	-0.49	0.8	151.7	1.00

Stresses in homogeneous cross section (linear material properties)

Name	Weight	y_q [m]	z_q [m]	σ_{elast} [N/mm²]
C	1.00	0	0.60	-3.3
C	1.00	0	-0.60	3.8

alfa-e = 6,4516 razmerje elastičnih modulov

effRO = 0,1004 efektni procent armiranja

Esm-Ecm = 0,000643 razlika deformacij armature in betona med razpokami

Sr,max = 0,353 m maksimalni razmak razpok

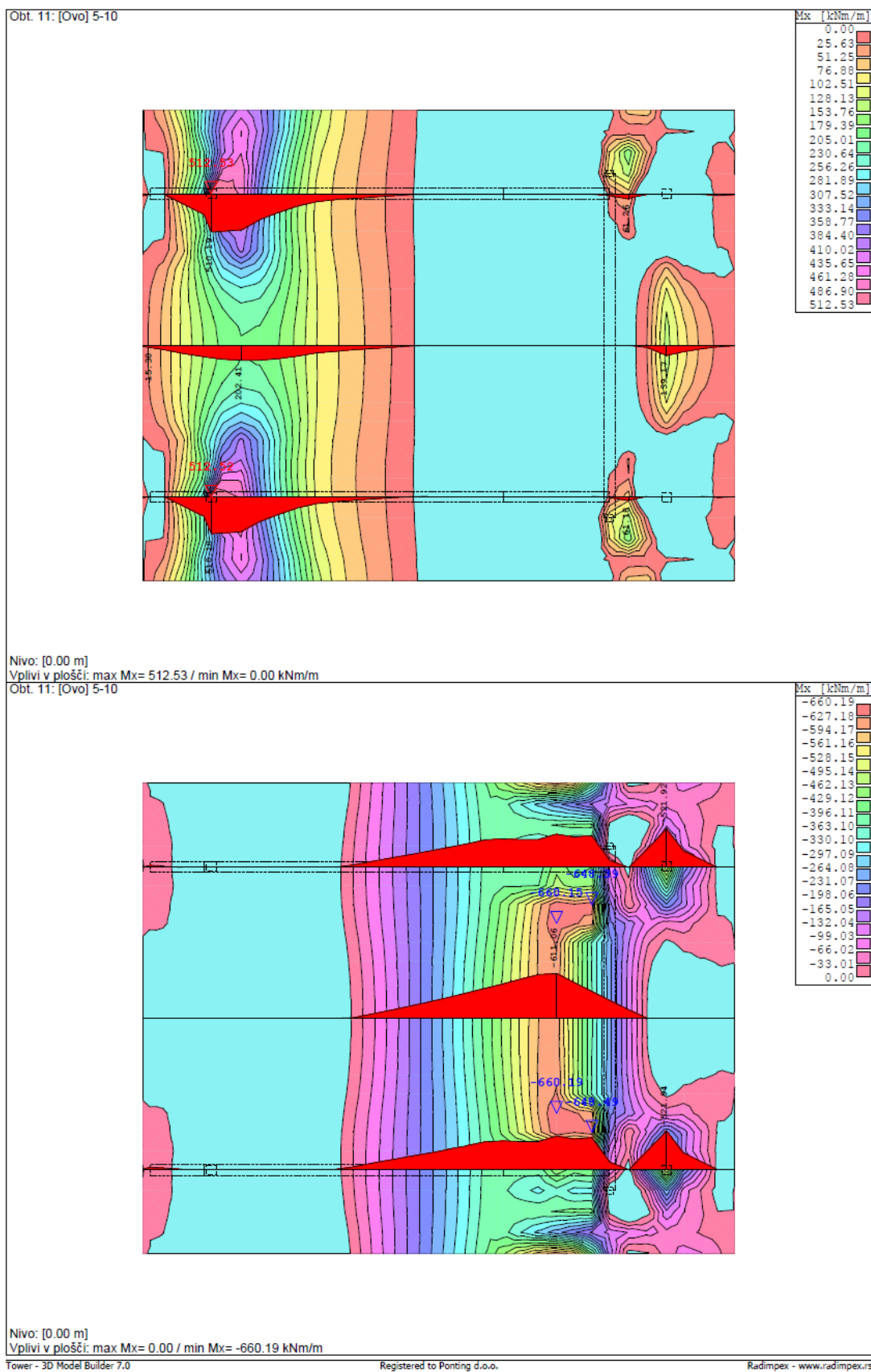
Wk = 0,23 mm karakteristična razpoka

 $w_k = 0,23 \text{ mm} \leq 0.300 \text{ mm} \dots \text{OK}$

OBJEKT	MOST CERŠAK	PZI PROJEKT	
PROJEKTANT	Ponting inženirski biro d.o.o., Jernej Maher univ.dipl.inž.grad	ŠT.NAČRTA	537-2/2020
KRAJ IN DATUM	Maribor, januar 2021	STRAN	137

7.3.2 Pilotna blazina

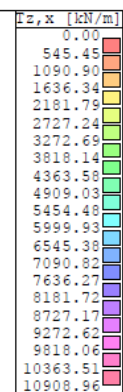
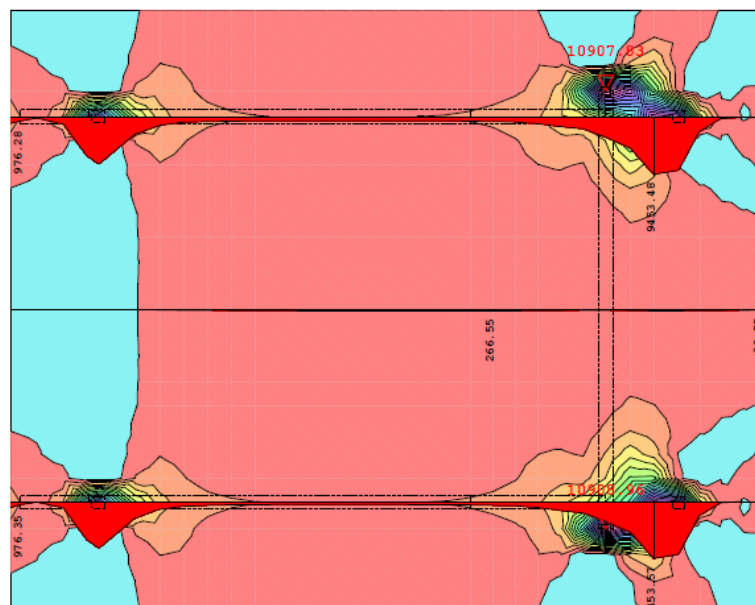
7.3.2.1 Pregled obremenitev in dimenzioniranje



OBJEKT	MOST CERŠAK	PZI PROJEKT	
PROJEKTANT	Ponting inženirski biro d.o.o., Jernej Maher univ.dipl.inž.grad	ŠT.NAČRTA	537-2/2020
KRAJ IN DATUM	Maribor, januar 2021	STRAN	138

MSN - Ovojnice upogibnih momentov M_x – vzdolžna smer (kNm/m')

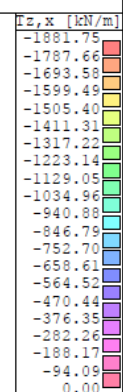
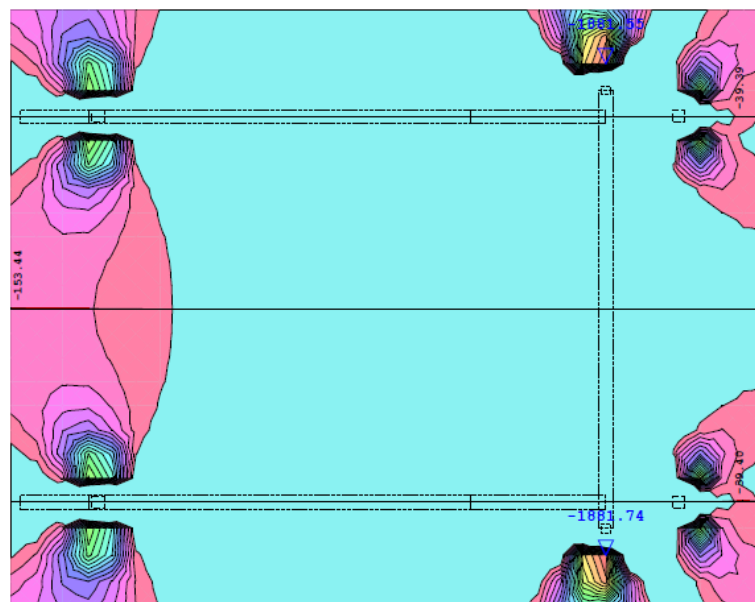
Obt. 11: [Ovo] 5-10



Nivo: [0.00 m]

Vplivi v plošči: max $T_{z,x}$ = 10908.96 / min $T_{z,x}$ = 0.00 kN/m

Obt. 11: [Ovo] 5-10



Nivo: [0.00 m]

Vplivi v plošči: max $T_{z,x}$ = 0.00 / min $T_{z,x}$ = -1881.74 kN/m

Tower - 3D Model Builder 7.0

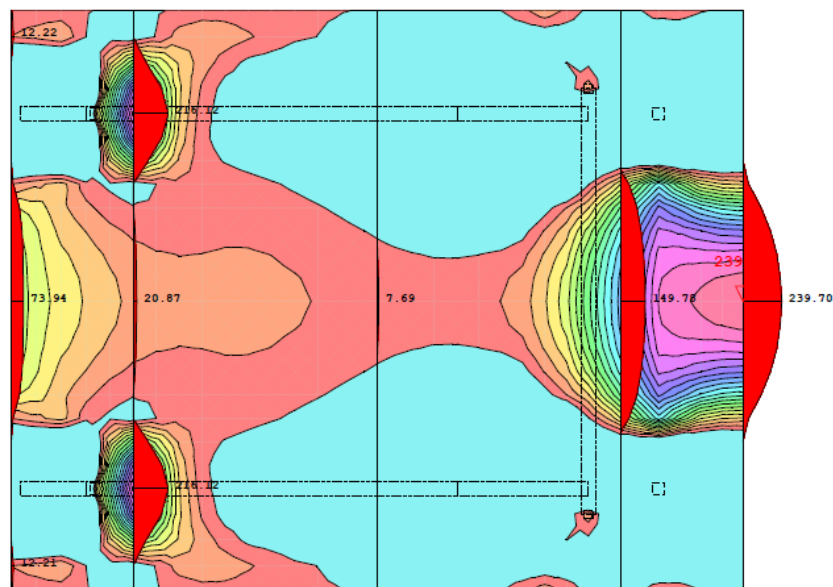
Registered to Ponting d.o.o.

Radimpex - www.radimpex.rs

MSN - Ovojnice prečnih sil T_{zx} – vzdolžna smer (kN/m')

OBJEKT	MOST CERŠAK	PZI PROJEKT	
PROJEKTANT	Ponting inženirski biro d.o.o., Jernej Maher univ.dipl.inž.grad	ŠT.NAČRTA	537-2/2020
KRAJ IN DATUM	Maribor, januar 2021	STRAN	139

Obt. 11: [Ovo] 5-10



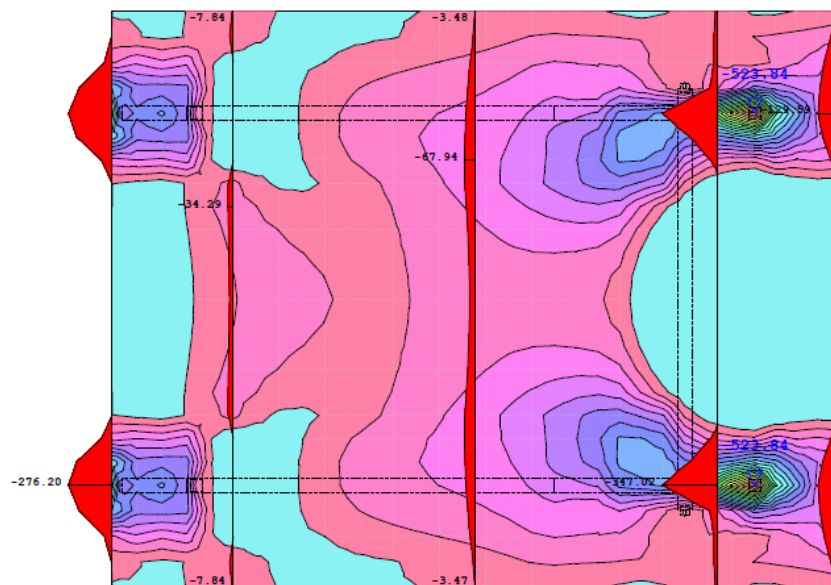
My [kNm/m]

0.00
11.99
23.97
35.96
47.94
59.93
71.91
83.90
95.88
107.87
119.86
131.84
143.83
155.81
167.80
179.78
191.77
203.75
215.74
227.73
239.71

Nivo: [0.00 m]

Vplivi v plošči: max My= 239.70 / min My= 0.00 kNm/m

Obt. 11: [Ovo] 5-10



My [kNm/m]

-523.84
-497.65
-471.46
-445.26
-419.07
-392.88
-366.69
-340.50
-314.30
-288.11
-261.92
-235.73
-209.54
-183.34
-157.15
-130.96
-104.77
-78.58
-52.38
-26.19
0.00

Nivo: [0.00 m]

Vplivi v plošči: max My= 0.00 / min My= -523.84 kNm/m

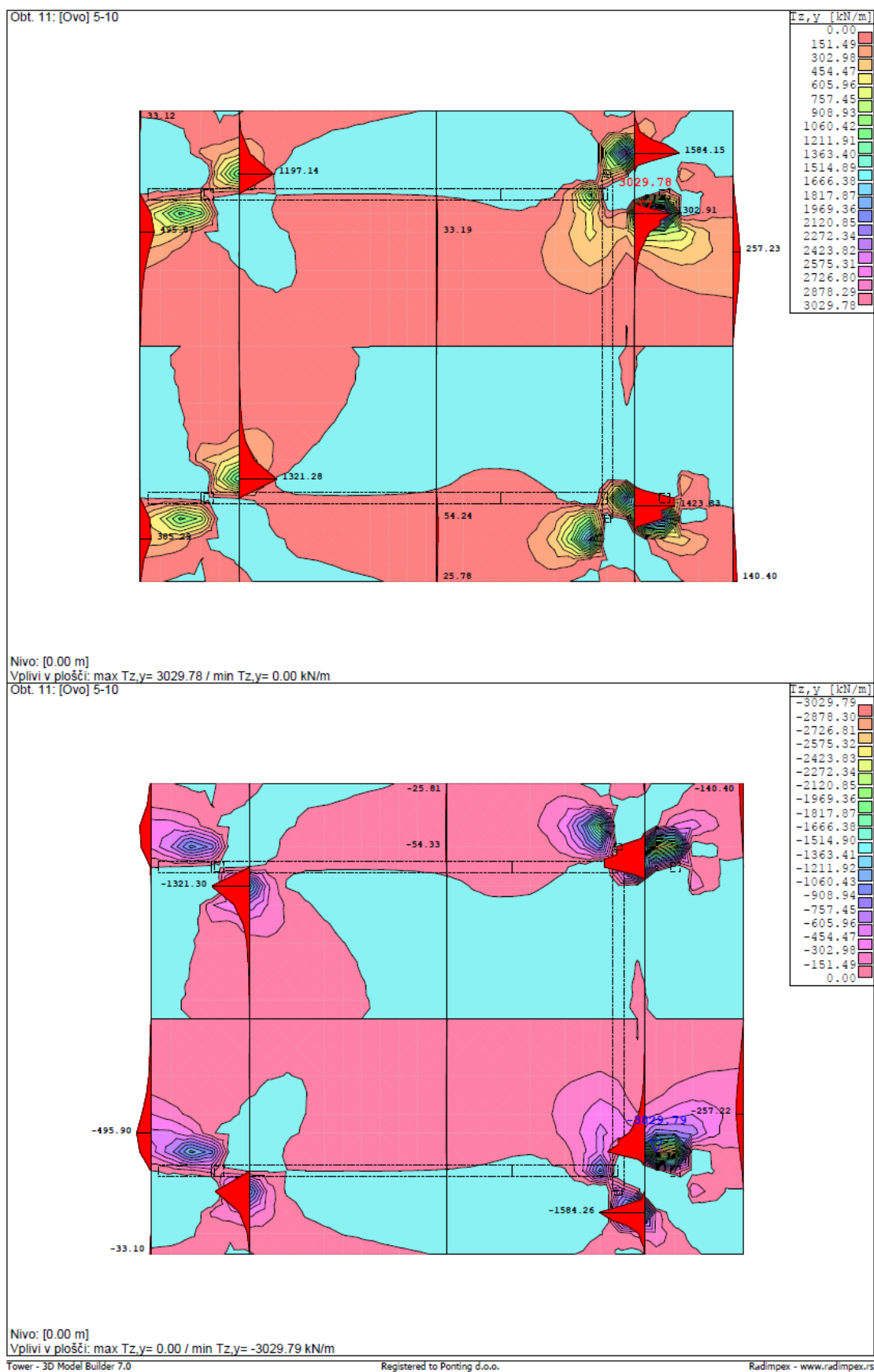
Tower - 3D Model Builder 7.0

Registered to Ponting d.o.o.

Radimpex - www.radimpex.rs

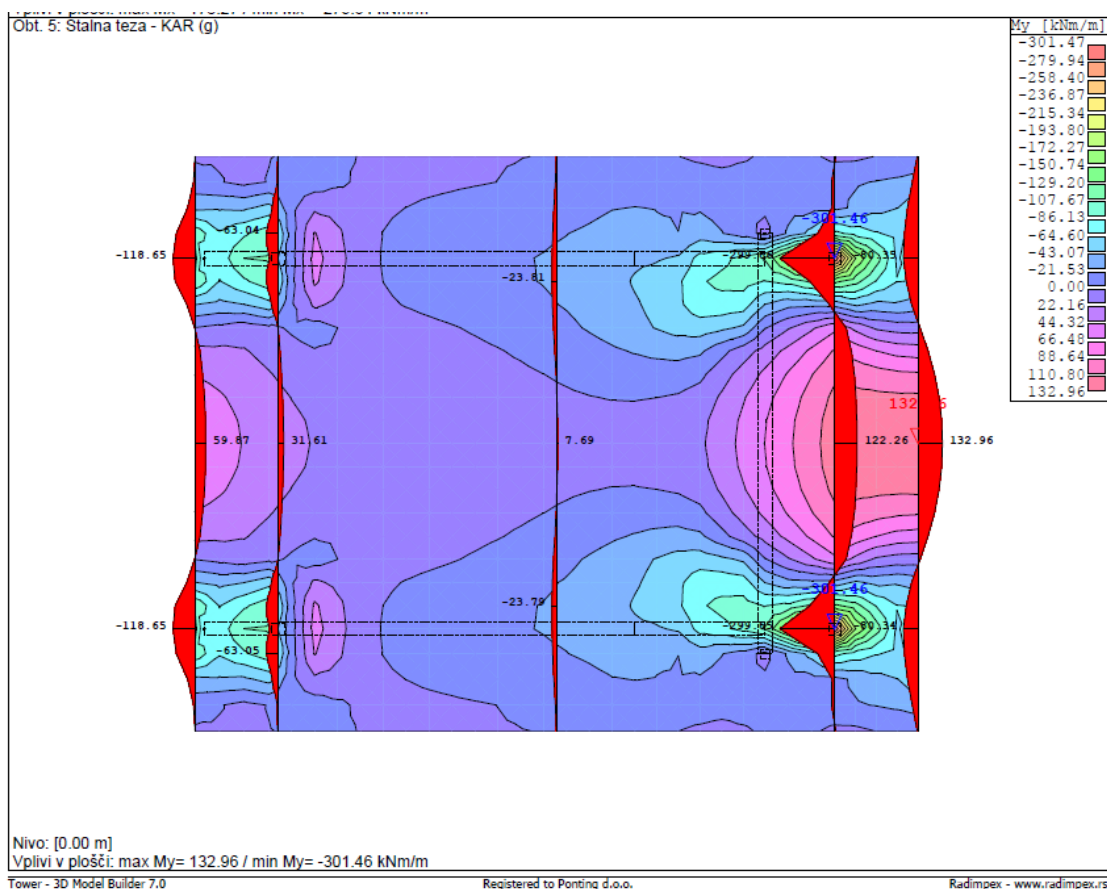
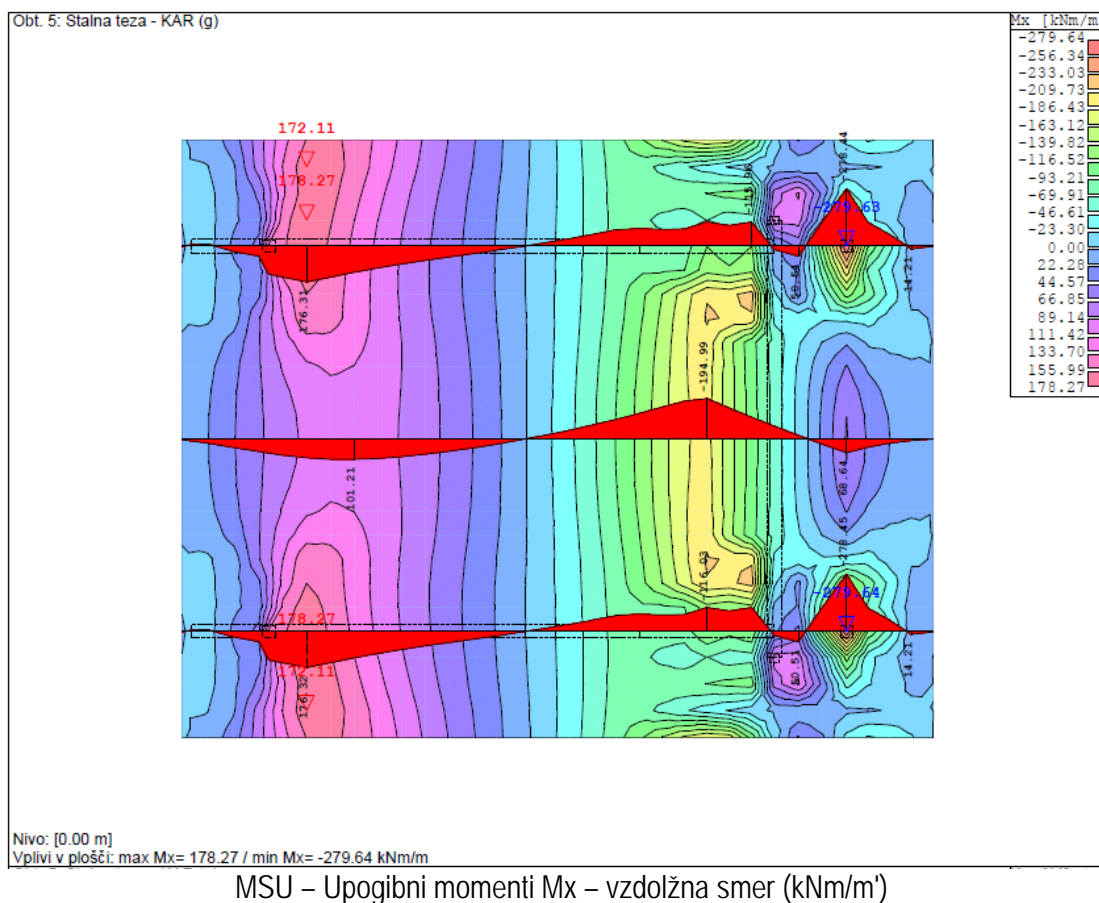
MSN - Ovojnice upogibnih momentov My – prečna smer (kNm/m')

OBJEKT	MOST CERŠAK	PZI PROJEKT	
PROJEKTANT	Ponting inženirski biro d.o.o., Jernej Maher univ.dipl.inž.grad	ŠT.NAČRTA	537-2/2020
KRAJ IN DATUM	Maribor, januar 2021	STRAN	140



MSN - Ovojnice prečnih sil Tzy – prečna smer (kN/m')

OBJEKT	MOST CERŠAK	PZI PROJEKT	
PROJEKTANT	Ponting inženirski biro d.o.o., Jernej Maher univ.dipl.inž.grad	ŠT.NAČRTA	537-2/2020
KRAJ IN DATUM	Maribor, januar 2021	STRAN	141



OBJEKT	MOST CERŠAK	PZI PROJEKT	
PROJEKTANT	Ponting inženirski biro d.o.o., Jernej Maher univ.dipl.inž.grad	ŠT.NAČRTA	537-2/2020
KRAJ IN DATUM	Maribor, januar 2021	STRAN	142

Mejno stanje nosilnosti - Dimenzioniranje armature**Vzdolžna upogibna armatura:**

Minimalna armatura

$$A_{s,d,min} = 0,26 \cdot f_{ctm} / f_{yk} \cdot b \cdot d = 20.3 \text{ cm}^2/\text{m}' (\varnothing 20/15 = 20.9 \text{ cm}^2/\text{m}')$$

Minimalna armatura za preprečevanje razpok vsled hidratacije in krčenja

Prerez

b [cm] h [cm] c [cm]

W/k [mm] h_{eff} ☒ Čisti nateg ☐ Nateg + upogib

k

Jeklo

E [GPa] Premer armature d_s [mm]

Beton

kvaliteta cement

Natezna sila v armaturi in betonu

F_s = 0.58 MN/m > F_{cr} = 0.28 MN/m

N.s. v armaturi razpokanega betona > N.s. v sodelujočem prerezu betona

>>> PREREZ Z MANJŠIMI ZAPRTIMI RAZPOKAMI <<<

Potrebna armatura za omejevanje razpok vsled hidratacije

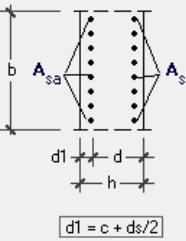
K_{z,t} => f_{ct,eff} = 1.28 MN/m² => σ_s = 168.82 MN/m²

A_{si} = A_{sa} = 28.53 cm² / 100 cm => ϕ 25 / 17.00 cm

Potrebna armatura za omejevanje razpok vsled krčenja

K_{z,t} => f_{ct,eff} = 1.54 MN/m² => σ_s = 184.93 MN/m²

A_{si} = A_{sa} = 31.25 cm² / 100 cm => ϕ 25 / 15.50 cm



$$A_{s,min} = \varnothing 25/15 = 32.7 \text{ cm}^2/\text{m}'$$

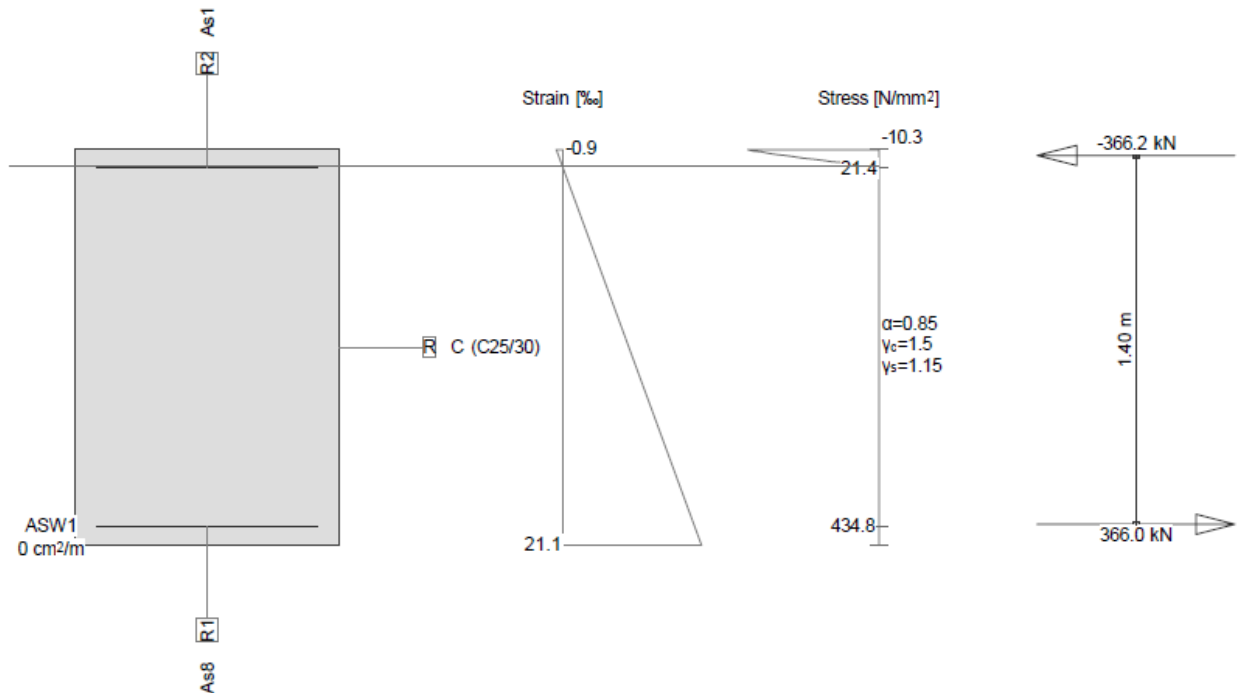
OBJEKT	MOST CERŠAK	PZI PROJEKT	
PROJEKTANT	Ponting inženirski biro d.o.o., Jernej Maher univ.dipl.inž.grad	ŠT.NAČRTA	537-2/2020
KRAJ IN DATUM	Maribor, januar 2021	STRAN	143

Računsko potrebna armatura

$$M_{Sd,poz} = 512 \text{ kNm/m}' \Rightarrow A_{Sd,poz} = 8 \text{ cm}^2/\text{m}'$$

Cross-section PIL. PLOSCA (): Design $M_y=512.0$;

Scale 1 : 27.4



Design Girder-Cross section: PIL. PLOSCA

Action forces

No.	AP	P	Bending and axial force			Shear forces and torsion			Remarks
			N [kN]	M_y [kNm]	M_z [kNm]	V_y [kN]	V_z [kN]	T [kNm]	
1	!ULS		0	512.0	0				

Analysis-Parameters "!"ULS", Code: Eurocode ENV/EN

ID	σ - ϵ -Diagram			Strain Limits			σ_s [N/mm²]	Partial safety factor				Various parameters			
	c	s		ϵ_{c2} [‰]	ϵ_{cu3} [‰]	ϵ_{ud} [‰]		α_{cc} [-]	γ_c [-]	γ_s [-]		θ [°]	ϕ [°]		
!ULS	2/0	1		-2.0	-3.5	20.0		0.85	1.50	1.15		45.00	0		

Longit. reinf. (M N)

No.	Name	y_{1q} [m]	z_{1q} [m]	y_{2q} [m]	z_{2q} [m]	req A_s [cm²]	exist A_s	A_s [cm²]
1	R2	-0.42	1.43	0.42	1.43			1
	R1	-0.42	0.07	0.42	0.07	8		8
$x_{max}/d = 0.05$						$\Sigma A_s = 0.06 \%$		

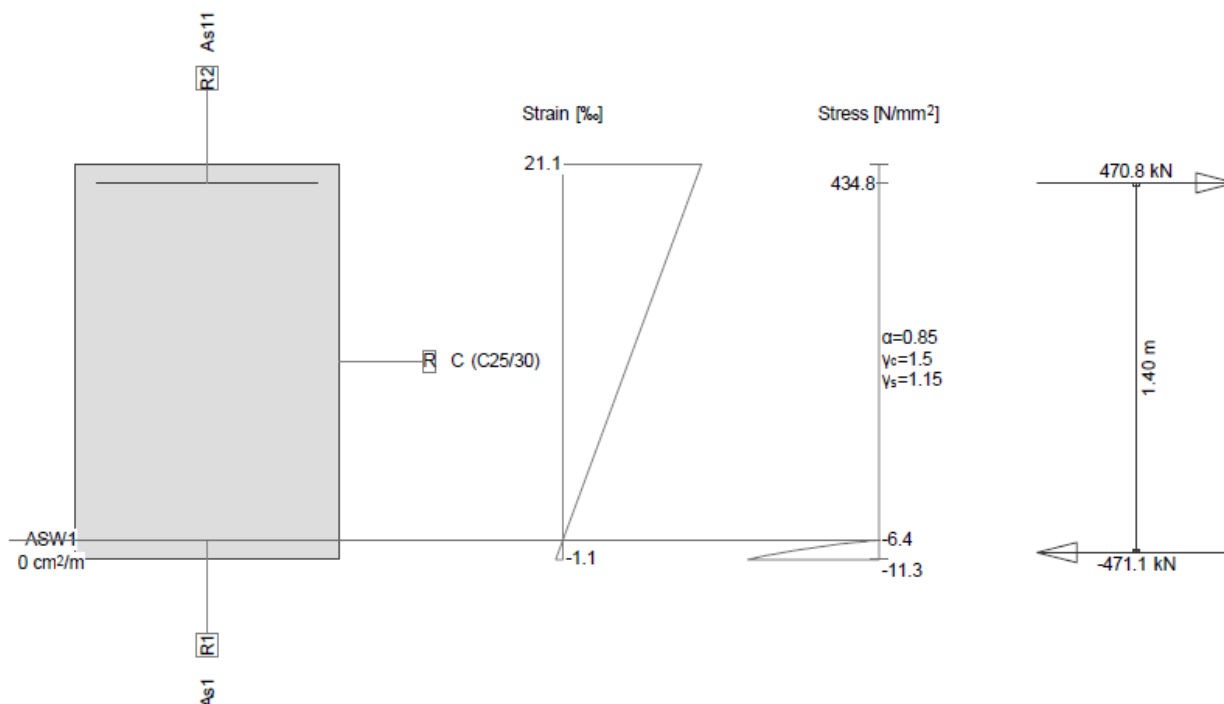
Izbrana pozitivna vzdolžna upogibna armatura ... $\varnothing 25/15 = 32.7 \text{ cm}^2/\text{m}'$

OBJEKT	MOST CERŠAK	PZI PROJEKT
PROJEKTANT	Ponting inženirski biro d.o.o., Jernej Maher univ.dipl.inž.grad	ŠT.NAČRTA 537-2/2020
KRAJ IN DATUM	Maribor, januar 2021	STRAN 144

$$M_{Sd,neg} = -660 \text{ kNm/m}' \Rightarrow A_{Sd,neg} = 11 \text{ cm}^2/\text{m}'$$

Cross-section PIL. PLOSCA (): Design $M_y = -660.0$;

Scale 1 : 27.4



Design Girder-Cross section: PIL. PLOSCA

Action forces

No.	AP	P	Bending and axial force			Shear forces and torsion			Remarks
			N [kN]	M_y [kNm]	M_z [kNm]	V_y [kN]	V_z [kN]	T [kNm]	
1	!ULS		0	-660.0	0				

Analysis-Parameters "!"ULS", Code: Eurocode ENV/EN

ID	σ - ϵ -Diagram		Strain Limits			σ_s [N/mm²]	Partial safety factor			Various parameters		
	c	s	ϵ_{c2} [‰]	ϵ_{cu3} [‰]	ϵ_{ud} [‰]		α_{cc} [-]	γ_c [-]	γ_s [-]	θ [°]	ϕ [°]	
!ULS	2/0	1	-2.0	-3.5	20.0		0.85	1.50	1.15	45.00	0	

Longit. reinf. (M N)

No.	Name	y_{1g} [m]	z_{1g} [m]	y_{2g} [m]	z_{2g} [m]	req A_s [cm²]	exist A_s	A_s [cm²]
1	R2	-0.42	1.43	0.42	1.43	11	11	11
	R1	-0.42	0.07	0.42	0.07			1
$x_{max}/d = 0.05$						$\Sigma A_s = 0.08$		
						12		

Izbrana negativna vzdolžna upogibna armatura ... $\varnothing 25/15 = 32.7 \text{ cm}^2/\text{m}'$

OBJEKT	MOST CERŠAK	PZI PROJEKT
PROJEKTANT	Ponting inženirski biro d.o.o., Jernej Maher univ.dipl.inž.grad	ŠT.NAČRTA 537-2/2020
KRAJ IN DATUM	Maribor, januar 2021	STRAN 145

Prečna upogibna armatura:

Minimalna armatura

$$A_{Sd,min} = 0,26 \cdot f_{ctm} / f_{yk} \cdot b_t \cdot d = 20.3 \text{ cm}^2/\text{m}' (\varnothing 20/15 = 20.9 \text{ cm}^2/\text{m}')$$

Minimalna armatura za preprečevanje razpok vsled hidratacije in krčenja

Prerez

b [cm] h [cm] c [cm]

Wk [mm] h_{eff} ☒ Čisti nateg ☐ Nateg + upogib

k

Jeklo

E [GPa] **Beton**

Premjer armature ds [mm] kvaliteta

cement

Natezna sila v armaturi in betonu

F_s = 0.58 MN/m > F_{cr} = 0.28 MN/m

N.s. v armaturi razpokanega betona > N.s. v sodelujočem prerezu betona

>>> PREREZ Z MANJŠIMI ZAPRTIMI RAZPOKAMI <<<

Potrebna armatura za omejevanje razpok vsled hidratacije

K_{z,t} => f_{ct,eff} = 1.28 MN/m² => σ_s = 168.82 MN/m²

A_{si} = A_{sa} = 28.53 cm² / 100 cm => ϕ 25 / 17.00 cm

Potrebna armatura za omejevanje razpok vsled krčenja

K_{z,t} => f_{ct,eff} = 1.54 MN/m² => σ_s = 184.93 MN/m²

A_{si} = A_{sa} = 31.25 cm² / 100 cm => ϕ 25 / 15.50 cm

$$A_{S,min} = \varnothing 25/15 = 32.7 \text{ cm}^2/\text{m}'$$

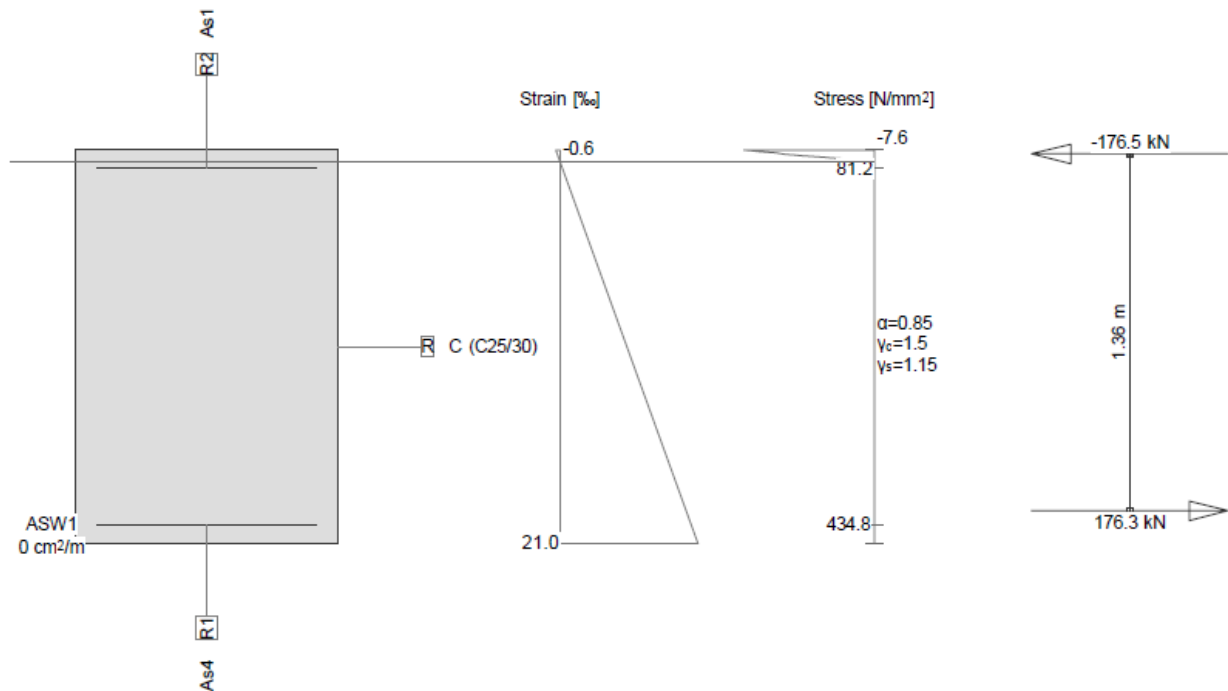
OBJEKT	MOST CERŠAK	PZI PROJEKT
PROJEKTANT	Ponting inženirski biro d.o.o., Jernej Maher univ.dipl.inž.grad	ŠT.NAČRTA 537-2/2020
KRAJ IN DATUM	Maribor, januar 2021	STRAN 146

Računsko potrebna armatura

$$M_{Sd,poz} = 240 \text{ kNm/m}' \Rightarrow A_{Sd,poz} = 4 \text{ cm}^2/\text{m}'$$

Cross-section PIL. PLOSCA (): Design $M_y=240.0$;

Scale 1:27.4



Design Girder-Cross section: PIL. PLOSCA

Action forces

No.	AP	P	Bending and axial force			Shear forces and torsion			Remarks
			N [kN]	M_y [kNm]	M_z [kNm]	V_y [kN]	V_z [kN]	T [kNm]	
1	!ULS		0	240.0	0				

Analysis-Parameters "ULS", Code: Eurocode ENV/EN

ID	σ - ϵ -Diagram			Strain Limits			σ_s [N/mm²]	α_{cc} [-]	γ_c [-]	γ_s [-]	Various parameters			
	c	s		ϵ_{cu2} [‰]	ϵ_{cu3} [‰]	ϵ_{ud} [‰]					θ [-]	ϕ [-]		
!ULS	2/0	1		-2.0	-3.5	20.0		0.85	1.50	1.15	45.00	0		

Longit. reinf. (M N)

No.	Name	y_{1g} [m]	z_{1g} [m]	y_{2g} [m]	z_{2g} [m]	req A_s [cm²]	exist A_s	A_s [cm²]
1	R2	-0.42	1.43	0.42	1.43			1
	R1	-0.42	0.07	0.42	0.07			4
$x_{max}/d = 0.03$						$\Sigma A_s =$	0.03	5

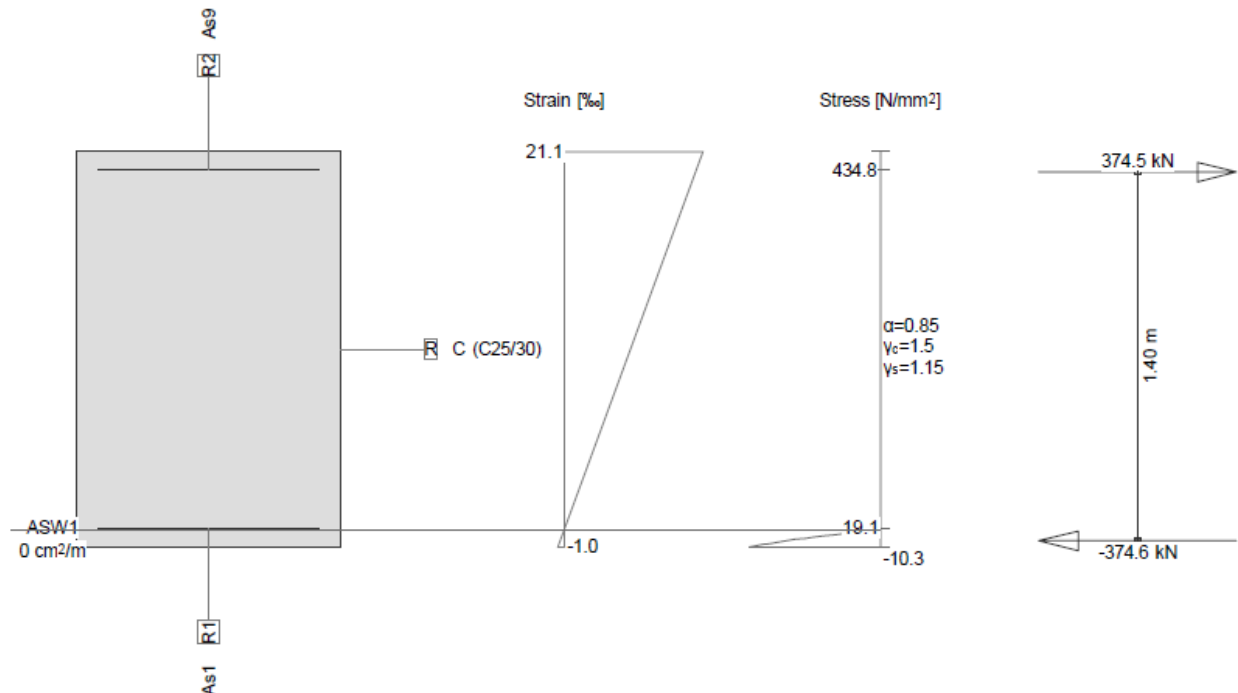
Izbrana pozitivna prečna upogibna armatura ... $\varnothing 25/15 = 32.7 \text{ cm}^2/\text{m}'$

OBJEKT	MOST CERŠAK	PZI PROJEKT
PROJEKTANT	Ponting inženirski biro d.o.o., Jernej Maher univ.dipl.inž.grad	ŠT.NAČRTA 537-2/2020
KRAJ IN DATUM	Maribor, januar 2021	STRAN 147

$$M_{Sd,neg} = -524 \text{ kNm/m}' \quad \Rightarrow \quad A_{Sd,neg} = 9 \text{ cm}^2/\text{m}'$$

Cross-section PIL. PLOSCA (): Design $M_y = -524.0$;

Scale 1 : 27.4

**Design Girder-Cross section: PIL. PLOSCA****Action forces**

No.	AP	P	Bending and axial force			Shear forces and torsion			Remarks
			N [kN]	M_y [kNm]	M_z [kNm]	V_y [kN]	V_z [kN]	T [kNm]	
1	!ULS		0	-524.0	0				

Analysis-Parameters "!"ULS", Code: Eurocode ENV/EN

ID	σ - ϵ -Diagram			Strain Limits			σ_s [N/mm ²]	α_{cc} [-]	γ_c [-]	γ_s [-]	Various parameters			
	c	s		ϵ_{cu2} [‰]	ϵ_{cu3} [‰]	ϵ_{ud} [‰]					θ [°]	ϕ [°]		
!ULS	2/0	1		-2.0	-3.5	20.0		0.85	1.50	1.15	45.00	0		

Longit. reinf. (M N)

No.	Name	y_{1q} [m]	z_{1q} [m]	y_{2q} [m]	z_{2q} [m]	req A_s [cm ²]	exist A_s	A_s [cm ²]
1	R2	-0.42	1.43	0.42	1.43	9	9	9
	R1	-0.42	0.07	0.42	0.07			1
$x_{max}/d = 0.05$						$\Sigma A_s =$	0.06 %	9

Izbrana negativna prečna upogibna armatura ... $\varnothing 25/15 = 32.7 \text{ cm}^2/\text{m}'$

OBJEKT	MOST CERŠAK	PZI PROJEKT	
PROJEKTANT	Ponting inženirski biro d.o.o., Jernej Maher univ.dipl.inž.grad	ŠT.NAČRTA	537-2/2020
KRAJ IN DATUM	Maribor, januar 2021	STRAN	148

Mejno stanje uporabnosti – Kontrola razpok

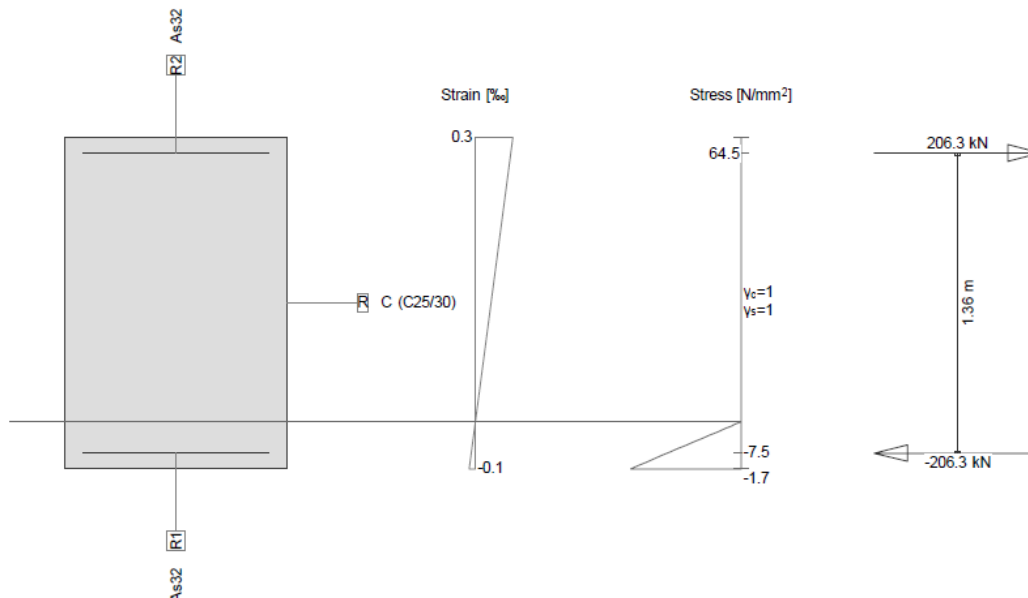
Vzdolžna upogibna armatura

 $M_{Sd,poz} = 178 \text{ kNm/m'}$; $M_{Sd,neg} = -280 \text{ kNm/m'}$

Izbrana vzdolžna upogibna armatura ...

 $+ \varnothing 25/15 = 32.7 \text{ cm}^2/\text{m'}$; $- \varnothing 25/15 = 32.7 \text{ cm}^2/\text{m'}$
 $\sigma_{S,max} = 64 \text{ MPa} \Rightarrow w_k = \text{ni razpok}$
Cross-section PIL. PLOSCA (): DesignStress analysis with given forces $M_y = -280.0$;

Scale 1 : 27.4



Stress analysis Girder-Cross section: PIL. PLOSCA

Action forces

No.	AP	P	Bending and axial force			Shear forces and torsion			Remarks
			N [kN]	M_y [kNm]	M_z [kNm]	V_y [kN]	V_z [kN]	T [kNm]	
1	!SLS		0	-280.0	0				

Analysis-Parameters "!"SLS", Code: Eurocode ENV/EN

ID	σ - ϵ -Diagram				Strain Limits			Partial safety factor				Various parameters			
	c	s			ϵ_{c2} [‰]	ϵ_{cu3} [‰]	ϵ_{ud} [‰]	σ_s [N/mm²]	α_{cc} [-]	γ_c [-]	γ_s [-]	θ [-]	ϕ [-]		
!SLS	1/0	1						200.0	1.00	1.00	1.00	45.00	0		

Extreme stresses and strain

Name	Class	y_q [m]	z_q [m]	ϵ [‰]	σ_d [N/mm²]	γ [-]
R	C25/30	-0.50	-0.00	-0.1	-1.7	1.00
R	C25/30	0.50	1.50	0.3	0	1.00
R1	B500B	-0.42	0.07	-0.0	-7.5	1.00
R2	B500B	-0.42	1.43	0.3	64.5	1.00

Stresses in homogeneous cross section (linear material properties)

Name	Weight	y_q [m]	z_q [m]	σ_{elast} [N/mm²]
R	1.00	-0.50	-0.00	-0.7
R	1.00	0.50	1.50	0.7

OBJEKT	MOST CERŠAK	PZI PROJEKT	
PROJEKTANT	Ponting inženirski biro d.o.o., Jernej Maher univ.dipl.inž.grad	ŠT.NAČRTA	537-2/2020
KRAJ IN DATUM	Maribor, januar 2021	STRAN	149

7.3.3 Krila

Oporniki so med krili zapolnjeni s pustim betonom, tako da zemeljski pritiski nimajo direktnega vpliva na dimenzioniranje kril. Tako so za dimenzioniranje kril merodajni hidrostatski pritisk svežega betona ter hidratacija in krčenje betona.

Minimalna armatura

$$A_{Sd,min} = 0,26 \cdot f_{ctm} / f_{yk} \cdot b_t \cdot d = 9.05 \text{ cm}^2/\text{m}' (\varnothing 14/15 = 10.3 \text{ cm}^2/\text{m}')$$

Hidrostatski pritisk svežega betona:

$$p_{bh} = \gamma_{b,sv} \times h_{b,sv} = 25 \times 2.50 = 62.5 \text{ kN/m}^2$$

$$M_{bh,Sd} = 1.35 \times M_{bh} = 87.9 \text{ kNm/m}'$$

$$A_{Sd} = 4.77 \text{ cm}^2/\text{m}' \text{ (ni merodajno)}$$

$$M_{bh} = (p_{bh} \times h_{b,sv}^2) / 6 = 65.1 \text{ kNm/m}'$$

Hidratacija in krčenje:

Prerez

b [cm] h [cm] c [cm]

Wk [mm] h_{eff} ☐ Čisti nateg ☐ Nateg + upogib

k

Jeklo

E [GPa]

Premer armature ds [mm]

Beton

kvaliteta

cement

Natezna sila v armaturi in betonu

F_s = 0.44 MN/m > F_{cr} = 0.43 MN/m

N.s. v armaturi razpokanega betona > N.s. v sodelujočem prerezu betona

>>> PREREZ Z MANJŠIMI ZAPRTIMI RAZPOKAMI <<<

Potrebna armatura za omejevanje razpok vsled hidratacije

K_{z,t} => f_{ct,eff} = 1.45 MN/m² => σ_s = 162.37 MN/m²

A_{si} = A_{sa} = 16.02 cm² / 100 cm => ϕ 20 / 19.50 cm

Potrebna armatura za omejevanje razpok vsled krčenja

K_{z,t} => f_{ct,eff} = 2.46 MN/m² => σ_s = 211.71 MN/m²

A_{si} = A_{sa} = 20.89 cm² / 100 cm => ϕ 20 / 15.00 cm

Izbrana horizontalna armatura:

spodaj
zgoraj

$$\varnothing 20/15 = 20.9 \text{ cm}^2/\text{m}' \dots 1 \text{ m nad ploščo}$$

$$\varnothing 16/15 = 13.4 \text{ cm}^2/\text{m}'$$

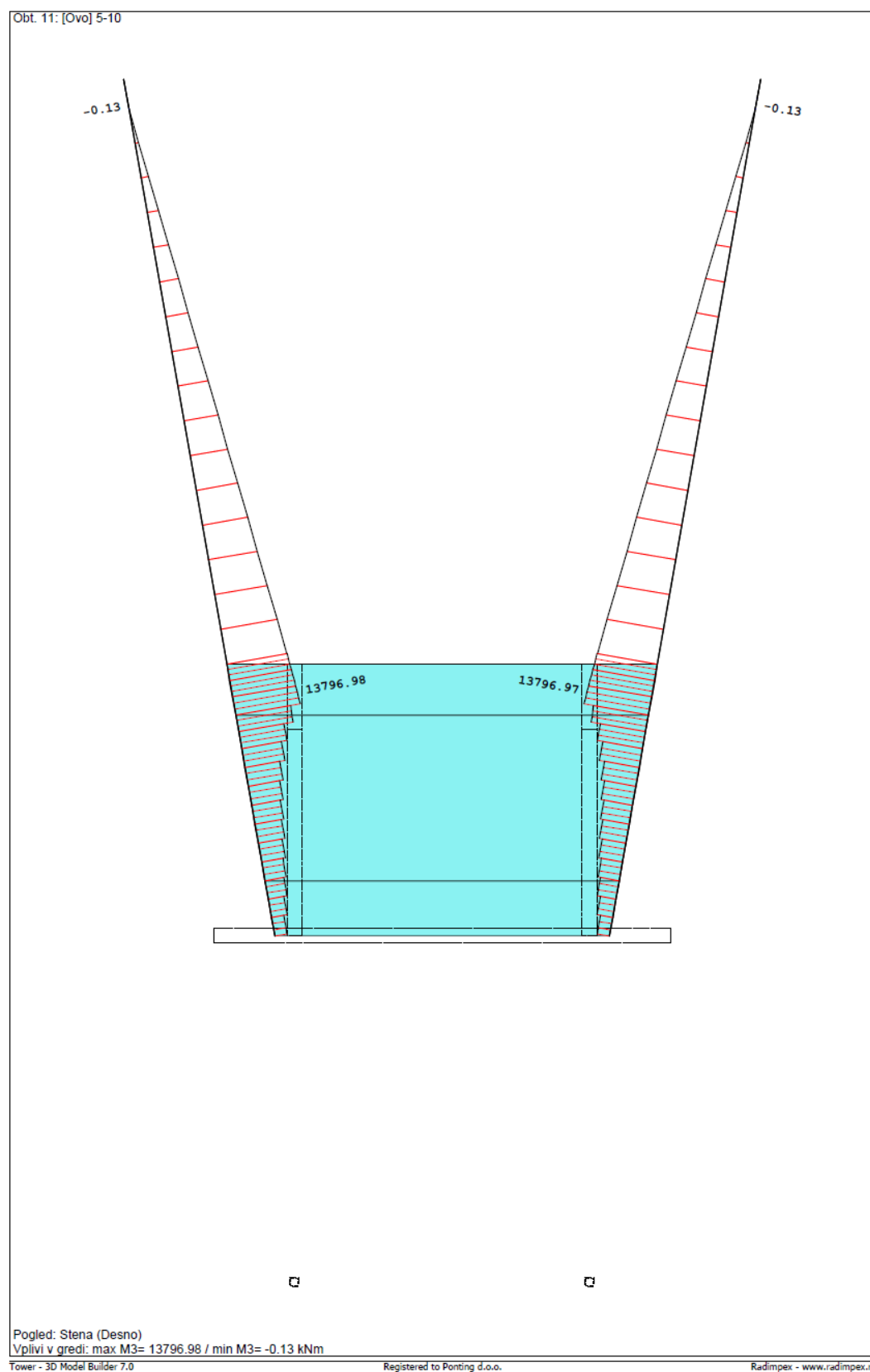
Izbrana vertikalna armatura: spodaj

$$\varnothing 16/15 = 13.4 \text{ cm}^2/\text{m}'$$

OBJEKT	MOST CERŠAK	PZI PROJEKT	
PROJEKTANT	Ponting inženirski biro d.o.o., Jernej Maher univ.dipl.inž.grad	ŠT.NAČRTA	537-2/2020
KRAJ IN DATUM	Maribor, januar 2021	STRAN	151

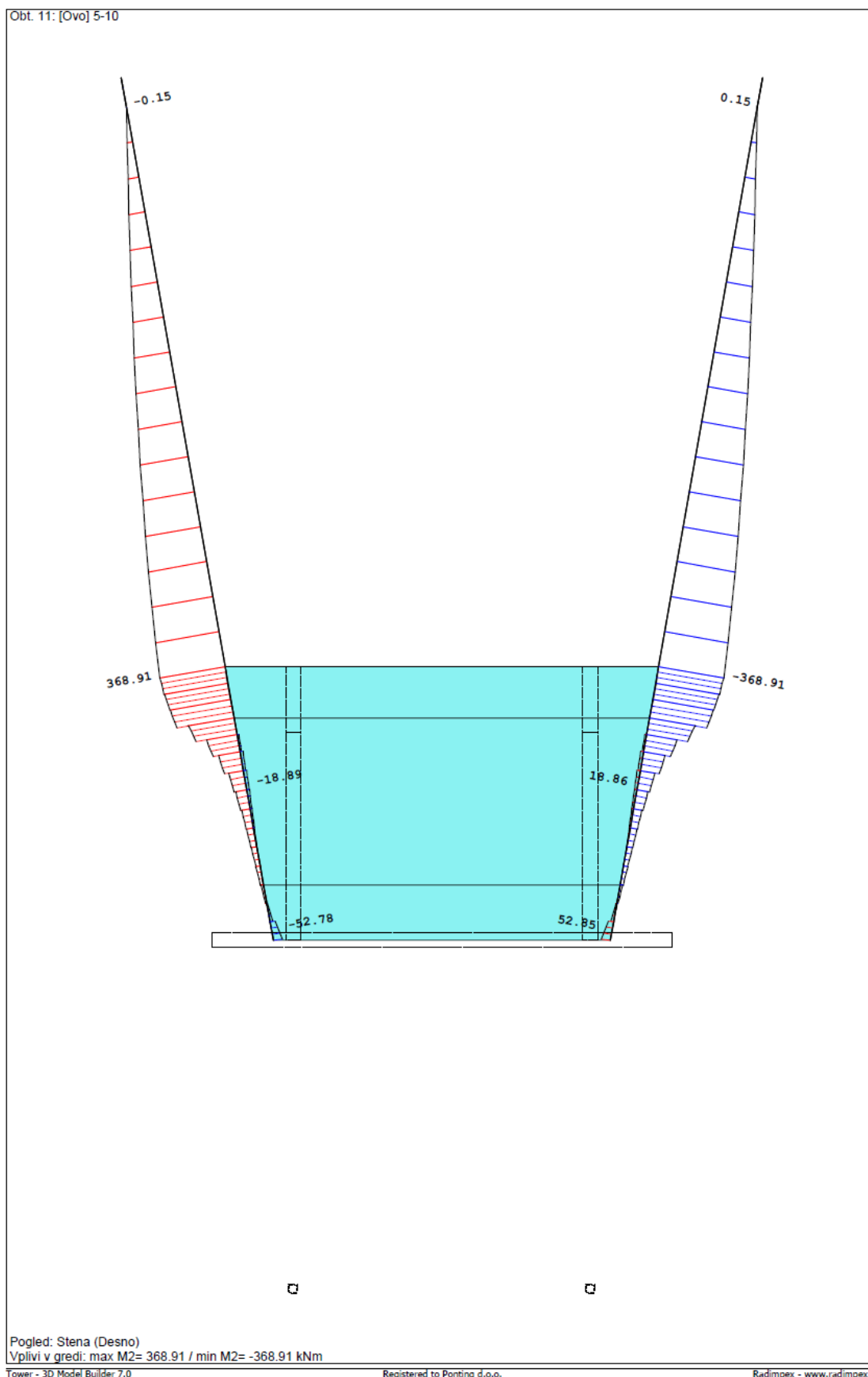
7.3.4 Piloni

7.3.4.1 Pregled obremenitev in dimenzioniranje



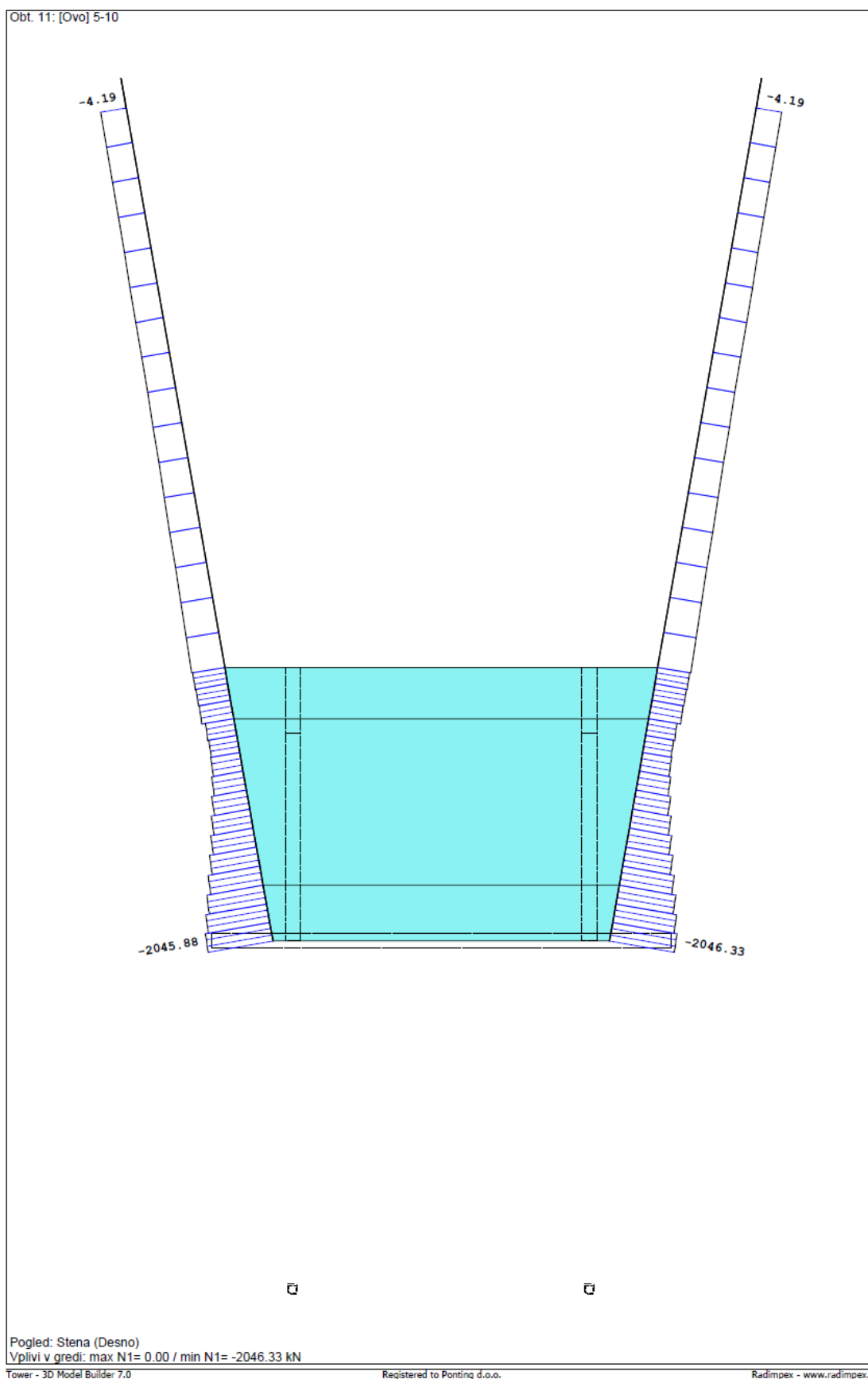
MSN - Ovojnica vzdolžnih upogibnih momentov (kNm/m')

OBJEKT	MOST CERŠAK	PZI PROJEKT	
PROJEKTANT	Ponting inženirski biro d.o.o., Jernej Maher univ.dipl.inž.grad	ŠT.NAČRTA	537-2/2020
KRAJ IN DATUM	Maribor, januar 2021	STRAN	152



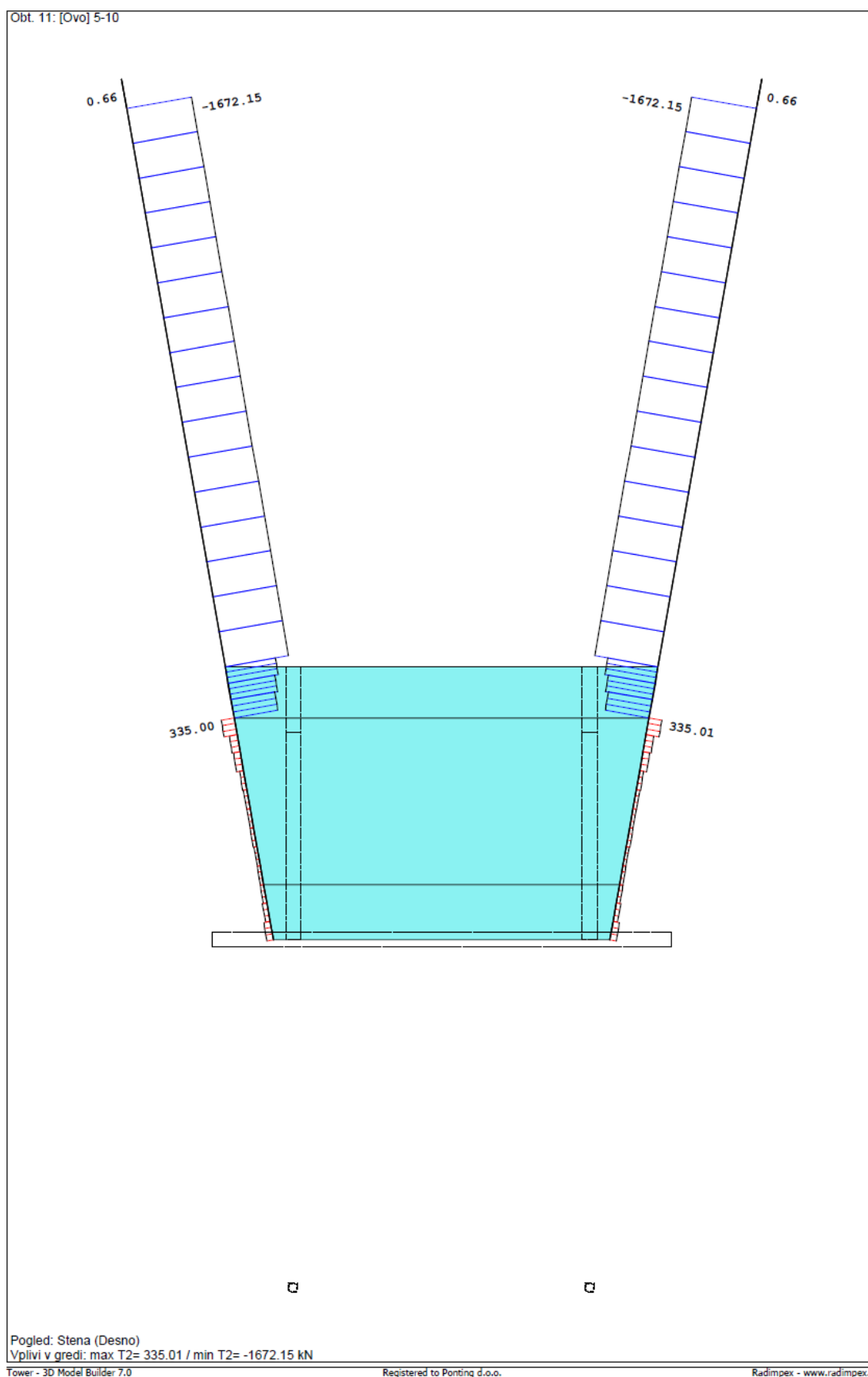
MSN - Ovojnica prečnih upogibnih momentov (kNm/m')

OBJEKT	MOST CERŠAK	PZI PROJEKT	
PROJEKTANT	Ponting inženirski biro d.o.o., Jernej Maher univ.dipl.inž.grad	ŠT.NAČRTA	537-2/2020
KRAJ IN DATUM	Maribor, januar 2021	STRAN	153



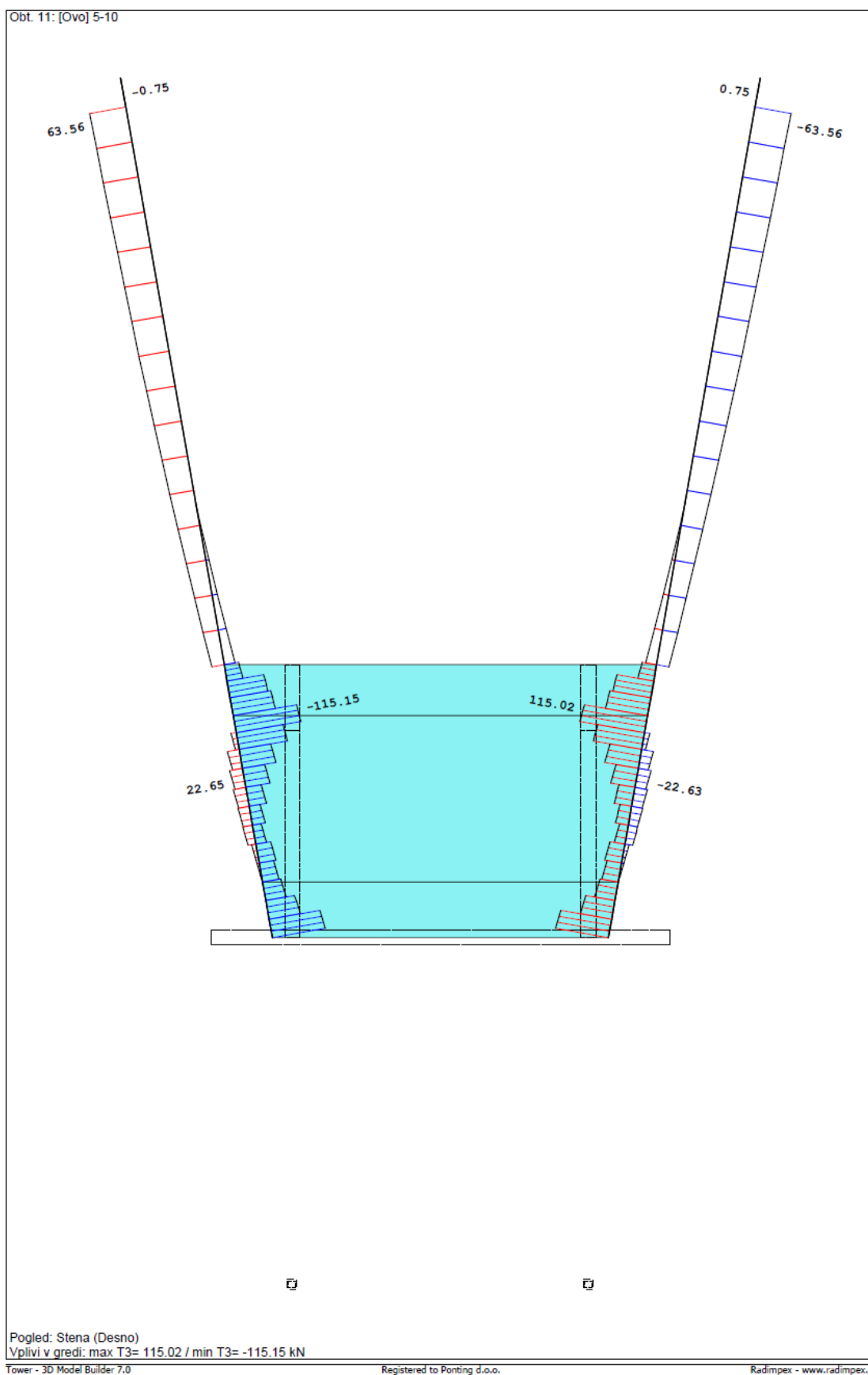
MSN - Ovojnica osnih sil (kN/m')

OBJEKT	MOST CERŠAK	PZI PROJEKT	
PROJEKTANT	Ponting inženirski biro d.o.o., Jernej Maher univ.dipl.inž.grad	ŠT.NAČRTA	537-2/2020
KRAJ IN DATUM	Maribor, januar 2021	STRAN	154



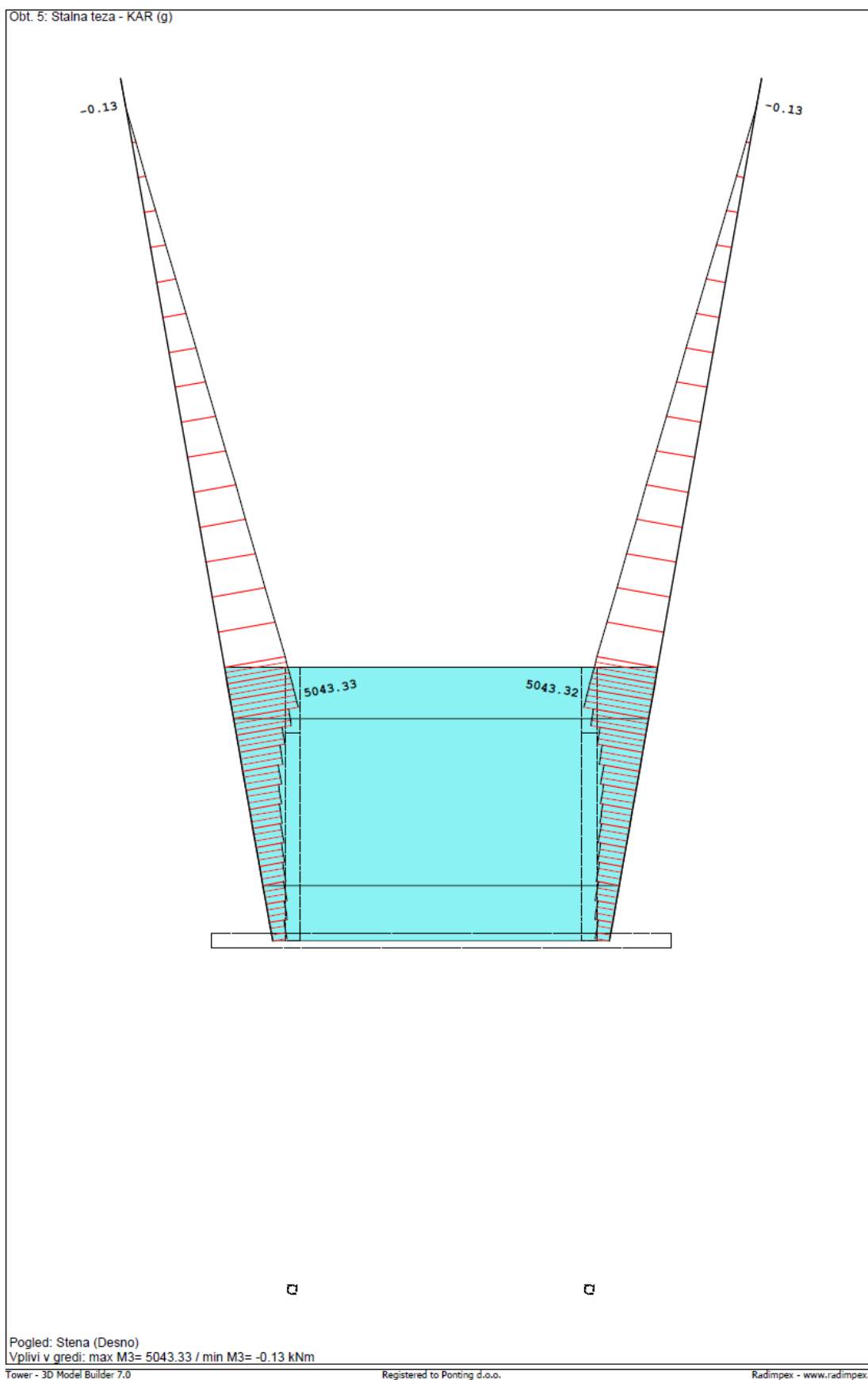
MSN - Ovojnica vzdolžnih prečnih sil (kN/m')

OBJEKT	MOST CERŠAK	PZI PROJEKT	
PROJEKTANT	Ponting inženirski biro d.o.o., Jernej Maher univ.dipl.inž.grad	ŠT.NAČRTA	537-2/2020
KRAJ IN DATUM	Maribor, januar 2021	STRAN	155



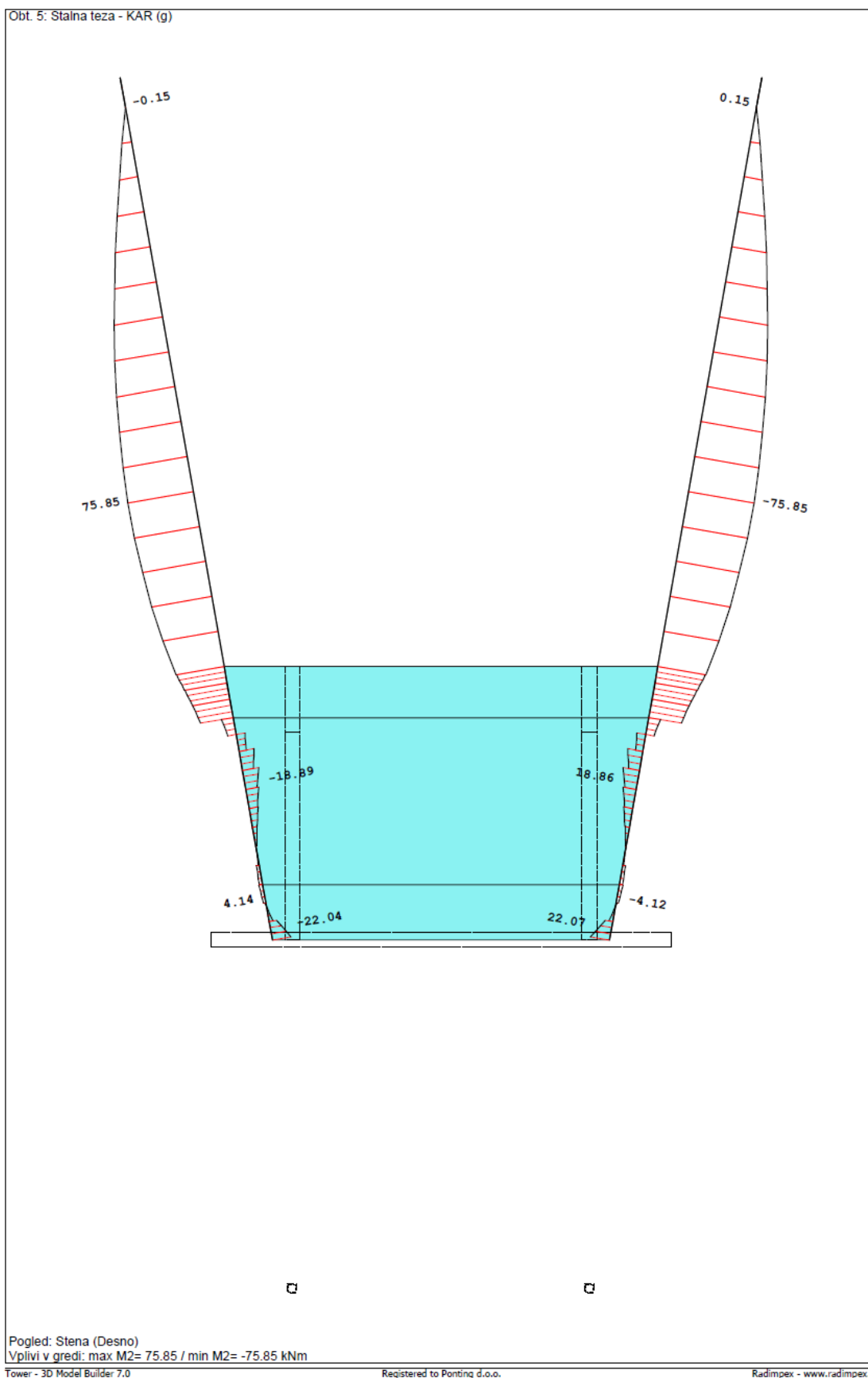
MSN - Ovojnica prečnih prečnih sil (kN/m')

OBJEKT	MOST CERŠAK	PZI PROJEKT	
PROJEKTANT	Ponting inženirski biro d.o.o., Jernej Maher univ.dipl.inž.grad	ŠT.NAČRTA	537-2/2020
KRAJ IN DATUM	Maribor, januar 2021	STRAN	156



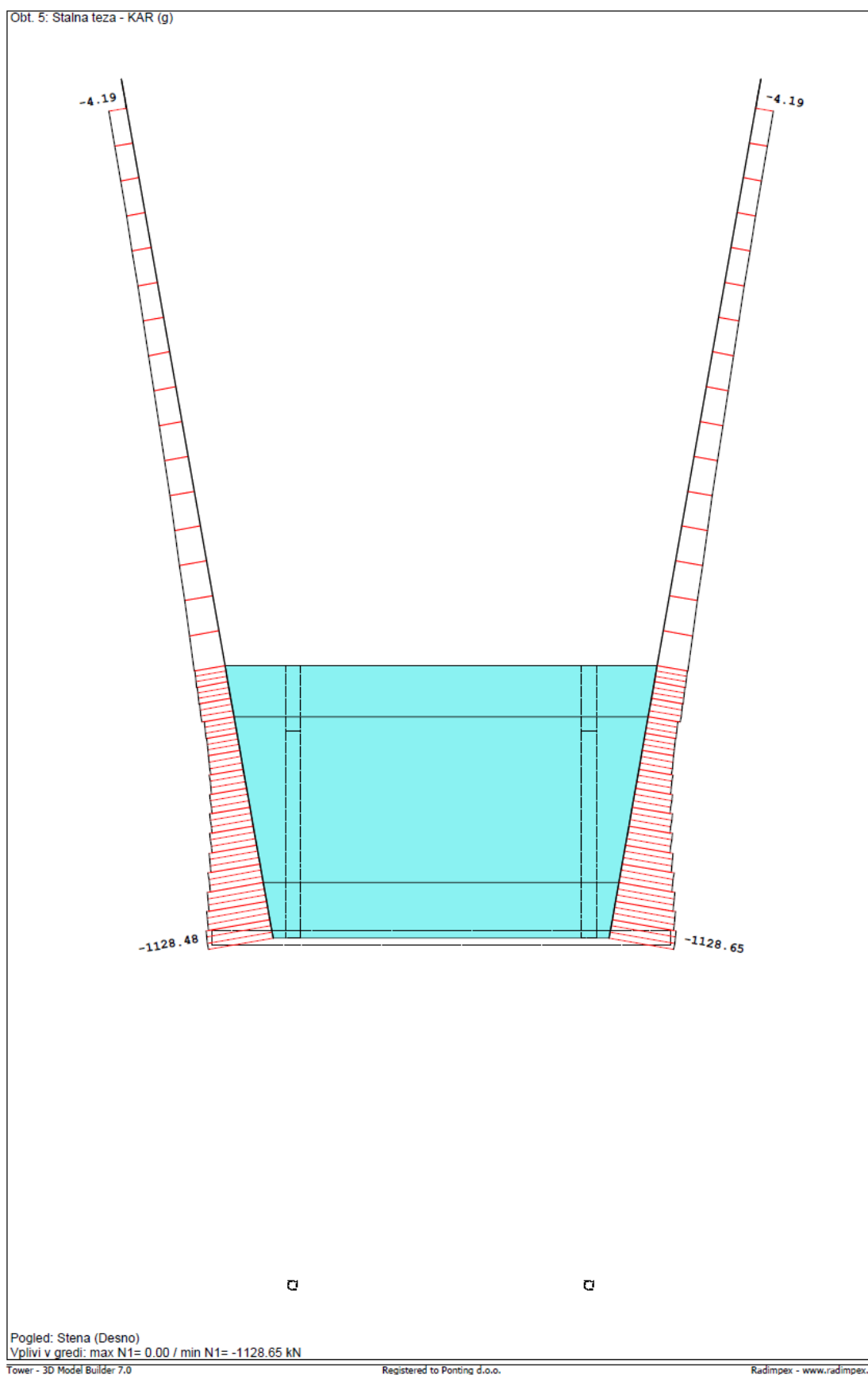
MSU - Vzdolžnih upogibni momenti (kNm/m')

OBJEKT	MOST CERŠAK	PZI PROJEKT	
PROJEKTANT	Ponting inženirski biro d.o.o., Jernej Maher univ.dipl.inž.grad	ŠT.NAČRTA	537-2/2020
KRAJ IN DATUM	Maribor, januar 2021	STRAN	157



MSU - Prečni upogibni momenti (kNm/m')

OBJEKT	MOST CERŠAK	PZI PROJEKT	
PROJEKTANT	Ponting inženirski biro d.o.o., Jernej Maher univ.dipl.inž.grad	ŠT.NAČRTA	537-2/2020
KRAJ IN DATUM	Maribor, januar 2021	STRAN	158



MSU – Osne sile (kN/m')

OBJEKT	MOST CERŠAK	PZI PROJEKT	
PROJEKTANT	Ponting inženirski biro d.o.o., Jernej Maher univ.dipl.inž.grad	ŠT.NAČRTA	537-2/2020
KRAJ IN DATUM	Maribor, januar 2021	STRAN	159

Tabelarični pregled obremenitev za dimenzioniranje**Mejno stanje nosilnosti (MSN):**

Prerez 1 – 1 (ob vpetju v opornik, B/H = 100/250 cm)				
Merodajni vpliv	Pripadajoči vplivi			
$M_{z,max} = 13.797 \text{ kNm}$	$M_{y,prip} = -329 \text{ kNm}$	$N_{x,prip} = -997 \text{ kN}$	$T_{z,prip} = 1127 \text{ kN}$	$T_{y,prip} = 74 \text{ kN}$
$N_{x,min} = -554 \text{ kN}$	$M_{z,max} = 5018 \text{ kNm}$	$M_{y,prip} = -39 \text{ kNm}$	$T_{z,prip} = 401 \text{ kN}$	$T_{y,prip} = 21 \text{ kN}$
Prerez 2 – 2 (na sredini pilona, B/H = 80/185 cm)				
Merodajni vpliv	Pripadajoči vplivi			
$M_{z,max} = 7023 \text{ kNm}$	$M_{y,prip} = -241 \text{ kNm}$	$N_{x,prip} = -892 \text{ kN}$	$T_{z,prip} = 1659 \text{ kN}$	$T_{y,prip} = 48 \text{ kN}$
$N_{x,min} = -387 \text{ kN}$	$M_{z,max} = 2594 \text{ kNm}$	$M_{y,prip} = 71 \text{ kNm}$	$T_{z,prip} = 608 \text{ kN}$	$T_{y,prip} = 8 \text{ kN}$
Prerez 3 – 3 (na vrhu pilona, B/H = 53/85 cm)				
Merodajni vpliv	Pripadajoči vplivi			
$T_{z,max} = 1672 \text{ kNm}$	$M_{z,max} = 0 \text{ kNm}$	$M_{y,prip} = 0 \text{ kNm}$	$N_{x,min} = -806 \text{ kN}$	$T_{y,prip} = 64 \text{ kN}$

Mejno stanje uporabnosti – navidezno stalna kombinacija (MSU):

Prerez 1 – 1 (ob vpetju v opornik, B/H = 100/250 cm)				
Merodajni vpliv	Pripadajoči vplivi			
$N_x = -554 \text{ kN}$	$M_z = 5018 \text{ kNm}$	$M_y = -39 \text{ kNm}$	$T_z = 401 \text{ kN}$	$T_y = 21 \text{ kN}$
Prerez 2 – 2 (na sredini pilona, B/H = 80/185 cm)				
Merodajni vpliv	Pripadajoči vplivi			
$N_x = -387 \text{ kN}$	$M_z = 2594 \text{ kNm}$	$M_y = 71 \text{ kNm}$	$T_z = 608 \text{ kN}$	$T_y = 8 \text{ kN}$
Prerez 3 – 3 (na vrhu pilona, B/H = 53/85 cm)				
Merodajni vpliv	Pripadajoči vplivi			
$N_x = -303 \text{ kN}$	$M_z = 0 \text{ kNm}$	$M_y = 0 \text{ kNm}$	$T_z = 621 \text{ kN}$	$T_y = 23 \text{ kN}$

OBJEKT	MOST CERŠAK	PZI PROJEKT	
PROJEKTANT	Ponting inženirski biro d.o.o., Jernej Maher univ.dipl.inž.grad	ŠT.NAČRTA	537-2/2020
KRAJ IN DATUM	Maribor, januar 2021	STRAN	160

Mejno stanje nosilnosti - Dimenzioniranje armaturePREREZ 1- 1, B/H = 100/250 cm

Vzdolžna upogibna armatura:

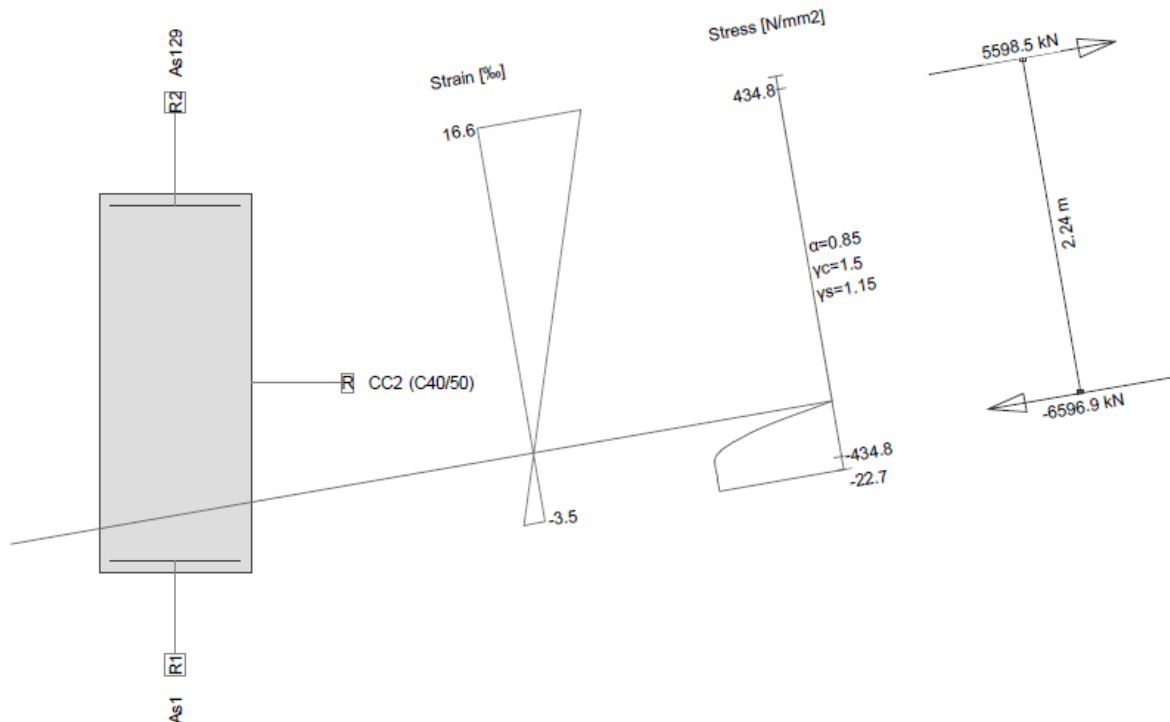
Minimalna armatura

$$A_{Sd,min} = 0,26 \cdot f_{ctm} / f_{yk} \cdot b_t \cdot d = 45.5 \text{ cm}^2/\text{m}' (\varnothing 12/15 = 7.5 \text{ cm}^2/\text{m}')$$

Računsko potrebna armatura

Cross-section PILON SPODAJ (C30/37;B500B): Design $N_x=-997.0; M_y=-13797.0; M_z=329.0; V_y=74.0; V_z=1127.0;$

Scale 1 :45.2



Design Girder-Cross section: PILON SPODAJ

Action forces

No.	AP	P	Bending and axial force			Shear forces and torsion			Remarks
			N [kN]	M _y [kNm]	M _z [kNm]	V _y [kN]	V _z [kN]	T [kNm]	
1	!ULS		-997.0	-13797.0	329.0	74.0	1127.0	0	

Analysis-Parameters "ULS", Code: Eurocode ENV/EN

ID	σ-ε-Diagram			Strain Limits			σ _s [N/mm²]	α _{cc} [-]	γ _c [-]	γ _s [-]	Partial safety factor				Various parameters			
	c	s		ε _{c2} [‰]	ε _{cu3} [‰]	ε _{ud} [‰]									θ [°]	φ [°]		
!ULS	2/0	1		-2.0	-3.5	20.0		0.85	1.50	1.15					45.00	0		

Longit. reinf. (M N)

No.	Name	y _{1g} [m]	z _{1g} [m]	y _{2g} [m]	z _{2g} [m]	req A _s [cm²]	exist A _s	A _s [cm²]
1	R2	-0.42	2.43	0.42	2.43	129	129	129
	R1	-0.42	0.07	0.42	0.07			
x _{max} /d = 0.19						Σ A _s =	0.52 %	130

$$A_{Sd} = 129 \text{ cm}^2/\text{m}' \Rightarrow \text{izbrana vzdolžna armatura } 22\varnothing 28/15 = 135.3 \text{ cm}^2$$

OBJEKT	MOST CERŠAK	PZI PROJEKT	
PROJEKTANT	Ponting inženirski biro d.o.o., Jernej Maher univ.dipl.inž.grad	ŠT.NAČRTA	537-2/2020
KRAJ IN DATUM	Maribor, januar 2021	STRAN	161

Prečna stremenska armatura:

Širina	b	1 [m]	Ročica notranjih sil	z	2.24 [m]
Višina	h	2.5 [m]	Debelina stene	$t_{ef,i}$.35 [m]
Površina bet. prereza	A_c	2.5 [m ²]	Površina	A_k	2.16 [m ²]
Statična višina	d	2.35 [m]	Obseg ploskve A_k	u_k	6.6 [m]

Beton		Kot med betonsko tlačno diagonalo in osjo elem.	
Kvaliteta betona	C40/50	$\cot \theta$	2.50
Koeficient α_c	0.85	θ	21.8
		$\cot \theta$	2.50
		θ	21.8
		Samod.	<input checked="" type="checkbox"/>

Armatura	
Kvaliteta armature	S 500
Površina vzdolžne arm.	A_{sl} 129 [cm ²]
$\rho_l = 0.0055$	Prednapeti element <input type="checkbox"/>

Obremenitev prereza		
Oсна sila	N_{Ed}	-997 [kN]
Prečna sila	V_{Ed}	1127 [kN]
Torsion	T_{Ed}	[kNm]
Koef. varnosti	γ_{Bd}	1.0
$V_{Rd,c}$	Nosilnost preseka brez strižne armature	160.61 kN
$V_{Rd,max}$	Nosilnost armiranega prečnega prereza	508.13 kN
τ_{Rd}	Trdnost betona vsled delovanja glavnih napetosti	409.36 kN/m ²
$V_{Rd,max} / V_{Ed}$	Relativna varnost	9.32
$S_{w,max}$	Maksimalni razmak stremen	176.25 cm
$\rho_{w,min}$	Minimalni odstotek armiranja	0.10 %
$A_{s,min}$	Prerez minimalne armature	10.12 cm ² /m
$A_{s,max}$	Prerez maksimalne armature	156.40 cm ² /m
A_{sw}	Računska potrebna armatura	10.12 cm ² /m
v_{Ed}	V_{Ed} / A_c	450.80 kN/m ²
$v_{Rd,ct}$		464.24 MN/m ²
		4203.25 kN/m ²

$\tau_{Ed} < \tau_{Rd,ct}$

A_{sw}	Računska potrebna stremenska armatura	
$A_{sw,Sh} + 2A_{sw,T}$	10.12	cm ² /m

A_{sw}	Izbrana armatura	
Premer armature	16	[mm]
Razmak stremen	15	[cm]
Strižnost	2	
$A_{sel,i}$	Izbrana armatura	26.81 cm ² /m

OBJEKT	MOST CERŠAK	PZI PROJEKT	
PROJEKTANT	Ponting inženirski biro d.o.o., Jernej Maher univ.dipl.inž.grad	ŠT.NAČRTA	537-2/2020
KRAJ IN DATUM	Maribor, januar 2021	STRAN	162

Prerez

b [cm] h [cm] c [cm]

Wk [mm] h_{eff} ☒ Čisti nateg ☐ Nateg + upogib

k

Beton

E [GPa] kvaliteta

Premiar armature ds [mm] cement

Natezna sila v armaturi in betonu

Fs = 1.86 MN/m > Fcr = 1.30 MN/m

N.s. v armaturi razpokanega betona > N.s. v sodelujočem prerezu betona

>>> PREREZ Z MANJŠIMI ZAPRTIMI RAZPOKAMI <<<

Potrebna armatura za omejevanje razpok vsled hidratacije

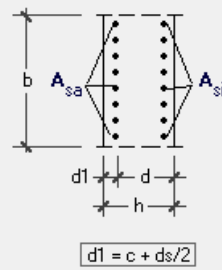
Kz,t => f_{ct,eff} = 1.75 MN/m² => σ_s = 194.16 MN/m²

A_{si} = A_{sa} = 56.55 cm² / 250 cm => Φ 20 / 13.50 cm

Potrebna armatura za omejevanje razpok vsled krčenja

Kz,t => f_{ct,eff} = 2.98 MN/m² => σ_s = 253.16 MN/m²

A_{si} = A_{sa} = 73.73 cm² / 250 cm => Φ 20 / 10.50 cm



Za omejevanje razpok vsled hidratacije in krčenja, ob vpetju v opornik, je potrebna minimalna prečna armatura $A_{sd,s} = \emptyset 20/10 = 31.4 \text{ cm}^2/\text{m}'$.

OBJEKT	MOST CERŠAK	PZI PROJEKT	
PROJEKTANT	Ponting inženirski biro d.o.o., Jernej Maher univ.dipl.inž.grad	ŠT.NAČRTA	537-2/2020
KRAJ IN DATUM	Maribor, januar 2021	STRAN	163

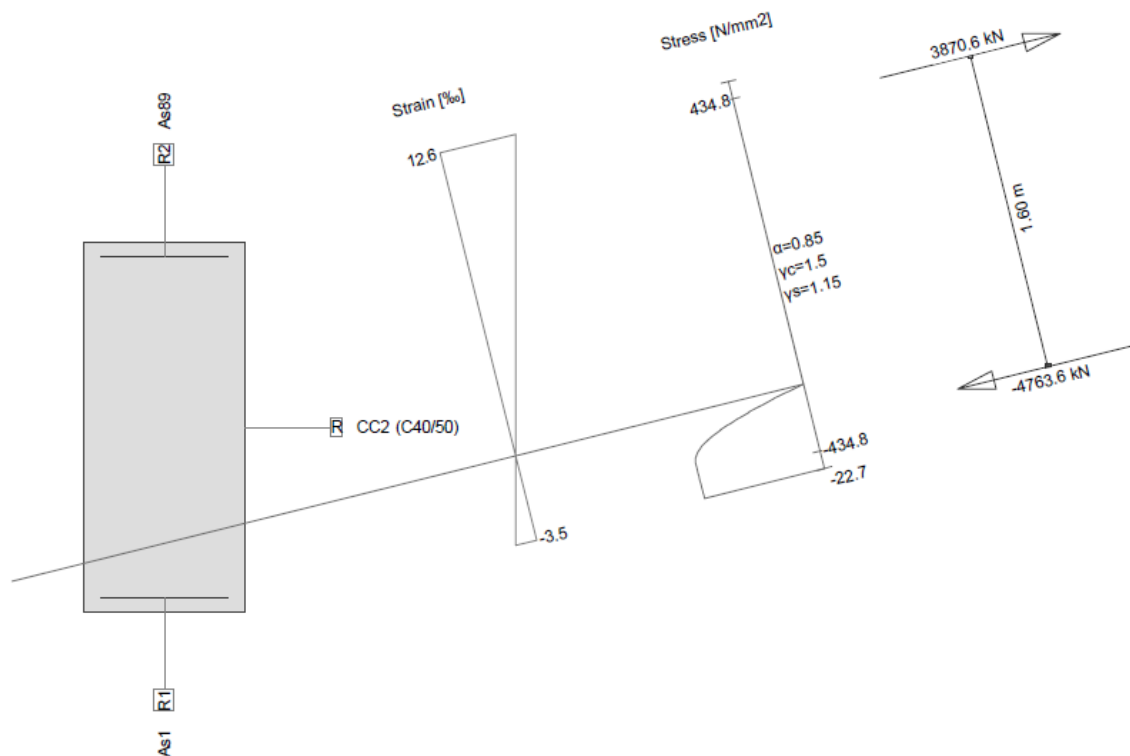
PREREZ 2- 2, B/H = 80/185 cm**Vzdolžna upogibna armatura:**

Minimalna armatura

$$A_{s,d,min} = 0,26 \cdot f_{ctm} / f_{yk} \cdot b \cdot d = 26.9 \text{ cm}^2/\text{m}' (\varnothing 12/15 = 7.5 \text{ cm}^2/\text{m}')$$

Računsko potrebna armaturaCross-section PILON SREDA (I): Design $N_x=-892.0; M_y=-7023.0; M_z=241.0; V_y=48.0; V_z=1659.0;$

Scale 1 :33.1

**Design Girder-Cross section: PILON SREDA****Action forces**

No.	AP	P	Bending and axial force			Shear forces and torsion			Remarks
			N [kN]	M_y [kNm]	M_z [kNm]	V_y [kN]	V_z [kN]	T [kNm]	
1	!ULS		-892.0	-7023.0	241.0	48.0	1659.0	0	-

Analysis-Parameters "ULS", Code: Eurocode ENV/EN

ID	σ - ϵ -Diagram			Strain Limits			σ_s [N/mm²]	Partial safety factor			Various parameters		
	c	s		ϵ_{c2} [‰]	ϵ_{cu3} [‰]	ϵ_{ud} [‰]		α_{cc} [-]	γ_c [-]	γ_s [-]	θ [-]	ϕ [-]	
!ULS	2/0	1		-2.0	-3.5	20.0		0.85	1.50	1.15	45.00	0	

Longit. reinf. (M N)

No.	Name	y_{1q} [m]	z_{1q} [m]	y_{2q} [m]	z_{2q} [m]	req A_s [cm ²]	exist A_s	A_s [cm ²]
1	R2	-0.32	1.78	0.32	1.78	89		89
	R1	-0.32	0.07	0.32	0.07			1
$x_{max}/d = 0.24$						$\Sigma A_s =$		0.61 %

$$A_{sd} = 89 \text{ cm}^2/\text{m}' \Rightarrow \text{izbrana vzdolžna armatura } 22\varnothing 25/15 = 107.8 \text{ cm}^2$$

OBJEKT	MOST CERŠAK	PZI PROJEKT	
PROJEKTANT	Ponting inženirski biro d.o.o., Jernej Maher univ.dipl.inž.grad	ŠT.NAČRTA	537-2/2020
KRAJ IN DATUM	Maribor, januar 2021	STRAN	164

Prečna stremenska armatura:

Širina	b	0.8 [m]	Ročica notranjih sil	z	1.6 [m]
Višina	h	1.85 [m]	Debelina stene	$t_{ef,i}$	0.27 [m]
Površina bet. prereza	A_c	1.48 [m ²]	Površina	A_k	1.225 [m ²]
Statična višina	d	1.7 [m]	Obseg ploskve A_k	u_k	4.9 [m]

Beton		Kot med betonsko tlačno diagonalo in osjo elem.	
Kvaliteta betona	C40/50	cot Θ	2.50
Koeficient α_c	0.85	Θ	21.8
		=>	2.50
			21.8
			Samod. <input checked="" type="checkbox"/>

Armatura	
Kvaliteta armature	S 500
Površina vzdolžne arm. A_{sl}	108 [cm ²]
$\rho_l = 0.0079$	Prednapeti element <input type="checkbox"/>

Obremenitev prereza	
Oсна sila	N_{Ed} -892 [kN]
Prečna sila	V_{Ed} 1659 [kN]
Torsion	T_{Ed} [kNm]
Koef. varnosti	γ_{Bd} 1.0

$V_{Rd,c}$	Nosilnost preseka brez strižne armature	817.09 kN
$V_{Rd,max}$	Nosilnost armiranega prečnega prereza	004.65 kN
τ_{Rd}	Trdnost betona vsled delovanja glavnih napetosti	409.36 kN/m ²
$V_{Rd,max} / V_{Ed}$	Relativna varnost	3.62
$S_{w,max}$	Maksimalni razmak stremen	127.50 cm
$\rho_{w,min}$	Minimalni odstotek armiranja	0.10 %
$A_{s,min}$	Prerez minimalne armature	8.10 cm ² /m
$A_{s,max}$	Prerez maksimalne armature	125.12 cm ² /m
A_{sw}	Računsko potrebna armatura	10.37 cm ² /m
v_{Ed}	V_{Ed} / A_c	1120.95 kN/m ²
$v_{Rd,ct}$		552.08 MN/m ²
..		4057.19 kN/m ²
$\tau_{Rd,ct} < \tau_{Ed} < \tau_{Rd,max}$		

A_{sw}	Računsko potrebna stremenska armatura	
$A_{sw,Sh} + 2A_{sw,T}$	10.12	cm ² /m

A_{sw}	Izbrana armatura	
Premer armature	16	[mm]
Razmak stremen	15	[cm]
Strižnost	2	
$A_{sel,i}$	Izbrana armatura	26.81 cm ² /m

OBJEKT	MOST CERŠAK	PZI PROJEKT
PROJEKTANT	Ponting inženirski biro d.o.o., Jernej Maher univ.dipl.inž.grad	ŠT.NAČRTA 537-2/2020
KRAJ IN DATUM	Maribor, januar 2021	STRAN 165

Prerez

b [cm] h [cm] c [cm]

Wk [mm] h_{eff} ☒ Čisti nateg ☐ Nateg + upogib

k

Jeklo

E [GPa]

Premjer armature ds [mm]

Beton

kvaliteta

cement

Natezna sila v armaturi in betonu

Fs = 1.16 MN/m > Fcr = 0.97 MN/m

N.s. v armaturi razpokanega betona > N.s. v sodelujočem prerezu betona

>>> PREREZ Z MANJŠIMI ZAPRTIMI RAZPOKAMI <<<

Potrebna armatura za omejevanje razpok vsled hidratacije

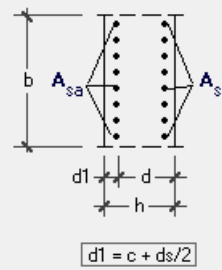
Kz,t => f_{ct,eff} = 1.75 MN/m² => σ_s = 184.89 MN/m²

A_{si} = A_{sa} = 36.88 cm² / 185 cm => Ø 20 / 15.50 cm

Potrebna armatura za omejevanje razpok vsled krčenja

Kz,t => f_{ct,eff} = 2.98 MN/m² => σ_s = 241.06 MN/m²

A_{si} = A_{sa} = 48.09 cm² / 185 cm => Ø 20 / 12.00 cm



Za omejevanje razpok vsled hidratacije in krčenja, nad delovnimi stiki, je potrebna minimalna prečna armatura $A_{sd,s} = \varnothing 20/10 = 31.4 \text{ cm}^2/\text{m}'$.

OBJEKT	MOST CERŠAK	PZI PROJEKT	
PROJEKTANT	Ponting inženirski biro d.o.o., Jernej Maher univ.dipl.inž.grad	ŠT.NAČRTA	537-2/2020
KRAJ IN DATUM	Maribor, januar 2021	STRAN	166

PREREZ 3- 3, B/H = 53/85 cm**Prečna stremenska armatura:**

Širina	b	.53 [m]	Ročica notranjih sil	z	.73 [m]
Višina	h	.85 [m]	Debelina stene	$t_{ef,i}$.16 [m]
Površina bet. prereza	A_c	.45 [m ²]	Površina	A_k	.3225 [m ²]
Statična višina	d	.75 [m]	Obseg ploskve A_k	u_k	2.36 [m]

Beton		Kot med betonsko tlačno diagonalo in osjo elem.	
Kvaliteta betona	C40/50	$\cot \theta$	2.50
Koeficient α_c	0.85	\Rightarrow	$\cot \theta$ 2.50 Samod. <input checked="" type="checkbox"/>
		θ	21.8

Armatura	
Kvaliteta armature	S 500
Površina vzdolžne arm.	A_{sl} 12 [cm ²]
$\rho_l = 0.0030$	Prednapeti element <input type="checkbox"/>

Obremenitev prereza	
Oсна sila	N_{Ed} -806 [kN]
Prečna sila	V_{Ed} 1672 [kN]
Torsion	T_{Ed} [kNm]
Koef. varnosti	γ_{Bd} 1.0

$V_{Rd,c}$	Nosilnost preseka brez strižne armature	272.74 kN
$V_{Rd,max}$	Nosilnost armiranega prečnega prereza	815.00 kN
τ_{Rd}	Trdnost betona vsled delovanja glavnih napetosti	409.36 kN/m ²
$V_{Rd,max} / V_{Ed}$	Relativna varnost	1.09
$S_{w,max}$	Maksimalni razmak stremen	56.25 cm
$\rho_{w,min}$	Minimalni odstotek armiranja	0.10 %
$A_{s,min}$	Prerez minimalne armature	5.36 cm ² /m
$A_{s,max}$	Prerez maksimalne armature	82.89 cm ² /m
A_{sw}	Računsko potrebna armatura	22.91 cm ² /m
v_{Ed}	V_{Ed} / A_c	3715.56 kN/m ²
$v_{Rd,ct}$		606.09 MN/m ²
..		4033.33 kN/m ²

$\tau_{Rd,ct} < \tau_{Ed} < \tau_{Rd,max}$

A_{sw}	Računsko potrebna stremenska armatura	
$A_{sw,Sh} + 2A_{sw,T}$	22.91	cm ² /m
A_{sw}	Izbrana armatura	
Premer armature	14	[mm]
Razmak stremen	10	[cm]
Strižnost	2	
$A_{sel,i}$	Izbrana armatura	30.79 cm ² /m

OBJEKT	MOST CERŠAK	PZI PROJEKT
PROJEKTANT	Ponting inženirski biro d.o.o., Jernej Maher univ.dipl.inž.grad	ŠT.NAČRTA 537-2/2020
KRAJ IN DATUM	Maribor, januar 2021	STRAN 167

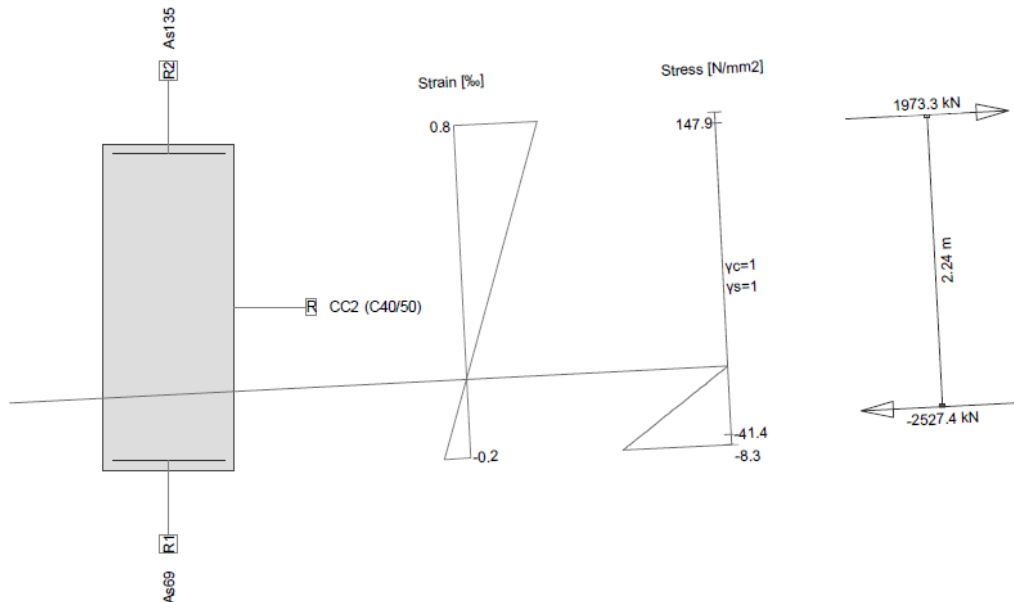
Mejno stanje uporabnosti – Kontrola razpokPREREZ 1- 1, B/H = 100/250 cm

Izbrana vzdolžna upogibna armatura ...

$$22\varnothing 28/15 = 135.3 \text{ cm}^2$$

$$\sigma_{S,\max} = 148 \text{ MPa} \Rightarrow w_k = 0,17 \text{ mm}$$

Scale 1:45.7

Cross-section PILON SPODAJ (C40/50;B500B): Stress analysis with given forces $N_x=-554.0; M_y=-5018.0; M_z=39.0; V_y=21.0; V_z=401.0;$ **Stress analysis Girder-Cross section: PILON SPODAJ****Action forces**

No.	AP	P	Bending and axial force			Shear forces and torsion			Remarks
			N [kN]	M_y [kNm]	M_z [kNm]	V_y [kN]	V_z [kN]	T [kNm]	
1	!SLS		-554.0	-5018.0	39.0	21.0	401.0	0	-

Analysis-Parameters "SLS", Code: Eurocode ENV/EN

ID	σ -s-Diagram			Strain Limits			Partial safety factor				Various parameters			
	c	s		ϵ_{c2} [‰]	ϵ_{cu3} [‰]	ϵ_{ud} [‰]	σ_s [N/mm²]	α_{cc} [-]	γ_c [-]	γ_s [-]	θ [°]	ϕ [-]		
!SLS	1/0	1					200.0	1.00	1.00	1.00	45.00	0		

 θ : Inclination of diagonal in compression ϕ : Creep coefficient**Extreme stresses and strain**

Name	Class	y_q [m]	z_q [m]	ϵ [‰]	σ_d [N/mm²]	γ [-]
R	C40/50	0.50	0.00	-0.2	-8.3	1.00
R	C40/50	-0.50	2.50	0.8	0	1.00
R1	B500B	0.42	0.08	-0.2	-41.4	1.00
R2	B500B	-0.42	2.43	0.7	147.9	1.00

Stresses in homogeneous cross section (linear material properties)

Name	Weight	y_q [m]	z_q [m]	σ_{elast} [N/mm²]
R	1.00	0.50	0.00	-5.1
R	1.00	-0.50	2.50	4.7

OBJEKT	MOST CERŠAK	PZI PROJEKT	
PROJEKTANT	Ponting inženirski biro d.o.o., Jernej Maher univ.dipl.inž.grad	ŠT.NAČRTA	537-2/2020
KRAJ IN DATUM	Maribor, januar 2021	STRAN	168

alfa-e =	6,4516	razmerje elastičnih modulov
effRO =	0,0831	efektivni procent armiranja
Esm-Ecm =	0,000611	razlika deformacij armature in betona med razpokami
Sr,max =	0,278 m	maksimalni razmak razpok
Wk =	0,17 mm	karakteristična razpoka

OBJEKT	MOST CERŠAK	PZI PROJEKT	
PROJEKTANT	Ponting inženirski biro d.o.o., Jernej Maher univ.dipl.inž.grad	ŠT.NAČRTA	537-2/2020
KRAJ IN DATUM	Maribor, januar 2021	STRAN	169

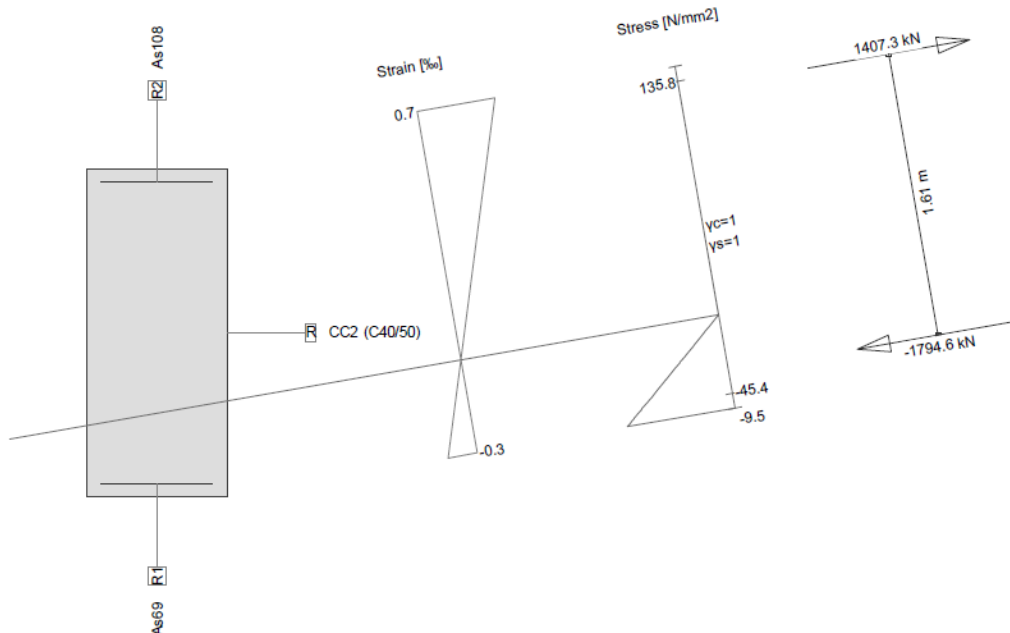
PREREZ 2- 2, B/H = 80/185 cm

Izbrana vzdolžna upogibna armatura ...

$$22\varnothing 25/15 = 107.8 \text{ cm}^2$$

$$\sigma_{S,\max} = 136 \text{ MPa} \Rightarrow w_k = 0,15 \text{ mm}$$

Scale 1:33.6

Cross-section PILON SREDA (C40/50;B500B): DesignStress analysis with given forces $N_x=-387.0; M_y=-2594.0; M_z=71.0; V_y=8.0; V_z=608.0;$ **Stress analysis Girder-Cross section: PILON SREDA****Action forces**

No.	AP	P	Bending and axial force			Shear forces and torsion			Remarks
			N [kN]	M_y [kNm]	M_z [kNm]	V_y [kN]	V_z [kN]	T [kNm]	
1	!SLS		-387.0	-2594.0	71.0	8.0	608.0	0	

Analysis-Parameters "SLS", Code: Eurocode ENV/EN

ID	σ -e-Diagram		Strain Limits			Partial safety factor				Various parameters			
	c	s	ϵ_{c2} [‰]	ϵ_{cu3} [‰]	ϵ_{ud} [‰]	σ_s [N/mm²]	α_{cc} [-]	γ_c [-]	γ_s [-]	θ [-]	ϕ [-]		
!SLS	1/0	1				200.0	1.00	1.00	1.00	45.00	0		

 θ : Inclination of diagonal in compression ϕ : Creep coefficient**Extreme stresses and strain**

Name	Class	y_q [m]	z_q [m]	ϵ [‰]	σ_d [N/mm²]	γ [-]
R	C40/50	0.40	0	-0.3	-9.5	1.00
R	C40/50	-0.40	1.85	0.7	0	1.00
R1	B500B	0.32	0.07	-0.2	-45.4	1.00
R2	B500B	-0.32	1.78	0.7	135.8	1.00

Stresses in homogeneous cross section (linear material properties)

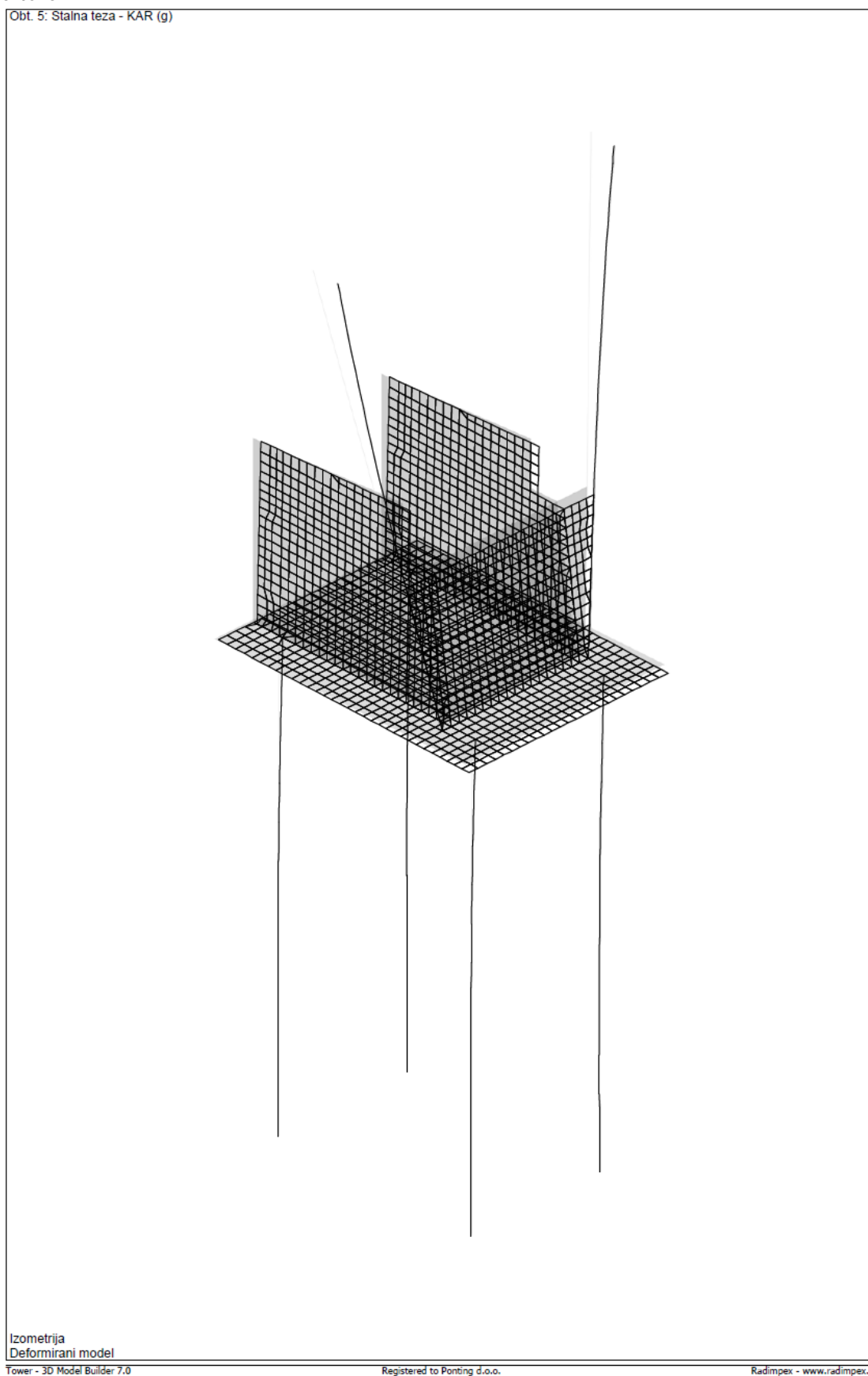
Name	Weight	y_q [m]	z_q [m]	σ_{elast} [N/mm²]
R	1.00	0.40	0	-6.3
R	1.00	-0.40	1.85	5.8

alfa-e = 5,7143 razmerje elastičnih modulov**effRO =** 0,0658 efektni procent armiranja**Esm-Ecm =** 0,000534 razlika deformacij armature in betona med razpokami**Sr,max =** 0,286 m maksimalni razmak razpok**Wk =** 0,15 mm karakteristična razpoka

OBJEKT	MOST CERŠAK	PZI PROJEKT	
PROJEKTANT	Ponting inženirski biro d.o.o., Jernej Maher univ.dipl.inž.grad	ŠT.NAČRTA	537-2/2020
KRAJ IN DATUM	Maribor, januar 2021	STRAN	170

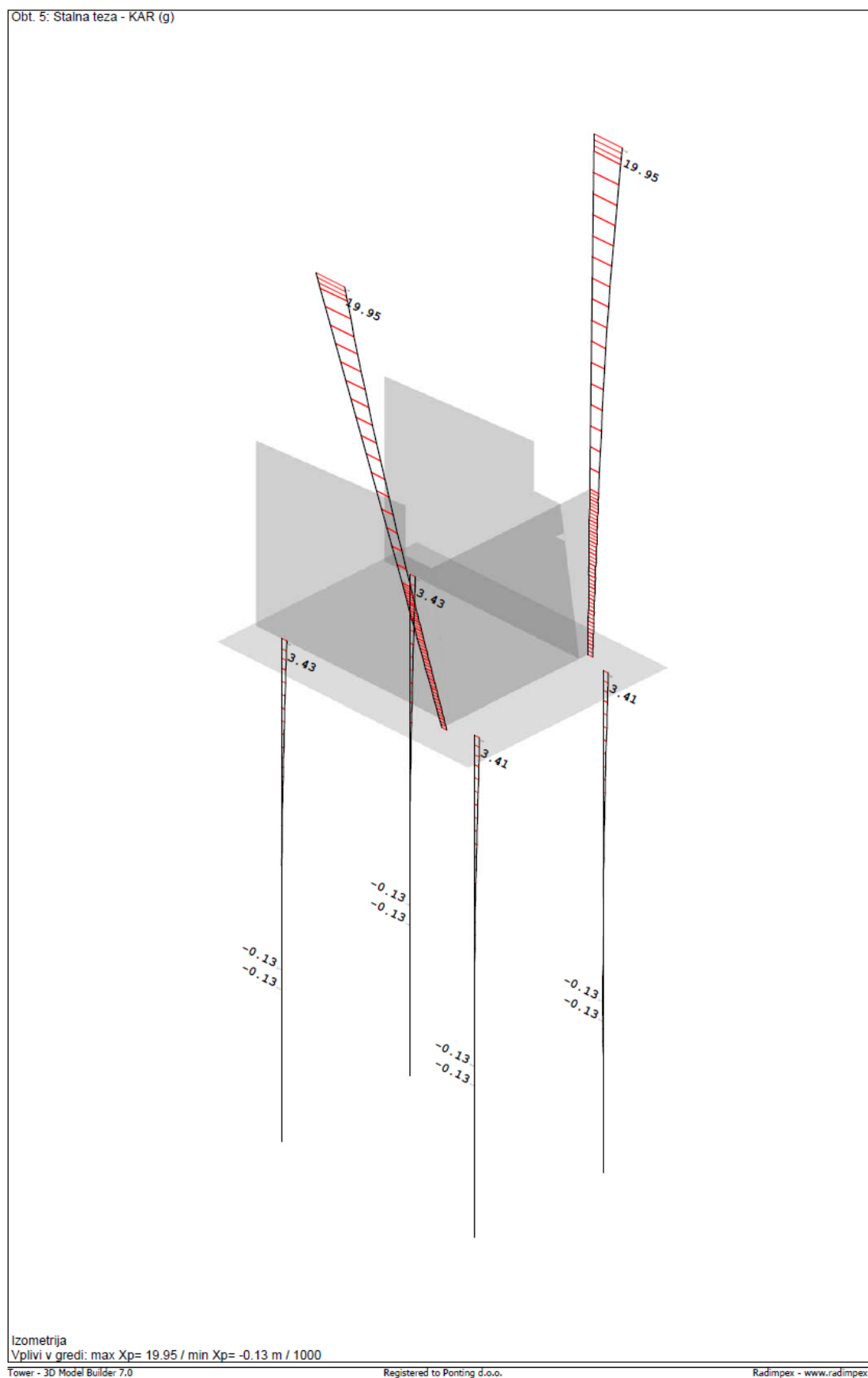
7.3.4.2 Kontrola deformacij

Stalna teža

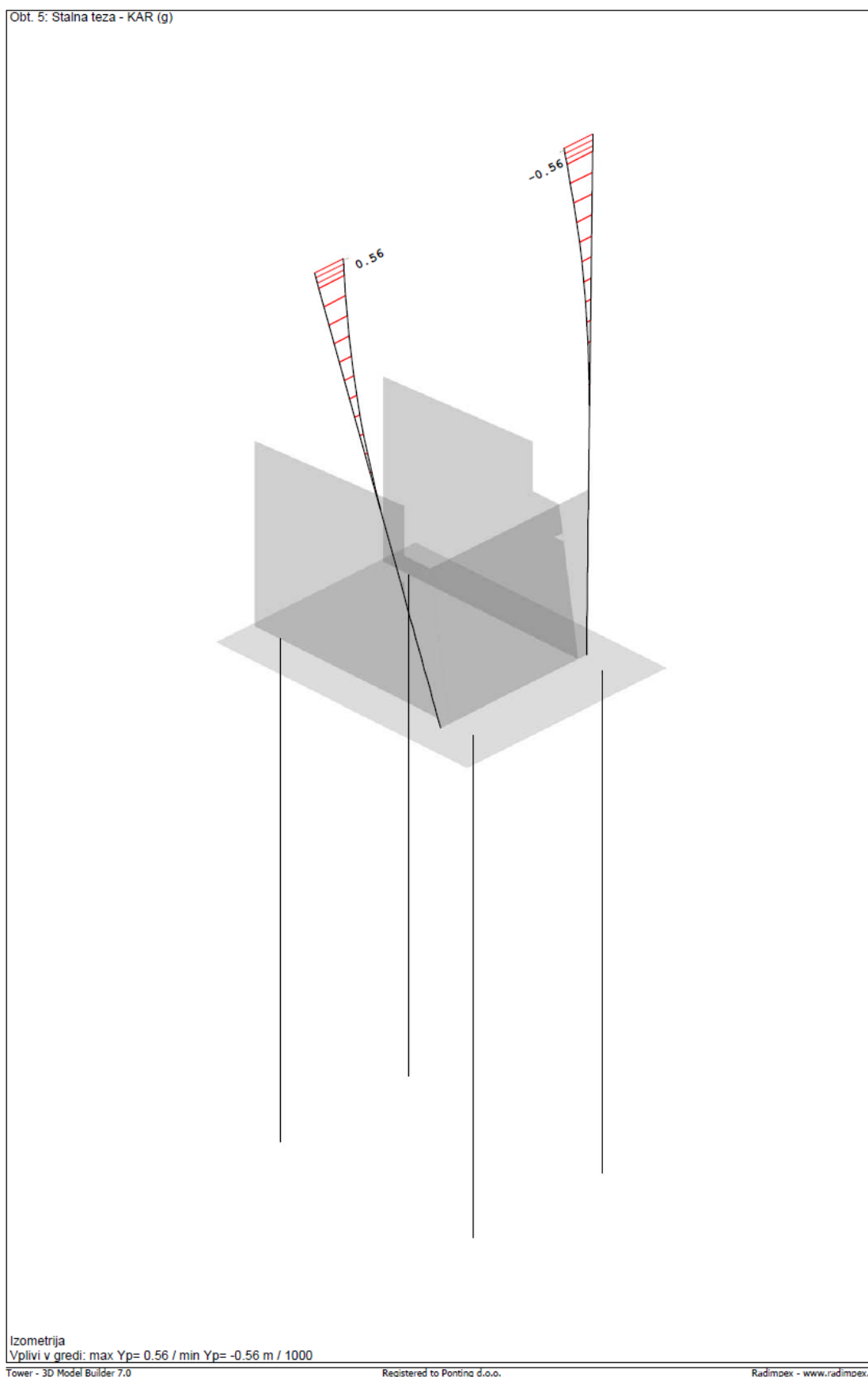


OBJEKT	MOST CERŠAK	PZI PROJEKT	
PROJEKTANT	Ponting inženirski biro d.o.o., Jernej Maher univ.dipl.inž.grad	ŠT.NAČRTA	537-2/2020
KRAJ IN DATUM	Maribor, januar 2021	STRAN	171

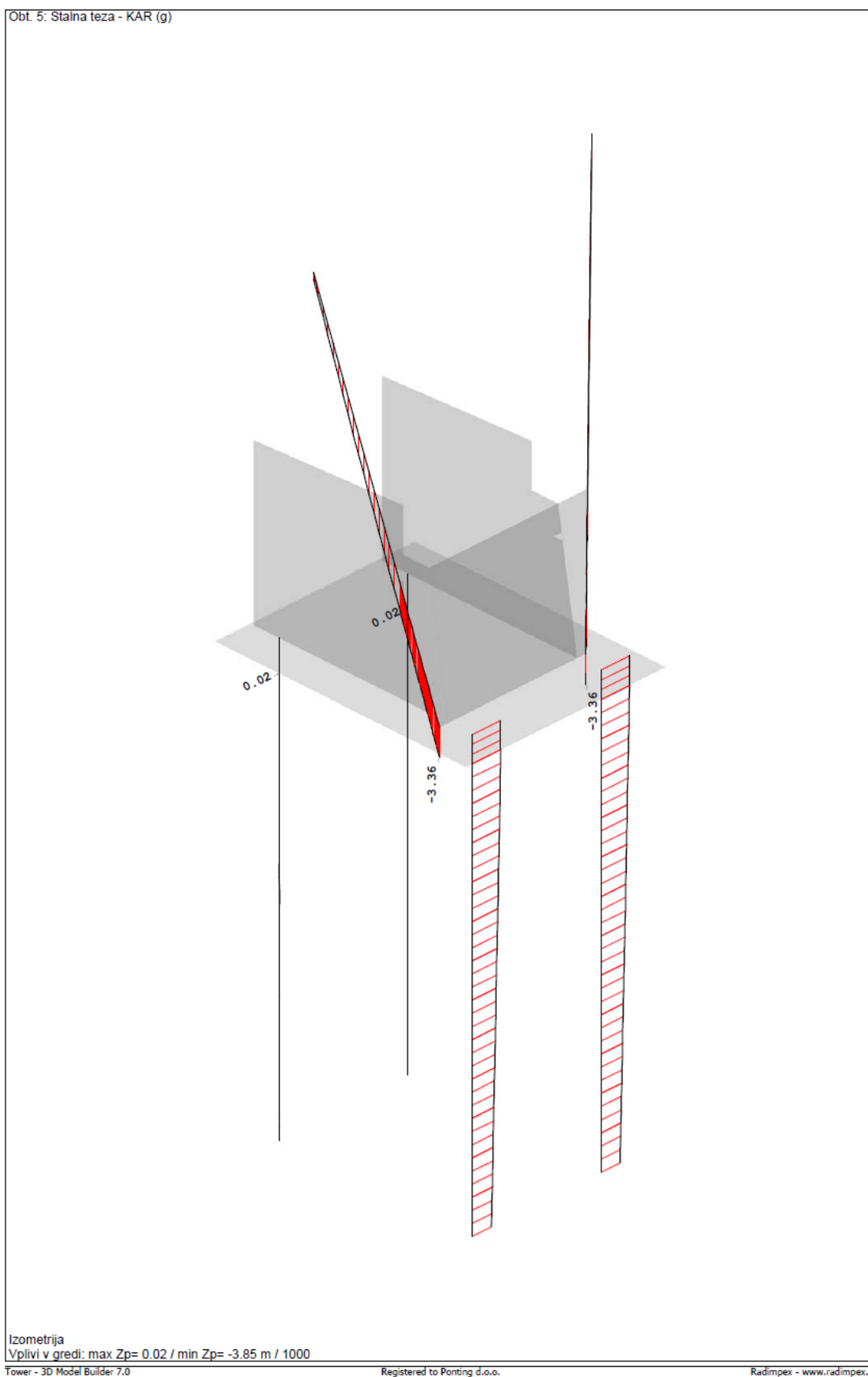
Prikaz deformiranega modela

Deformacija vzdolžno ... u_x (mm)

OBJEKT	MOST CERŠAK	PZI PROJEKT	
PROJEKTANT	Ponting inženirski biro d.o.o., Jernej Maher univ.dipl.inž.grad	ŠT.NAČRTA	537-2/2020
KRAJ IN DATUM	Maribor, januar 2021	STRAN	172

Deformacija prečno ... u_y (mm)

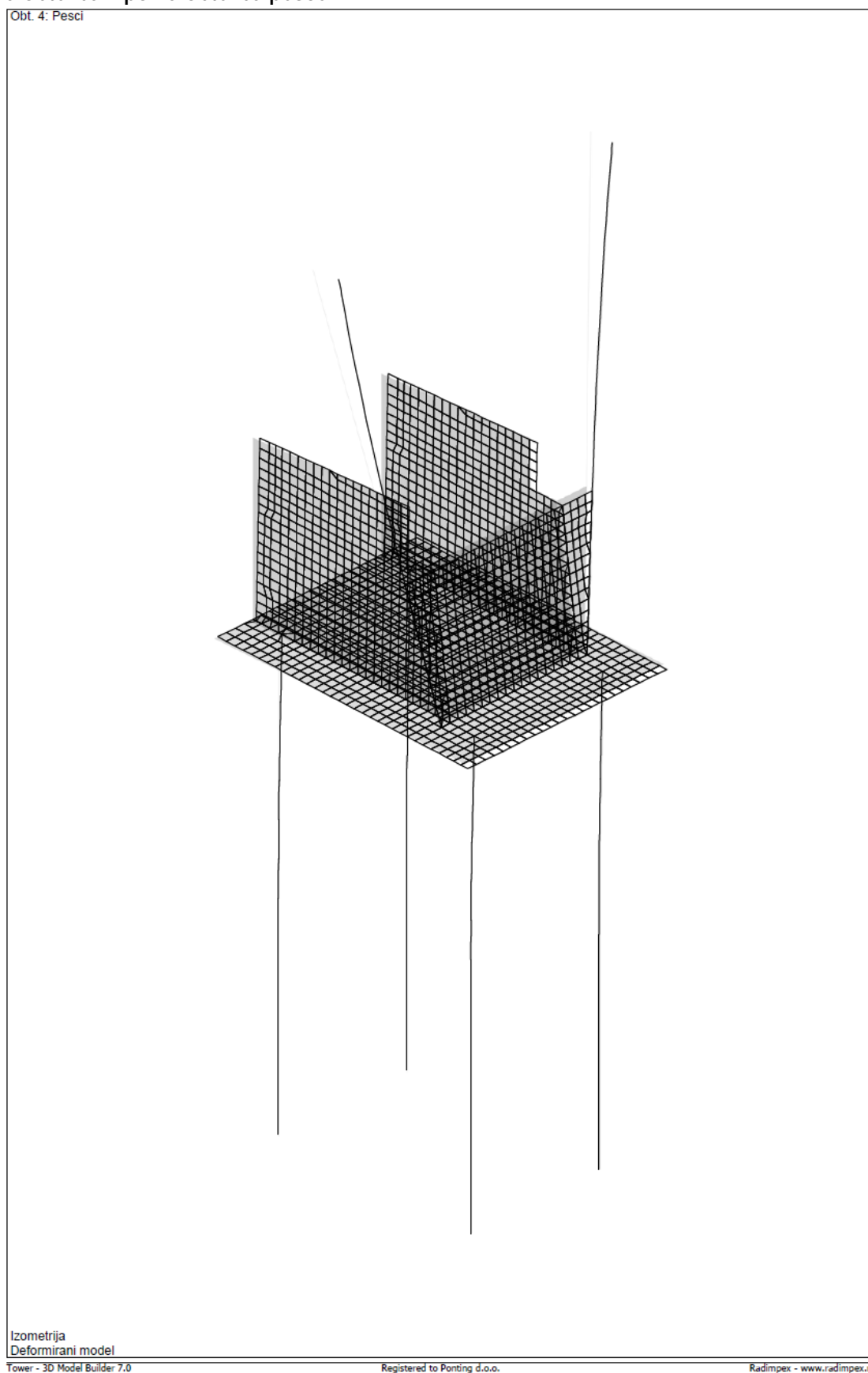
OBJEKT	MOST CERŠAK	PZI PROJEKT	
PROJEKTANT	Ponting inženirski biro d.o.o., Jernej Maher univ.dipl.inž.grad	ŠT.NAČRTA	537-2/2020
KRAJ IN DATUM	Maribor, januar 2021	STRAN	173



Deformacija vertikalno ... u_z (mm)

OBJEKT	MOST CERŠAK	PZI PROJEKT	
PROJEKTANT	Ponting inženirski biro d.o.o., Jernej Maher univ.dipl.inž.grad	ŠT.NAČRTA	537-2/2020
KRAJ IN DATUM	Maribor, januar 2021	STRAN	174

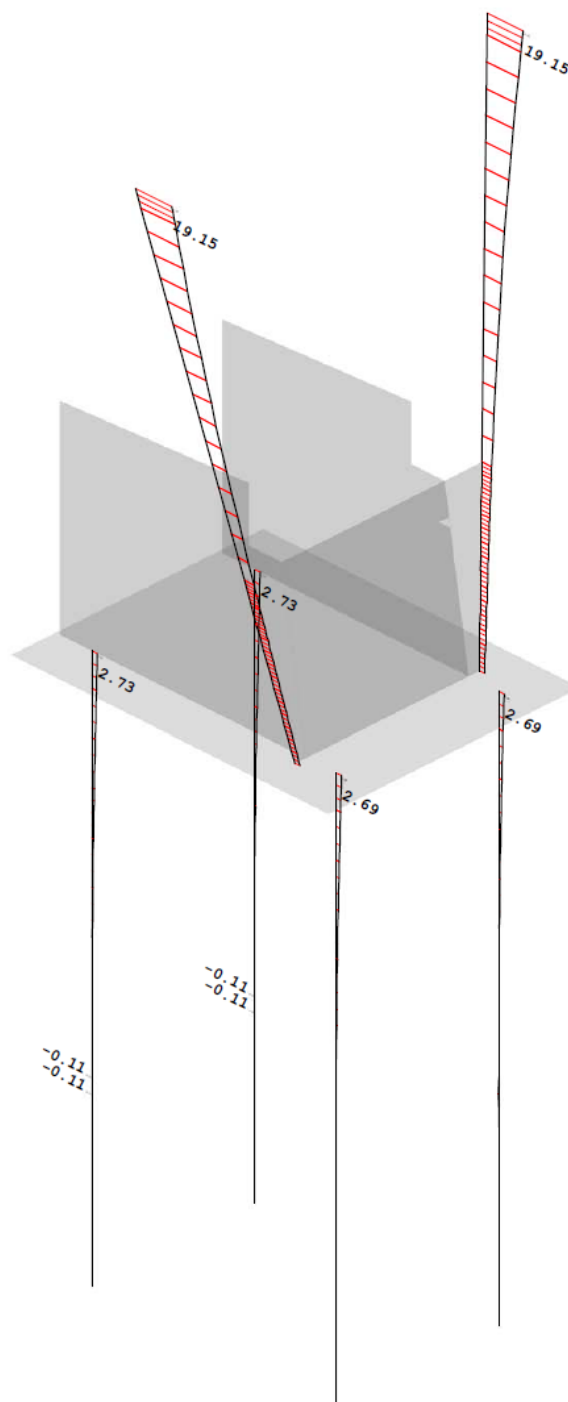
Koristna obtežba – polna obtežba pešcev



Prikaz deformiranega modela

OBJEKT	MOST CERŠAK	PZI PROJEKT	
PROJEKTANT	Ponting inženirski biro d.o.o., Jernej Maher univ.dipl.inž.grad	ŠT.NAČRTA	537-2/2020
KRAJ IN DATUM	Maribor, januar 2021	STRAN	175

Obt. 4: Pesci



Izometrija

Vplivi v gredi: max $X_p = 19.15$ / min $X_p = -0.11$ m / 1000

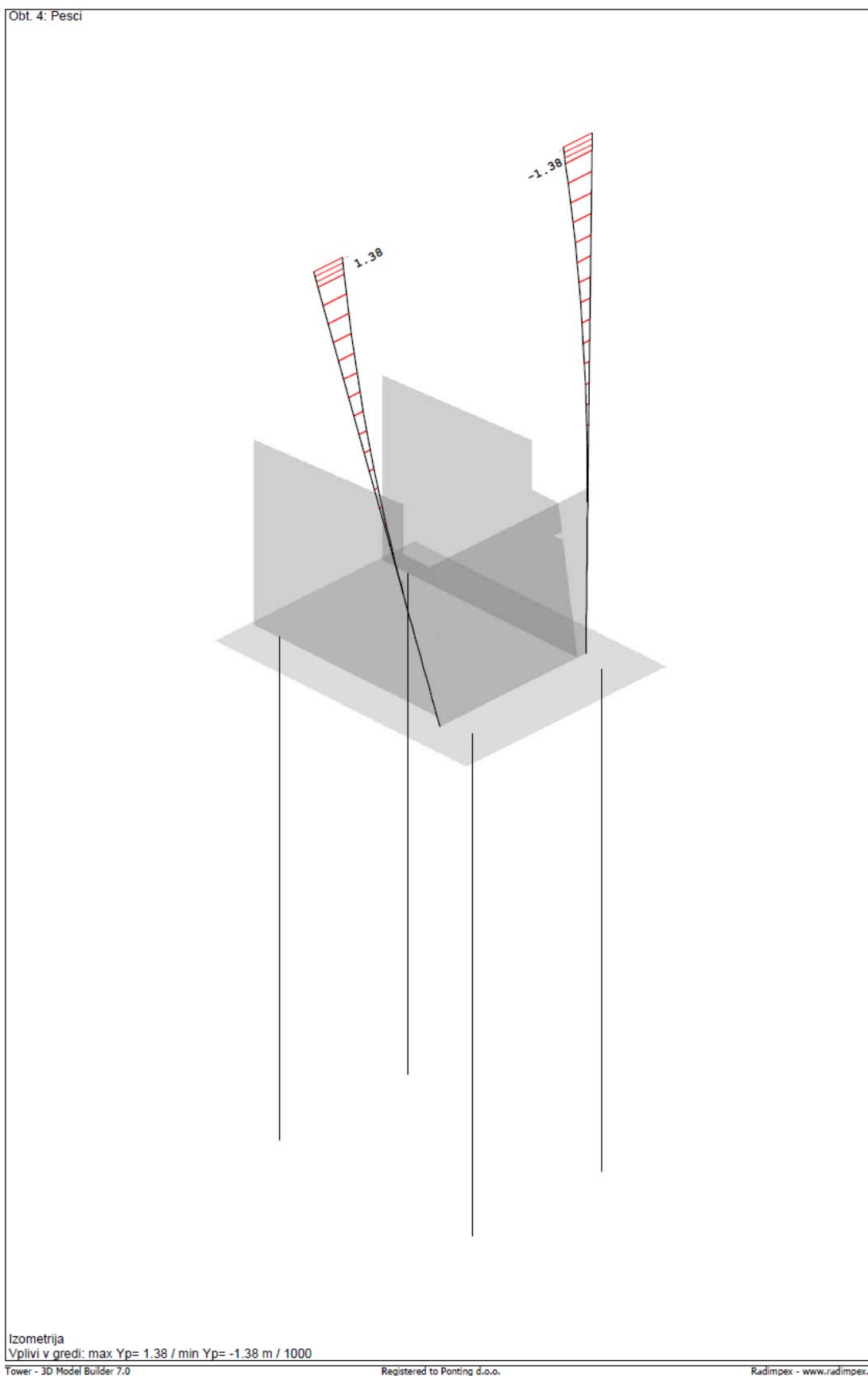
Tower - 3D Model Builder 7.0

Registered to Ponting d.o.o.

Radimpex - www.radimpex.rs

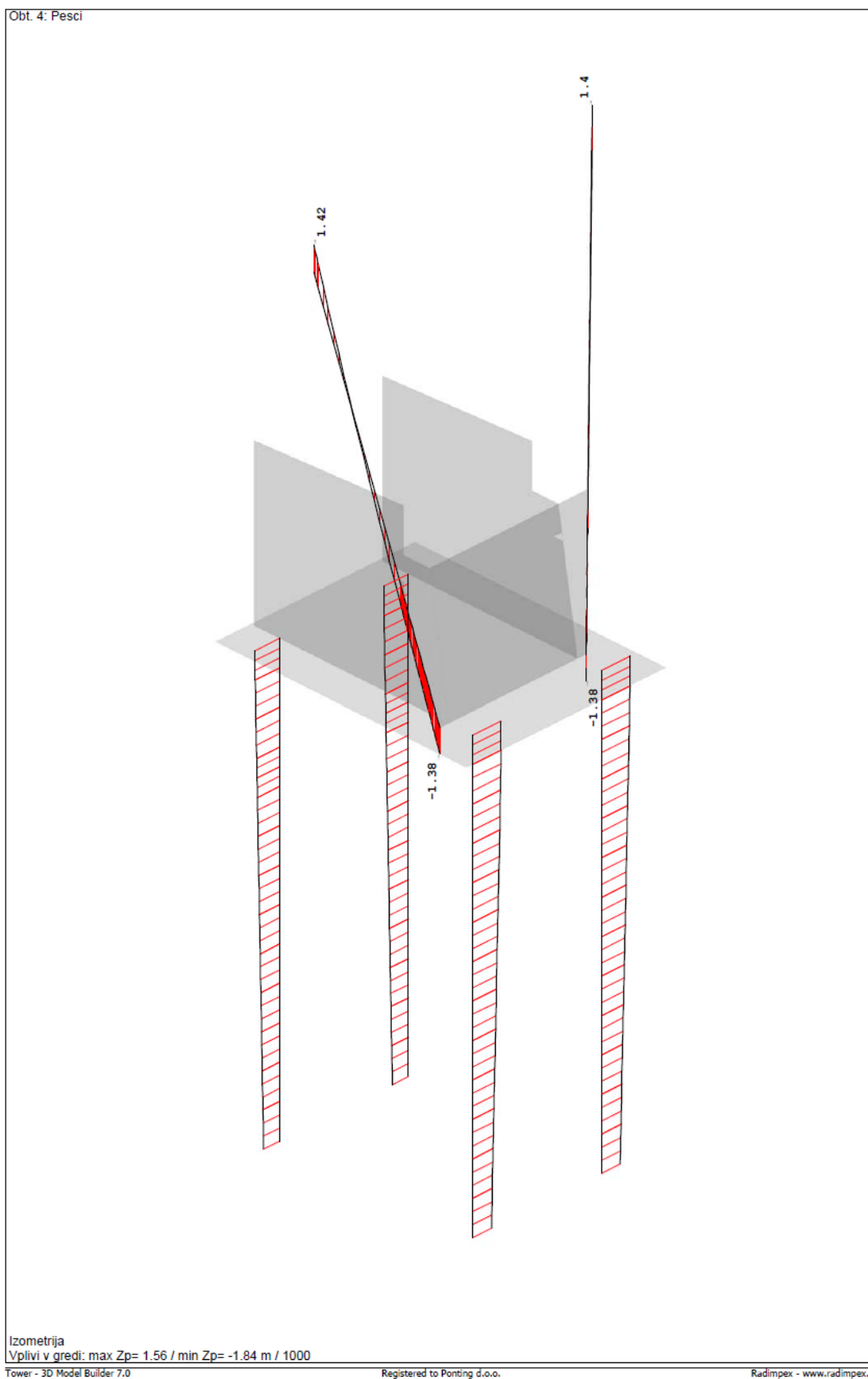
Deformacija vzdolžno ... u_x (mm)

OBJEKT	MOST CERŠAK	PZI PROJEKT	
PROJEKTANT	Ponting inženirski biro d.o.o., Jernej Maher univ.dipl.inž.grad	ŠT.NAČRTA	537-2/2020
KRAJ IN DATUM	Maribor, januar 2021	STRAN	176



Deformacija prečno ... u_y (mm)

OBJEKT	MOST CERŠAK	PZI PROJEKT	
PROJEKTANT	Ponting inženirski biro d.o.o., Jernej Maher univ.dipl.inž.grad	ŠT.NAČRTA	537-2/2020
KRAJ IN DATUM	Maribor, januar 2021	STRAN	177



Deformacija vertikalno ... u_z (mm)

OBJEKT	MOST CERŠAK	PZI PROJEKT	
PROJEKTANT	Ponting inženirski biro d.o.o., Jernej Maher univ.dipl.inž.grad	ŠT.NAČRTA	537-2/2020
KRAJ IN DATUM	Maribor, januar 2021	STRAN	178

8.0 ANALIZA LEŽIŠČ IN DILATACIJ

8.1 SPLOŠNO

Vzdolžna glavna nosilca sta podprta z jeklenimi členkastimi ležišči, ki so sidrana v stene opornika. Povezava med nosilci in ležišči je zagotovljena s pomočjo jeklenega čevlja in moznikov. Dilatacija se izvede s pomočjo dilatacijskega jeklenega pločevinastega prekritja z območjem delovanja -27,0 / +44,3 mm.

8.2 ANALIZA OBTEŽB

Obtežbe, ki so se upoštevale so bile opisane že v poglavju 2.

8.2 OBREMENTITVE IN POMIKI

V spodnji tabeli so tabelarično prikazane obremenitve in pomiki po posameznih obtežnih primerih. Natezne obremenitve so podane z negativnim predznakom.

Kontrola ležišč - CERŠAK								
Os 1		Jekleno členkasto ležišče			Nepomično			
Obtežni primer		Fx	Fy	Fz			Pomik - ležišče	Pomik - dilatacija
Stalne obtežbe	Tlak	0,0	0,0	16,9		skrček	0,0	0,0
	Nateg			-16,9		raztezek	0,0	0,0
Ovojnica promet	Tlak	132,5	15,6	73,4		skrček	0,0	15,5
	Nateg			37,5		raztezek	0,0	6,0
Veter	Tlak	186,0	49,2	4,1		skrček	0,0	3,8
	Nateg			4,1		raztezek	0,0	3,8
Temperatura	Tlak	0,0	0,0	5,8		skrček	0,0	3,5
	Nateg			5,5		raztezek	0,0	3,5
Reologija	Tlak	0,0	0,0	0,0		skrček	0,0	0,0
	Nateg			0,0		raztezek	0,0	0,0
Potres	Tlak	71,5	14,7	5,9		skrček	0,0	2,6
	Nateg			5,9		raztezek	0,0	2,6

OBJEKT	MOST CERŠAK	PZI PROJEKT	
PROJEKTANT	Ponting inženirski biro d.o.o., Jernej Maher univ.dipl.inž.grad	ŠT.NAČRTA	537-2/2020
KRAJ IN DATUM	Maribor, januar 2021	STRAN	179

Kontrola ležišč - CERŠAK

Os 2		Jekleno členkasto ležišče			Pomično			
Obtežni primer		Fx	Fy	Fz			Pomik - ležišče	Pomik - dilatacija
Stalne obtežbe	Tlak	0,0	0,0	16,9		skrček	0,0	0,0
	Nateg			-16,9		raztezek	1,9	1,1
Ovojnica promet	Tlak	0,0	3,7	72,1		skrček	3,6	3,8
	Nateg			36,2		raztezek	44,0	34,2
Veter	Tlak	0,0	42,9	4,6		skrček	7,5	5,5
	Nateg			4,6		raztezek	7,5	5,5
Temperatura	Tlak	0,0	0,0	5,8		skrček	15,7	12,3
	Nateg			5,5		raztezek	15,7	12,3
Reologija	Tlak	0,0	0,0	0,0		skrček	8,6	8,6
	Nateg			0,0		raztezek	0,0	0,0
Potres	Tlak	0,0	10,9	5,0		skrček	3,4	3,2
	Nateg			5,0		raztezek	3,4	3,2

OBJEKT	MOST CERŠAK	PZI PROJEKT	
PROJEKTANT	Ponting inženirski biro d.o.o., Jernej Maher univ.dipl.inž.grad	ŠT.NAČRTA	537-2/2020
KRAJ IN DATUM	Maribor, januar 2021	STRAN	180

Deformacija zaradi krčenja in nabrekanja:

Pri spremembi vlažnosti lesa za 1% je potrebno upoštevati spremembo vzdolžne dolžine le tega za 0,01%. Statistično gledano povprečna vlažnost znaša za meteorološko postajo Maribor 72%, glede na lokacijo pa lahko upoštevamo nekoliko višjo. Predpostavimo, da je les izpostavljen zunanji relativni vlažnosti RH=80%.

V konstrukcijo se bo vgradil les vlažnosti 18-20%, ki je priporočen za mostne konstrukcije. Iz diagrama za določitev ravnotežja vlažnosti lahko odčitamo, da pri RH=80% in upoštevani vlažnosti lesa 18%:

Temperatura	Ravnotežna vlažnost	Razlika vlažnosti
0°C	17,2 %	0,8%
37°C	16,0 %	2,0%

Les se bo maksimalno posušil za 2% in se na ta način skrčil za:

$$\Delta L = L/2 \cdot 2 \cdot 0.01 \cdot 10^{-2} = 8,6\text{mm}$$

Diagram za določitev ravnotežja vlažnosti:

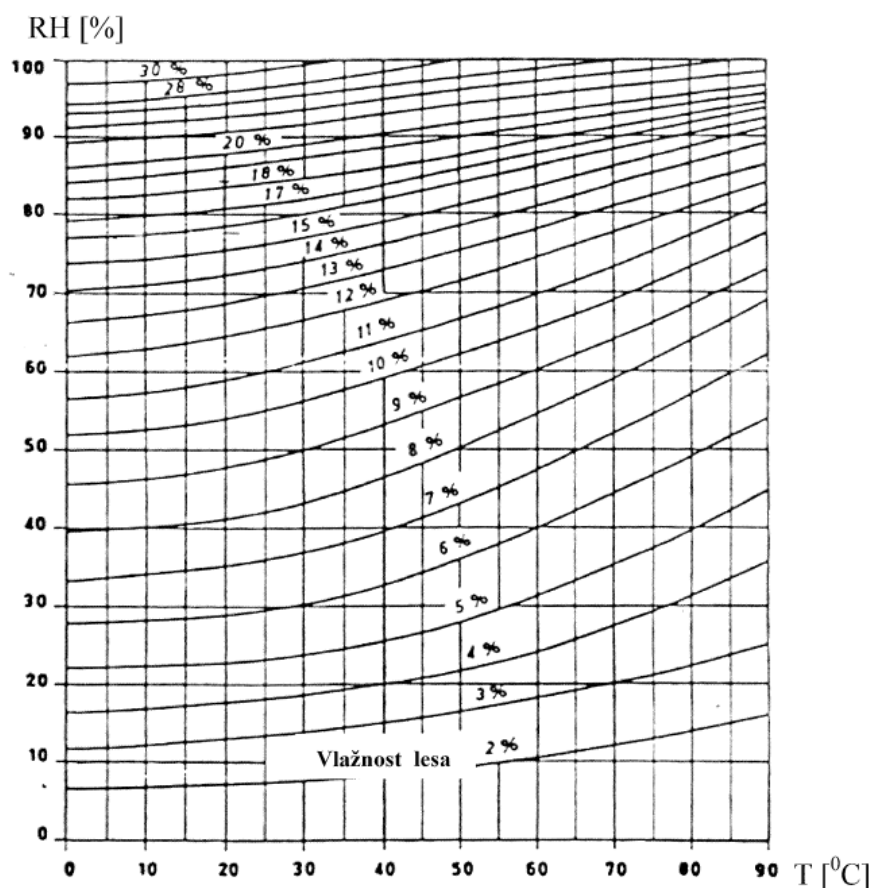


Diagram za določitev ravnotežja vlažnosti

OBJEKT	MOST CERŠAK	PZI PROJEKT	
PROJEKTANT	Ponting inženirski biro d.o.o., Jernej Maher univ.dipl.inž.grad	ŠT.NAČRTA	537-2/2020
KRAJ IN DATUM	Maribor, januar 2021	STRAN	181

8.3 LEŽIŠČA

Pri ležiščih smo upoštevali skladno z EN1990; Annex A2 A.2.2.3 (2), da ni potrebno hkrati upoštevati temperaturne in vetrne obtežbe. Maksimalni pomiki so bili izračunani ob povečani temperaturi za 10°C za karakteristično kombinacijo:

$$\sum G_{kj} + P_k + Q_{k1} + \sum \psi_{0i} \cdot Q_{ki}$$

8.3.1 Kontrola pomikov

Kontrola pomikov LEŽIŠČE		
Levi objekt	OS1	OS2
tip ležišča	Nepomično členkasto jeklono ležišče	Pomično členkasto jeklono ležišče
krčenje lesa (-) [mm]	0,0	8,6
temperatura ±27,0 (+10st) [mm]	0,0	15,7
promet (+) [mm]	0,0	44,0
promet (-) [mm]	0,0	3,6
veter (±) [mm]	0,0	7,5
potres (±) [mm]	0,0	3,4
Kombinacija - regularne obtežbe		
max. skrčec [mm]	0,0	31,6
max. raztezek [mm]	0,0	56,9
skupni pomik [mm]	0,0	88,5
Kombinacija - potres		
max. skrčec s potresom [mm]	0,0	27,7
max. raztezek s potresom [mm]	0,0	19,1
skupni pomik [mm]	0,0	46,8
Ovojnica maksimalnih pomikov		
maksimalni skupni pomik [mm]	0,0	88,5

OBJEKT	MOST CERŠAK	PZI PROJEKT	
PROJEKTANT	Ponting inženirski biro d.o.o., Jernej Maher univ.dipl.inž.grad	ŠT.NAČRTA	537-2/2020
KRAJ IN DATUM	Maribor, januar 2021	STRAN	182

8.3.2 Kontrola reakcij

Os 1:

Os 1	Jekleno členkasto ležišče	Nepomično
------	---------------------------	-----------

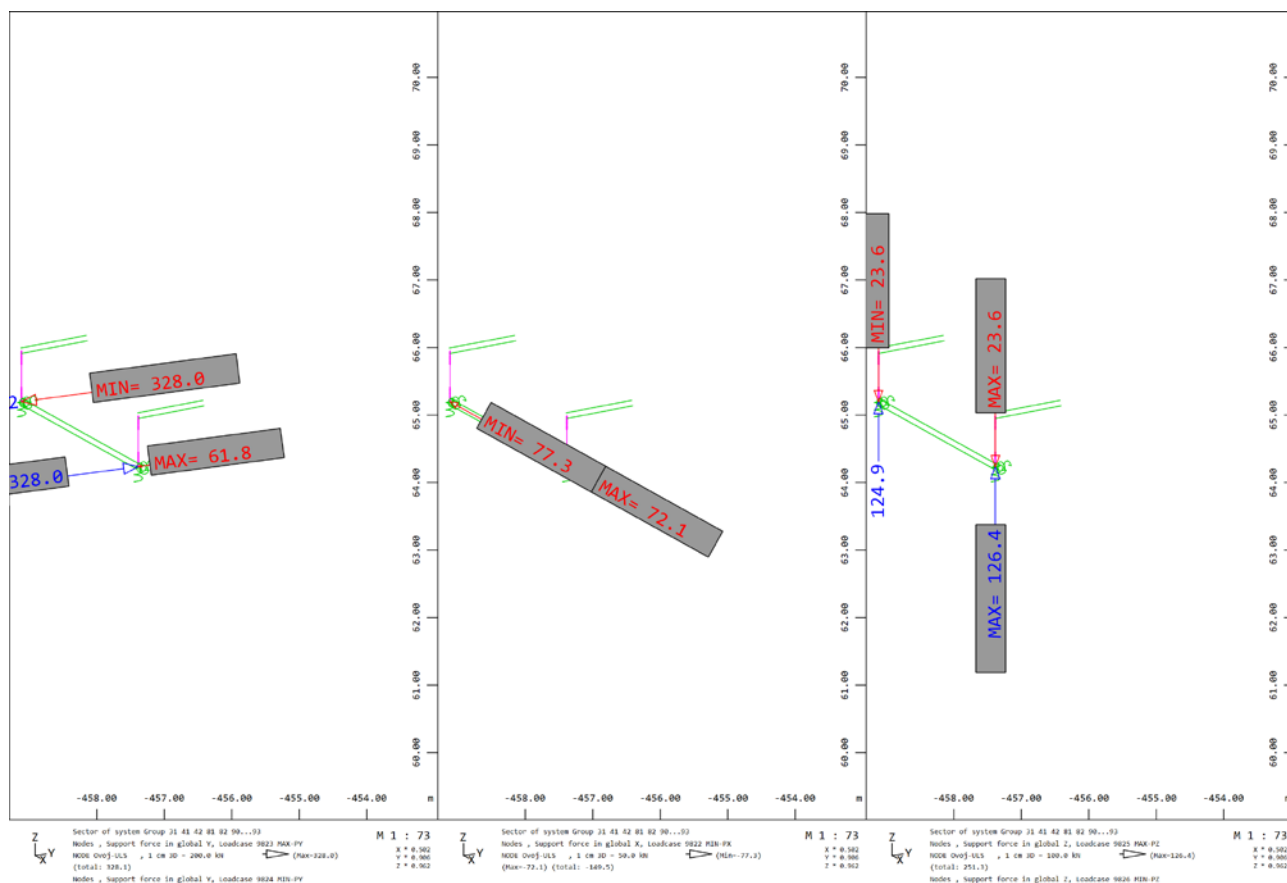
Maksimalne sile	Prevladujoč promet				Prevladujoč veter			
	Fx	Fy		Fz	Fx	Fy		Fz
MSU - karak.komb.	188,3	30,4	Tlak	95,0	239,0	55,4	Tlak	53,8
			Nateg	25,1			Nateg	5,5

	Fx	Fy		Fz	Fx	Fy		Fz
MSN - regularne obt.	262,6	43,2	Tlak	129,0	350,6	82,2	Tlak	73,8
			Nateg	40,5			Nateg	14,5

	Fx	Fy		Fz
MSN - potres	71,5	14,7	Tlak	25,7
			Nateg	-8,3

Maksimalne reakcije izračunane s pomočjo programa Sofistik:

Os 1



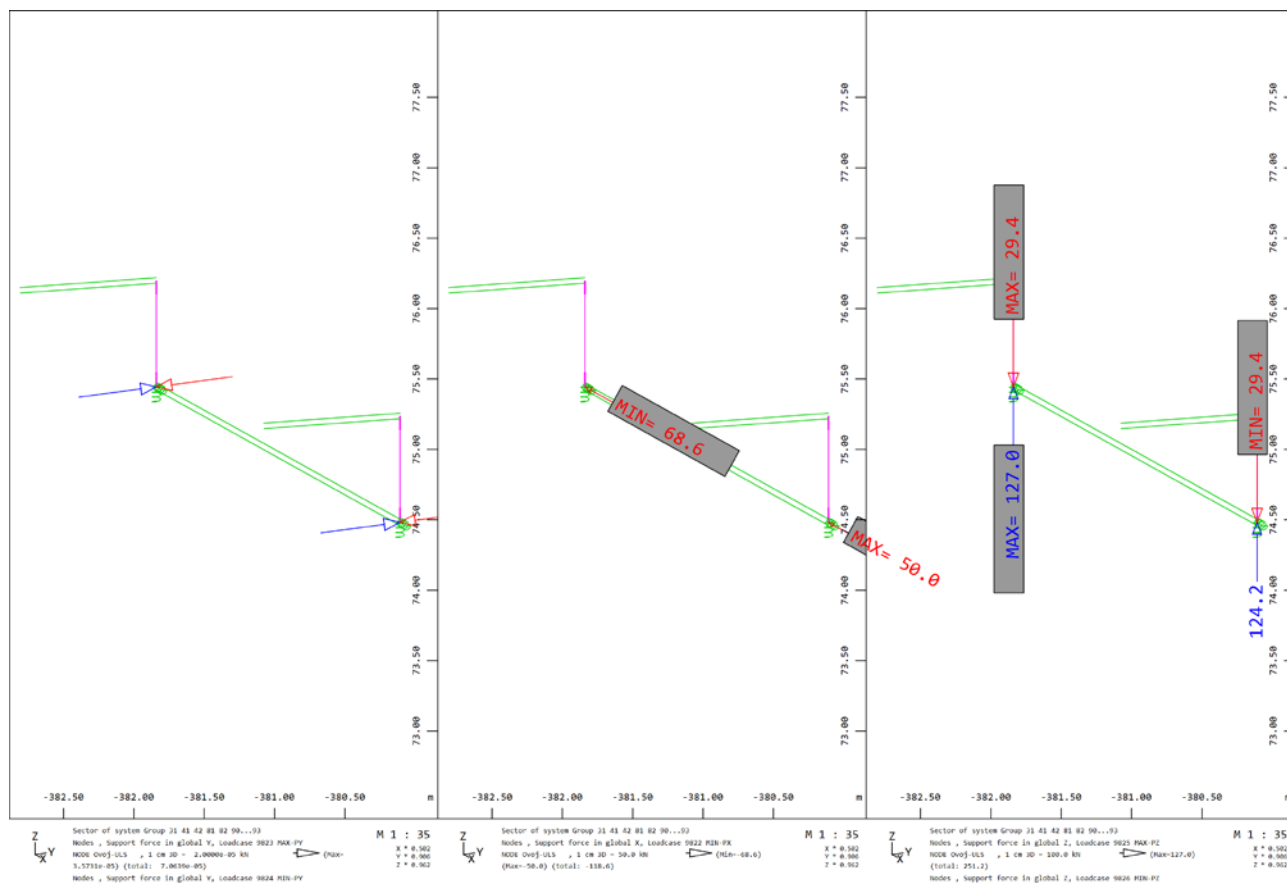
OBJEKT	MOST CERŠAK	PZI PROJEKT
PROJEKTANT	Ponting inženirski biro d.o.o., Jernej Maher univ.dipl.inž.grad	ŠT.NAČRTA 537-2/2020
KRAJ IN DATUM	Maribor, januar 2021	STRAN 183

Os 2:

Os 2	Jekleno členkasto ležišče				Pomično			
Maksimalne sile	Prevladujoč promet				Prevladujoč veter			
	Fx	Fy		Fz	Fx	Fy		Fz
MSU - karak.komb.	0,0	16,6	Tlak	93,9	0,0	44,4	Tlak	53,8
			Nateg	24,0			Nateg	5,5
MSN - regularne obt.	Fx	Fy		Fz	Fx	Fy		Fz
	0,0	24,3	Tlak	127,4	0,0	66,3	Tlak	73,9
			Nateg	39,0			Nateg	14,5
MSN - potres	Fx	Fy		Fz				
	0,0	10,9	Tlak	24,8				
			Nateg	-9,2				

Maksimalne reakcije izračunane s pomočjo programa Sofistik:

Os 2



OBJEKT	MOST CERŠAK	PZI PROJEKT	
PROJEKTANT	Ponting inženirski biro d.o.o., Jernej Maher univ.dipl.inž.grad	ŠT.NAČRTA	537-2/2020
KRAJ IN DATUM	Maribor, januar 2021	STRAN	184

Potrebne karakteristike jeklenega členkastega ležišča		
Os mostu	Os 1	Os 2
Tip ležišča	Nepomično	Pomično
Maksimalni skrčec [mm]	0	31,6
Maksimalni raztezek [mm]	0	56,9
Skupni pomik [mm]	0	88,5
Nosilnost	Os 1	Os 2
Vertikalna nosilnost [kN]	129,0/-40,5	127,4/-39,0
Vzdolžna nosilnost [kN]	350,6	0
Prečna nosilnost [kN]	82,2	68,6

OBJEKT	MOST CERŠAK	PZI PROJEKT
PROJEKTANT	Ponting inženirski biro d.o.o., Jernej Maher univ.dipl.inž.grad	ŠT.NAČRTA 537-2/2020
KRAJ IN DATUM	Maribor, januar 2021	STRAN 185

8.3.3 Analiza čepa in pločevin ležišča

Upoštevana kvaliteta materiala znaša S355:

- debelina pločevin $t=20\text{mm}$ ($f_y=345\text{MPa}$, $f_u=470\text{MPa}$)
- premer čepa $d=50\text{mm}$ ($f_y=335\text{MPa}$, $f_u=470\text{MPa}$)

Obremenitve za analizo po MSN:

Vertikalna obtežba: 129 kN
 Horizontalna obtežba – vzdolžna: 350,6 kN
 Horizontalna obtežba – prečna: 82,2 kN

Maksimalne obremenitve za sidranje ležišča s pripadajočimi vrednostmi						
Maksimalna sila	$F_{x\text{-vzd.}}$ [kN]	$F_{y\text{-pre.}}$ [kN]	$F_{xy\text{-pre.}}$ [kN]	N [kN]	$M_{\text{vzd.}}$ [kNm]	$M_{\text{pre.}}$ [kNm]
Vzdolžna sila	350,6	82,2	360,12	14,5	64,34	15,08
Prečna sila	350,6	82,2	360,12	14,5	64,34	15,08
Nateg	262,6	43,2	266,13	40,5	48,08	7,93

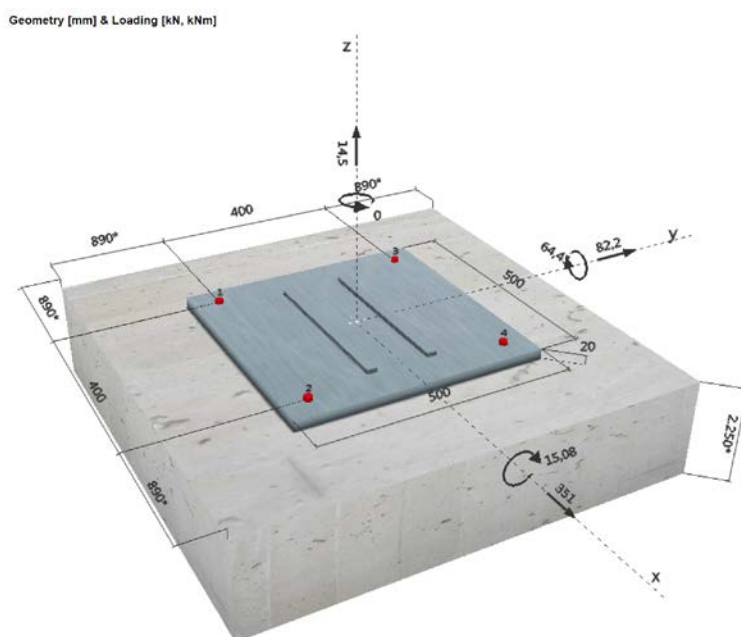
Za sidranje so predvideni vijaki kvalitete 6.8. M30.

Nosilnosti vijaka so:

$$F_{t,Rd}=242\text{ kN}$$

$$F_{v,Rd}=134,6\text{ kN}$$

Obremenitve vijakov so bile določene s pomočjo programa Hilti PROFIS Anchor, kjer je upoštevano dejansko napetostno stanje.



OBJEKT	MOST CERŠAK	PZI PROJEKT	
PROJEKTANT	Ponting inženirski biro d.o.o., Jernej Maher univ.dipl.inž.grad	ŠT.NAČRTA	537-2/2020
KRAJ IN DATUM	Maribor, januar 2021	STRAN	186

2 Load case/Resulting anchor forces

Load case: Design loads

Anchor reactions [kN]

Tension force: (+Tension, -Compression)

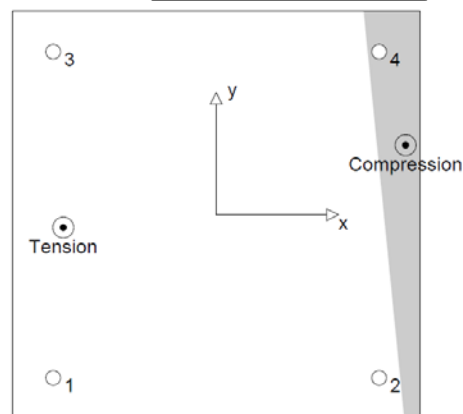
Anchor	Tension force	Shear force	Shear force x	Shear force y
1	82,022	90,124	87,750	20,550
2	4,999	90,124	87,750	20,550
3	74,328	90,124	87,750	20,550
4	0,000	90,124	87,750	20,550

max. concrete compressive strain: 0,63 [‰]

max. concrete compressive stress: 18,89 [N/mm²]

resulting tension force in (x/y)=(-188/-16): 161,349 [kN]

resulting compression force in (x/y)=(232/85): 146,849 [kN]



Kontrola striga:

$$F_{v,Ed,vijak} = 90,12 \text{ kN} < F_{v,Rd} = 134,6 \text{ kN}$$

Kontrola natega:

$$F_{t,Ed,vijak} = 82,02 < F_{t,Rd} = 224,0 \text{ kN}$$

Interakcija striga in upogiba:

$$\frac{F_{v,Ed}}{F_{v,Rd}} + \frac{F_{t,Ed}}{1,4 F_{t,Rd}} = \frac{90,03}{134,6} + \frac{82,02}{1,4 \cdot 224,0} = 0,91 < 1,0$$

Potrebna armatura za sidranje:

Vertikalna armatura:

$$A_{s,potr.} = 161,349 / 43,5 = 3,71 \text{ cm}^2 (5,98 \text{ cm}^2 \text{ po MSU})$$

Vertikalno komponento sile pomaga prevzeti tudi horizontalna armatura, ki mora biti ustrezno zasidrana:

$$F_{Rd} = A_s \cdot f_{yd} \cdot (\mu \cdot \sin \alpha + \cos \alpha) \leq 0,5 \cdot v \cdot f_{cd}$$

$$F_{Rd} = (9 \cdot 2,01) \cdot 43,5 \cdot 0,5 = 393 \text{ kN}$$

$$F_{Rd} = 393 \text{ kN} > 161,35 \text{ kN}$$

Horizontalna armatura:

$$A_{s,potr.} = 350,6 / 43,5 = 8,05 \text{ cm}^2 (12,98 \text{ cm}^2 \text{ po MSU})$$

OBJEKT	MOST CERŠAK	PZI PROJEKT	
PROJEKTANT	Ponting inženirski biro d.o.o., Jernej Maher univ.dipl.inž.grad	ŠT.NAČRTA	537-2/2020
KRAJ IN DATUM	Maribor, januar 2021	STRAN	187

Kontrola sidranja ležišča v skladu s ETA TR 029

Sidranje je predvideno z vijaki M30, kvalitete 6.8 ($f_{yk} = 480 \text{ MPa}$ / $f_{uk} = 600 \text{ MPa}$).

Kontrola nateznih obremenitev:

- Kontrola porušitve vijaka

$$N_{Ed} = 82,02 \text{ kN} \leq \frac{N_{Rk,s}}{\gamma_{Ms}} = \frac{A_s \cdot f_{uk}}{\gamma_{Ms}} = \frac{336 \text{ kN}}{1,5} = 224 \text{ kN}$$

- Kontrola porušitev zaradi izvleka in porušitve po betonskem stožcu

$$N_{Ed} = 82,02 \text{ kN} \leq \frac{N_{Rk,p}}{\gamma_{Mp}} = \frac{N_{Rk,p}^0 \cdot \frac{A_{p,N}}{A_{p,N}^0} \cdot \psi_{s,Np} \cdot \psi_{g,Np} \cdot \psi_{ec,Np} \cdot \psi_{re,Np}}{\gamma_{Mp}} = \frac{297 \text{ kN}}{1,5 \cdot 1,2} = 165 \text{ kN}$$

- Kontrola porušitve po betonskem stožcu

$$N_{Ed} = 82,02 \text{ kN} \leq \frac{N_{Rk,c}}{\gamma_{Mc}} = \frac{N_{Rk,c}^0 \cdot \frac{A_{c,N}}{A_{c,N}^0} \cdot \psi_{s,N} \cdot \psi_{re,N} \cdot \psi_{ec,N}}{\gamma_{Mc}} = \frac{1480 \text{ kN}}{1,5 \cdot 1,2} = 822 \text{ kN}$$

- Kontrola razcepne odpornosti betonskega elementa

$$N_{Ed} = 82,02 \text{ kN} \leq \frac{N_{Rk,sp}}{\gamma_{Msp}} = \frac{N_{Rk,c}^0 \cdot \frac{A_{c,N}}{A_{c,N}^0} \cdot \psi_{s,N} \cdot \psi_{re,N} \cdot \psi_{ec,N} \cdot \psi_{h,sp}}{\gamma_{Msp}} = \frac{1486 \text{ kN}}{1,5 \cdot 1,2} = 825 \text{ kN}$$

OBJEKT	MOST CERŠAK	PZI PROJEKT	
PROJEKTANT	Ponting inženirski biro d.o.o., Jernej Maher univ.dipl.inž.grad	ŠT.NAČRTA	537-2/2020
KRAJ IN DATUM	Maribor, januar 2021	STRAN	188

Kontrola strižnih obremenitev:

- Kontrola porušitve vijaka

$$V_{Ed} = 90,12 \text{ kN} \leq \frac{V_{Rk,s}}{\gamma_{Ms}} = \frac{0,5 \cdot A_s \cdot f_{uk}}{\gamma_{Ms}} = \frac{168,3 \text{ kN}}{1,25} = 134,6 \text{ kN}$$

- Kontrola porušitve zaradi kombinacije izvleka in rotacije vijaka v betonskem elementu

$$V_{Ed} = 90,12 \text{ kN} \leq \frac{V_{Rk,cp}}{\gamma_{Mc}} = \frac{\min(k \cdot N_{Rk,p}, k \cdot N_{Rk,c})}{\gamma_{Mc}} = \frac{594 \text{ kN}}{1,5} = 374 \text{ kN}$$

- Kontrola odpornosti roba betonskega elementa

$$V_{Ed} = 90,12 \text{ kN} \leq \frac{V_{Rk,c}}{\gamma_{Mc}} = \frac{V_{Rk,c}^0 \cdot \frac{A_{c,v}}{A_{c,v}^0} \cdot \psi_{s,v} \cdot \psi_{h,v} \cdot \psi_{\alpha,v} \cdot \psi_{ec,v} \cdot \psi_{re,v}}{\gamma_{Mc}} = \frac{3825 \text{ kN}}{1,5} = 2550 \text{ kN}$$

Kombinacija striga in natega

$$\beta_N \leq 1$$

$$\beta_V \leq 1$$

$$\beta_N + \beta_V \leq 1,2$$

$$\frac{82,02}{165} = 0,50 < 1$$

$$\frac{90,12}{374} = 0,24 < 1$$

$$0,50 + 0,24 = 0,74 \leq 1,2$$

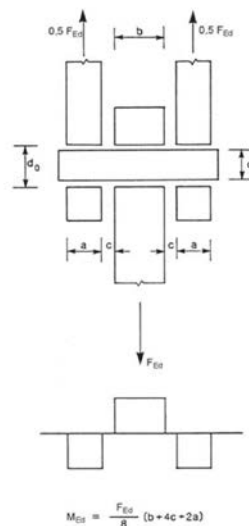
OBJEKT	MOST CERŠAK	PZI PROJEKT	
PROJEKTANT	Ponting inženirski biro d.o.o., Jernej Maher univ.dipl.inž.grad	ŠT.NAČRTA	537-2/2020
KRAJ IN DATUM	Maribor, januar 2021	STRAN	189

Ležišče bo analizirano na maksimalne obremenitve in sicer:

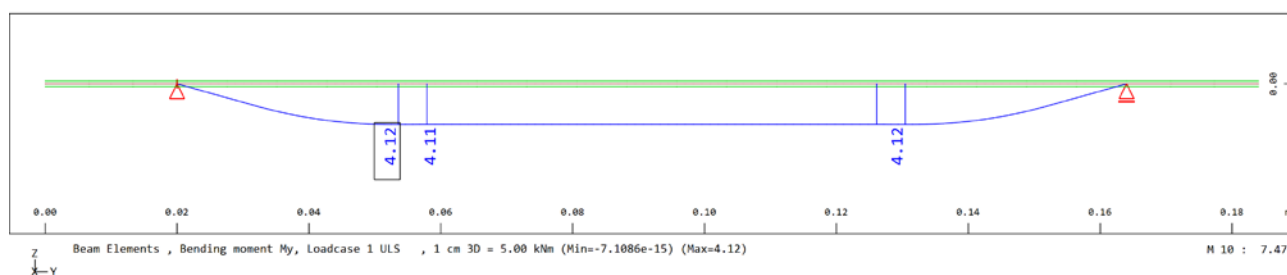
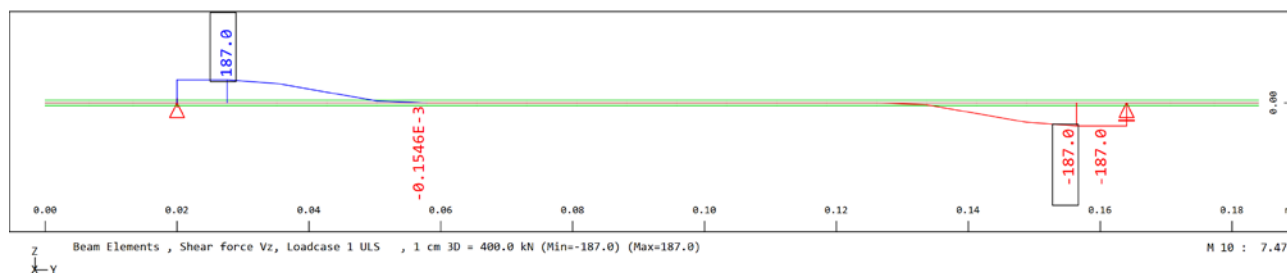
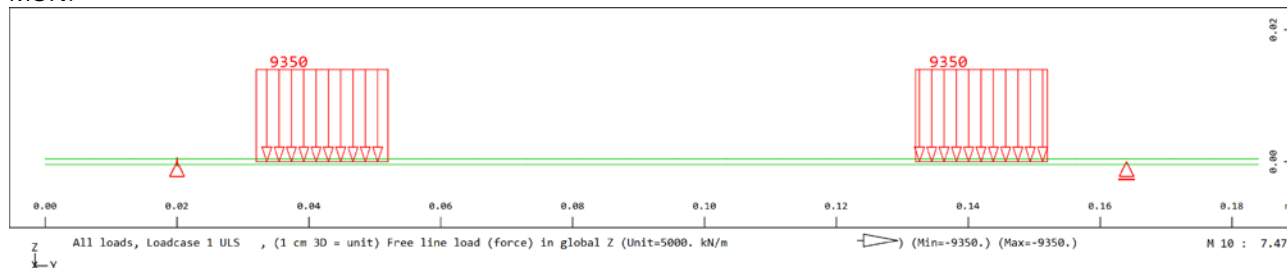
$$V_{Ed,MSN} = \sqrt{350,6^2 + 129^2} = 374 \text{ kN}$$

$$V_{Ed,MSU} = \sqrt{239^2 + 95^2} = 258 \text{ kN}$$

Analiza ležišča je bila narejena v skladu s sliko 3.11 v SISTN EN 1993-1-8.

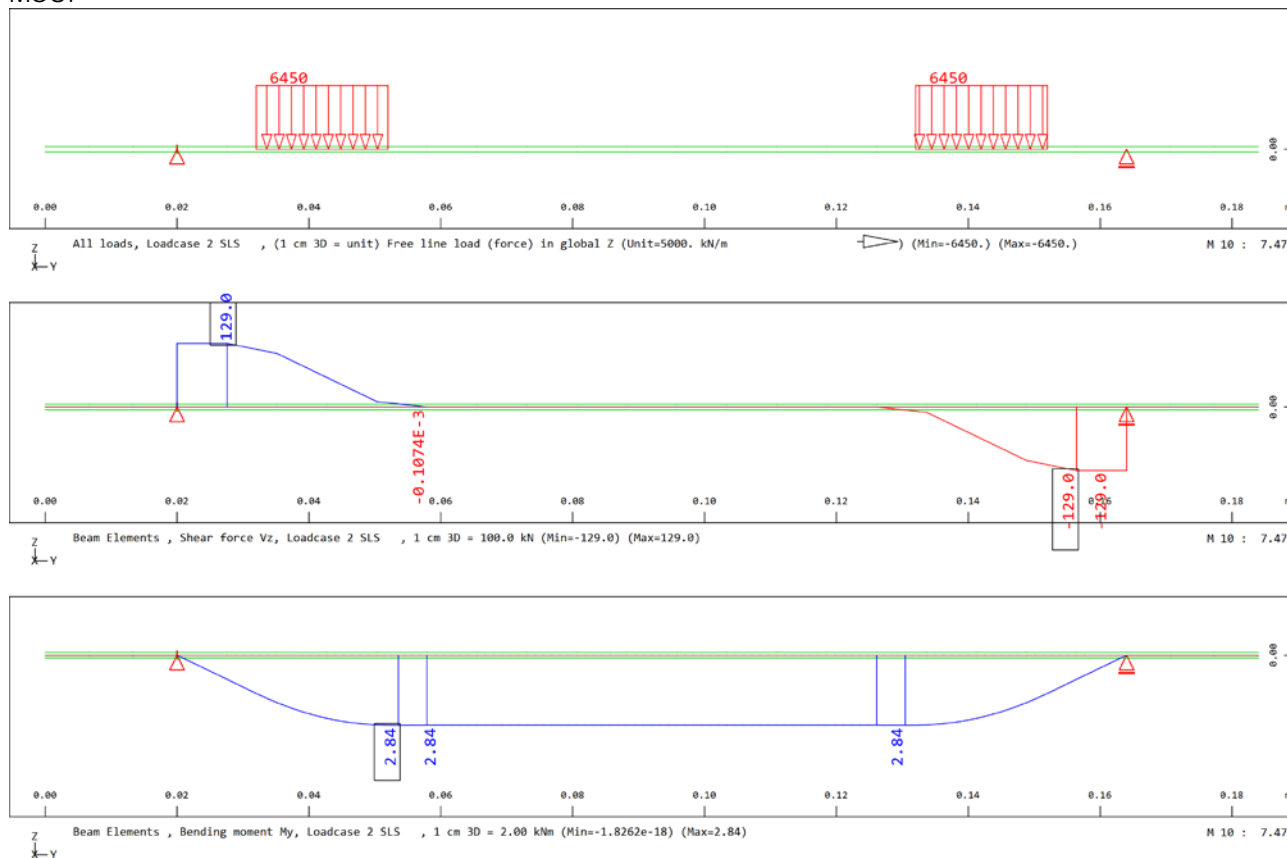


MSN:



OBJEKT	MOST CERŠAK	PZI PROJEKT
PROJEKTANT	Ponting inženirski biro d.o.o., Jernej Maher univ.dipl.inž.grad	ŠT.NAČRTA 537-2/2020
KRAJ IN DATUM	Maribor, januar 2021	STRAN 190

MSU:

Kontrola projektne nosilnosti čepov ($d=50\text{mm}$, $f_{yp}=335\text{ MPa}$ / $f_{up}=470\text{ MPa}$):

- Kontrola strižne nosilnosti čepa

$$F_{v,Ed} = 187\text{ kN} \leq F_{v,Rd} = \frac{0,6 \cdot A \cdot f_{up}}{\gamma_{M2}} = \frac{553,7\text{ kN}}{1,25} = 442\text{ kN}$$

- Kontrola bočnega pritiska za pločevino in čep

$$F_{b,Ed} = 187\text{ kN} \leq F_{b,Rd} = \frac{1,5 \cdot d \cdot t \cdot f_y}{\gamma_{M0}} = \frac{502,5\text{ kN}}{1,0} = 502,5\text{ kN}$$

$$F_{b,Ed,MSU} = 129\text{ kN} \leq F_{b,Rd,MSU} = \frac{0,6 \cdot d \cdot t \cdot f_y}{\gamma_{M6,ser}} = \frac{201\text{ kN}}{1,0} = 201\text{ kN}$$

OBJEKT	MOST CERŠAK	PZI PROJEKT	
PROJEKTANT	Ponting inženirski biro d.o.o., Jernej Maher univ.dipl.inž.grad	ŠT.NAČRTA	537-2/2020
KRAJ IN DATUM	Maribor, januar 2021	STRAN	191

- Kontrola upogibne nosilnosti čepa

$$M_{Ed} = 4,12 \text{ kNm} \leq M_{Rd} = \frac{1,5 \cdot W \cdot f_{yp}}{\gamma_{M0}} = \frac{6,17 \text{ kNm}}{1,0} = 6,17 \text{ kNm}$$

$$M_{Ed,MSU} = 2,84 \text{ kNm} \leq M_{Rd,MSU} = \frac{0,8 \cdot W \cdot f_{yp}}{\gamma_{M0}} = \frac{3,28 \text{ kNm}}{1,0} = 3,28 \text{ kNm}$$

- Kontrola porušitve v primeru istočasnega delovanja upogibnega momenta in striga v čepu (maksimalna obremenitev se ne pojavlja v enaki točki prereza)

$$\left[\frac{M_{Ed}}{M_{Rd}} \right]^2 + \left[\frac{F_{v,Ed}}{F_{v,Rd}} \right]^2 = \left[\frac{4,12}{6,16} \right]^2 + \left[\frac{187}{442} \right]^2 = 0,63 \leq 1$$

V primeru zamenljivega čepa je potrebno preveriti tudi kontrolo kontaktnih tlakov med čepom in pločevino (Hertzove napetosti):

$$\sigma_{h,Ed} = 0,591 \sqrt{\frac{E \cdot F_{b,Ed,MSU} \cdot (d_0 - d)}{d^2 \cdot t}} \leq f_{h,Rd} = \frac{2,5 \cdot f_y}{\gamma_{M6,MSU}}$$

$$\sigma_{h,Ed} = 0,591 \sqrt{\frac{21000 \cdot 129 \cdot 0,2}{5^2 \cdot 2}} = 61,52 / \text{cm}^2$$

$$f_{h,Rd} = \frac{2,5 \cdot 33,5}{1,0} = 83,75 \text{ kN/cm}^2$$

$$\sigma_{h,Ed} = 61,52 / \text{cm}^2 \leq f_{h,Rd} = 83,75 \text{ kN/cm}^2$$

OBJEKT	MOST CERŠAK	PZI PROJEKT	
PROJEKTANT	Ponting inženirski biro d.o.o., Jernej Maher univ.dipl.inž.grad	ŠT.NAČRTA	537-2/2020
KRAJ IN DATUM	Maribor, januar 2021	STRAN	192

Kontrola spodnje pločevine:

- Kontrola tlaka

$$N_{Ed} = \frac{129 \text{ kN}}{2} = 64,5 \text{ kN} \leq N_{Rd} = \frac{A \cdot f_y}{\gamma_{M0}} = 2415 \text{ kN}$$

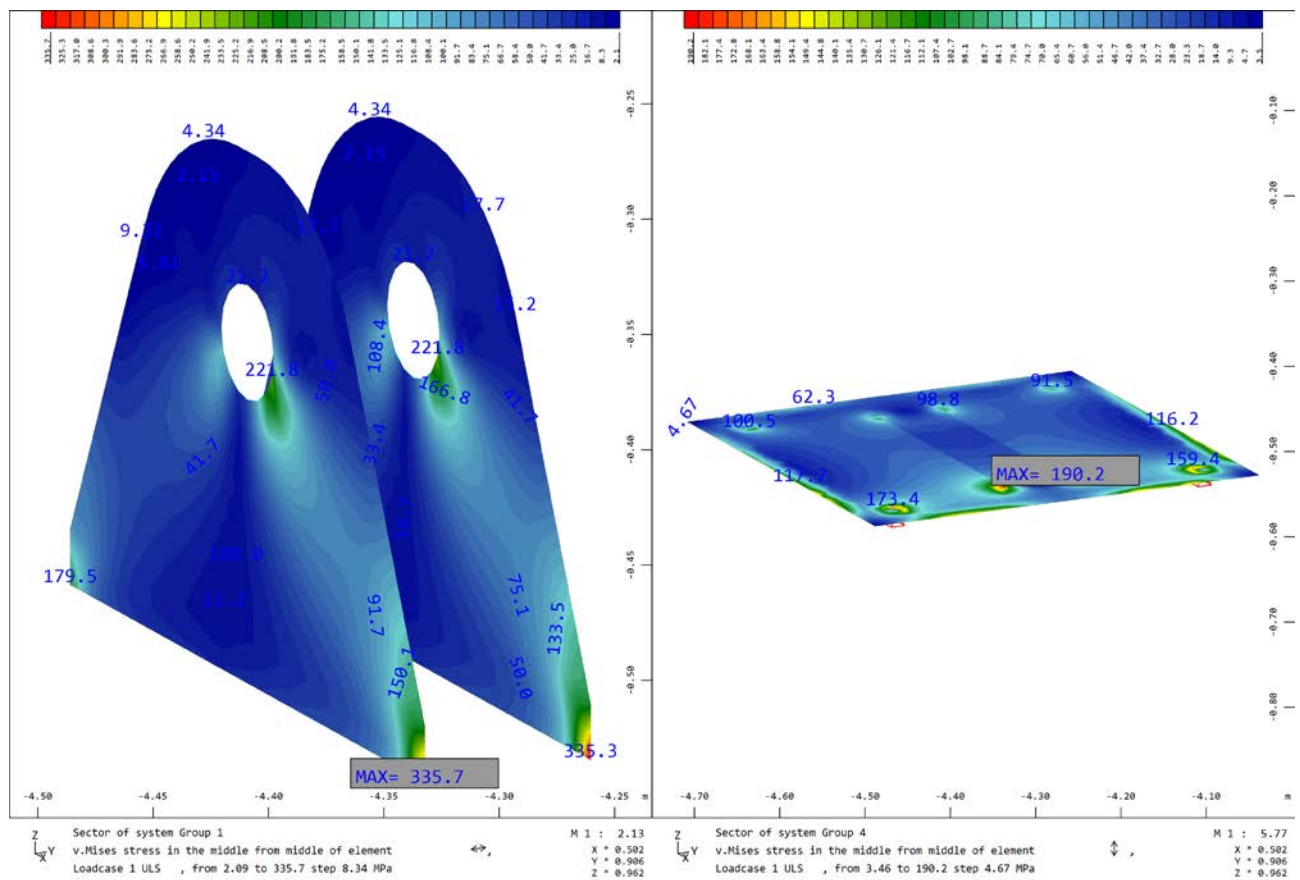
- Kontrola striga

$$V_{Ed} = \frac{351 \text{ kN}}{2} = 175,5 \text{ kN} \leq V_{Rd} = \frac{A \cdot f_y}{\gamma_{M0} \cdot \sqrt{3}} = 1394 \text{ kN}$$

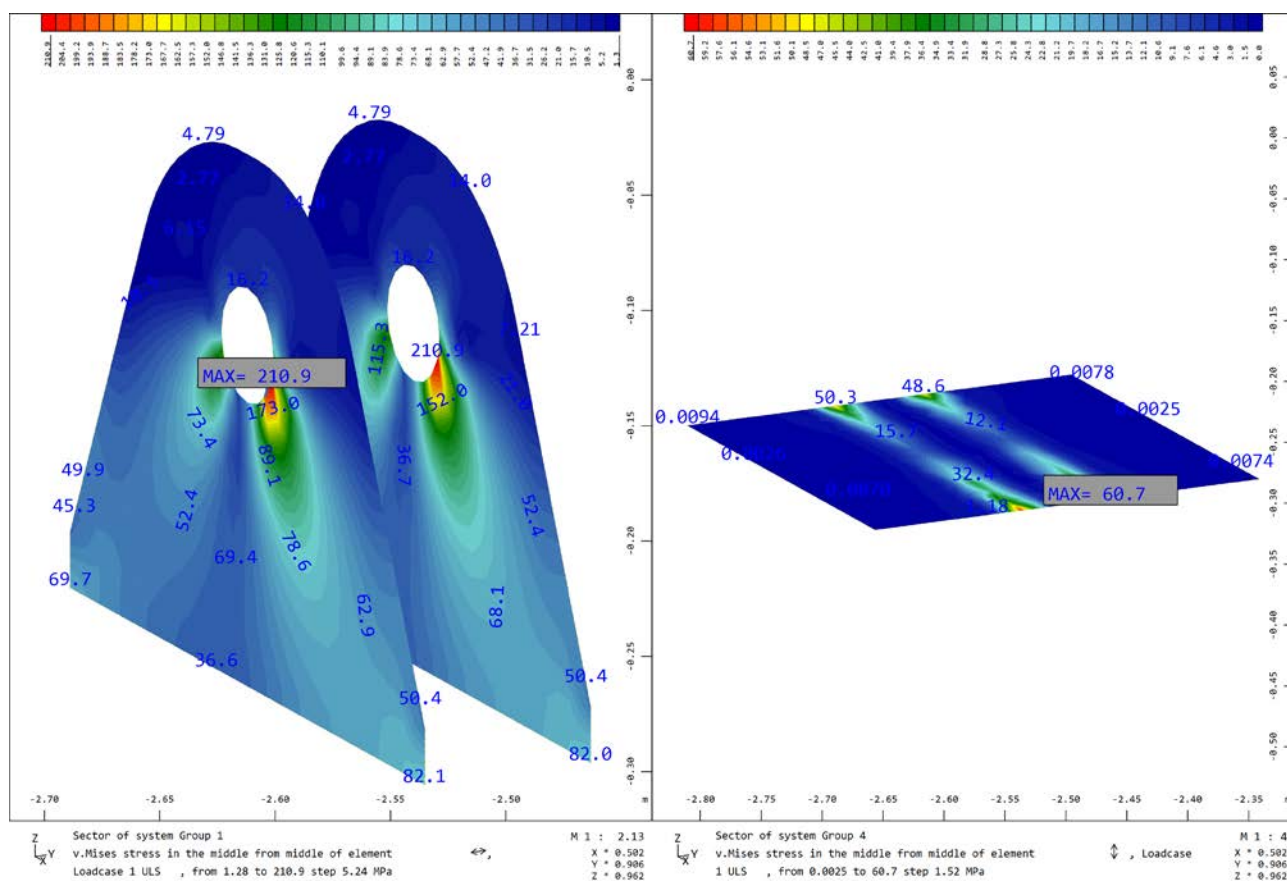
- Kontrola momenta

$$M_{Ed} = 31,6 \text{ kNm} \leq M_{N_{Rd}} = \frac{W \cdot f_y}{\gamma_{M0}} = 140 \text{ kNm}$$

Analiza se je izvedla tudi s pomočjo programa Sofistik. Spodaj so prikazane maksimalne von Misesove napetosti.



OBJEKT	MOST CERŠAK	PZI PROJEKT	
PROJEKTANT	Ponting inženirski biro d.o.o., Jernej Maher univ.dipl.inž.grad	ŠT.NAČRTA	537-2/2020
KRAJ IN DATUM	Maribor, januar 2021	STRAN	193



OBJEKT	MOST CERŠAK	PZI PROJEKT	
PROJEKTANT	Ponting inženirski biro d.o.o., Jernej Maher univ.dipl.inž.grad	ŠT.NAČRTA	537-2/2020
KRAJ IN DATUM	Maribor, januar 2021	STRAN	194

8.4 DILATACIJE

Dilatiranje konstrukcije se izvede na območju obeh opornikov. Zaključek objekta se izvede z dilatacijskim pločevinastim prekritjem. Dimenzioniranje se izvede na osnovi rezultatov pomikov za obtežne primere prometne obtežbe, temperaturne obtežbe in vetra ter vpliva skrčka zaradi sušenja lesa. Potresna obtežba ni merodajna za dimenzioniranje dilatacije.

Za dimenzioniranje dilatacij se po točki 6.1.3.3 (3) upoštevata priporočeni vrednosti enakomerne spremembe temperature $\Delta T_{N,neg} + 20\text{ °C}$ oziroma $\Delta T_{N,poz} + 20\text{ °C}$. V primeru, da je poznana temperatura pri kateri se montirajo ležišča T_0 sta vrednosti temperaturnih območij $\Delta T_{N,neg} + 10\text{ °C}$ oziroma $\Delta T_{N,poz} + 10\text{ °C}$. V konkretnem primeru se je upoštevalo povečanje za $\pm 10\text{ °C}$. Pri kontroli potresnega pomika, se je upoštevala kombinacija:

$$d_{Ed} = 0,4 \cdot d_E + d_G \pm \psi_2 \cdot d_T \cdot 0,50 \text{ (faktor za nekonstruktivne elemente)}$$

kjer so:

- d_E projektni pomik pri potresu
- d_G pomik zaradi dolgotrajnih obremenitev
- d_T pomik zaradi temperaturnih obremenitev

Dilatacija:

Kontrola pomikov LEŽIŠČE		
Levi objekt	OS1	OS2
tip ležišča	Nepomično členkasto jekleno ležišče	Pomično členkasto jekleno ležišče
krčenje lesa (-) [mm]	0,0	8,6
temperatura $\pm 27,0$ (+10st.) [mm]	3,5	12,3
promet (+) [mm]	6,0	34,2
promet (-) [mm]	15,5	3,8
veter (\pm) [mm]	3,8	5,5
potres (\pm) [mm]	2,6	3,2
Kombinacija - regularne obtežbe		
max. skrček [mm]	18,4	27,0
max. raztezek [mm]	8,9	44,3
skupni pomik [mm]	27,3	71,3
Kombinacija - potres		
max. skrček s potresom [mm]	1,9	13,0
max. raztezek s potresom [mm]	1,9	4,4
skupni pomik [mm]	3,8	17,3
Ovojnica maksimalnih pomikov		
maksimalni skupni pomik [mm]	27,3	71,3

OBJEKT	MOST CERŠAK	PZI PROJEKT	
PROJEKTANT	Ponting inženirski biro d.o.o., Jernej Maher univ.dipl.inž.grad	ŠT.NAČRTA	537-2/2020
KRAJ IN DATUM	Maribor, januar 2021	STRAN	195

8.5 KONTROLA MOZNIKOV

V sklopu kontrole prevzema strižnih obremenitev v poglavju 5.5.3. je bila izračunana nosilnost moznikov.

Upoštevamo: Moznik $d_c=80\text{mm}$, $d_{vijak}=20\text{ mm}$ in debelino pločevine $t=15\text{mm}$.

Tip moznika	d_c [mm]	d [mm]	$F_{v,Rk,moznik}$ [kN]	$F_{v,Rk,vijak}$ [kN]	$F_{v,Rk,skupaj}$ [kN]
80	80	20	13,18	24,49	50,85

Upoštevamo karakteristike za moznike $d_c=80\text{mm}$, $d_{vijak}=20\text{ mm}$:

$$F_{v,Rk} = 50,85 \text{ kN} \quad F_{v,Rd} = k_{mod} \cdot \frac{F_{v,Rk}}{\gamma_M} = 36,61 \text{ kN}$$

Prevzeti je potrebno maksimalno silo:

$$F_{Ed} = \sqrt{350,6^2 + 129,0^2} = 374,0 \text{ kN}$$

Mozniki bodo nameščeni vzdolžno v dveh vrstah. Efektivno število moznikov v posamezni vrsti:

$$n_{ef} = 2 + \left(1 - \frac{n}{20}\right)(n - 2) = 2,0$$

Potrebno število moznikov ob upoštevanju moznika $d_c=80\text{mm}$, $d_{vijak}=20\text{ mm}$:

$$n_{potr.} = \frac{374,0}{36,61} = 10,21 \rightarrow \text{potrebujemo min. 11 moznikov}$$

Minimalne razdalje moznikov tipa C11 znašajo:

Položaj moznika		$d_c=80\text{mm}$, $d_{vijak}=20\text{ mm}$
a_1	vzporedno z vlakni	16,0 cm
a_2	pravokotno na vlakna	9,6 cm
$a_{3,t}$	obremenjen rob	16,0 cm
$a_{3,c}$	neobremenjen rob	16,0 cm
$a_{4,t}$	obremenjen rob	6,4 cm
$a_{4,c}$	neobremenjen rob	4,8 cm

Izberemo 2 vrsti po 10 moznikov (20 moznikov). Pri prevzemu reakcije na območju ležišča sodelujejo skupaj mozniki ter dopustne kontaktne napetosti na območju lesenega nosilca.

OBJEKT	MOST CERŠAK	PZI PROJEKT	
PROJEKTANT	Ponting inženirski biro d.o.o., Jernej Maher univ.dipl.inž.grad	ŠT.NAČRTA	537-2/2020
KRAJ IN DATUM	Maribor, januar 2021	STRAN	196

Delež moznikov:

$$\sum F_{v,Rd} = 2 \cdot 10 \cdot 36,61 = 732 \text{ kN}$$

Nosilnost moznikov je večja kot je reakcija.

Kontrola pločevine na bočni pritisk in strižne nosilnosti vijaka:

Upošteva se maksimalna sila, ki pade na posamezen moznik, in sicer $F_{Ed}=374/20=18,7 \text{ kN}$.

Strižna nosilnost vijaka:

Vijak s karakteristikami $f_{u,k}=400\text{N/mm}^2$ ima minimalno strižno nosilnost $47,0 \text{ kN} > 18,7 \text{ kN}$.

Bočni pritisk pločevine:

$$F_{b,Rd} = \frac{k_1 \cdot \alpha_b \cdot f_u \cdot d \cdot t}{\gamma_{M2}}$$

$$k_1 = 2,5$$

$$\alpha_b = 0,75$$

$$f_u = 35,5 \text{ kN/cm}^2$$

$$d = 2,0 \text{ cm}$$

$$t = 1,5 \text{ cm}$$

$$F_{b,Rd} = \frac{k_1 \cdot \alpha_b \cdot f_u \cdot d \cdot t}{\gamma_{M2}} = 159 \text{ kN} > 18,7 \text{ kN}$$

Kontrola striga:

$$\frac{h_w}{t_w} = 28,6 \leq \frac{72\epsilon}{\eta} = 58,3$$

$$V_{Ed} = 351 \text{ kN} = V_{pl,Rd} = \frac{A_v \cdot f_y}{\gamma_{M0} \cdot \sqrt{3}} = 2582 \text{ kN}$$

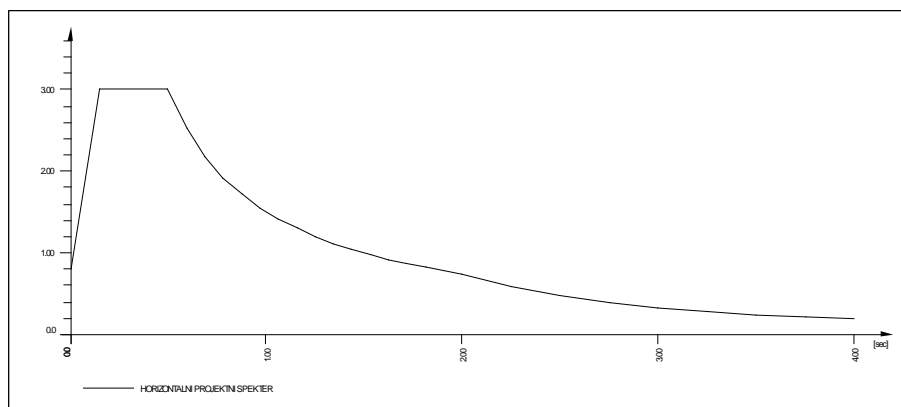
OBJEKT	MOST CERŠAK	PZI PROJEKT	
PROJEKTANT	Ponting inženirski biro d.o.o., Jernej Maher univ.dipl.inž.grad	ŠT.NAČRTA	537-2/2020
KRAJ IN DATUM	Maribor, januar 2021	STRAN	197

9.0 DINAMIČNA ANALIZA

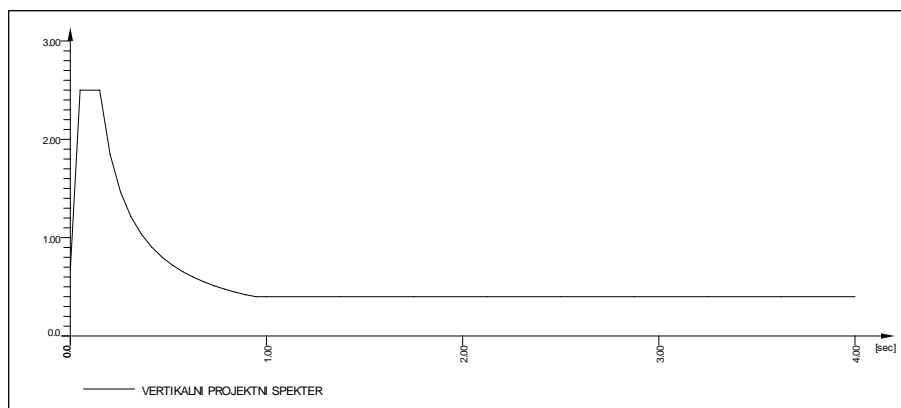
9.1 SPLOŠNO

Ministrstvo za okolje in prostor, Uprava Republike Slovenije za geofiziko je leta 2002 izdala Karto potresne nevarnosti Slovenije, opredeljeno s projektnimi pospeški za povratno dobo 475 let in trdna tla (razred A po EC 8). Po tej karti znaša projektni pospešek tal na obravnavanem območju 0,100 g. V skladu s preglednico 3.1 (SIST EN 1998-1) tla na lokaciji ustrezajo tipu tal B, za katera velja hitrost širjenja strižnih valov $v_{s,30}$ 360 - 800 m/s. Faktor redukcije potresnih sil v horizontalnih smereh znaša $q = 1.0$.

Horizontalni projektni spekter



Vertikalni projektni spekter



Pri dinamični analizi konstrukcije so upoštevani vsi bistveni načini nihanja, ki pomembno vplivajo na odziv konstrukcije, tako da znaša vsota efektivnih modalnih mas za upoštevane načine nihanja, vsaj 90% skupne mase obravnavane konstrukcije (po EC8 - 4.2.1.2(2)).

Za projektno potresno obtežbo A_{Ed} je upoštevana najbolj neugodna od naslednjih kombinacij:

$$1.00 A_{Ex} + 0.30 A_{Ey} + 0.30 A_{Ez}$$

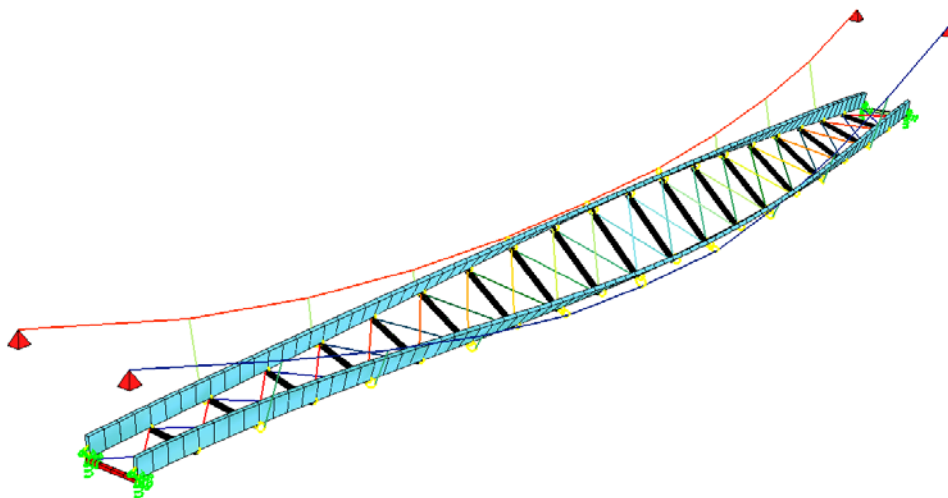
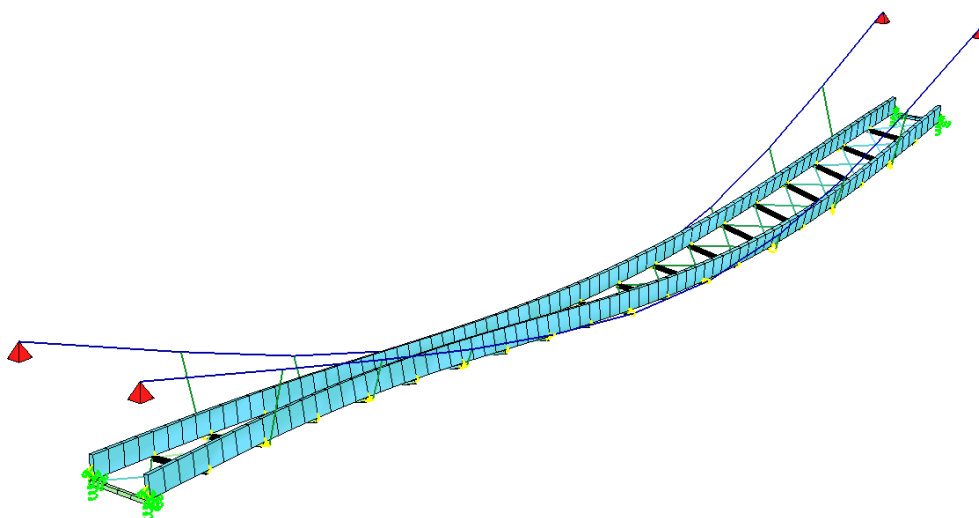
$$0.30 A_{Ex} + 1.00 A_{Ey} + 0.30 A_{Ez}$$

$$0.30 A_{Ex} + 0.30 A_{Ey} + 1.00 A_{Ez}$$

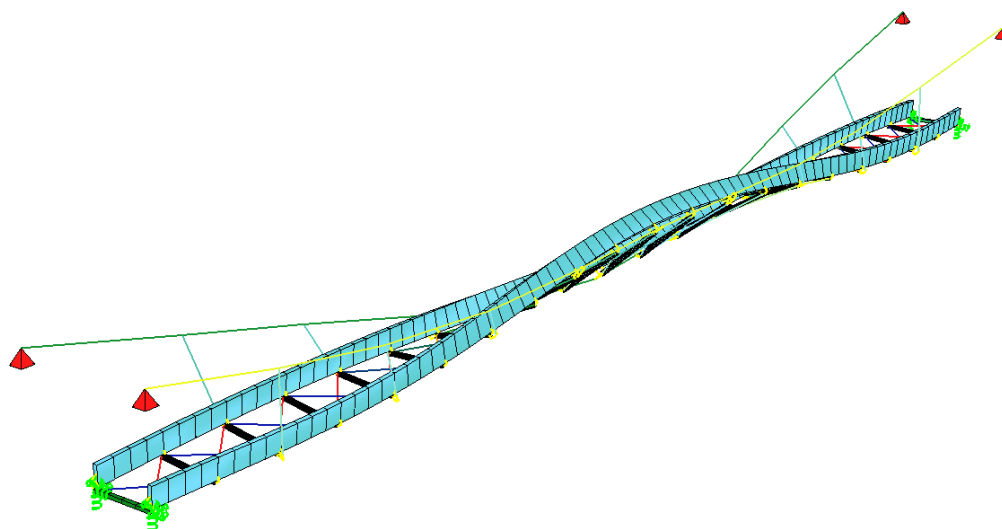
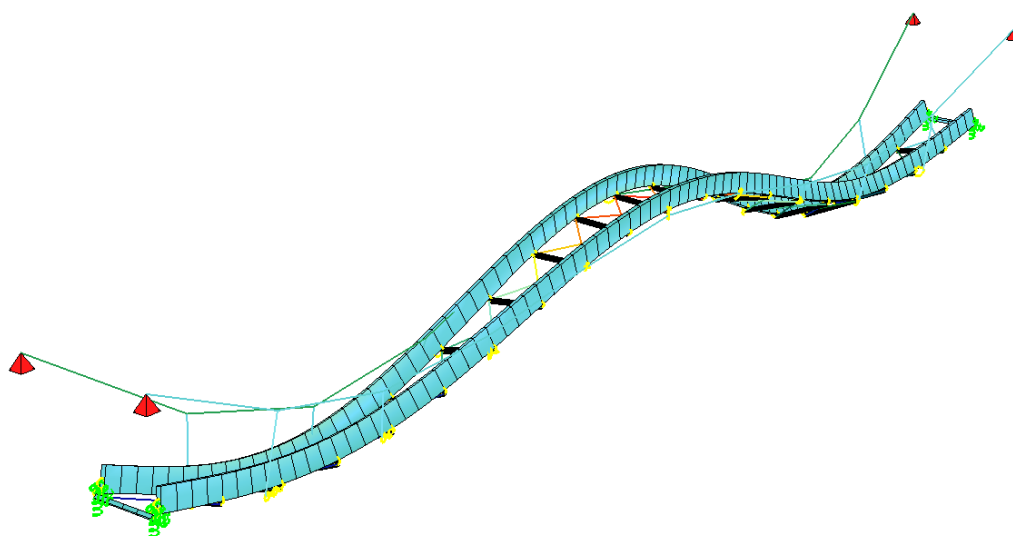
kjer so A_{Ex} , A_{Ey} , A_{Ez} obremenitve zaradi potresne obtežbe v smereh X, Y, Z.

OBJEKT	MOST CERŠAK	PZI PROJEKT	
PROJEKTANT	Ponting inženirski biro d.o.o., Jernej Maher univ.dipl.inž.grad	ŠT.NAČRTA	537-2/2020
KRAJ IN DATUM	Maribor, januar 2021	STRAN	198

9.2 NIHAJNE OBLIKE IN LASTNE FREKVENCE

2. nihajna oblika (prečna); $f = 0,944 \text{ Hz}$, aktiviranje mase 56,4%3. nihajna oblika (vertikalna); $f = 1.42 \text{ Hz}$, aktiviranje mase 74,2%

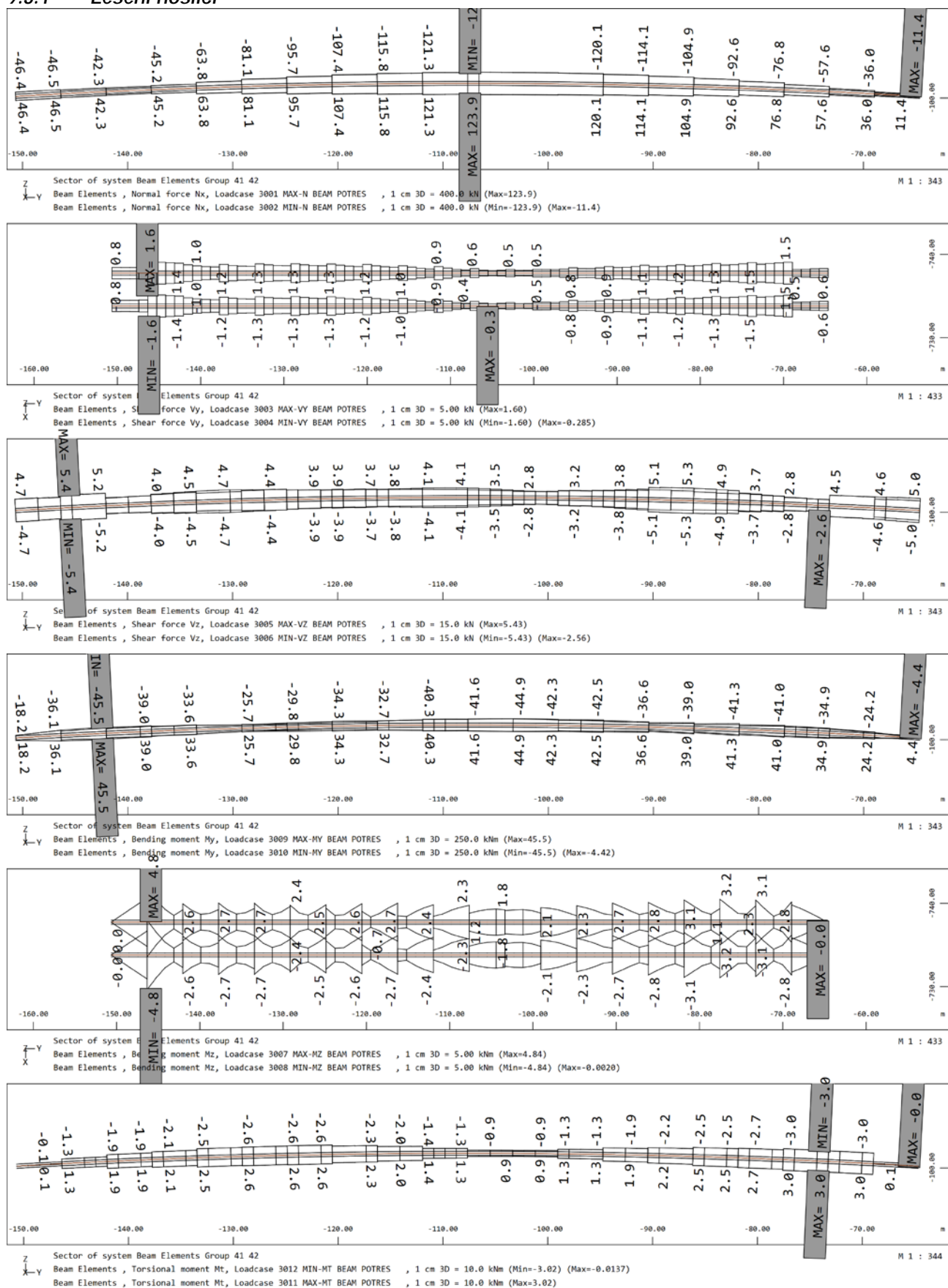
OBJEKT	MOST CERŠAK	PZI PROJEKT	
PROJEKTANT	Ponting inženirski biro d.o.o., Jernej Maher univ.dipl.inž.grad	ŠT.NAČRTA	537-2/2020
KRAJ IN DATUM	Maribor, januar 2021	STRAN	199

11. nihajna oblika (torzijska); $f = 3,08 \text{ Hz}$, aktiviranje mase 22,1%12. nihajna oblika (vertikalna); $f = 3,29 \text{ Hz}$, aktiviranje mase 9,87%

OBJEKT	MOST CERŠAK	PZI PROJEKT	
PROJEKTANT	Ponting inženirski biro d.o.o., Jernej Maher univ.dipl.inž.grad	ŠT.NAČRTA	537-2/2020
KRAJ IN DATUM	Maribor, januar 2021	STRAN	200

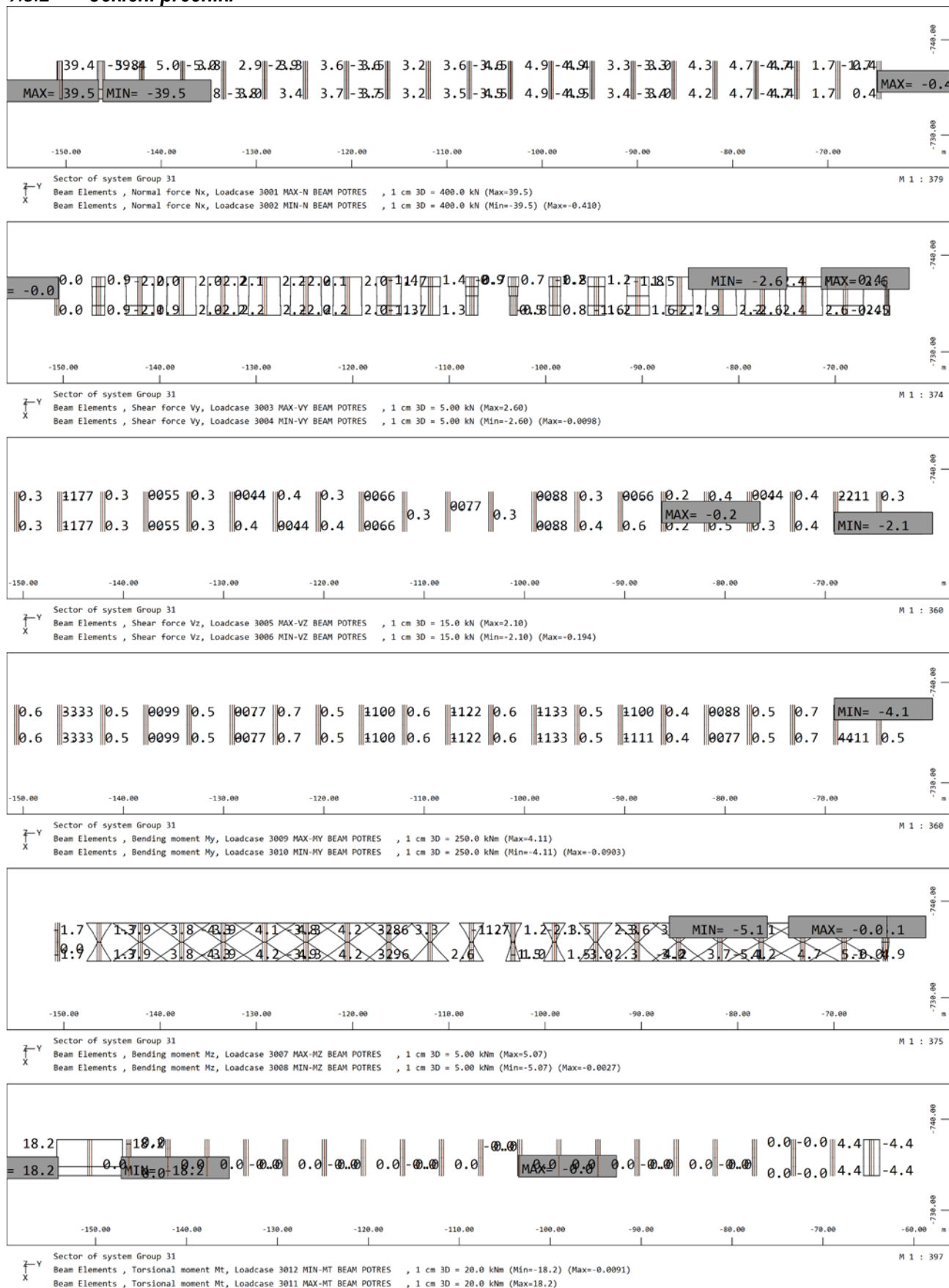
9.3 OBREMENTIVNE ZARADI POTRESNE OBTEŽBE

9.3.1 Leseni nosilci



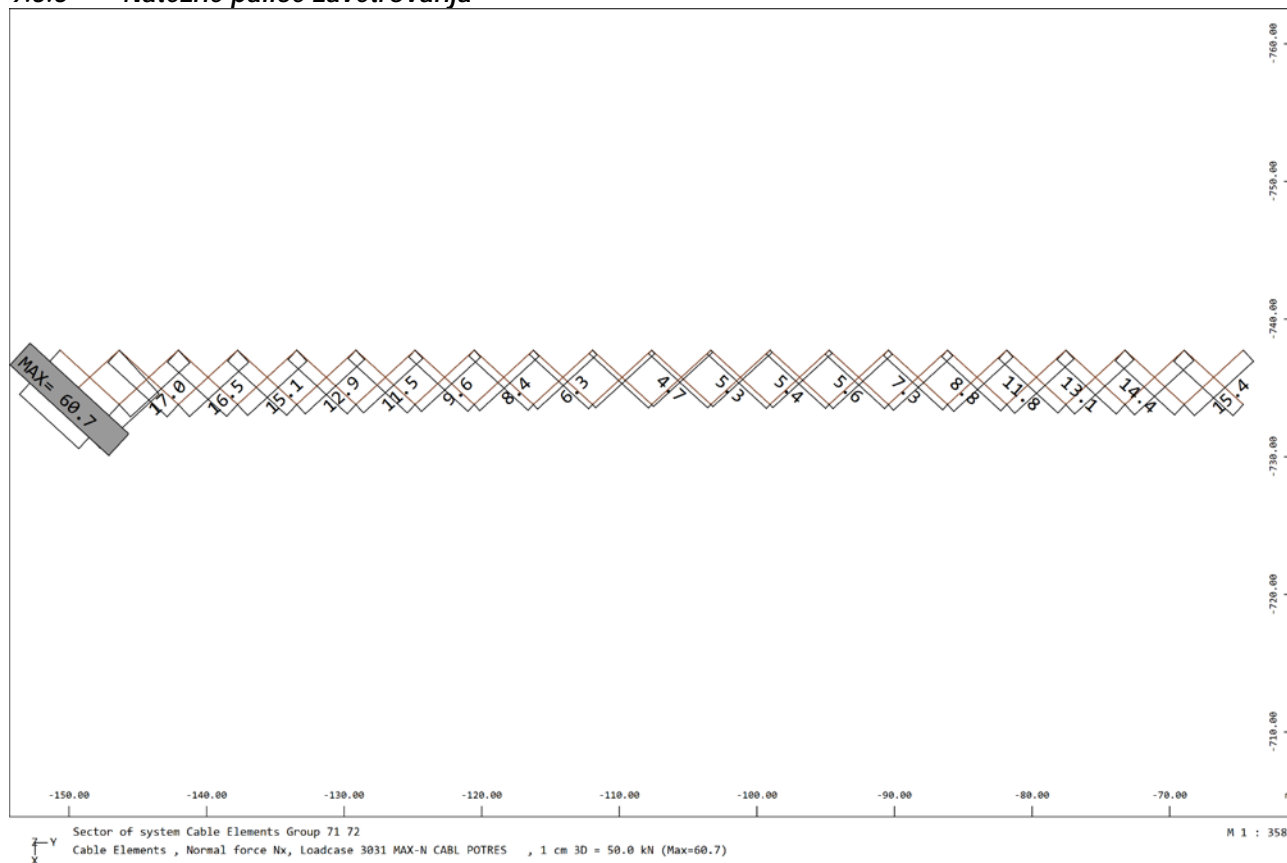
OBJEKT	MOST CERŠAK	PZI PROJEKT	
PROJEKTANT	Ponting inženirski biro d.o.o., Jernej Maher univ.dipl.inž.grad	ŠT.NAČRTA	537-2/2020
KRAJ IN DATUM	Maribor, januar 2021	STRAN	201

9.3.2 Jekleni prečniki

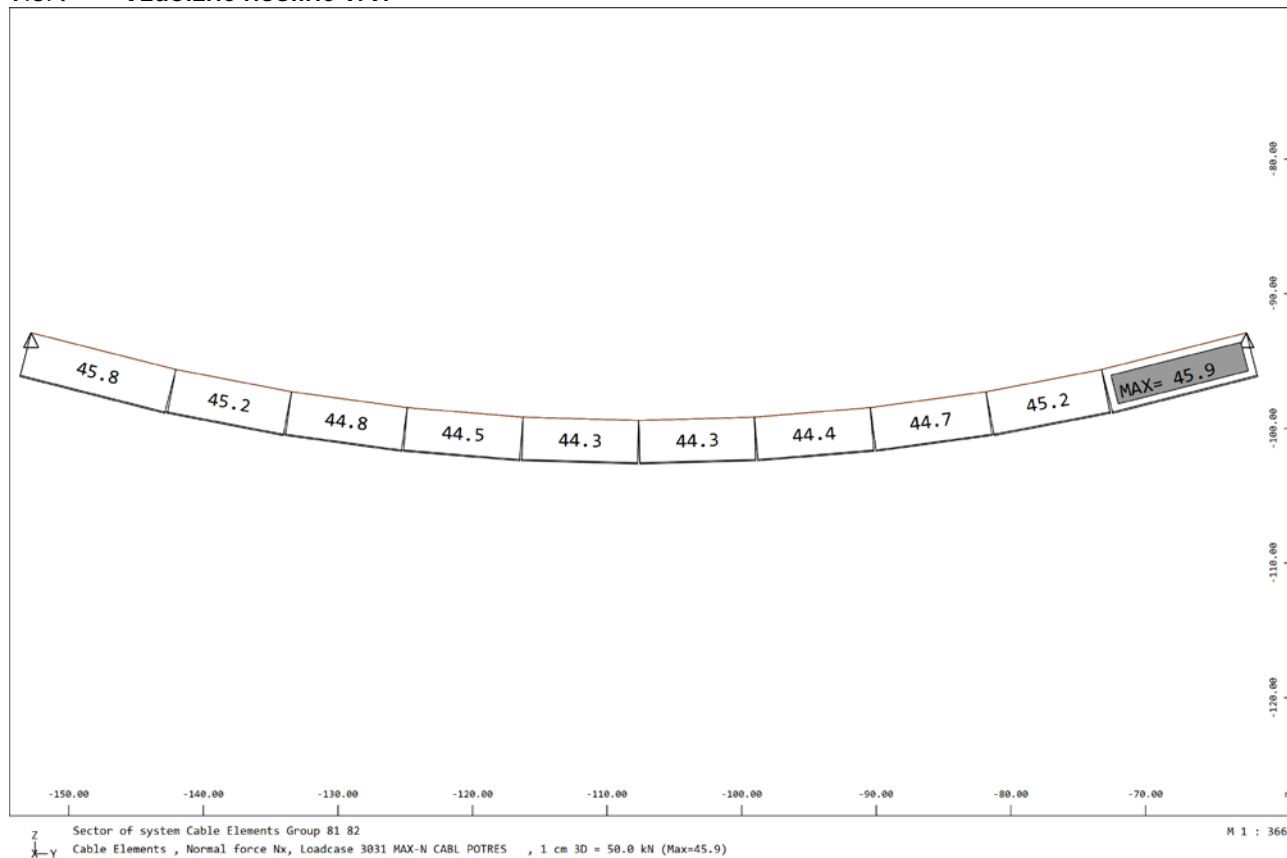


OBJEKT	MOST CERŠAK	PZI PROJEKT
PROJEKTANT	Ponting inženirski biro d.o.o., Jernej Maher univ.dipl.inž.grad	ŠT.NAČRTA 537-2/2020
KRAJ IN DATUM	Maribor, januar 2021	STRAN 202

9.3.3 Natezne palice zavetrovanja

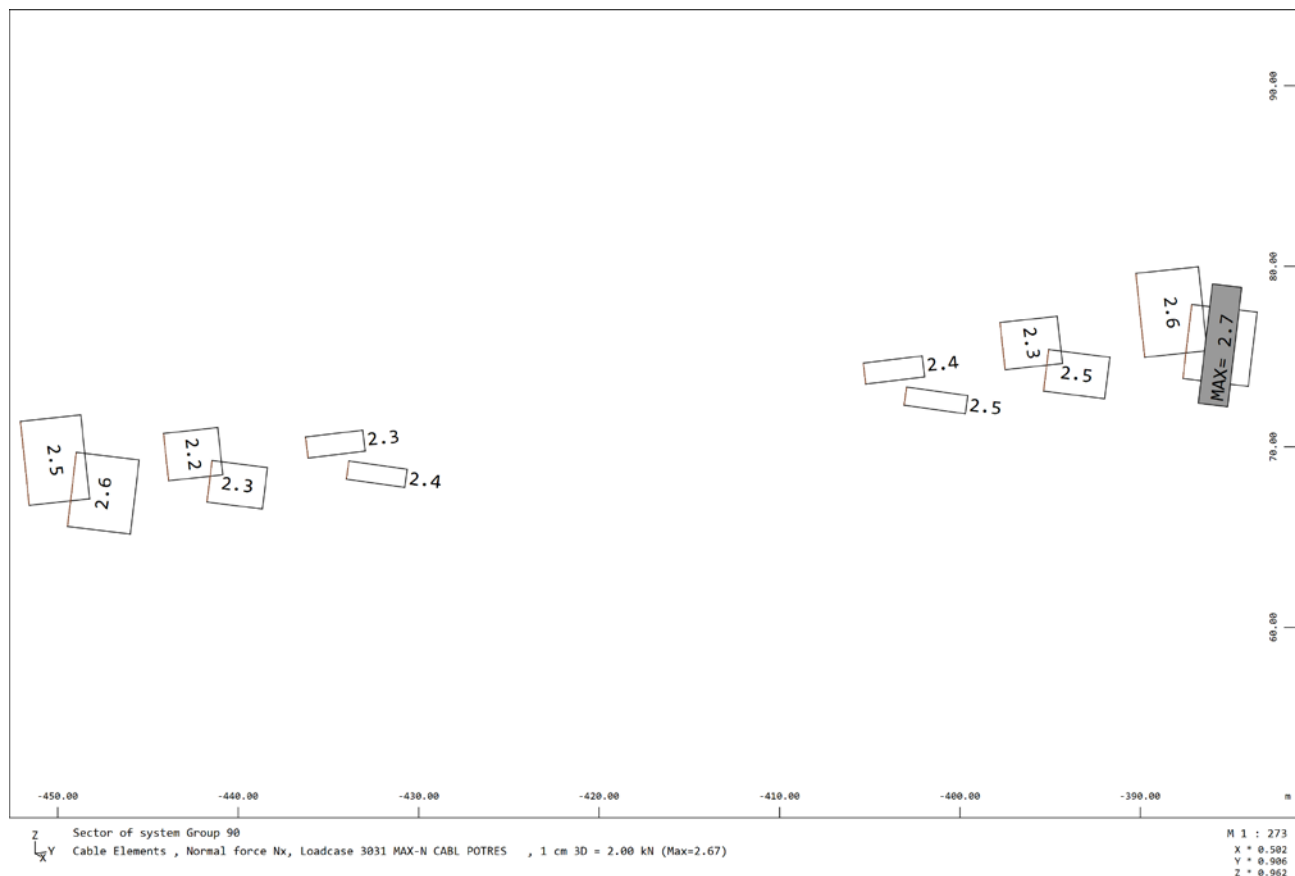


9.3.4 Vzдолžne nosilne vrvi



OBJEKT	MOST CERŠAK	PZI PROJEKT
PROJEKTANT	Ponting inženirski biro d.o.o., Jernej Maher univ.dipl.inž.grad	ŠT.NAČRTA 537-2/2020
KRAJ IN DATUM	Maribor, januar 2021	STRAN 203

9.3.5 Vešalke



9.4 DIMENSIONIRANJE

Obremenitve vsled potresnih sil so majhne v primerjavi s obremenitvami, ki so se izračunale vsled regularnih obtežb (koristna obtežba) , zato kombinacije s potresom ne upoštevam pri dimensioniranju oziroma potresna kombinacija ni merodajna.

OBJEKT	MOST CERŠAK	PZI PROJEKT	
PROJEKTANT	Ponting inženirski biro d.o.o., Jernej Maher univ.dipl.inž.grad	ŠT.NAČRTA	537-2/2020
KRAJ IN DATUM	Maribor, januar 2021	STRAN	204

9.5 ANALIZA VIBRACIJ

Mostovi za pešce in kolesarje so zaradi svoje zasnove mnogokrat podvrženi vibracijam, ki so povzročene s hojo ali tekom pešcev. Za analizo vibracij so se upoštevale smernice podane v SIST EN 1990; Annex A2 (točka A2.4.3) ter smernice podane v tehničnem poročilu JRC, ki je bilo izdano v okviru raziskovalnega programa JRC-ECCS za razvoj Evrokoda 3.

Kritična območja frekvenc nihanja, za katera je potrebno narediti detajlno analizo vibracij so:

- vertikalne in vzdolžne vibracije
 $1.25 \text{ Hz} \leq f_i \leq 2.3 \text{ Hz (JRC_ECCS)}$
- prečne vibracije
 $0.50 \text{ Hz} \leq f_i \leq 1.2 \text{ Hz (JRC_ECCS)}$
 $f_i \leq 2.5 \text{ Hz (SIST EN 1990)}$

Zaradi možnosti dodatnega vzbujanja konstrukcije, ki je posledica sekundarnega harmoničnega nihanja povzročene s strani pešcev, se območje kritičnih frekvenc konstrukcije za vertikalno in vzdolžno smer razširi:

- vertikalne in vzdolžne vibracije
 $1.25 \text{ Hz} \leq f_i \leq 4.6 \text{ Hz (JRC_ECCS)}$
 $f_i \leq 5.0 \text{ Hz (SIST EN 1990)}$

Kljub temu do sedaj še ni bilo zaznано, da bi sekundarno harmonično nihanje povzročalo velike vibracije.

Za most je bila opravljena analiza vibracij, v okviru katere sta bili v mejnem stanju uporabnosti uporabljeni dve različni metodologiji za izračun maksimalnih pospeškov, in sicer:

- **metoda s spektrom odziva**
 Metoda predstavljena v Tehničnem poročilu JRC, ki je bilo izdano v okviru raziskovalnega programa JRC-ECCS za razvoj Evrokoda 3. Na podlagi predvidenih razredov obremenitev je bila narejena kontrola stopnje ugodja. Metoda nam je služila za osnovno oceno pospeškov, medtem ko se je detajlna analiza naredila s pomočjo time history analize.
- **metoda s časovnim odzivom (»time history« analiza)**
 V tej metodi so bile uporabljene smernice iz dokumenta Vibrations in Structures Induced by Man and Machines, ki ga je izdal IABSE v okviru Structural Engineering Documents. Narejena je bila analiza za obtežna primera hoje in teka, in sicer štirih pešcev oziroma treh tekačev ter skupine maksimalno 16 pešcev (4x4) oziroma 12 tekačev (4x3), ki sinhrono hodijo oz. tečejo preko mostu. Upoštevali sta se sredinska in robna postavitve pešcev. Funkciji obtežba-čas, ki sta bili uporabljeni v analizi sta prikazani v nadaljevanju.

Dejansko obnašanje konstrukcije je možno ugotoviti šele s testi po izgradnji le-te, saj računske analize temeljijo na predpostavkah, kot so dušenje ipd.

OBJEKT	MOST CERŠAK	P Z I P R O J E K T	
PROJEKTANT	Ponting inženirski biro d.o.o., Jernej Maher univ.dipl.inž.grad	ŠT.NAČRTA	537-2/2020
KRAJ IN DATUM	Maribor, januar 2021	STRAN	205

9.5.1 Kontrola kritičnih nihajnih oblik

PONTING Inženirski biro d.o.o. * 2000 MARIBOR
SOFISTIK 2018-8.0 ASE - ADVANCED SOLUTION ENGINE

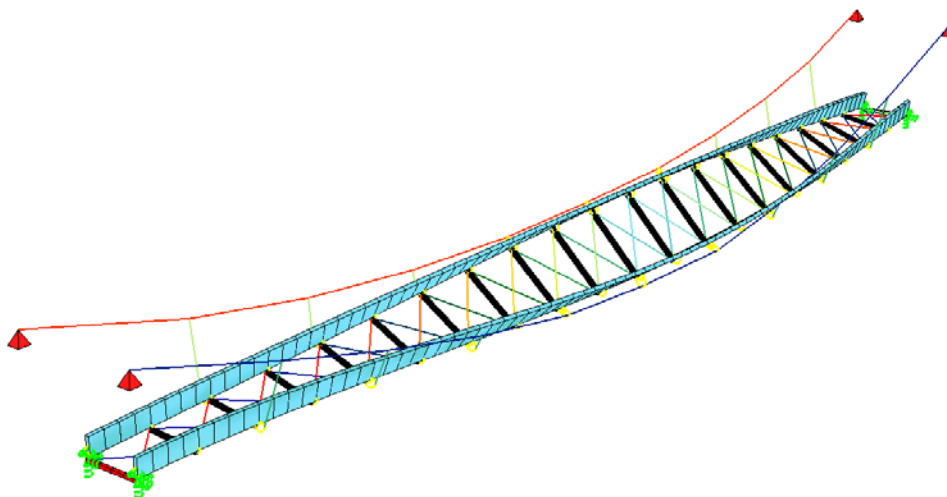
Page 42
2021-03-17

Eigenfrequencies of the stressed bridge

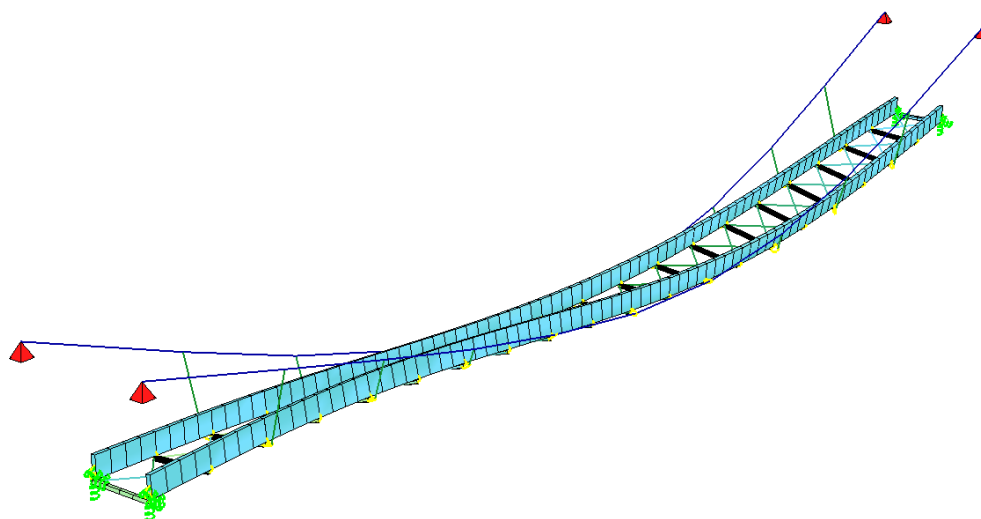
Modal masses - activated mass

No.	LC	frequency [Hertz]	effective modal Mass			factor			activated mass [%]*
			X[t]	Y[t]	Z[t]	X[%]	Y[%]	Z[%]	
1	100	0.608	0.00	0.95	0.00	0.00	2.38	0.00	2.23154
2	101	0.944	22.55	0.00	0.02	56.47	0.00	0.06	38.40872
3	102	1.425	0.04	0.16	29.63	0.10	0.41	74.21	43.84986
4	103	1.507	0.16	0.28	1.03	0.39	0.69	2.58	21.46122
5	104	1.562	0.07	0.11	0.06	0.19	0.27	0.16	23.25240
6	105	2.385	0.00	0.00	0.01	0.00	0.00	0.03	4.00686
7	106	2.386	0.00	0.00	0.00	0.00	0.01	0.00	4.08554
8	107	2.402	0.28	0.00	0.00	0.70	0.00	0.00	3.00364
9	108	2.407	1.08	0.00	0.00	2.71	0.00	0.00	2.96767
10	109	2.991	0.29	0.06	0.22	0.73	0.15	0.56	24.99764
11	110	3.078	8.84	0.00	0.00	22.15	0.00	0.00	24.03052
12	111	3.295	0.01	1.29	3.94	0.03	3.22	9.87	31.75820
13	112	4.068	0.00	0.00	0.00	0.00	0.00	0.00	4.87364
14	113	4.086	0.00	0.01	0.00	0.00	0.02	0.00	4.27557
15	114	4.088	0.00	0.00	0.00	0.00	0.00	0.01	4.29697
16	115	4.110	0.18	0.00	0.00	0.46	0.00	0.00	4.71385
17	116	4.429	0.00	0.00	0.00	0.00	0.01	0.00	0.03546
18	117	4.429	0.00	0.02	0.00	0.00	0.06	0.00	0.04308
19	118	4.430	0.00	0.01	0.00	0.00	0.02	0.00	0.03634
20	119	4.431	0.00	0.00	0.00	0.00	0.00	0.00	0.02819
21	120	4.926	0.00	26.28	0.54	0.00	65.82	1.36	59.68649

2. nihajna oblika (prečna); $f = 0,944$ Hz , aktiviranje mase 56,4%



OBJEKT	MOST CERŠAK	PZI PROJEKT	
PROJEKTANT	Ponting inženirski biro d.o.o., Jernej Maher univ.dipl.inž.grad	ŠT.NAČRTA	537-2/2020
KRAJ IN DATUM	Maribor, januar 2021	STRAN	206

3. nihajna oblika (vertikalna); $f = 1.425 \text{ Hz}$, aktiviranje mase 74,2%

Kontrola nihajnih oblik:

Nihajna oblika	Frekvenca [Hz]	Kritično območje	Potrebna kontrola
Prečna	0,944 Hz	$0,50 \text{ Hz} \leq f_i \leq 1,2 \text{ Hz}$	DA
Vertikalna	1,425 Hz	$1,25 \text{ Hz} \leq f_i \leq 4,6 \text{ Hz}$	DA

OBJEKT	MOST CERŠAK	PZI PROJEKT	
PROJEKTANT	Ponting inženirski biro d.o.o., Jernej Maher univ.dipl.inž.grad	ŠT.NAČRTA	537-2/2020
KRAJ IN DATUM	Maribor, januar 2021	STRAN	207

9.5.2 Metoda s spektri odziva

V skladu s smernicami, na podlagi katerih je pa bila narejena analiza vibracij, pa obstaja več razredov prometne obremenitve in tudi razredov ugodja, katerim moramo zadostiti. Ker s strani investitorja ni bila predpisana predvidena obremenitev s pešci je bila opravljena analiza za prometne razrede, ki se pričakujejo glede na lokacijo objekta. Metoda se je povzela po Tehničnem poročilu JRC, ki je bilo izdano v okviru raziskovalnega programa JRC-ECCS. Glede na lokacijo objekta se ne pričakuje večje število ljudi hkrati na objektu.

Razredi prometne obremenitve:

Razred prometne obremenitve	Gostota pešcev d (P = pešec)	Število prešcev	Opis	Značilnosti
TC 1	Skupina 15 P; $d = 15 P / (B \times L)$	15	Zelo redek promet s pešci	B = širina prekladne konstrukcije; L = dolžina prekladne konstrukcije
TC 2	$d = 0.2 P / m^2$	60	Redek promet s pešci	Udobno prosto sprehajanje, možnost prehitevanja, posameznik si prosto izbira mesto stojišča
TC 3	$d = 0.5 P / m^2$	150	Gost promet s pešci	Še vedno neomejeno sprehajanje, prehitevanje pešcev je lahko trenutno onemogočeno
TC 4	$d = 1.0 P / m^2$	300	Zelo gost promet s pešci	Prosti premiki so onemogočeni, ovirano sprehajanje, prehitevanje pešcev je onemogočeno
TC 5	$d = 1.5 P / m^2$	450	Izjemno gost promet s pešci	Neprijetno sprehajanje, gneča, posameznik ne more prosto izbirati mesta stojišča

V analizi se bodo upoštevali 3 razredi prometne obremenitve, in sicer:

- TC1 osnovna obtežna shema
- TC2,3 izjemna obtežna shema (npr. otvoritev)

OBJEKT	MOST CERŠAK	PZI PROJEKT
PROJEKTANT	Ponting inženirski biro d.o.o., Jernej Maher univ.dipl.inž.grad	ŠT.NAČRTA 537-2/2020
KRAJ IN DATUM	Maribor, januar 2021	STRAN 208

Razredi udobja:

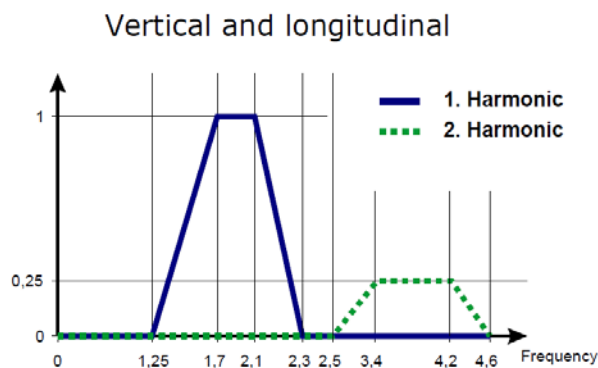
Razred udobja	Stopnja udobja	Vertikalni pospešek $a_{\text{limit},v}$	Prečni pospešek $a_{\text{limit},h}$
CL 1	Maksimalni razred udobja	$< 0.50 \text{ m/s}^2$	$< 0.10 \text{ m/s}^2$
CL 2	Srednji razred udobja	$0.50 - 1.00 \text{ m/s}^2$	$0.10 - 0.30 \text{ m/s}^2$
CL 3	Minimalni razred udobja	$1.00 - 2.50 \text{ m/s}^2$	$0.30 - 0.80 \text{ m/s}^2$
CL 4	Nesprejemljiva udobnost	$> 2.50 \text{ m/s}^2$	$> 0.80 \text{ m/s}^2$

Glede na nihanje oblike in frekvence nihanja je bila opravljena podrobnejša analiza za prvo prečno in vertikalno nihajno obliko, ki s svojimi frekvencami padejo v kritična območja, hkrati pa se aktivira ustrezen delež mase, da je nihajna oblika lahko merodajna. Pri 12. nihajni obliki, ki s frekvenco nihanja pade v kritično območje za analizo vertikalnih pospeškov se aktivira premalo mase, hkrati pa nihajna oblika s frekvenco nihanja pade v območje sekundarnega harmoničnega nihanja.

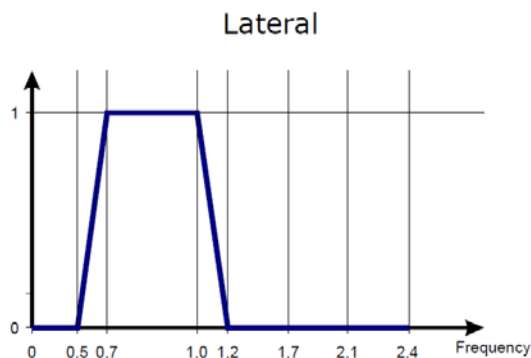
Masa, ki se je upoštevala za pešca je 80,0 kg.

Redukcijska faktorja za pospeške:

- v vertikalni in vzdolžni smeri:



- v prečni smeri:



OBJEKT	MOST CERŠAK	PZI PROJEKT	
PROJEKTANT	Ponting inženirski biro d.o.o., Jernej Maher univ.dipl.inž.grad	ŠT.NAČRTA	537-2/2020
KRAJ IN DATUM	Maribor, januar 2021	STRAN	209

Kontrola prečne nihajne oblike: 2. nihajna oblika

- Skupna masa (jeklena konstrukcija in krov) = 40554 kg
- Frekvenca nihanja: $f_i = 0,944 \text{ Hz}$
- Modalna masa: $M_i = 0,565 \times \sum M = 22913 \text{ kg}$
- Pešci, ki jih moramo upoštevati pri izračunu modalnih mas: $0,05 \times M_i = 1146 \text{ kg} \rightarrow 15 \text{ pešcev}$

Kontrola prečnih pospeškov:

TC 1: $d = 15 P/(B \times L) - 15 \text{ pešcev}$

L [m]=	86,0
B [m]=	4,60
mi - modalna mass [kg] =	22914
x [dušenje] =	0,015
f [Hz] =	0,94
Razred prometa=	TC1

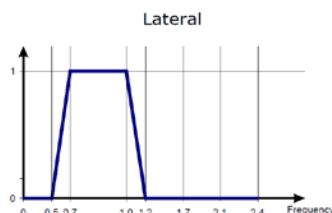
ψ =	1,000
d [P/m2] =	0,0
a1=	-0,08
a2=	0,50
a3=	0,085
b1=	0,005
b2=	-0,060
b3=	-1,005
C=	6,80
kF=	2,85E-04
ka,d =	3,77

k1 =	0,485709
k2 =	-1,057184
n =	15

σ_f^2 =	0,004
----------------	-------

σ_a^2 =	0,00
σ_a =	0,05

$a_{max,d}$ =	0,18	m/s ²	CL2 - SREDNJI RAZRED UDOBJA
---------------	------	------------------	-----------------------------



OBJEKT	MOST CERŠAK	PZI PROJEKT
PROJEKTANT	Ponting inženirski biro d.o.o., Jernej Maher univ.dipl.inž.grad	ŠT.NAČRTA 537-2/2020
KRAJ IN DATUM	Maribor, januar 2021	STRAN 210

TC 2: $d = 0.2 \text{ P/m}^2 - 60 \text{ pešcev}$

L [m]=	86,0
B [m]=	4,60
mi - modalna mass [kg] =	22940
x [dušenje] =	0,015
f [Hz] =	0,99
Razred prometa=	TC2

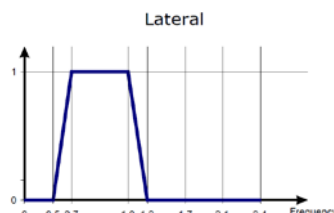
$\psi =$	1,000
d [P/m2] =	0,2
a1=	-0,08
a2=	0,50
a3=	0,085
b1=	0,005
b2=	-0,060
b3=	-1,005
C=	6,80
kF=	2,85E-04
ka,d =	3,77

k1 =	0,502957
k2 =	-1,059700
n =	79

$\sigma_F^2 =$	0,023
----------------	-------

$\sigma_a^2 =$	0,01
$\sigma_a =$	0,11

$a_{max,d} =$	0,42	m/s ²	CL3 - MINIMALNI RAZRED UDOBJA
---------------	------	------------------	-------------------------------

**TC 3: $d = 0.5 \text{ P/m}^2 - 150 \text{ pešcev}$**

L [m]=	86,0
B [m]=	4,60
mi - modalna mass [kg] =	23017
x [dušenje] =	0,015
f [Hz] =	0,94
Razred prometa=	TC3

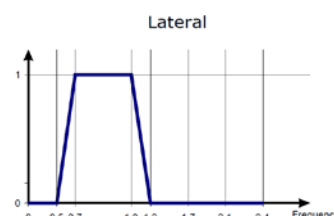
$\psi =$	1,000
d [P/m2] =	0,5
a1=	-0,08
a2=	0,50
a3=	0,085
b1=	0,005
b2=	-0,060
b3=	-1,005
C=	6,80
kF=	2,85E-04
ka,d =	3,77

k1 =	0,484662
k2 =	-1,057033
n =	198

$\sigma_F^2 =$	0,056
----------------	-------

$\sigma_a^2 =$	0,03
$\sigma_a =$	0,17

$a_{max,d} =$	0,65	m/s ²	CL3 - MINIMALNI RAZRED UDOBJA
---------------	------	------------------	-------------------------------



Razred prometa	Pospešek [m/s ²]	Razred udobja
TC1	0,18	CL2
TC2	0,42	CL3
TC3	0,65	CL3

OBJEKT	MOST CERŠAK	PZI PROJEKT
PROJEKTANT	Ponting inženirski biro d.o.o., Jernej Maher univ.dipl.inž.grad	ŠT.NAČRTA 537-2/2020
KRAJ IN DATUM	Maribor, januar 2021	STRAN 211

Kontrola vertikalne nihajne oblike: 3. nihajna oblika

- Skupna masa (jeklena konstrukcija in krov) = 40554 kg
- Frekvenca nihanja: $f_i = 1,425$ Hz
- Modalna masa: $M_i = 0,742 \times \sum M = 30092$ kg
- Pešci, ki jih moramo upoštevati pri izračunu modalnih mas: $0,05 \times M_i = 1504$ kg \rightarrow 18 pešcev

Kontrola prečnih pospeškov:

TC 1: $d = 15 P/(B \times L) - 15$ pešcev

L [m]=	86,0
B [m]=	4,60
mi - modalna masa [kg] =	30092
x [dušenje] =	0,015
f [Hz] =	1,43
Razred prometa=	TC1

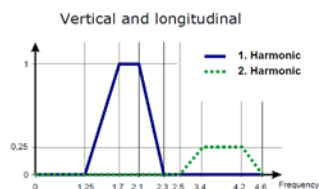
ψ =	0,387
d [P/m2] =	0,0
a1=	-0,07
a2=	0,60
a3=	0,075
b1=	0,003
b2=	-0,040
b3=	-1,000
C=	2,95
kF=	1,20E-02
ka,d =	3,92

k1 =	0,787856
k2 =	-1,050908
n =	15

σ_F^2 =	0,180
----------------	-------

σ_a^2 =	0,04
σ_a =	0,20

$a_{max,d}$ =	0,30	m/s ²	CL1 -MAKSIMALNI RAZRED UDOBJA
---------------	------	------------------	-------------------------------



OBJEKT	MOST CERŠAK	PZI PROJEKT
PROJEKTANT	Ponting inženirski biro d.o.o., Jernej Maher univ.dipl.inž.grad	ŠT.NAČRTA 537-2/2020
KRAJ IN DATUM	Maribor, januar 2021	STRAN 212

TC 2: $d = 0.2 \text{ P/m}^2$ – 60 pešcev

L [m]=	86,0
B [m]=	4,60
m _i - modalna masa [kg] =	29635
x [dušenje] =	0,015
f [Hz] =	1,42
Razred prometa=	TC2

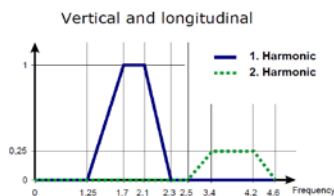
ψ =	0,380
d [P/m ²] =	0,2
a ₁ =	-0,07
a ₂ =	0,60
a ₃ =	0,075
b ₁ =	0,003
b ₂ =	-0,040
b ₃ =	-1,000
C=	2,95
kF=	1,20E-02
k _{a,d} =	3,92

k ₁ =	0,786654
k ₂ =	-1,050814
n =	79

σ_s^2 =	0,949
----------------	-------

σ_a^2 =	0,21
σ_a =	0,46

a _{max,d} =	0,68	m/s ²	CL2 -SREDNJI RAZRED UDOBJA
----------------------	------	------------------	----------------------------

**TC 3: $d = 0.5 \text{ P/m}^2$ – 150 pešcev**

L [m]=	86,0
B [m]=	4,60
m _i - modalna masa [kg] =	28655
x [dušenje] =	0,015
f [Hz] =	1,42
Razred prometa=	TC3

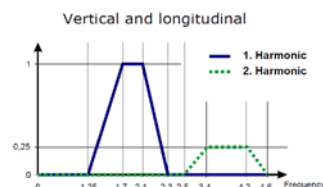
ψ =	0,369
d [P/m ²] =	0,5
a ₁ =	-0,07
a ₂ =	0,60
a ₃ =	0,075
b ₁ =	0,003
b ₂ =	-0,040
b ₃ =	-1,000
C=	2,95
kF=	1,20E-02
k _{a,d} =	3,92

k ₁ =	0,784648
k ₂ =	-1,050656
n =	198

σ_s^2 =	2,374
----------------	-------

σ_a^2 =	0,55
σ_a =	0,74

a _{max,d} =	1,07	m/s ²	CL3 -MINIMALNI RAZRED UDOBJA
----------------------	------	------------------	------------------------------



Razred prometa	Pospešek [m/s ²]	Razred udobja
TC1	0,30	CL1
TC2	0,65	CL2
TC3	1,07	CL3

OBJEKT	MOST CERŠAK	PZI PROJEKT
PROJEKTANT	Ponting inženirski biro d.o.o., Jernej Maher univ.dipl.inž.grad	ŠT.NAČRTA 537-2/2020
KRAJ IN DATUM	Maribor, januar 2021	STRAN 213

9.5.3 Metoda s časovnim odzivom (»TIME HISTORY analiza«)

Opravljen je bila tudi tako imenovana »time history« analiza, pri čemer smo opazovali maksimalne vrednosti pospeškov v primeru pomične obtežbe pešcev za primer teka in hoje.

V nadaljevanju so prikazani maksimalni pospeški konstrukcije za obtežna primera teka in hoje v vertikalni in prečni smeri, pri čemer smo pospeške opazovali na sredini in robu pohodne površine, in sicer 0,875m od ograje (3,5m/4).

V skladu s standardom EN 1990 – A.2.4.3.1.(2), kjer je priporočeno, da se za analizo upošteva skupina 8-15 ljudi, smo se odločili za obtežne primere, ki so predstavljeni v nadaljevanju. Pri definiranju obtežnih primerov smo upoštevali tudi širino pohodne površine 3,50m.

Na podlagi tega smo se odločili, da se lahko pri obtežnem primeru hoje v eni vrsti nahajajo maksimalno 4 osebe (pri stranski postavitvi 2 osebi), medtem ko se pri obtežnem primeru teka lahko v vrsti nahajajo 3 osebe (pri stranski postavitvi 1 oseba). Masa pešca, ki smo jo upoštevali je znašala 80,0 kg.

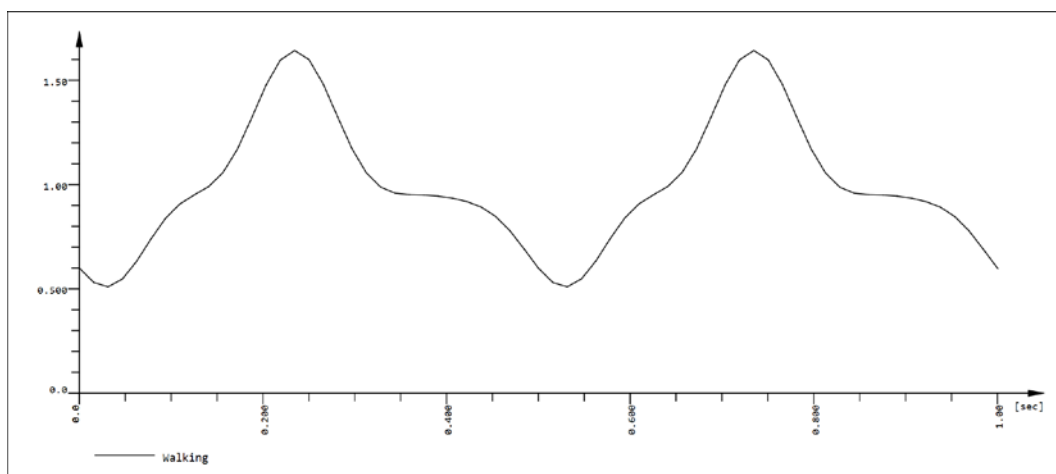
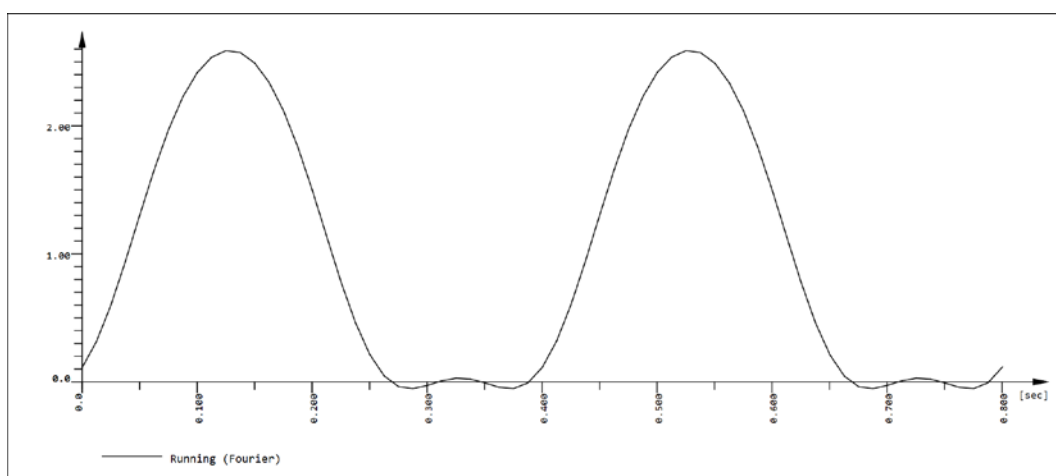
V spodnji tabeli so prikazani obtežni primeri, ki so bili uporabljeni v analizi, pri čemer za vse obtežne primere velja, da so bili aplicirani na sredini in robu konstrukcije, hkrati pa so se maksimalni pospeški opazovali v teh točkah.

Obtežni primer	Projektna situacija	Vrsta obtežbe	Obtežba		Opazovanje maksimalnih pospeškov
			Sredinska postavitvev	Robna postavitvev	
1 vrsta pešcev	Redna	Hoja	4x0,8 kN	2x0,8 kN	sredina/rob
		Tek	3x0,8 kN	1x0,8 kN	sredina/rob
4x1 vrsta pešcev	Izredna	Hoja	4x4x0,8 kN	4x2x0,8 kN	sredina/rob
		Tek	4x3x0,8 kN	4x1x0,8 kN	sredina/rob

Funkciji za obtežna primera hoje in teka sta prikazani v nadaljevanju poročila. Za oba obtežna primera smo upoštevali, da se lahko na konstrukciji nahaja skupina pešcev, kar smo upoštevali kot redno projektno situacijo ali pa več skupin, kar se je upoštevalo kot izredna projektna situacija.

V primeru več skupin, smo se odločili za 4 zaporedne vrste pešcev. V primeru hoje se je upoštevala medsebojna razdalja 3,0m, medtem ko je v primeru teka upoštevala medsebojna razdalja 5,0m. Tako se je pri obtežnem primeru hoje na konstrukciji nahajalo maksimalno 16 oseb (8 oseb pri ekscentrični postavitvi) in pri obtežnem primeru teka 12 oseb (4 osebe pri ekscentrični postavitvi).

OBJEKT	MOST CERŠAK	P Z I P R O J E K T	
PROJEKTANT	Ponting inženirski biro d.o.o., Jernej Maher univ.dipl.inž.grad	ŠT.NAČRTA	537-2/2020
KRAJ IN DATUM	Maribor, januar 2021	STRAN	214

Funkcija za obtežni primer hoje:Funkcija za obtežni primer teka:

V nadaljevanju so prikazane tabele in diagrami z maksimalnimi pospeški.

OBJEKT	MOST CERŠAK	PZI PROJEKT	
PROJEKTANT	Ponting inženirski biro d.o.o., Jernej Maher univ.dipl.inž.grad	ŠT.NAČRTA	537-2/2020
KRAJ IN DATUM	Maribor, januar 2021	STRAN	215

V spodnji tabeli so podani maksimalni pospeški (ovojnica glede na opazovane točke prereza -sredina/rob) prekladne konstrukcije glede na obtežne primere.

Tabela maksimalnih pospeškov glede na posamezne obtežne primere:

Projektna situacija	Obtežni primer	Postavitev obtežbe glede na prečni prerez	Pospeški – smer	Obtežni primer HOJE	Obtežni primer TEKA
				a_{\max} [m/s ²]	a_{\max} [m/s ²]
Redna	1 vrsta pešcev (maksimalni pospeški za sredinsko postavitv-4hoja/3tek)	Sredinska	Vertikalna - Z	0,31	0,63
			Prečna - Y	0,07	0,22
	1 vrsta pešcev (maksimalni pospeški za robno postavitv-2hoja/1tek)	Robna	Vertikalna - Z	0,31	0,24
			Prečna - Y	0,09	0,07
Izredna	4x1 vrsta pešcev (maksimalni pospeški za sredinsko postavitv-16hoja/12tek)	Sredinska	Vertikalna - Z	1,13	2,18
			Prečna - Y	0,23	0,70
	4x1 vrsta pešcev (maksimalni pospeški za robno postavitv-8hoja/4tek)	Robna	Vertikalna - Z	0,56	0,73
			Prečna - Y	0,11	0,23

OBJEKT	MOST CERŠAK	PZI PROJEKT	
PROJEKTANT	Ponting inženirski biro d.o.o., Jernej Maher univ.dipl.inž.grad	ŠT.NAČRTA	537-2/2020
KRAJ IN DATUM	Maribor, januar 2021	STRAN	216

Maksimalne vrednosti pospeškov

REDNA PROJEKTNJA SITUACIJA – upoštevana 1 vrsta pešcev (simultana hoja 4 oseb / tek 3 oseb)

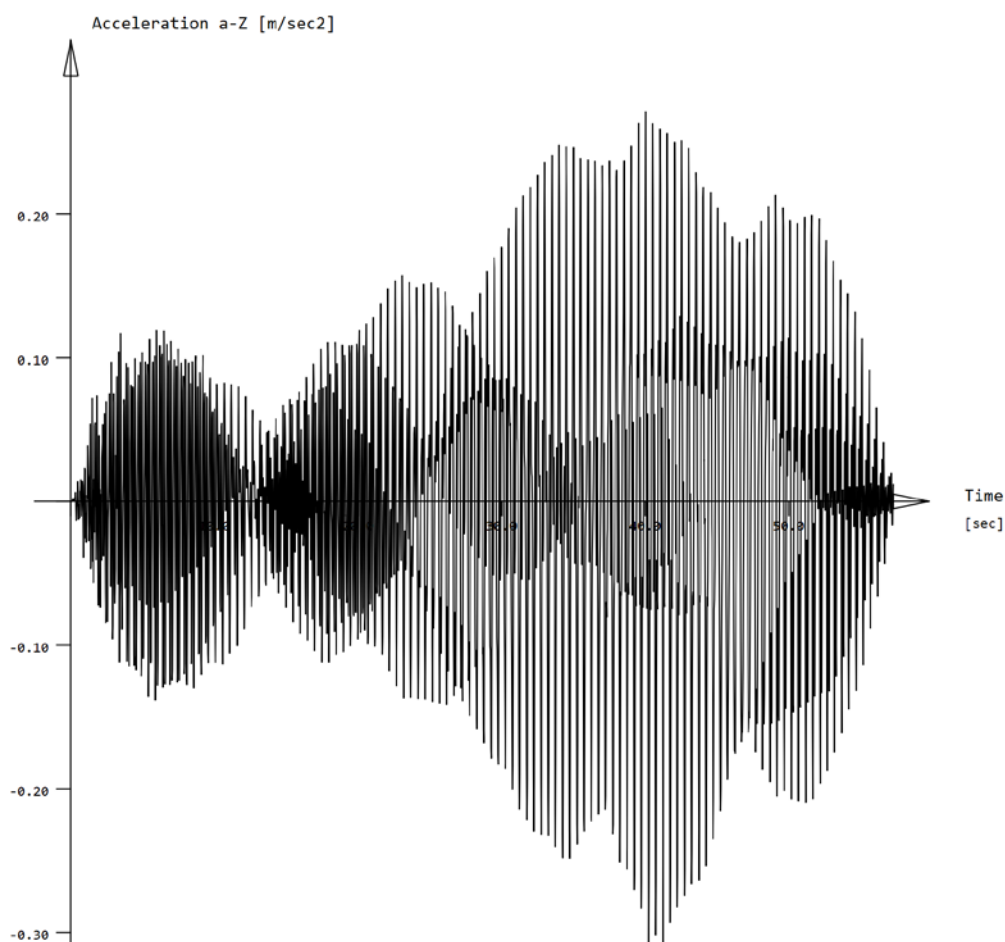
Vertikalni pospeški – a_z

Obtežni primer – HOJA

Pospešek $a_z = 0,31 \text{ m/s}^2$

POSPESKI

Acceleration a-Z 1014



OBJEKT	MOST CERŠAK	PZI PROJEKT	
PROJEKTANT	Ponting inženirski biro d.o.o., Jernej Maher univ.dipl.inž.grad	ŠT.NAČRTA	537-2/2020
KRAJ IN DATUM	Maribor, januar 2021	STRAN	217

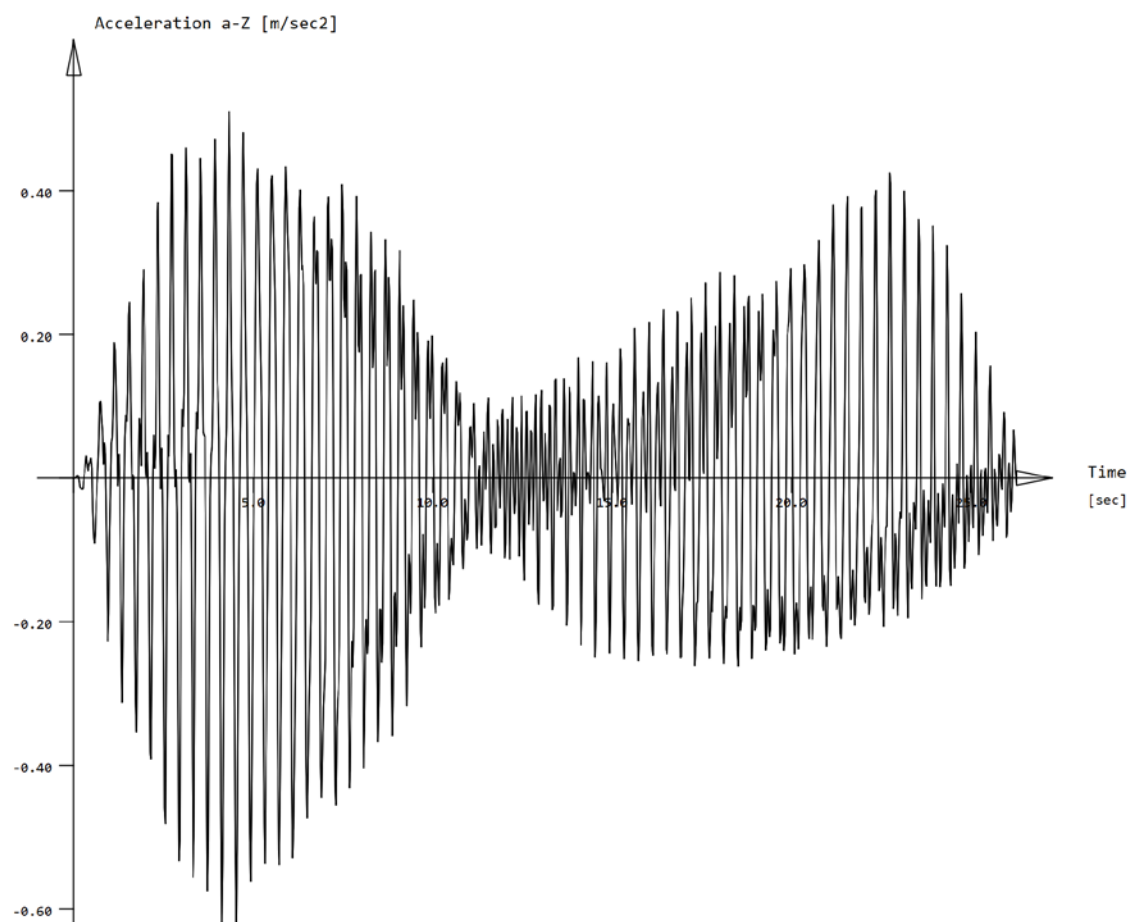
Vertikalni pospeški – a_z

Obtežni primer – TEK

Pospešek $a_z = 0,63 \text{ m/s}^2$

POSPESKI

Acceleration a-Z 2010
Acceleration a-Z 2010



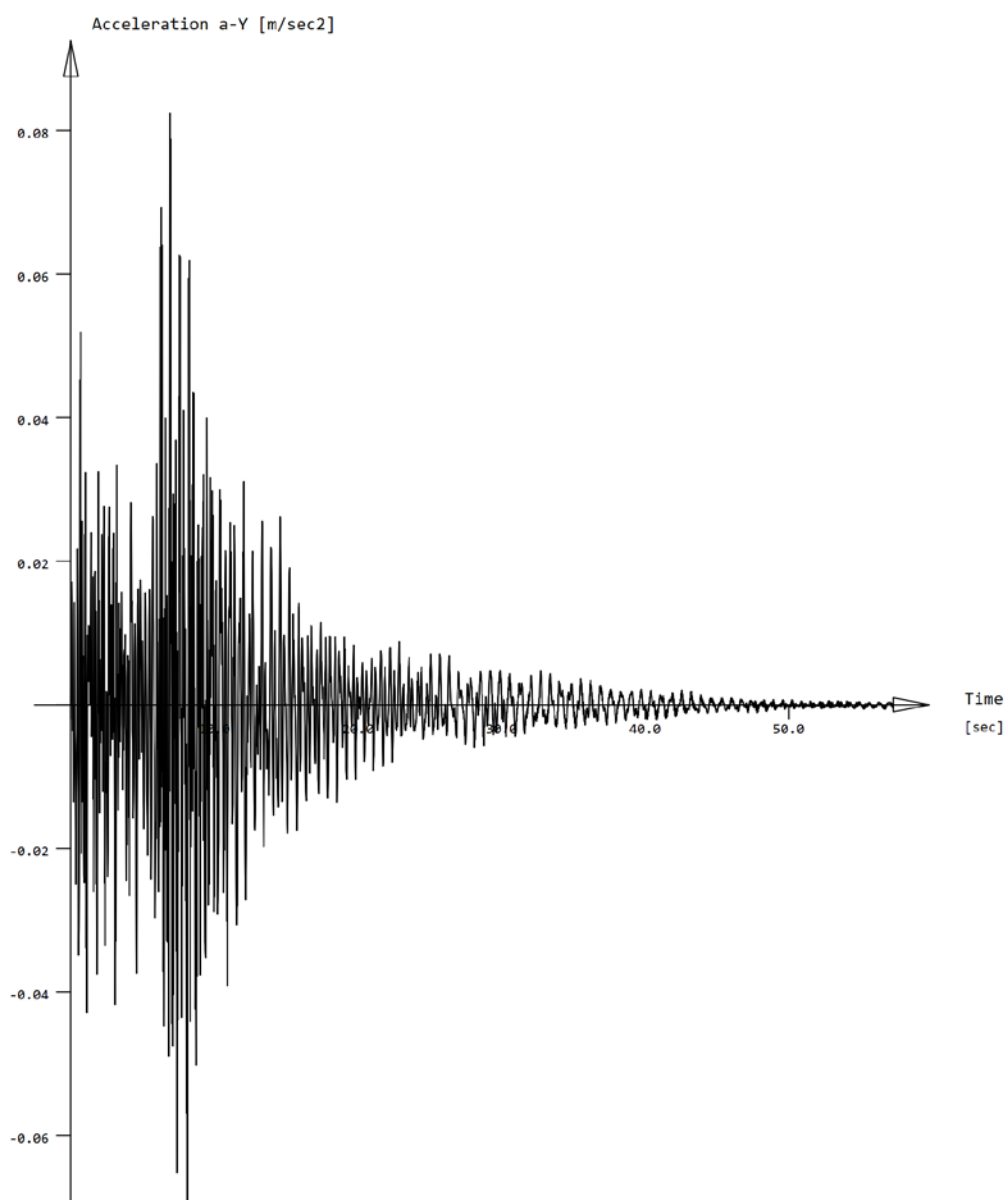
OBJEKT	MOST CERŠAK	PZI PROJEKT	
PROJEKTANT	Ponting inženirski biro d.o.o., Jernej Maher univ.dipl.inž.grad	ŠT.NAČRTA	537-2/2020
KRAJ IN DATUM	Maribor, januar 2021	STRAN	218

Prečni pospeški – a_y **Obtežni primer – HOJA**Pospešek $a_z = 0,09 \text{ m/s}^2$

POSPESKI

Acceleration a-Y 2008

Acceleration a-Y 2008



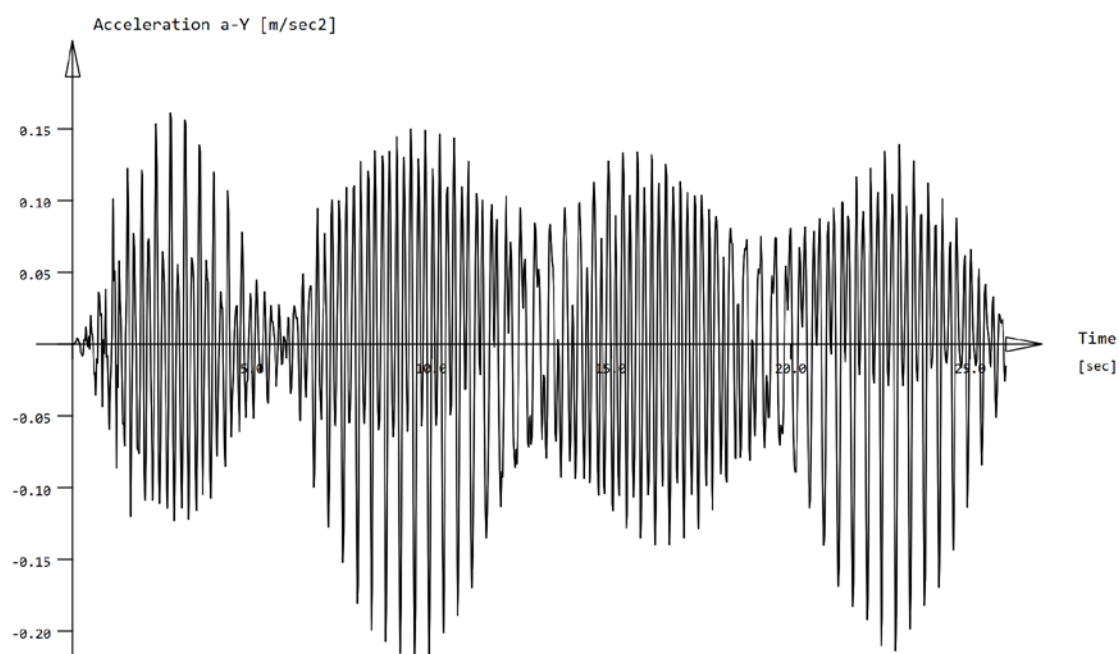
OBJEKT	MOST CERŠAK	PZI PROJEKT
PROJEKTANT	Ponting inženirski biro d.o.o., Jernej Maher univ.dipl.inž.grad	ŠT.NAČRTA 537-2/2020
KRAJ IN DATUM	Maribor, januar 2021	STRAN 219

Obtežni primer – TEK

Pospešek $a_z = 0,22 \text{ m/s}^2$

POSPESKI

Acceleration a-Y 1009
 Acceleration a-Y 1009



OBJEKT	MOST CERŠAK	PZI PROJEKT	
PROJEKTANT	Ponting inženirski biro d.o.o., Jernej Maher univ.dipl.inž.grad	ŠT.NAČRTA	537-2/2020
KRAJ IN DATUM	Maribor, januar 2021	STRAN	220

IZREDNA PROJEKTNA SITUACIJA – upoštevane 4 vrste pešcev (simultana hoja 16 oseb / tek 12 oseb)

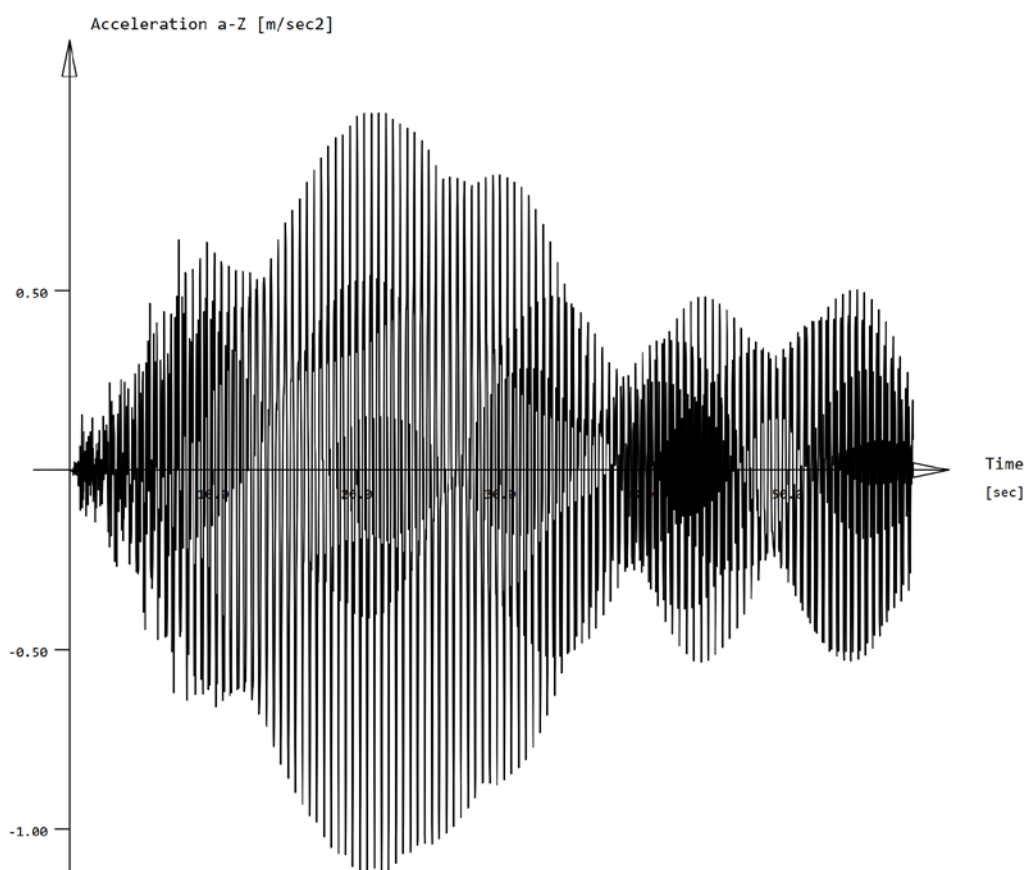
Vertikalni pospeški – a_z

Obtežni primer – HOJA

Pospešek $a_z = 1,13 \text{ m/s}^2$

POSPESKI

Acceleration a-Z 2007
Acceleration a-Z 2007



OBJEKT	MOST CERŠAK	PZI PROJEKT
PROJEKTANT	Ponting inženirski biro d.o.o., Jernej Maher univ.dipl.inž.grad	ŠT.NAČRTA 537-2/2020
KRAJ IN DATUM	Maribor, januar 2021	STRAN 221

Vertikalni pospeški – a_z

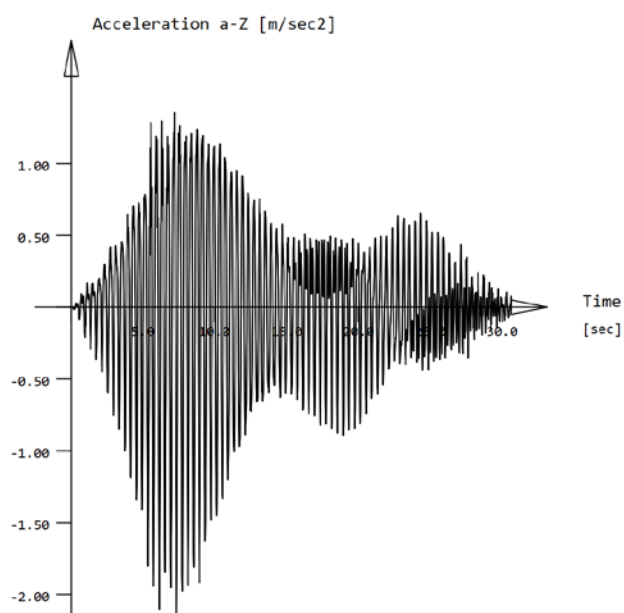
Obtežni primer – TEK

Pospešek $a_z = 2,18 \text{ m/s}^2$

POSPESKI

Acceleration a-Z 1009

Acceleration a-Z 1009



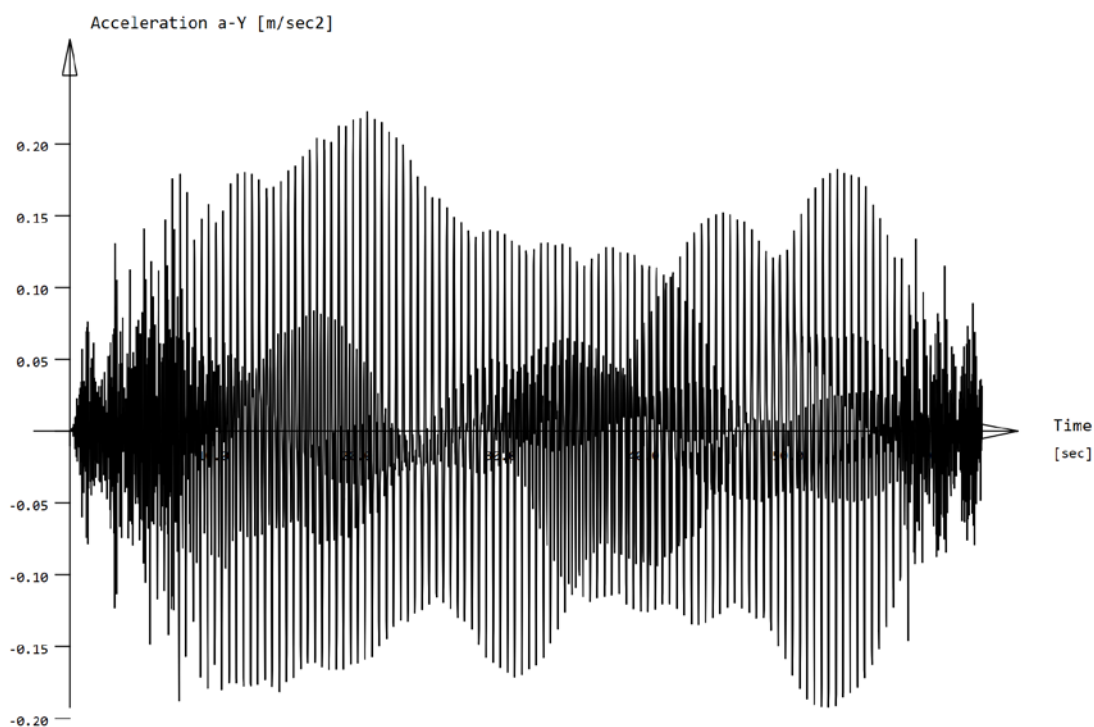
OBJEKT	MOST CERŠAK	PZI PROJEKT	
PROJEKTANT	Ponting inženirski biro d.o.o., Jernej Maher univ.dipl.inž.grad	ŠT.NAČRTA	537-2/2020
KRAJ IN DATUM	Maribor, januar 2021	STRAN	222

Prečni pospeški – a_y **Obtežni primer – HOJA**Pospešek $a_z = 0,23 \text{ m/s}^2$

POSPEŠKI

Acceleration a-Y 1009

Acceleration a-Y 1009



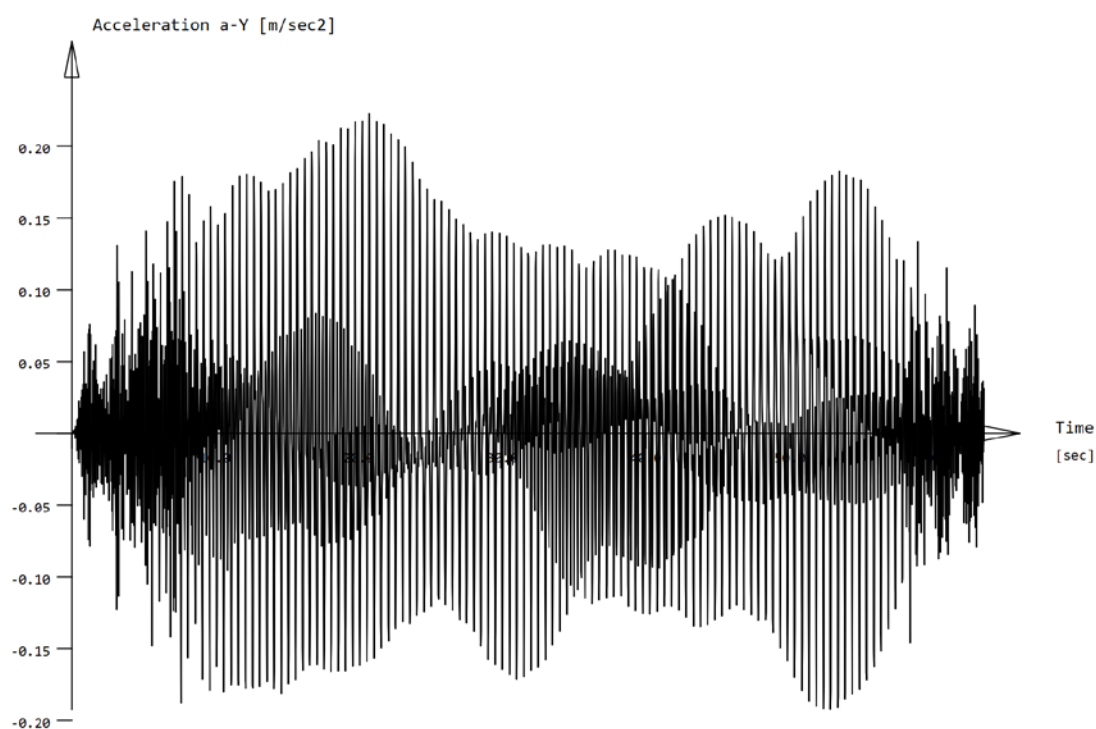
OBJEKT	MOST CERŠAK	PZI PROJEKT	
PROJEKTANT	Ponting inženirski biro d.o.o., Jernej Maher univ.dipl.inž.grad	ŠT.NAČRTA	537-2/2020
KRAJ IN DATUM	Maribor, januar 2021	STRAN	223

Prečni pospeški – a_y **Obtežni primer – TEK**Pospešek $a_z = 0,70 \text{ m/s}^2$

POSPESKI

Acceleration a-Y 1009

Acceleration a-Y 1009



OBJEKT	MOST CERŠAK	PZI PROJEKT	
PROJEKTANT	Ponting inženirski biro d.o.o., Jernej Maher univ.dipl.inž.grad	ŠT.NAČRTA	537-2/2020
KRAJ IN DATUM	Maribor, januar 2021	STRAN	224

9.5.4 Kontrola vibracij v skladu s SIST EN 1995-2

Za obtežni primer hoje je bila opravljena tudi analiza ter hkrati kontrola pospeškov v skladu z SIST EN 1995-2, Annex B za obtežna primera hoje.

Vertikalne vibracije:

$$a_{vert,1} = 200 / (M \cdot \zeta)$$

$$a_{vert,n} = 0,23 \cdot a_{vert,1} \cdot n \cdot k_{vert}$$

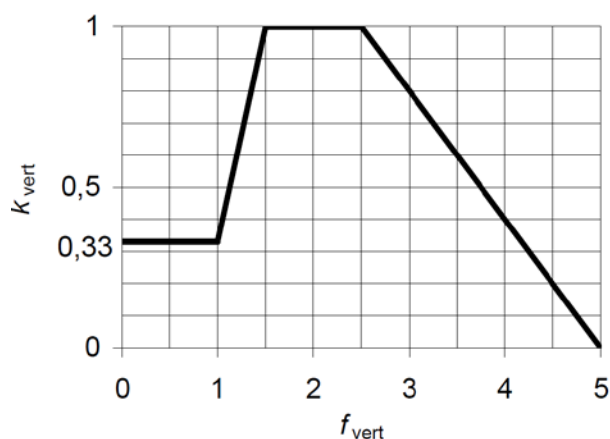
$$f = 1,425 \text{ Hz}$$

$$L = 86 \text{ m}$$

$$M = 40434 \text{ kg}$$

$$\zeta = 0,015$$

$$k_{vert} = 0,9$$



Redna projektna situacija: 1. vrsta pešcev

$$a_{vert,n=4} = 0,23 \cdot 0,32 \cdot 4 \cdot 0,9 = 0,26 \text{ m/s}^2 \text{ (Sofistik } 0,34 \text{ m/s}^2)$$

Izredna projektna situacija: 4. vrste pešcev

$$a_{vert,n=16} = 0,23 \cdot 0,32 \cdot 4 \cdot 4 \cdot 0,9 = 1,06 \text{ m/s}^2 \text{ (Sofistik } 1,13 \text{ m/s}^2)$$

Kontrola je pokazala ustrezno ujemanje rezultatov.

OBJEKT	MOST CERŠAK	PZI PROJEKT	
PROJEKTANT	Ponting inženirski biro d.o.o., Jernej Maher univ.dipl.inž.grad	ŠT.NAČRTA	537-2/2020
KRAJ IN DATUM	Maribor, januar 2021	STRAN	225

Horizontalne vibracije:

$$a_{hor,1} = 50 / (M \cdot \zeta)$$

$$a_{hor,n} = 0,18 \cdot a_{hor,1} \cdot n \cdot k_{hor}$$

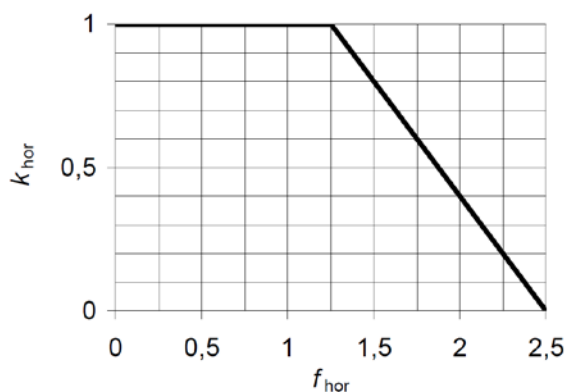
$$f = 0,944 \text{ Hz}$$

$$L = 86 \text{ m}$$

$$M = 40434 \text{ kg}$$

$$\zeta = 0,015$$

$$k_{hor} = 1$$



Redna projektna situacija: 1. vrsta pešcev

$$a_{hor,n=4} = 0,18 \cdot 0,082 \cdot 4 \cdot 1 = 0,06 \text{ m/s}^2 \text{ (Sofistik } 0,10 \text{ m/s}^2 \text{)}$$

Izredna projektna situacija: 4. vrste pešcev

$$a_{hor,n=16} = 0,18 \cdot 0,082 \cdot 4 \cdot 4 \cdot 1 = 0,23 \text{ m/s}^2 \text{ (Sofistik } 0,23 \text{ m/s}^2 \text{)}$$

Kontrola je pokazala ustrezno ujemanje rezultatov.

OBJEKT	MOST CERŠAK	PZI PROJEKT	
PROJEKTANT	Ponting inženirski biro d.o.o., Jernej Maher univ.dipl.inž.grad	ŠT.NAČRTA	537-2/2020
KRAJ IN DATUM	Maribor, januar 2021	STRAN	226

9.5.5 Povzetek analize vibracij

Mostovi za pešce in kolesarje so zaradi svoje zasnove mnogokrat podvrženi vibracijam, ki so povzročene s hojo ali tekom pešcev. Glede na majhno maso mostu in majhno togost konstrukcije je v konkretnem primeru problematika vibracij še večja.

Analiza vibracij za most Ceršak je bila narejena z različnimi metodami. Metoda s spektri odziva se je pri analizi vibracij uporabila le za oceno pospeškov, medtem ko se je glavna analiza naredila s pomočjo THA analize, pri čemer so se maksimalni pospeški za obtežni primer hoje preverili v skladu z enačbami podanimi v SIST EN 1995-2. V nadaljevanju je podan povzetek maksimalnih pospeškov.

Ovojnica maksimalnih pospeškov glede na posamezno projektno situacijo

Projektna situacija	Obtežni primer	Pospeški – smer	Obtežni primer HOJE	Obtežni primer TEKA
			a_{\max} [m/s ²]	a_{\max} [m/s ²]
Redna	1 vrsta pešcev	Vertikalna - Z	0,31	0,63
		Prečna - Y	0,09	0,22
Izredna	4x1 vrsta pešcev	Vertikalna - Z	1,13	2,18
		Prečna - Y	0,23	0,70

OBJEKT	MOST CERŠAK	PZI PROJEKT	
PROJEKTANT	Ponting inženirski biro d.o.o., Jernej Maher univ.dipl.inž.grad	ŠT.NAČRTA	537-2/2020
KRAJ IN DATUM	Maribor, januar 2021	STRAN	227

Vrednosti dopustnih maksimalnih pospeškov:

EN 1990:

- $a_{\max, \text{vertikalni}} \leq 0.7 \text{ m/s}^2$
- $a_{\max, \text{horizontalni}} \leq 0.2 \text{ m/s}^2$ (v primeru gneče 0.4 m/s^2)

Smernice v okviru raziskovalnega programa JRC-ECCS:

Razred udobja	Stopnja udobja	Vertikalni pospešek $a_{\text{limit},v}$	Prečni pospešek $a_{\text{limit},h}$
CL 1	Maksimalni razred udobja	$< 0.50 \text{ m/s}^2$	$< 0.10 \text{ m/s}^2$
CL 2	Srednji razred udobja	$0.50 - 1.00 \text{ m/s}^2$	$0.10 - 0.30 \text{ m/s}^2$
CL 3	Minimalni razred udobja	$1.00 - 2.50 \text{ m/s}^2$	$0.30 - 0.80 \text{ m/s}^2$
CL 4	Nesprejemljiva udobnost	$> 2.50 \text{ m/s}^2$	$> 0.80 \text{ m/s}^2$

Maksimalne vrednosti:

REDNA PROJEKTNÁ SITUACIJA			
Simultana hoja 4 oseb / tek 3 oseb			
Pospešek - smer	Merodajni obtežni priemer	Hoja [m/s ²]	Tek [m/s ²]
Vertikalen pospešek - a_z	1 vrsta pešcev	0,31	0,63
Prečni pospešek - a_y	1 vrsta pešcev	0,09	0,22
IZREDNA PROJEKTNÁ SITUACIJA			
Simultana hoja 16 oseb/tek 12 oseb			
Pospešek - smer	Merodajni obtežni priemer	Hoja [m/s ²]	Tek [m/s ²]
Vertikalen pospešek - a_z	4 vrste pešcev	1,13	2,18
Prečni pospešek - a_y	4 vrste pešcev	0,23	0,70

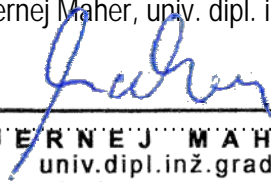
Obešeni mostovi so zaradi svoje narave podvrženi večjim vibracijam, ki so povzročene iz strani pešcev. Kljub temu, pa je iz rezultatov razvidno, da se pospeški nahajajo v okviru priporočenih vrednosti (redna projektna situacija), oziroma so v posameznih redkih situacijah minimalno preseženi.

OBJEKT	MOST CERŠAK	PZI PROJEKT	
PROJEKTANT	Ponting inženirski biro d.o.o., Jernej Maher univ.dipl.inž.grad	ŠT.NAČRTA	537-2/2020
KRAJ IN DATUM	Maribor, januar 2021	STRAN	228

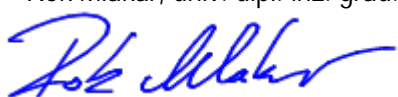
Maribor, januar 2021

STATIČNO ANALIZO IZVEDLA:

Jernej Maher, univ. dipl. inž. grad.


JERNEJ MAHER
univ. dipl. inž. grad.
IZS G-4208

Rok Mlakar, univ. dipl. inž. grad.


ROK MLAKAR
univ. dipl. inž. grad.
IZS G-2507

OBJEKT	MOST CERŠAK	PZI PROJEKT	
PROJEKTANT	Ponting inženirski biro d.o.o., Jernej Maher univ.dipl.inž.grad	ŠT.NAČRTA	537-2/2020
KRAJ IN DATUM	Maribor, januar 2021	STRAN	229